

24  
180

ISSN—0132—1447 საქართველოს  
მეცნიერებათა აკადემიის



საქართველოს სსრ  
აკადემიის გარემონტის  
აკადემიის

# ამჟამანა

(18) II

## СООБЩЕНИЯ

АКАДЕМИИ НАУК  
ГРУЗИНСКОЙ ССР

## BULLETIN

OF THE ACADEMY OF SCIENCES  
OF THE GEORGIAN SSR

№ 97 ТОМ

№ 3

აპრილი 1980 МАРТ

თბილისი • TBILISI

527  
1980  
საქართველოს სსრ  
აკადემიის გაცემული

საქართველოს სსრ  
აკადემიის გაცემული

ერკებული  
СООБЩЕНИЯ

АКАДЕМИИ НАУК  
ГРУЗИНСКОЙ ССР

BULLETIN  
OF THE ACADEMY OF SCIENCES  
OF THE GEORGIAN SSR

ტომი 97 თომ

№ 3

მარტი 1980 მარტ

თბილისი • თბილისი • TBILISI

## ს ა რ ე დ ა კ ც ი თ პ ი ლ ი ა მ ი ა ბ ი ა

ქ. ანდრიანიკაშვილი, ა. ბოჭორიშვილი, თ. გამირელიძე, ი. გვერდშიოლი, თ. გვინჩიძე,  
 ი. გვინჩიძე მოადგილე (მთ. რედაქტორის მოადგილე), ს. ღურიშვილი, ა. თავხელიძე,  
 ნ. ქილოველი, ვ. კუპრაძე, ნ. ლანდია (მთ. რედაქტორის მოადგილე),  
 ვ. მახალდიანი, ვ. მელიქიშვილი, ვ. ოუფავა, ი. ფრანგიშვილი  
 ა. ცაგარელი, გ. ციცელიშვილი, შ. ძაბილიშვილი, ე. ხარაძე  
 (მთ. რედაქტორი), ნ. ჯავახიშვილი

### РЕДАКЦИОННАЯ КОЛЛЕГИЯ

Э. Л. Андronikashvili, А. Т. Бочоришвили, Т. В. Гамкрелидзе, И. Г. Гвердцители,  
 О. Ш. Гвинчидзе, И. М. Гигинейшвили (зам. главного редактора), Н. А.  
 Джавахишвили, Ш. В. Дзидзигури, С. В. Дурмишидзе, Н. Н. Кешко-  
 вели, В. Д. Купрадзе, Н. А. Ландиа (зам. главного редактора),  
 В. В. Махалдiani, Г. А. Меликишвили, В. М. Окуджава,  
 А. С. Прангишвили, А. Н. Тавхелидзе, Е. К. Харадзе  
 (главный редактор), А. Л. Цагарели,  
 Г. В. Цицишвили

პასუხისმგებელი მდივანი გ. მახარაძე  
 Ответственный секретарь Г. Е. Махарадзе

---

ხელმოწერილია დასაბუფად 25.3.1980; ჟუ. № 439; ანაწყობის ზომა 7×12;  
 ქაღალდის ზომა 70×108; ფიზიკური ფურცელი 16; საარტიცხო-საგამომცემლო  
 ფურცელი 18,5; ნაბჭელი ფურცელი 22,5; უ. 09062; ტირაჟი 1600; ფასი 1 ბან.

Подписано к печати 25.3.1980; зак. № 439; размер набора 7×12; размер  
 бумаги 70×108; физический лист 16; уч.-издательский лист 18,5; печатный  
 лист 22,5; УЭ 09062; тираж 1600; цена 1 руб.

\* \* \*

გამომცემლისა „მეცნიერება“, თბილისი, 380060, კუტუზოვის ქ., 19  
 Издательство «Мецнериба», Тбилиси, 380060, ул. Кутузова, 19

საქ. სსრ მეცნ. აკადემიის სტანა, თბილისი, 380060, კუტუზოვის ქ. 19  
 Типография АН Груз. ССР, Тбилиси, 380060, ул. Кутузова, 19

三〇六一九六四〇

സംഗ്രഹണ



ପ୍ରକାଶକାଳୀନ

- \*०. कुरुक्षेत्रे, भ. दशलग्नकांवा, न. सामनीलवां, गांधीजीलभूलि पाराम्बद्धरुप-  
दिस खेल्ने दिनामित्रहरि लम्हेप्रदेशिस स्त्राविलिंगाप्राप्ता अर्थसंरुलि इन्फ्रारेमाप्राप्ति ३०-  
होम्प्रदेशि 584

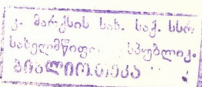
\*१. मान्यताकालीन ल. अर्थात् उपर्याप्ति उपर्याप्ति उपर्याप्ति उपर्याप्ति उपर्याप्ति 588

\*२. उपर्याप्ति उपर्याप्ति उपर्याप्ति उपर्याप्ति उपर्याप्ति उपर्याप्ति उपर्याप्ति उपर्याप्ति 591

୪୦୯୮



\* ვარსკვლავით აონიშნული სათაური ეკუთვნის წერილის რეზიუმეს.





- \*<sup>1</sup>ლ. გოგუა, ვ. სანაძე, ე. ვინტრაიკინი, ვ. შალვა ნკო. დაბალტუმცვრა-ტერულ წანაგვენტრრიებული კუბურიწანაგვენტრრიებული ტეტრაგონალური ართაჭმების თვისებურებაზე  $\gamma\text{-}MnNi$  და  $\gamma\text{-}RnFe$  შენაღობებში

- \*ල. ඩින්සිගා, ඩ. ගේගාමජ්, ම. දැවානාශ්වරු, ව. ත්ලෝමෑන්ටා,  
ඩ. ග්‍රිහාල්ද්‍යෙලු, ර. නිස්ත්‍රානි, ප. එමර්ත්‍රාව. AIV BVI ජ්‍යෙෂ්ඨතා  
සංඛ්‍යා දා මතක්‍රීය මාරු නිවාර්ධී අනින්තු ක්‍රියාකෘතියේ නිර්මා  
ය මත ඉතුළු ජ්‍යෙෂ්ඨ ප්‍රාග්ධනය යොමු කළ ඇත. 604

ପ୍ରକାଶକା

- \*ს. ი ც ფ ი ნ ი, თ. ბ ე რ ე ნ ი შ ვ ი ლ ი. მ ჩ ა ვ ა მ ი ზ ი ნ ბ რ ი ვ ი პ რ ი გ ა რ ა მ უ ლ ი კ რ მ წ ლ უ ქ ს ი  
ვ ა მ თ ა ს ი ს ი ს ზ ი ა ი რ ა დ ა მ ღ ვ ა ნ ი ს ა მ ა ს ა ხ ს ნ ე ლ ა დ 607

- \*၁။ လူမှားရန်ဆောင်ဒွေးကြီး၊ ၆. ဒုသာဆင်ကျော်၊ ၁၈၉၉—၁၉၇၆ ခုနှစ်၊ ဒေသပို့ဆောင်ရေး ဝန်ကြီးခွဲ၊ မြန်မာနိုင်ငံ၊ ရန်ကုန်တွင်ဖော်လုပ်ခွင့်ပါသည်။

ମେଲାମେଲିରୁ ୩୦୨୦୧

- \*3. ერთსთავი, ლ. ქ. შაკაშვილი. ქრომატოგრაფული ხსნარის სიჩქარის გვა-  
ლენა სკანდიუმის, იტრიუმის და ლანთანიუმის სორბციაზე AB-17, AB-16  
და ეДЭ-10 ანონიმუბის  $\text{CO}_2$  ფრაქტაზე 616

ମୁଦ୍ରଣ ତାରିଖ

- \*6. յուզօք, մ. ՑԱՅՐԵԱՆՈԱՆՈ, լ. ԽԱՆԱՆՑՎՈՂՈ, գ. ՔՇԵԴԵՎԵՂԱՅԻ. հիմացին աշխարհածին Յորոտենցիոնալութիւն արշանկովորմանը 620

ବ୍ୟାକ୍ ପରିଚୟ



- \*- E-E<sub>m</sub><sup>2</sup>>E<sub>c</sub> നും കൂടാൻ വായ്പ് ബിന്ദു പോലെ ഉണ്ട്. എന്തെങ്കിലും ഇതിനും കൂടാൻ വായ്പ് ലഭിക്കുന്നതിലും അനുബന്ധം ലഭിക്കുന്നതിലും ഒരു വിവരമാണ്.

- \*3. ზეიადაპე, ს. ბუსოვი, ბ. ძველი, ბ. დიმოვი, ბ. სკორობო-  
ვატოვი. კოლფრამის ქლორიდის წყალბადით არტაზობრივი ალდენის კო-  
ნიგრულ-სეტრონიკლოიდი გამოვლენა.



ଶବ୍ଦବିଜ୍ଞାନ ତଥା ବୈଜ୍ଞାନିକ ପରିମାଣକାରୀ

- \*6. კერძოდ ე. ზ. გურევინი დ. „არნოლდის ფუძის“ წარმოების ჩამრეცხი  
წყობის აღმნითის საკითხისათვის

- \*3. ბერი შევისა და მ. ა. ე. შეიძლება. პრანგულიშვილის და ერბიშვილის ფორმის ყ ტექსტის ცენტრული აღმოჩენის არუნკის კრეკინგის კატალიზატორების კატალიზირები თანაბეჭიდი

ପ୍ରକାଶକାଳୀନ

- ¶ १०३८२-२.** फिलार्डि नामांकितीसे टीर्हिपुरीपुरियलि गुनाश्चिलेबा डासावल्ले त सिरियो ६४८

### გეოლოგია

- \*6. ასლანიკაშვილი. ცელითები სამკორი-პატარძეულის ნაეთობის საბადოს კო-  
ლექტორ-ქანკებით 651

### სამშენებლო მიჩანიპა

- \*7. კუჭუხიძე. გრუნტის დაშორობის გავლენა შენობის სივრცით დააბულ მდგო-  
მარებაზე მიწისძებრის სამკომპონენტიან აქსელროგრამის გამოყენების დროს 656

- \*8. ბიჭიშვილი. გავლენის წირების ავების მეთოდით ღრევად ფუძეზე განლა-  
ზებული დერასიმეტრიული გარსებისათვის 659

### საბაზო დამუშავება და გამდიდრება

- ო. ლანჩავა. გვირაბის კედლის უზომილო ტემპერატურის განსაზღვრისათვის 661

- \*9. მიქელაშვილი. ქვანაზირის ფენების დაფილდების შესახებ სისქისა და დაქანების  
მიხედვით 667

### ჰიდროტექნიკა

- \*8. რუსუა. შესლულული კლასიფირი გვევები მრავალფეროვანი ექსპერიმენტის  
დაგევმაში 672

### აგროგაზური მართვა და გამოთვლითი ტექნიკა

- \*8. ჩიგოვაძე, გ. ლვინე ფაქე. პირაპირი მიღმომის დამმახსოვრებელ მო-  
წყობილობებში ინფორმაციის მოძებნის ოპტიმიზაცია 676

- \*9. ვერნონვი, გ. მუსხელიშვილი, მ. ნენიპორენკო, ქ. პუ-  
რადაშვილი, გ. ჩერკესოვი. გმიროვი წყობურა დანდგრებითი ოპ-  
რატიული მართვისა მასის გადაცემის პროცესის აღრეული დიაგნოსტიკის შე-  
დეგების გამოყენების შესახებ 680

- \*9. კახე ლაძე, თ. ძაგანია, ა. ლაპაძე, გ. ცირაშვილი. მოძრავი ნაგლი-  
ნის დამტერისა და სიმრულის ირიბი განსაზღვრის საკონსავტის გმიროვლითი  
ტექნიკის საშუალებით 684

### ბოტანიკა

- \*8. კოლაკოსკი (საქ. სირ მეცნ. აკადემიის წევრ-კორესპონდენტი). ფედოროვია —  
ასალი მონოტიური გვარი სახხერთ ამიერკავკასიის კირქვიანებიდან 688

- \*9. მარტალევი საქართველოს კლდე-ნაშალლორიანთა ფლო-  
რის კომპლექსისათვის 692

### ადამიანისა და ცხოვლითა ფიზიოლოგია

- \*6. ჩიხორია. პენტაგასტრინისა და ლაზიქსის გავლენა კუჭის სეკრეციასა და  
დიურეზზე 696

- \*7. გლოვალი. პიპოვამის Regio superior-ის პირამიდულ ნეირონთა რეაქციის  
ხასიათი შესასელელების ელექტროლი სტიმულაციის საბასუხოდ 699

- \*8. ჯავახიშვილი, ე. დოლიძე, ნ. ე. ძაგე. სპონტანური ენცეფეზით დავა-  
დებულთა კრიორეფლექსოვნული მცურნალობის ეფექტიანობის შესახებ 704

### ბიოქიმია

- \*9. ზაალიშვილი, რ. ჩიგინაშვილი, გ. მარსეგიშვილი. წიწილის  
თავის ტვინის წყალში ხსნადი ცილების შესწავლა შთაბეჭდვის პროცესში 707

ଓଡ଼ିଆ ଲେଖକ

## СОДЕРЖАНИЕ

### МАТЕМАТИКА

Б. В. Хведелидзе (член-корреспондент АН ГССР), Е. В. Ищенко. О разрывной задаче линейного сопряжения с кусочно-непрерывным коэффициентом	529
Л. В. Жижишвили (член-корреспондент АН ГССР). Суммируемость методом Чезаро отрицательного порядка кратных ортогональных рядов	533
А. Б. Харазишивили. Абсолютно неизмеримые множества в абелевых группах	537
Л. С. Нечитайлова. Об инфинитезимальных преобразованиях $n$ -ортогональных систем в римановом пространстве	541
В. В. Рыжков. К теории $n$ -сопряженных сетей в пространствах аффинной связности	545
А. А. Панков. Разложимость голоморфных нетеровых оператор-функций	549
Н. Л. Лазриева, Р. Я. Читашвили. О некоторых свойствах сильных решений стохастических дифференциальных уравнений на интервале	553
Д. Т. Джгаркава. О необходимых условиях оптимальности в задачах со смешанными ограничениями	557
С. А. Размадзе. Оптимизация продольного разреза профиля трассы тоннеля метрополитена с учетом специальных ограничений	561
М. В. Микиашвили. О мультиплективной структуре в когомологиях расслоенных пространств	565
Л. Г. Замбахидзе. О соотношениях между размерностями свободных базисов свободных топологических групп	569
В. В. Хочолава. О сильной суммируемости рядов Фурье—Лапласа функций класса $L_p(S^k)$ , $p > 1$	573
Э. А. Надарая. Замечания о сходимости оценки плотности вероятности типа «ядра» по вариации	577

### КИБЕРНЕТИКА

И. Ф. Кусов, М. В. Булгаков, Н. И. Самойлова. Стабилизация динамических объектов с распределенными параметрами в условиях неполной информации	581
Т. В. Майджапарашвили. Об определении вероятности размытых событий	585
Д. А. Тодуа, А. Н. Веихвадзе, О. В. Гоголадзе. К вопросу создания ЭВМ нового типа — ЭВМ на однородных перестраиваемых структурах	589

\* Заглавие, отмеченное звездочкой, относится к реюму статьи.

## ФИЗИКА

З. Ш. Надиашвили, Дж. С. Цакадзе. Устройства тонкой регулировки и точного измерения высоких давлений для исследования свойств твердого гелия	593
Л. Д. Гогуа, В. В. Санадзе, Е. З. Винтайкин, В. А. Удовенко. Особенности ГЦК-ГЦТ низкотемпературных превращений в сплавах $\gamma\text{-MnNi}$ и $\gamma\text{-MnFe}$	597
Л. П. Бычкова, Г. Г. Гегиадзе, О. И. Даварашвили, В. П. Зломанов, И. В. Криалашвили, Р. И. Чиковани, А. П. Шотов. Тройные и четверные твердые растворы соединений $A^{IV}BVI$ с замещением в анионной подрешетке и гетероструктуры на их основе	601

## ГЕОФИЗИКА

С. А. Юфин, Т. Л. Бердзенишвили. Многоцелевой программный комплекс для решения некоторых задач геофизики	605
О. В. Лурсманашвили, Н. К. Качаидзе. О взаимосвязи сильных землетрясений Кавказа за 1899—1976 гг.	609

## АНАЛИТИЧЕСКАЯ ХИМИЯ

В. Д. Эристави, Л. Л. Каракашвили. Влияние скорости потока хроматографируемого раствора на сорбцию скандия, иттрия и лантана на анионитах АВ-17, АВ-16 и ЭДЭ-10 в $\text{CO}_3$ -форме	613
--	-----

## ОРГАНИЧЕСКАЯ ХИМИЯ

Н. Я. Коева, О. В. Мукбаннани, Л. М. Хананашвили, Г. Ш. Кутателадзе. Полифункциональные органохлоросилоксаны линейного строения	617
---	-----

## ФИЗИЧЕСКАЯ ХИМИЯ

Г. В. Цицишвили (академик АН ГССР), М. К. Чарквиани, П. М. Никашвили. О кристаллизации шабазитовой фазы в присутствии ионов тетраметиламмония	621
Е. М. Нанобашвили, М. В. Панчвидзе, Е. О. Сванидзе. Радиолиз глутатиона	625
Г. Н. Звиададзе, С. И. Бусов, Б. Э. Дзевицкий, Б. П. Дымов, Г. А. Скоробогатов. Кинетико-спектроскопическое исследование газо-фазного восстановления водородом хлоридавольфрама	629
К. Б. Иоселиани, И. Л. Эдилашвили, Л. Д. Меликаидзе (академик АН ГССР). Механизм стабилизирующего действия некоторых металлографических соединений в процессе фотоокисления нефтяных масел	633

## ХИМИЧЕСКАЯ ТЕХНОЛОГИЯ

Р. В. Кереселидзе, З. И. Гургенидзе. К вопросу очистки сливных вод производства «основания Арнольда»	637
Е. М. Бенашвили, М. Л. Арешидзе. Каталитические свойства алюмо-литиевых катализаторов крекинга, содержащих цеолит типа У с катионами празеодима и эрбия	641

## ГИДРОЛОГИЯ

- В. Ш. Геладзе. Территориальное распределение годового количества осадков по Западной Сирии 645

## ГЕОЛОГИЯ

- Н. А. Асланиашвили. Цеолиты в породах-коллекторах Самгори Патардзеульского месторождения нефти 649

## СТРОИТЕЛЬНАЯ МЕХАНИКА

- З. А. Кучухидзе. Оценка влияния податливости грунта основания на пространственное напряженное состояние здания при использовании трехкомпонентной акселерограммы землетрясения 653
- Д. В. Бичиашвили. Методика построения линий влияния для осесимметричных оболочек на упругом основании 657

## РАЗРАБОТКА И ОБОГАЩЕНИЕ МЕСТОРОЖДЕНИЙ

- \* О. А. Ланчава. К определению безразмерной температуры стенок горной выработки 663
- А. С. Микеладзе. О группировке угольных пластов по мощности и углу падения 665

## ГИДРОТЕХНИКА

- Г. Б. Руруа. Ограниченные классические планы при планировании многофакторных экспериментов 669

## АВТОМАТИЧЕСКОЕ УПРАВЛЕНИЕ И ВЫЧИСЛИТЕЛЬНАЯ ТЕХНИКА

- Г. Г. Чоговадзе, Г. Ш. Гвинепадзе. Оптимизация поиска информации в запоминающихся устройствах прямого доступа 673
- И. В. Веренинов, Г. Н. Мусхелишвили, М. И. Нечипоренко, Д. К. Пурадашвили, Г. Н. Черкесов. Об использовании результатов ранней диагностики процесса массообмена при оперативном управлении разделительными насадочными установками 677
- К. Г. Кахеладзе, Г. Б. Дзагания, А. И. Лабадзе, Г. С. Циромуа. К вопросу косвенного определения диаметра и овальности движущегося проката с применением средств ВТ 681

## БОТАНИКА

- А. А. Колаковский (член-корреспондент АН ГССР). Федоровия — новый монотипный род с известняков Южного Закавказья 685
- Т. К. Мардалейшвили. Новости для флоры скально-осыпного комплекса Грузии 689

## ФИЗИОЛОГИЯ ЧЕЛОВЕКА И ЖИВОТНЫХ

- Н. Я. Чихория. О влиянии пентагастрин и лазикса на желудочную секрецию и диурез 693
- Т. Б. Гловели. Характер реакций пирамидных нейронов Regio superior гиппокампа в ответ на электрическую стимуляцию входов 697
- А. А. Джавахишвили, Е. И. Долидзе, Н. А. Эсадзе. Об эффективности криорефлексогенного метода лечения больных со спонтанным энурезом 701

БИОХИМИЯ	
Э. А. Заалишвили, Р. С. Рижинашвили, Г. А. Марсагишивили. Исследование водорастворимых белков головного мозга цыплят в процессе импринтинга	705
<b>ФИТОПАТОЛОГИЯ</b>	
А. И. Чумакова, Э. С. Мегрелидзе. Питомники-«ловушки» для изучения расового состава возбудителя фитофтороза картофеля в Грузии	709
<b>ЭНТОМОЛОГИЯ</b>	
Э. Д. Абашидзе, А. А. Кипиани. Использование половых феромонов яблонной плодожорки в целях сигнализации сроков борьбы с ней и изуче- ния динамики ее популяций	713
<b>ЭКСПЕРИМЕНТАЛЬНАЯ МОРФОЛОГИЯ</b>	
Л. Ш. Каркарашвили. Электронномикроскопическое исследование надпо- чечников при экспериментальном инфаркте миокарда, осложненном кардиогенным шоком	717
<b>ЭКСПЕРИМЕНТАЛЬНАЯ МЕДИЦИНА</b>	
Э. Н. Микадзе, Н. И. Татишвили, М. М. Чиковани, П. И. Соловьев. Иммунологические сдвиги при атеросклерозе	721
Б. Р. Худайатов, Т. К. Жоржоладзе, Н. Б. Чертин. Клинико-физио- логическое обследование и комплексное восстановительное лечение больных с вялыми акушерскими параличами руки в Тбилиси	725
К. П. Немсадзе. Состояние клеточного иммунитета при сепсисе у детей ран- него возраста и лечение их левамизолом	729
<b>ЯЗЫКОЗНАНИЕ</b>	
* А. И. Арабули. К вопросу об окончании I результативного -ie.	734
* Б. А. Цхададзе. -ეფ -ეր и -ებ -ეր в древнегрузинских глаголах	739
<b>ФИЛОЛОГИЯ</b>	
* М. Ю. Карбелашвили. Структура и типология народного сказа «Витязь в барсовой шкуре»	744
<b>АРХЕОЛОГИЯ</b>	
К. Н. Мелитаури, Р. В. Давлианидзе, В. Г. Садрадзе. Печь VII— VI вв. до н. э. селища Каландадзистора I	745
<b>ЭТНОГРАФИЯ</b>	
* Р. А. Топчишвили. Некоторые итоги историко-этнографического изучения вопроса переселения горцев Восточной Грузии на равнину	751
<b>ВОСТОКОВЕДЕНИЕ</b>	
М. Н. Иванишвили. О некоторых художественных приемах Г. Саэди	756

## CONTENTS \*

### MATHEMATICS

B. V. Khvedelidze, E. V. Ishchenko. On a discontinuous problem of linear conjugation with piecewise continuous coefficients	532
L. V. Žižiashvili. Summability of multiple orthogonal series by the Cesaro method of negative order	535
A. B. Kharazishvili. Absolutely nonmeasurable sets in Abelian groups	540
L. S. Nechitailova. On infinitesimal transformations of n-orthogonal systems in Riemannian spaces	544
V. V. Ryzhkov. Towards the theory of $n$ -conjugated nets in affine connexion spaces	548
A. A. Pankov. On the Decomposition of Noether holomorphic operator functions	551
N. L. Lazrieva, R. Ya. Chitashvili. On some properties of strong solutions of stochastic differential equations on an interval	556
D. T. Jgarkava. On the necessary conditions of optimality for problems with mixed constraints	560
S. A. Razmadze. Optimization of the longitudinal profile of the under-ground railway tunnel line with special constraints	564
M. V. Mikiashvili. On the multiplicative structure in the cohomologies of fiber bundles	568
L. G. Zamzashvili. Relations between dimensions of free bases of free topological groups	572
V. V. Khochoilava. On the strong summability of Fourier-Laplace series in the class of functions $L_p(S^k)$ , $P > 1$	576
F. A. Nadaraya. Some Remarks on the convergence in variation of the kernel type density function estimate	579

### CYBERNETICS

I. F. Kusov, M. V. Bulgakov, N. I. Samoilova. Stabilization of dynamic systems with distributed parameters under incomplete information conditions	584
T. V. Manjaparashvili. On the definition of probability of fuzzy events	588
D. A. Todua, A. N. Vepkhvadze, O. V. Gogoladze. Towards the construction of a new type of computer based on homogeneous rearrangable structures	592

\* A title marked with an asterisk refers to the summary of the article.

## PHYSICS

- Z. Sh. Nadirashvili, J. S. Tsakadze. A device for fine adjustment and accurate measurement of high pressures in investigating the properties of solid helium 596
- L. D. Gogua, V. V. Sanadze, Ye. Z. Vintaikin, V. A. Udoovenko. Peculiarities of low-temperature  $F_c \rightarrow F_c$  transformations in  $\gamma\text{-MnNi}$  and  $\gamma\text{-MnFe}$  alloys 600
- L. P. Bychkova, G. G. Gegiadze, O. I. Davarashvili, V. P. Zlomanov, I. V. Krialashvili, R. I. Chikovani, A. P. Shotov. Ternary and quaternary  $A^{IV}B^{VI}$  solid solutions with substitution in anion sublattice and heterostructures based on them 604

## GEOPHYSICS

- S. A. Yufin, T. L. Berdzenishvili. A Multipurpose computer code for the solution of some problems of geophysics 608
- O. V. Lursmanashvili, N. K. Kachakhidze. On the interrelation of strong earthquakes of the Caucasus over the period 1899-1976 612

## ANALYTICAL CHEMISTRY

- V. D. Eristavi, L. L. Kashakashvili. The effect of flow rate of chromatographic solution upon scandium, yttrium and lanthanum sorption on anionites AB-17, AB-16 and ӘDӘ-10 in  $\text{CO}_3$ -form 616

## ORGANIC CHEMISTRY

- N. A. Koiava, O. V. Mukbaniani, L. M. Khananashvili, G. Sh. Kutateladze. Polyfunctional organochlorosiloxanes of linear structure 620

## PHYSICAL CHEMISTRY

- G. V. Tsitsishvili, M. K. Charkviani, P. M. Nanikashvili. On the chabazite phase crystallization in the presence of tetramethylammonium ions 624
- E. M. Nanobashvili, M. V. Panchvidze, E. O. Svanidze. Radiolysis of glutathione 628
- G. N. Zviadadze, S. N. Busov, B. E. Dzhevitski, B. P. Dymov, G. A. Skorobogatov. Time-resolved spectroscopical study of the gas-phase reduction of tungsten chloride by hydrogen 632
- K. B. Ioseliani, I. L. Edilashvili, L. D. Melikadze. The Mechanism of antioxidative action of some metalloorganic compounds during photooxidation of petroleum oils 636

## CHEMICAL TECHNOLOGY

- R. V. Kereslidze, Z. I. Gurgenidze. On the "Arnold base" production discharge water treatment 639

E. M. Benashvili, M. L. Areshidze. Catalytic properties of Pr and Er forms of Y type zeolite-containing aluminosilicate cracking catalysts	644
<b>HYDROLOGY</b>	
V. Sh. Geladze. Territorial distribution of annual precipitation in Western Syria	648
<b>GEOLOGY</b>	
N. A. Aslanikashvili. Zeolites in the collector rocks of the Samgori-Patardzeli oil fields	651
<b>STRUCTURAL MECHANICS</b>	
Z. A. Kuchukhidze. Use of a three-component earthquake accelerogram in assessing the effect of ground yielding on the building's three-dimensional stress state	656
D. V. Bichiaishvili. A Method of plotting the effect lines for axisymmetrical shells of Winkler type	659
<b>EXPLOITATION OF DEPOSITS AND CONCENTRATION</b>	
O. A. Lanchava. Towards determining the dimensionless temperature of the walls of underground working	663
A. S. Mikeladze. Grouping of coal seams according to thickness and angle of incidence	668
<b>HYDRAULIC ENGINEERING</b>	
G. B. Rurua. Limited classical plans in designing multifactor experiments	672
<b>AUTOMATIC CONTROL AND COMPUTER ENGINEERING</b>	
G. G. Chogovadze, G. Sh. Gvinepadze. Data search optimization of direct access memory	676
I. A. Vereninov, G. N. Muskhelishvili, M. I. Nechiporenko, J. K. Puradashvili, G. N. Cherkesov. On the use of the results of early diagnostics of the mass exchange process under operative control of packed separation units	680
K. G. Kakhetadze, T. B. Dzagania, A. I. Labadze, G. S. Tsiramua. On indirect determination of the diameter and ovality of rolled steel using computer technology	684
<b>BOTANY</b>	
A. A. Kolakovski. Fedorovia—a new monotypical genus from limestones of south Transcaucasia	688
T. K. Mardaleishvili. New plants for the flora of the rock-talus complex of Georgia	692

## HUMAN AND ANIMAL PHYSIOLOGY

- N. I. Chikhoria. The effect of pentagastrin and lasix on gastric secretion and diuresis 696
- T. B. Gaveli. The character of pyramidal unit activity of regio superior hippocampi in response to electrical stimulation of inputs 700
- A. A. Javakhishvili, E. I. Dolidze, N. A. Esadze. On the effectiveness of the cryoreflexogenic method of treatment of patients with spontaneous enuresis 704

## BIOCHEMISTRY

- E. A. Zaalishvili, R. S. Rizhinashvili, G. A. Marsagishvili. Investigation of water-soluble proteins in chicken's brain in imprinting processes 707

## PHYTOPATHOLOGY

- A. I. Chumakova, E. S. Megrelidze. "Trap"-nurseries for studying the racial composition of the agent of late blight of potato in Georgia 711

## ENTOMOLOGY

- E. D. Abashidze, A. A. Kipiani. Use of sex pheromones in the timing of codling moth control and studying its population dynamics 716

## EXPERIMENTAL MORPHOLOGY

- L. Sh. Karkarashvili. Electron microscopic investigation of the adrenal glands during induced myocardial infarction aggravated by cardiogenic shock 720

## EXPERIMENTAL MEDICINE

- E. N. Mikadze, N. I. Tatishvili, M. M. Chikovani, P. I. Solovyov. Immunological changes in atherosclerosis 724
- B. R. Khudaidatov, T. K. Zhorzhladze, N. B. Chertin. Clinicophysiological investigation and complex treatment of patients with obstetric flaccid paralysis of hand in Tbilisi 728
- K. P. Nemsadze. The state of cellular immunity during sepsis and its treatment with levamisole 732

## LINGUISTICS

- A. I. Arabuli. Concerning the *ie* ending of Resultative I 735
- B. A. Tskhadadze. -*ებ* -*ეპ* and -*ებ* -*ეპ* suffixes in Old Georgian verbs 739

## PHILOLOGY

- M. I. Karbelashvili. Structural study of the folk version of "The Knight in the Panther's Skin" 744

ARCHAEOLOGY

- K. N. Melitauri, R. V. Davlianidze, V. G. Sadradze. An oven of the  
7th-6th century b.c. from Kalandadzisgora

747

ETHNOGRAPHY

- R. A. Topchishvili. Some findings of a historical-ethnographic study of migra-  
tion to the plain of highlanders of Eastern Georgia

752

ORIENTAL STUDIES

- M. N. Ivanishvili. On some artistic devices employed by Ch. Saedi

756



Б. В. ХВЕДЕЛИДЗЕ (член-корреспондент АН ГССР), Е. В. ИЩЕНКО

## О РАЗРЫВНОЙ ЗАДАЧЕ ЛИНЕЙНОГО СОПРЯЖЕНИЯ С КУСОЧНО-НЕПРЕРЫВНЫМ КОЭФФИЦИЕНТОМ

В настоящей заметке даны некоторые дополнения к известным результатам [1—3], связанным с решением задачи линейного сопряжения

$$\Phi^+(t) = G(t)\Phi^-(t) + g(t), \quad t \in \Gamma, \quad (1)$$

когда  $G$  — кусочно-непрерывная функция.

Пусть  $\Gamma$  — простая, спрямляемая кривая. Как обычно, через  $L_p(\Gamma, \omega)$  обозначим класс функций, таких что  $\varphi \in L_p(\Gamma, \omega) \Leftrightarrow \omega \varphi \in L_p(\Gamma)$ .

В дальнейшем  $p$  будет обозначать вещественное число, большее единицы, а  $p' = p/p - 1$ .

Введем обозначения

$$S_\Gamma \varphi(t) = S \varphi(t) = \frac{1}{\pi i} \int_{\Gamma} \frac{\varphi(\tau)}{\tau - t} d\tau, \quad t \in \Gamma; \quad L_\infty(\Gamma) = \{\varphi | \varphi \in L_p(\Gamma) \text{ и } (p > 1)\},$$

$$\mathfrak{K}_p(\Gamma, \omega; q) = \left\{ \frac{1}{2\pi i} \int_{\Gamma} \frac{\varphi(\tau)}{\tau - z} d\tau + q(z), z \in \Gamma | \varphi \in L_p(\Gamma, \omega), q \in Q \right\},$$

$$\widetilde{\mathfrak{K}}_p(\Gamma, \omega) = \bigcup_{q \in Q} \mathfrak{K}_p(\Gamma, \omega; q), \quad \widetilde{\mathfrak{K}}_p(\Gamma, 1) = \widetilde{\mathfrak{K}}_p(\Gamma),$$

$$\mathfrak{K}_p(\Gamma, \omega; 0) = \mathfrak{K}_p(\Gamma, \omega),$$

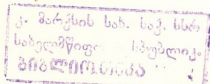
где  $Q$  — множество всех полиномов, а в  $S\varphi(t)$  не собственный интеграл рассматривается в смысле главного значения по Коши.

Будем говорить, что кривая  $\Gamma$  принадлежит классу  $R$ , если  $\forall p$ ,  $S_\Gamma$  ограничен в пространстве  $L_p(\Gamma)$ .

В силу недавнего результата Кальдерона [4], гладкие кривые входят в  $R$ . Из этого результата и одной теоремы Э. Г. Гордадзе (см., напр., [3]), следует, что в  $R$  входят все кусочно-гладкие кривые независимо от наличия у них точек возврата.

Если существует положительное число  $k = k(\Gamma)$ , такое, что  $A(t_1, t_2 \in \Gamma)$   $|t_1 - t_2| \geq ks(t_1, t_2)$ , где  $s(t_1, t_2)$  — длина дуги (меньшей, если  $\Gamma$  замкнута), соединяющей точки  $t_1, t_2$ , то будем говорить, что  $\Gamma \in K$ .

Через  $\widetilde{R}$  обозначим объединение кривых класса  $R \cap K$  и кусочно-гладких.



Пусть  $G$  — заданная на  $\Gamma$  функция. Будем говорить, что функция  $X$  является факторфункцией  $G$ , если  $X$  и  $X^{-1} \in \widetilde{\mathfrak{K}}_1(\Gamma)$  и почти всюду на  $\Gamma: G = X^+ / X^-$ . Если  $\Gamma$  обладает факторфункцией, то будем говорить, что она факторизуема. Если факторфункция  $X$  такая, что  $X \in \widetilde{\mathfrak{K}}_p(\Gamma, \omega)$ ,  $X^{-1} \in \widetilde{\mathfrak{K}}_{p'}(\Gamma, \omega^{-1})$ , тогда скажем, что  $X$  является факторфункцией в классе  $\widetilde{\mathfrak{K}}_p(\Gamma, \omega)$  и что  $G$  факторизуема в этом классе.

Пусть  $G \in C_0(\Gamma, c_1, \dots, c_m)$ , т. е.  $G$  непрерывна всюду на  $\Gamma$ , кроме точек  $c_1, \dots, c_m \in \Gamma$ , в которых она имеет разрывы первого рода и  $A(t \in \Gamma) G(t \mp 0) \neq 0$ . Введем обозначение

$$\lambda_k = \alpha_k + i\beta_k = \frac{1}{2\pi i} \ln \frac{G(c_k - 0)}{G(c_k + 0)}, \quad k = \overline{1, m}, \quad (2)$$

где  $\alpha_k, \beta_k$  — вещественные числа. Ветвь логарифма можно подобрать так, чтобы

$$-1 < \alpha_k < 1, \quad k = \overline{1, m}. \quad (3)$$

Числа  $\alpha_k$  будем называть параметрами функции  $G$  в точках  $c_k$ .

Если  $G(c_k - 0)/G(c_k + 0) > 0$ , тогда  $\alpha_k = 0$ . Такие точки разрыва называют [1] особенными. В неособенной точке  $c_k$  параметр определяется также однозначно, если потребовать, чтобы  $\alpha_k \in (0, 1)$  или  $\alpha_k \in (-1, 0)$ . В первом случае параметр  $\alpha_k$  будем называть положительным, а во втором — отрицательным. Вообще говоря, параметры определяются однозначно, если потребовать, чтобы они заключались в полусегменте длины 1. В частности, если параметры определяются с помощью полусегмента  $\left(-\frac{1}{p}, \frac{1}{p'}\right]$  или  $\left[-\frac{1}{p}, \frac{1}{p'}\right)$ , то их будем называть  $p$ -параметрами функции  $G$ . В этом случае точки разрыва  $c_k$ , в которых  $p$ -параметр равен  $\frac{1}{p'}$  или  $-\frac{1}{p}$  будем называть  $p$ -особыми.

Рассмотрим функции

$$\psi_k(z) = \begin{cases} (z - c_k)^\lambda, & z \in D^+ \\ ((z - c_k)/(z - z_0))^{\lambda_k}, & z \in D^-, \end{cases} \quad G_0(t) = \prod_{k=1}^m (t - z_0)^{-\lambda_k} G(t) \\ \psi = \prod_{k=1}^m \psi_k, \\ k = \overline{1, m}, \\ X = \psi X_0, \quad (4)$$

где  $D^+$ ,  $D^-$  — конечная и бесконечная области, ограниченные замкнутой кривой  $\Gamma$ ,  $z_0 \in G^+$ , ветви многозначных функций  $(z - c_k)^{\lambda_k}$ ,  $\left(\frac{z - c_k}{z - z_0}\right)^{\lambda_k}$  подобраны так, что  $G_0$  непрерывна и  $X$  — факторфункция  $G$ , причем  $X_0$  факторфункция  $G_0$  в классе  $\widetilde{\mathfrak{K}}_\infty(\Gamma)$ .

Для любого набора параметров  $\alpha_k$  и любого числа  $p$  (4) есть факторфункция  $G$  в классе  $\widetilde{\mathfrak{K}}_p(\Gamma, \omega)$ , где

$$\omega(t) = \prod_{k=1}^m |t - c_k|^{\gamma_k}, \quad -\alpha_k - \frac{1}{p} < \gamma_k < -\alpha_k + \frac{1}{p'}, \quad k = \overline{1, m}. \quad (5)$$

Пусть  $c_{m_1+1}, \dots, c_m$  — все особенные точки разрыва  $G$ . Тогда вблизи этих точек на  $\Gamma$  факторфункция  $X \in L_\infty$  (т. е.  $X^\pm \in L_\infty$ ).

Иногда целесообразно требовать, чтобы это включение сохранилось и вблизи заранее заданных неособенных точек разрыва  $c_{s+1}, \dots, c_{m_1}$ .

Обозначим через  $I_p(\omega; c_{s+1}, \dots, c_{m_1})$  множество таких функций, что  $\varphi \in I_p(\omega; c_{s+1}, \dots, c_{m_1}) \Leftrightarrow \varphi \in L_p(\Gamma, \omega)$  и  $\varphi \in L_\infty$  вблизи точек  $c_{s+1}, \dots, c_{m_1}$ . Если  $\omega = 1$ , то взамен  $I_p(1; c_{s+1}, \dots, c_{m_1})$  напишем  $I_p(c_{s+1}, \dots, c_{m_1})$ . Классы  $I_p(\omega; c_{s+1}, \dots, c_{m_1})$  и  $I_{p'}(\omega^{-1}; c_1, \dots, c_s)$  будем называть сопряженными. Через  $\widetilde{I}_p(\omega; c_{s+1}, \dots, c_{m_1})$  (или  $\widetilde{I}_p(\omega; c_{s+1}, \dots, c_{m_1})$ ) будем обозначать также подмножество  $\{X\} \subset \widetilde{\mathfrak{R}}_p(\Gamma, \omega)$  (или  $\{X\} \subset \widetilde{\mathfrak{R}}_p(\Gamma, \omega)$ ) таких, что  $X^\pm \in I_p(\omega; c_{s+1}, \dots, c_{m_1})$ .

Будем говорить, что факторфункция  $X$  является факторфункцией в классе  $\widetilde{I}_p(\omega; c_{s+1}, \dots, c_{m_1})$ , если  $X \in \widetilde{I}_p(\omega; c_{s+1}, \dots, c_{m_1})$ ,  $X^{-1} \in I_{p'}(\omega^{-1}; c_1, \dots, c_s)$ .

Пусть  $\Gamma \in \widetilde{\mathcal{R}}, G \in C_0(\Gamma, c_1, \dots, c_m)$ ,  $V(t \in \Gamma) G(t \mp 0) \neq 0$ , в точках  $c_1, \dots, c_m$  кривая  $\Gamma$  имеет односторонние касательные. Тогда справедливы следующие утверждения:

1) Функция  $X$ , определенная равенством (4), будет факторфункцией в классе  $I_p(\omega; c_1, \dots, c_s)$ , где  $\omega$  определена соотношениями (5) тогда

в точках  $c_1, \dots, c_s$  — отрицательны.

2) Если  $G$  не имеет  $p$ -особенных точек разрыва и  $g \in L_p(\Gamma)$  тогда все решения задачи (1) в классе  $\widetilde{\mathfrak{R}}_p(\Gamma)$  представляются формулой

$$\Phi(z) = \frac{X(z)}{2\pi i} \int_{\Gamma} \frac{g(\tau)}{X^+(\tau)(\tau-z)} d\tau + X(z)q(z), \quad (6)$$

где  $q$  — произвольный полином, а  $X$  определена равенством (4), причем в (2)  $\alpha_k$  являются  $p$ -параметрами.

3) Пусть  $c_1, \dots, c_s$  — все  $p$ -особенные точки разрыва, причем в точках  $c_1, \dots, c_{s_1}$  параметры отрицательны (т. е. равны  $-\frac{1}{p}$ ), а в точках  $c_{s_1+1}, \dots, c_s$  — положительны (т. е. равны  $\frac{1}{p'}$ ). Пусть, далее,  $g \in L_p(\Gamma, \omega)$  где

$$\omega(t) = \prod_{k=1}^s |t - c_k|^{\gamma_k}, \quad 0 < \gamma_k < \frac{1}{p'}, \quad k = \overline{1, s_1}; \quad -\frac{1}{p} < \gamma_k < 0, \quad k = \overline{s_1+1, s}.$$

Тогда все решения задачи (1) в классе  $\widetilde{\mathfrak{R}}_p(\Gamma, \omega)$  представляются формулой (6), где  $X$  — факторфункция в классе  $\widetilde{\mathfrak{R}}_p(\Gamma, \omega)$ .

4) Пусть в равенстве (2)  $\alpha_k$  параметры и  $\alpha = \max \{|\alpha_1|, \dots, |\alpha_{m_1}|\}$ .

Тогда, если  $\alpha_k (k = \overline{1, m_1})$  — положительны,  $g \in L_p(\Gamma)$ , где

$$p > (1 - \alpha)^{-1}, \quad (7)$$

то все решения задачи (2) в классе  $\widetilde{\mathfrak{K}}_p(\Gamma)$  представляются формулой (6), где  $X$ -факторфункция  $G$  в классе  $\widetilde{\mathfrak{K}}_p(\Gamma)$ . Когда параметры  $\alpha_k (k = \overline{1, m_1})$  — отрицательны, то предложение остается в силе, если неравенство (7) заменить неравенством  $1 < p < \alpha^{-1}$ . Когда параметры  $\alpha_1, \dots, \alpha_s (s < m_1)$  положительны, а  $\alpha_{s+1}, \dots, \alpha_{m_1}$  — отрицательны, и  $\alpha_+ + \alpha_- < 1$ , где  $\alpha_+ = \max \{|\alpha_1|, \dots, |\alpha_s|\}$ ,  $\alpha_- = \max \{|\alpha_{s+1}|, \dots, |\alpha_{m_1}|\}$ , то предложение остается в силе, если неравенство (7) заменить неравенством  $(1 - \alpha_+)^{-1} < p < \alpha_-^{-1}$ . Наконец, если  $g \in l_p(\omega; c_{s+1}, \dots, c_{m_1})$ ,  $0 \leq s \leq m_1 - 1$ ,  $\omega$  определена равенством (5), в котором  $v_k$  удовлетворяют условиям

$$\max \left\{ -\alpha_k - \frac{1}{p}, -\frac{1}{p} \right\} < v_k < \min \left\{ -\alpha_k + \frac{1}{p'}, \frac{1}{p'} \right\}, \quad k = \overline{1, m_1}. \quad (8)$$

Тогда предложение остается в силе, если неравенство (7) заменить неравенством (8), а класс  $\widetilde{\mathfrak{K}}_p(\Gamma)$  — классом  $\widetilde{\mathcal{I}}_p(\omega; c_{s+1}, \dots, c_{m_1})$ .

Академия наук Грузинской ССР  
Тбилисский математический институт  
им. А. М. Размадзе

Грузинский институт  
субтропического хозяйства

(Поступило 29.11.1979)

#### სამიზატიკა

ბ. ხვედელიძე (საქ. სსრ მეცნ. ეკადემიის წევრ-კორესონდენტი), ი. იშჩენკო  
უგან-უგან უფავეტი პოლიციის მართვის წრფილი უფლების  
უფლების სასაზღვრო ავოცანის ზესახებ

რეზოუმე

მოტანილია ზოგიერთი დამატება (1) ამოცანასთან დაკავშირებული ცნობილი [1—3] შედეგებისადმი.

#### MATHEMATICS

## B. V. KHVEDELIDZE, E. V. ISHCHEŃKO ON A DISCONTINUOUS PROBLEM OF LINEAR CONJUGATION WITH PIECEWISE CONTINUOUS COEFFICIENTS

### Summary

Some complements to the known results [1-3] connected with the solution of problem (1) are indicated in the article.

### ლიტერატურა — REFERENCES

1. Н. И. Мусхелишвили. Сингулярные интегральные уравнения. М., 1968.
2. Ф. Д. Гахов. Краевые задачи. М., 1977.
3. Б. В. Хведелидзе. Совр. проблемы математики, т. 7, 1975, 5—162.
4. A. P. Calderon. Proc. Nat. Acad. Sci. USA, 74, № 4, 1977, 1324-27.



Л. В. ЖИЖИАШВИЛИ (член-корреспондент АН ГССР)

СУММИРУЕМОСТЬ МЕТОДОМ ЧЕЗАРО ОТРИЦАТЕЛЬНОГО  
ПОРЯДКА КРАТНЫХ ОРТОГОНАЛЬНЫХ РЯДОВ

1. Пусть  $E_n (n \geq 1)$  обозначает  $n$ -мерное евклидово пространство; точки  $E_n$  обозначаем через  $\vec{x}, \vec{y}, \dots$ . В дальнейшем предполагается, что последовательность  $(\varphi_i)_i > \vec{0}$  — ортонормированная система (ОНС) на  $[0,1]^n$ , а ряд

$$\sum_{i>0} a_i \varphi_i(\vec{x}) \quad (1.1)$$

$n$ -кратный ортональный ряд. Затем предполагается, что для  $\vec{\alpha} = (\alpha_1, \alpha_2, \dots, \alpha_n)$  все  $\alpha_i \in (-1, 0)$  ( $i = \overline{1, n}$ ) (при  $n = 1 \vec{\alpha} = \alpha \in (-1, 0)$ ). Через  $\sigma_p^{\vec{\alpha}}(\vec{x})$  обозначаем  $n$ -кратные прямоугольные чезаровские средние ряда (1.1) порядка  $\vec{\alpha}$ , т. е.

$$\sigma_p^{\vec{\alpha}}(\vec{x}) = \frac{1}{\prod_{k=1}^n A_{p_k}^{\alpha_k}} \sum_{j_1=0}^{p_1} \cdots \sum_{j_n=0}^{p_n} \prod_{k=1}^n A_{p_k}^{\alpha_k} S_j(\vec{x}),$$

где  $S_j(\vec{x})$  —  $n$ -кратная прямоугольная сумма (порядка  $j = (j_1, j_2, \dots, j_n)$ ) ряда (1.1).

2. Для случая  $n = 1$  Ченг [1] (при  $\alpha \in \left(-1, -\frac{1}{2}\right)$ ) и Суноучи, Яно [2] (при  $\alpha \in (-1, 0)$ ) исследовали вопрос о  $(c, \alpha)$  суммируемости простых ортональных рядов (в смысле сходимости почти всюду на  $[0,1]$ , простых чезаровских средних), причем Ченг [1] рассматривал ограниченную ОНС на  $[0,1]$ .

В настоящей статье приводятся результаты, относящиеся к вопросу сходимости по Прингсхайму почти всюду на  $[0,1]^n$ , ( $n \geq 2$ )  $n$ -кратных чезаровских средних отрицательного порядка ряда (1.1).

Теорема 1. Пусть  $\alpha_\lambda \in \left(-1, -\frac{1}{2}\right)$  ( $\lambda = \overline{1, n}$ ) и

$$\sum_{j \geq 0} a_j^2 \prod_{\lambda=1}^n j_\lambda^{-2\alpha_\lambda} < +\infty. \quad (2.1)$$

Тогда ряд (1.1) почти всюду на  $[0,1]^n$  суммируем методом  $(C, \vec{\alpha})$ .

Таким образом, множителем Вейля для  $(C, \vec{a})$  суммируемости почти всюду на  $[0,1]^n$  ряда (1.1) является следующее выражение

$$\prod_{\lambda=1}^n j_\lambda^{-\alpha_\lambda}, \quad \alpha_\lambda \in \left(-1, -\frac{1}{2}\right) (\lambda = \overline{1, n}).$$

Справедлива и следующая

Теорема 2. Пусть  $\alpha_\lambda \in \left(-\frac{1}{2}, 0\right)$  ( $\lambda = \overline{1, n}$ ) и выполняется условие (2.1). Тогда для любого  $\vec{\beta} = (\beta_1, \beta_2, \dots, \beta_n)$  с  $\beta_\lambda \in (\alpha_\lambda, 0)$  ( $\lambda = 1, n$ ) (1.1) почти всюду на  $[0,1]^n$  суммируем методом  $(C, \vec{\beta})$ .

Нам не известно, можно ли в теореме 2 для любого  $n \geq 2$  предполагать, что  $\beta_\lambda = \alpha_\lambda$  ( $\lambda = \overline{1, n}$ ).

Тбилисский государственный

университет

(Поступило 27.9.1979)

ასთმათიკა

ლ. ზორავრიშვილი (საქ. სსრ მეცნ. აკადემიის წევრ-კორესპონდენტი)

ჯერადი ორთოგონალური მატრიცების ზეჯამებადობა ჩიზაროს  
უარყოფითი რიგის გეომეტრი

რეზიუმე

მოყვანილია საქმარისი პირობები, რომლებიც უზრუნველყოფენ გერადი  
ორთოგონალური მატრიცების ზეჯამებადობას ჩიზაროს უარყოფითი რიგის  
მეთოდით.

L. V. ŽIŽIASHVILI

SUMMABILITY OF MULTIPLE ORTHOGONAL SERIES BY  
THE CESARO METHOD OF NEGATIVE ORDER

Summary

The paper deals with the problem of summability almost everywhere in the  $[0,1]^n$  of multiple orthogonal series by the Cesaro method of negative order.

ლიტერატურა — ЛИТЕРАТУРА — REFERENCES

1. Min Ten Cheng. Duke Math. J., 14, 1947, 401-404.
2. G. Sunouchi, S. Yano. Proc. Akad. Japan., 26, 1950, 10-16.



МАТЕМАТИКА

А. Б. ХАРАЗИШВИЛИ

АБСОЛЮТНО НЕИЗМЕРИМЫЕ МНОЖЕСТВА В АБЕЛЕВЫХ  
ГРУППАХ

(Представлено академиком Г. С. Чогошвили 6.6.1979)

Пусть  $G$  — произвольная коммутативная группа. Тогда, в силу хорошо известной теоремы Банаха (см. [1]), на булеане этой группы можно определить положительный нормированный конечно-аддитивный инвариантный функционал. Отсюда, в частности, вытекает, что группа  $G$  не содержит подмножеств, являющихся абсолютно неизмеримыми по отношению к классу всех нетривиальных конечных положительных конечно-аддитивных инвариантных функционалов, задаваемых на  $G$ . С другой стороны, справедливо следующее

Предложение 1. Во всякой нечетной коммутативной группе  $G$  имеются подмножества, являющиеся абсолютно неизмеримыми по отношению к классу всевозможных невырожденных  $\sigma$ -конечных инвариантных мер, задаваемых на  $G$ .

Доказательство этого предложения основывается на ряде лемм.

Лемма 1. Пусть  $E$  — основное базисное пространство мощности  $\aleph_1$ , а  $\Gamma$ ,  $\Gamma_0$  и  $\Gamma_1$  — группы преобразований пространства  $E$ , удовлетворяющие следующим соотношениям:

1) группа  $\Gamma$  действует свободно и транзитивно в  $E$ ;

2)  $\Gamma_0 \subset \Gamma$  &  $\Gamma_1 \subset \Gamma$  &  $\Gamma_0 \cap \Gamma_1 = \{I_E\}$ ;

3)  $\text{Card } \Gamma_0 = \aleph_0$  &  $\text{Card } \Gamma_1 = \aleph_1$ .

Тогда существует подмножество  $X$  пространства  $E$ , обладающее свойствами:

a)  $\Gamma_0(X) = E$ ;

b)  $(\forall g)(\forall h)(g \in \Gamma_1 \& h \in \Gamma_1 \& g \neq h \Rightarrow \text{Card}(g(X) \cap h(X)) \leq \aleph_0)$ .

В частности,  $X$  есть абсолютно неизмеримое множество относительно класса всех невырожденных  $\sigma$ -конечных  $\Gamma$ -инвариантных мер, заданных на  $E$ .

(Доказательство леммы 1 см. в [2] или [3].) С помощью этой леммы без особого труда устанавливается

Лемма 2. Пусть  $E$  — основное базисное пространство, а  $\Gamma$ ,  $\Gamma_0$  и  $\Gamma_1$  — некоторые группы преобразований этого пространства, удовлетворяющие соотношениям

(1) группа  $\Gamma$  коммутативна и действует свободно в  $E$ ;

(2)  $\Gamma_0 \subset \Gamma$  &  $\Gamma_1 \subset \Gamma$  &  $\Gamma_0 \cap \Gamma_1 = \{I_E\}$ ;

(3)  $\text{Card } \Gamma_0 = \aleph_0$  &  $\text{Card } \Gamma_1 = \aleph_1$ .

Тогда пространство  $E$  содержит подмножество  $Y$ , обладающее следующими свойствами:

(a)  $\Gamma_0(Y) = E$ ;

(б) каковы бы ни были отличные друг от друга преобразования  $g \in \Gamma_1$  и  $h \in \Gamma_1$ , в  $E$  существует несчетное семейство попарно непересекающихся  $\Gamma_1$ -транслятов множества  $g(Y) \cap h(Y)$ .

В частности,  $Y$  является абсолютно неизмеримым множеством по отношению к классу всевозможных нетривиальных  $\sigma$ -конечных  $\Gamma$ -инвариантных мер, заданных на  $E$ .

**Лемма 3.** Если  $(G, +)$  — произвольная несчетная коммутативная группа, то она содержит подгруппы  $G_0$  и  $G_1$ , такие, что

1)  $\text{Card } G_0 = \aleph_0$  &  $\text{Card } G_1 = \aleph_1$ ;

2)  $G_0 \cap G_1 = \{0\}$ .

Коротко наметим доказательство леммы 3. Для каждого натурального числа  $m \geq 1$  обозначим через  $G^{(m)}$  подгруппу группы  $G$ , образованную всеми теми элементами  $g \in G$ , для которых выполняется равенство  $m \cdot g = 0$ . Далее, рассмотрим два случая.

(1) ( $\exists m$ ) ( $m \in N \setminus \{0\}$  &  $\text{Card } G^{(m)} \geq \aleph_1$ ). В этом случае пусть  $n$  обозначает наименьшее строго положительное натуральное число, обладающее тем свойством, что  $\text{Card } G^{(n)} \geq \aleph_1$ . Зафиксируем какую-нибудь счетную бесконечную подгруппу  $G_0$  группы  $G^{(n)}$ . Пусть  $P$  — множество всех групп  $H \subset G^{(n)}$ , удовлетворяющих следующему соотношению:

$$H \cap G_0 = \{0\}.$$

Множество  $P$  естественным образом упорядочивается посредством соотношения включения:

$$H \leq H' \iff H \subset H',$$

причем очевидно, что упорядоченное таким способом это множество является индуктивным. Пусть  $\tilde{H}$  — какой-нибудь максимальный элемент в  $P$ . Для наших целей достаточно установить справедливость неравенства

$$\text{Card } \tilde{H} \geq \aleph_1.$$

Предположим противное:  $\text{Card } \tilde{H} \leq \aleph_0$ . Тогда для группы  $T$ , порожденной объединением  $G_0 \cup \tilde{H}$ , будем иметь

$$\text{Card } T \leq \aleph_0.$$

В силу максимальности группы  $\tilde{H}$ , каждому элементу  $g \in G^{(n)} \setminus \tilde{H}$  можно поставить в соответствие натуральное число  $k(g) \in \{1, 2, \dots, n-1\}$  и элементы  $a(g) \in \tilde{H}$  и  $b(g) \in G_0 \setminus \{0\}$ , такие, что

$$k(g) \cdot g + a(g) = b(g)$$

и, следовательно,

$$k(g) \cdot g \in T.$$

Поскольку  $\text{Card } (G^{(n)} \setminus T) \geq \aleph_1$ , то для некоторого натурального числа  $k \in \{1, 2, \dots, n-1\}$  и некоторого элемента  $b \in T$  уравнение

$$k \cdot g = b \quad (g \in G^{(n)})$$

имеет несчетное число решений в группе  $G^{(n)}$ . Но отсюда немедленно вытекает, что группа  $G^{(k)}$  является несчетной, вопреки определению натурального числа  $n$ . Полученное противоречие дает нам нужный результат.

(2)  $(\forall m) (m \in N \setminus \{0\} \Rightarrow \text{Card } G^{(m)} \leq \aleph_0)$ . В этом случае рассуждения вполне аналогичны вышеприведенным. Зафиксировав счетную бесконечную подгруппу  $G_0$  группы  $G$ , рассмотрим множество  $P$  всех тех групп  $H \subset G$ , которые удовлетворяют соотношению

$$H \cap G_0 = \{0\}.$$

Снова упорядочив множество  $P$  по соотношению включения, возьмем какой-нибудь максимальный элемент  $\tilde{H}$  в этом множестве и убедимся, что

$$\text{Card } \tilde{H} \geq \aleph_1.$$

В самом деле, допустив противное, мы как и выше приедем к выводу, что для некоторого строго положительного натурального числа  $k$  и для некоторого элемента  $b$  счетной группы  $T$ , порожденной объединением  $G_0 \cup \tilde{H}$ , уравнение

$$k \cdot g = b \quad (g \in G)$$

имеет несчетное число решений в группе  $G$ . Отсюда сразу же следует неравенство

$$\text{Card } G^{(k)} \geq \aleph_1,$$

вопреки нашему предположению, что

$$(\forall m) (m \in N \setminus \{0\} \Rightarrow \text{Card } G^{(m)} \leq \aleph_0).$$

Получаемым противоречием завершается доказательство леммы 3.

Учитывая приведенные леммы, будем иметь

**Предложение 2.** Пусть  $E$  — основное базисное пространство и пусть  $\Gamma$  — коммутативная группа преобразований этого пространства, действующая свободно в нем. Тогда следующие два соотношения являются эквивалентными:

1)  $\text{Card } \Gamma \geq \aleph_1$ ;

2) в пространстве  $E$  существуют множества, абсолютно неизмеримые относительно класса всех невырожденных  $\sigma$ -конечных  $\Gamma$ -инвариантных мер, заданных на  $E$ .

**Замечание.** Будем говорить, что мера  $\mu$ , определенная на некотором  $\sigma$ -кольце частей базисного пространства  $E$ , обладает свойством Суслина, если любое дизъюнктное семейство  $\mu$ -измеримых множеств со строго положительными мерами не более чем счетно. Каждая  $\sigma$ -конечная мера обладает свойством Суслина, и очевидно, что обратное утверждение неверно. Предыдущими результатами фактически установлено, что всякая несчетная коммутативная группа  $G$  содержит подмножества, абсолютно неизмеримые по отношению к классу всевозможных нетривиальных инвариантных мер, задаваемых на  $G$  и обладающих свойством Суслина.

**Лемма 4.** Пусть  $G$  и  $G'$  — две произвольные группы и пусть  $f$  — произвольный эпиморфизм группы  $G$  на группу  $G'$ . Тогда, если множество  $Y \subset G'$  является абсолютно неизмеримым относительно класса всех невырожденных инвариантных мер, заданных на  $G'$  и обладающих свойством Суслина, то множество  $f^{-1}(Y) \subset G$  является абсолютно неизмеримым относительно класса всех невырожденных инвариантных мер, заданных на  $G$  и обладающих свойством Суслина.

С помощью предложения 1 и леммы 4 получается следующая

**Теорема.** Всякая несчетная разрешимая группа  $G$  содержит подмножества, являющиеся абсолютно неизмеримыми по отношению к классу всевозможных нетривиальных инвариантных мер, задаваемых на  $G$  и обладающих свойством Суслина.

Тбилисский государственный университет

Институт прикладной математики

им. И. Н. Бекуа

(Поступило 8.6.1979)

გათიახოვთის

ა. ხარაზიშვილი

აგსოლუტურად არაზომადი სიმრავლეები აგენტის ჯგუფები

რეზიუმე

მტკიცდება, რომ ნებისმიერი არათვლადი კომუტაციური  $G$  ჯგუფი შეიცავს ისეთ ქვესიმრავლებს, რომლებიც აბსოლუტურად არაზომადნი არიან  $G$  ჯგუფზე განსაზღვრულ ყველა არატრივიალურ რ-სასრულ ინვარიანტულ ზომათა კლასის მიმართ.

MATHEMATICS

A. B. KHARAZISHVILI

## ABSOLUTELY NONMEASURABLE SETS IN ABELIAN GROUPS

Summary

It is proved that every uncountable Abelian group  $G$  contains subsets which are absolutely nonmeasurable with respect to the class of all nontrivial countably additive  $\sigma$ -finite invariant measures defined on  $G$ .

## ლიტერატურა — ЛИТЕРАТУРА — REFERENCES

1. S. Banach. Fund. Math., t. 4. 1923.
2. А. Б. Харазишвили. ДАН СССР, 232, № 5, 1977.
3. А. Б. Харазишвили. Некоторые вопросы теории множеств и теории мер. Тбилиси, 1978.



Л. С. НЕЧИТАПЛОВА

ОБ ИНФИНИТЕЗИМАЛЬНЫХ ПРЕОБРАЗОВАНИЯХ  
 $n$ -ОРТОГОНАЛЬНЫХ СИСТЕМ В РИМАНОВОМ ПРОСТРАНСТВЕ

(Представлено академиком Р. В. Гамкелидзе 31.8.1979)

1. Хорошо известно, что риманово  $V_n$  произвольной сигнатуры (по крайней мере, в вещественно-аналитическом случае) допускает множество ортогональных (псевдоортогональных) систем гиперповерхностей, зависящее не более чем от  $\frac{n(n-1)}{2}$  функций двух аргументов (наибольший произвол имеет место при  $n \leq 3$  или в случае конформно-евклидовых пространств). При  $n > 3$   $V_n$  может не допускать ортогональных систем (о. с.), или, например, иметь единственную о. с. В данном сообщении рассматриваются  $V_n$ , отнесенные к ортогональной системе  $\Sigma$ , и изучается вопрос о малых преобразованиях  $V_n$ : сохраняющих ортогональность системы  $\Sigma$ .

Пусть метрика в рассматриваемой области имеет вид

$$ds^2 = g_{11} dx^1 + g_{22} dx^2 + \cdots + g_{nn} dx^n, \quad g_{ii} \neq 0, \quad (1)$$

Рассмотрим преобразование вида

$$x^i \rightarrow x^{i'} = x^i + t\xi^i + t^2 \eta^i + \cdots + t^k \zeta^i + \cdots, \quad (2)$$

где векторное поле  $\xi^i$  предполагается неисчезающим в области  $V_n$ .

Определение 1. Преобразование (2) назовем инфинитезимальным преобразованием (и. п.)  $k$ -го порядка ортогональной системы  $\Sigma$  ( $k = \text{i.p.o.c}$ ), если преобразованная система гиперповерхностей остается ортогональной с точностью до малых  $k$ -го порядка включительно относительно  $t$ .

Ставится задача отыскания  $V_n$ , отнесенных к о. с., допускающей и. п. I (или I и II) порядка с максимальным произволом.

2. Рассмотрим и. п. I порядка

$$x^i \rightarrow x^{i'} = x^i + t\xi^i. \quad (3)$$

Ортогональность  $\Sigma$  при преобразовании (3) сохранится, если

$$(L_\xi g)_{ij} = 0, \quad i \neq j. \quad (4)$$

Запишем уравнения (4) в развернутом виде

$$(ij) \equiv g_{ii} \xi_j^i + g_{jj} \xi_i^j = 0, \quad (5)$$

$\xi_i^i = \frac{\partial \xi^i}{\partial x^i}$  суммирования по повторяющимся индексам здесь и далее не производится.

**Определение 2.** И. п. о. с. (3), определяемое полем  $\xi^i$ , назовем неприводимым, если множество индексов  $I = (1, 2, \dots, n)$  нельзя разбить на непустые подмножества  $I_1(i_1), I_2(i_2)$ , такие, что  $\xi_{i_2}^{i_1} = 0$  и, следовательно,  $\xi_{i_1}^{i_2} = 0$ .

Легко доказывается

**Лемма.** Если поле  $\xi^i$  определяет неприводимое и. п. о. с., то метрика  $g$  в свою очередь определяется компонентами этого поля с точностью до конформности.

В случае приводимости и. п. о. с. для поля  $\xi^i$  существует единственное максимальное разбиение  $I = I_1 \cup \dots \cup I_r$ , такое, что  $\xi_{i_q}^{i_p} = 0$  при  $i_p \in I_p, i_q \in I_q, p \neq q$ . Уравнения (5) определяют  $g_{i_p i_p}$ , зависящие лишь от  $x^{i_p}$  с точностью до общего множителя.

Метрика определяется в виде

$$ds^2 = \sum_{p=1}^r \Phi_p(x^i) \sum_{i_p \in I_p} g_{i_p i_p}(x^{i_p}) dx^{i_p}^2.$$

3. Исследуем совместность системы (4), чтобы выяснить условия, при которых она допускает решения с максимальным произволом. Образуем дифференциальные следствия системы (5) вида

$$(ij, kl) \equiv (ij)_k + (ik)_l + (jk)_l = 0, \quad (6)$$

где наружный индекс означает дифференцирование по соответствующей координате. Уравнение (6) дают выражения  $\xi_{j_k}^i = \frac{\partial^2 \xi^i}{\partial x^j \partial x^k}$  через первые производные от  $\xi^i$ . Их условия совместности имеют вид

$$(ij, kl) \equiv (ij, kl) - (ij, l)_k - (kl, j)_i = 0. \quad (7)$$

Развернем уравнения (7), пользуясь выражениями  $\xi_{j_k}^i$  из (6). Проведя необходимые преобразования, придем к следующим уравнениям, содержащим компоненты тензора кривизны  $R$ :

$$(ij, kl) = 2R_{ijk} \xi_l^i + 2R_{iik} \xi_j^i + 2R_{jki} \xi_i^k + 2R_{jil} \xi_k^i - 2R_{ijl} \xi_k^j - 2R_{ikh} \xi_j^i - 2R_{ihk} \xi_i^j - 2R_{ihk} \xi_l^i = 0. \quad (8)$$

Если пространство евклидово, уравнения (8) тождественно выполняются, произвол решения составляет  $\frac{n(n-1)}{2}$  функций двух аргументов. Тот же произвол сохранится, если уравнения (8) являются алгебраическими следствиями уравнений (4), т. е. при условии  $\frac{1}{g_{ii}} R_{jii} - \frac{1}{g_{hh}} R_{hh} = 0$  или, равнозначно,

$$R_{iij}^i - R_{iik}^k = 0. \quad (9)$$

Условия (9) принимают простейшую форму, если ввести тензор  $C$  конформной кривизны Вейля ([1]):

$$C_{iijh} = 0, \quad i \neq j, \quad (10)$$



а также, в силу ортогональности координатной сети,  $C_{ijkl} = 0$  при различных индексах  $i, j, k, l$ . Единственными, быть может, отличными от нуля компонентами тензора  $C$  оказываются компоненты с двумя парами равных индексов:  $C_{hhhh}$ . Если справедливо (10), то легко показать, что выполнены равенства (9). Этим доказывается

**Теорема 1.** Ортогональная система (1) допускает и. п. о. с. с максимальным произволом, исчисляемым в  $\frac{n(n-1)}{2}$  функций двух аргументов тогда и только тогда, когда выполнены условия  $C_{hhhh} = 0, i \neq j$ .

4. Придадим геометрический смысл полученному условию. Поставим в соответствие тензору  $C_{ab\gamma\delta}$  тензор  $C_{ab}$  в бивекторном пространстве. Введем  $C$ -кривизну пространства  $V_n$  в двумерном направлении, определяемом простым бивектором  $V^{ab} = \begin{bmatrix} V^a & V^b \\ [1 & 2] \end{bmatrix}$ :

$$C = \frac{C_{ab\gamma\delta} V^{ab} V^{\gamma\delta}}{g_{ab} V^a V^b}.$$

Следуя А. З. Петрову [2], снимем требование простоты бивектора  $V^{ab}$  и назовем полученный относительный инвариант бивекторной  $C$ -кривизны  $V_n$  в направлении данного бивектора:

$$C = \frac{C_{ab} V^a V^b}{g_{ab} V^a V^b} \quad (a, b = 1, \dots, N).$$

Наш случай характеризуется тем, что матрица  $(C_{ab} - C g_{ab})$  имеет диагональный вид. Отсюда получается

**Теорема 2.** Для того чтобы о. с. (I) допускала и. п. с максимальным произволом, необходимо и достаточно, чтобы безусловные стационарные  $C$ -кривизны в двумерных направлениях достигались на бивекторах координатных площадок данной о. с.

Ясно, что в общей ситуации такая о. с. в данном  $V_n$  единственна.

5. Рассмотрим о. с., допускающую и. п. I порядка и поставим задачу выделения тех систем, для которых любое и. п. I порядка может быть продолжено до и. п. II порядка также с максимальным произволом.

Запишем условия того, что  $\Pi =$  и. п.

$$x^i \rightarrow x^{i'} = x^i + t \xi^i + t^2 \eta^i \quad (11)$$

сохраняет о. с. до малых второго порядка включительно. Они имеют вид

$$(ij) \equiv g_{ii} \xi_j^i + g_{jj} \xi_i^j = 0, \quad (12a)$$

$$\{ij\} \equiv g_{ii} \eta_j^i + g_{jj} \eta_i^j + \sum_a g_{aa} \xi_i^a \xi_j^a + \sum_a \xi^a g_{ii}{}^a \xi_j^i + \sum_a \xi^a g_{jj}{}^a \xi_i^j = 0. \quad (12b)$$

Рассмотрим произвольное  $\xi^i$ , удовлетворяющее (12а), и исследуем систему для  $\eta^i$ . Предполагается, что условия (9) или, что равнозначно, (10) выполнены. Применяя к (12б) ту же последовательность операций, что и в случае исследования совместности системы (5), мы исключаем  $\eta^i$  и приходим к дополнительным соотношениям на  $\xi^i$

$$\left( \frac{R_{ijll}}{g_{jj} g_{ii}} - \frac{R_{ihkl}}{g_{kk} g_{ii}} + \frac{R_{ihkl}}{g_{ii} g_{kk}} - \frac{R_{ihil}}{g_{ii} g_{ll}} \right) \xi_j^h \xi_l^i +$$



$$+ \left( \frac{R_{uii}}{g_{ii} g_{ii}} - \frac{R_{ihki}}{g_{kk} g_{ii}} + \frac{R_{jkhj}}{g_{jj} g_{hh}} - \frac{R_{iji}}{g_{ii} g_{jj}} \right) \xi_i^k \xi_j^l = 0. \quad (13)$$

Условия тождественного удовлетворения уравнений (13) приводят к дополнительным соотношениям на компоненты тензора конформной кривизны  $C$ , а именно  $C_{hiih} = 0$ , а с учетом ранее полученных условий к обращению в нуль тензора  $C$ . При этом решения системы (126) также зависят от  $\frac{n(n-1)}{2}$  произвольных функций двух аргументов.

Теорема 3 Если риманово  $V_n$  при  $n \geq 3$  имеет о. с., допускающую и. п. I и II порядка с максимальным произволом, исчисляемым суммарно в  $n(n-1)$  функций двух аргументов, то оно конформно-евклидово.

## Университет дружбы народов имени Патриса Лумумбы

(Поступило 13.9.1979)

ପାତ୍ରବିଦ୍ୟା

3. ნიჩითაილობა

*n-ଭାବିତାଗୁଣକାଲୀନ* ବେଳତୋରିକି ପରିଚାରିତାକାଳୀନ ଧରଣୀକାରୀ

၁၁၈

კონკრეტულად,  $V_n$  ნებისმიერი სიგნატურის რიმანის სივრცეა. ვიგულისხმოთ, რომ  $V_n$ -ში ასებობს  $n$ -ორთოგონალური ჰადე, რომელიც საკონტრინატო ბადედ მივიღოთ. განიხილება პირველი და მეორე რიგის ინფინიტესიმალური გარდაქმნები, ე. ი.  $x \rightarrow x + i\xi$ ,  $x \rightarrow x + i\xi + i^2\eta$ , რომლებიც ბადის ორთოგონალობას ინახავს. ბადეები და სივრცეები, რომლებიც უშვებენ ასეთ გარდაქმნათა საქმაოდ ფართო კლასებს,  $C$ -კონფორმული სიმრტეების ტენზორის თვისებებით ხასიათდებიან.

## MATHEMATICS

L. S. NECHITAILOVA

# ON INFINITESIMAL TRANSFORMATIONS OF N-ORTHOGONAL SYSTEMS IN RIEMANNIAN SPACES

## Summary

Let  $V_n$  be a Riemannian space of arbitrary signature. Suppose  $V_n$  admits an  $n$ -orthogonal holonomic net, which is chosen as the coordinate net. Infinitesimal transformations of the first and the second order, e. g.  $x \rightarrow x + t\xi$  and  $x \rightarrow x + t\xi + t^2\eta$ , conserving the orthogonality of the net, are considered. The nets (and spaces) admitting the maximal classes of such transformations are characterized by some properties of the conformal curvature tensor  $C$ .

## ଲେଖକାରୀଙ୍କ ପରିଚୟ — LITERATURA — REFERENCES

1. Л. П. Эйзенхарт. Риманова геометрия. М., 1948.  
2. А. З. Петров. Пространства Эйнштейна. М., 1961.



В. В. РЫЖКОВ

## К ТЕОРИИ $n$ -СОПРЯЖЕННЫХ СЕТЕЙ В ПРОСТРАНСТВАХ АФФИННОЙ СВЯЗНОСТИ

(Представлено академиком Р. В. Гамкрелидзе 31.8.1979)

В данном сообщении рассматриваются простейшие свойства, относящиеся к понятиям одно- и двусторонней сопряженности одномерных распределений в пространстве аффинной связности  $A_n$ ,  $n$ -сопряженные сети в  $A_n$  и инфинитезимальные преобразования, сохраняющие свойство сопряженности сети. Основной результат содержится в теореме 3 и характеризует сопряженные сети, допускающие наиболее широкий класс инфинитезимальных преобразований, с помощью соотношений, которым удовлетворяют компоненты тензора кривизны пространства  $A_n$ , отнесенного к такой сети, как координатной. При этом предполагается, что  $n \geq 4$ .

1. Пусть  $A_n$  — пространство аффинной связности,  $X$  и  $Y$  — неколлинеарные векторные поля в некоторой области  $A_n$ . Эти поля определяют пару одномерных распределений  $\Delta(X)$  и  $\Delta(Y)$ , соответственно, а также двумерное распределение  $\Delta(X, Y)$ . Упорядоченную пару распределений  $\Delta(X), \Delta(Y)$  назовем лево (право) сопряженной относительно связности  $\nabla$  пространства, если  $\nabla_X Y$  (соответственно  $\nabla_Y X$ ) принадлежит двумерному распределению  $\Delta(X, Y)$ . Пару одномерных распределений просто называем сопряженными, если они одновременно лево и право сопряжены. Легко видеть, что определения левой, правой и двусторонней сопряженности в самом деле зависят лишь от распределений, но не от задающих их векторных полей. Из этого ясно, что сопряженность направлений определяется, по существу, уже заданием псевдосвязности [1]. Понятие сопряженности двух одномерных распределений недавно рассматривалось В. Т. Базылевым [2] в случае пространства  $A_n$  без кручения. В этом случае отношение сопряженности симметрично для распределений, образующих инволютивную пару. Рассмотрим более общую ситуацию для пространств с кручением. Между распределениями  $\Delta(X), \Delta(Y)$ , определяемыми полями  $X, Y$ , установлены три бинарные отношения; 1<sup>o</sup>. Левая сопряженность:  $\nabla_X Y \in \Delta(X, Y)$ ; 2<sup>o</sup>. Правая сопряженность:  $\nabla_Y X \in \Delta(X, Y)$ ; 3<sup>o</sup>. Инволютивность:  $[X, Y] \in \Delta(X, Y)$ .

В любом случае имеет место равенство

$$\nabla_X Y - \nabla_Y X = [X, Y] + S(X, Y), \quad (2)$$

где  $S$  — тензор кручения пространства  $A_n$ .

Так как  $S(X, Y)$  зависит лишь от компонент векторов  $X, Y$  в данной точке, а отношения  $1^\circ, 2^\circ, 3^\circ$  не налагаются на эти компоненты никаких алгебраических ограничений, то видно, что выполнение любых двух из этих трех отношений между  $\Delta(X), \Delta(Y)$  влечет за собой и выполнение третьего тогда и только тогда, когда тождественно удовлетворяется условие

$$S(X, Y) \in \Delta(X, Y), \quad (3)$$

налагающее довольно сильные ограничения на тензор  $S$ . Эти условия приводят к представлению  $S$  в виде

$$S_{jk}^l = \delta_j^l p_k - \delta_k^l p_j. \quad (4)$$

Как известно, этим характеризуются полусимметрические связности [1]. Доказана

**Теорема 1.** *Отношение сопряженности для инволютивных пар распределений симметрично в пространствах полусимметрической связности и только в них. Обратно, двусторонняя сопряженность пары направлений влечет их инволютивность, если и только если связность полусимметрическая.*

2. Рассмотрим далее пространство  $A_n$ , допускающее  $n$ -сопряженную сеть. В общей ситуации можно допустить, что в некотором пространстве  $A_n$  существует голономная  $n$ -сопряженная сеть и не предполагая обязательную связность полусимметрической. В любом случае отнесем пространство к  $n$ -сопряженной сети как к координатной; условие сопряженности сети имеет вид

$$\Gamma_{jk}^i = 0 \quad (i \neq j \neq k \neq i) \quad (5)$$

и мы в дальнейшем считаем его выполненным. Для чебышевской сети в аффинном пространстве имеет место свойство: если два направления принадлежат дополнительным распределениям сети и образуют инволютивную пару, то они сопряжены. Оказывается, что аналогичное свойство будет иметь силу для чебышевских сопряженных сетей в пространстве аффинной связности и в несколько более общем случае.

**Теорема 2.** *Произвольные инволютивные пары одномерных распределений, принадлежащих дополнительным распределениям  $n$ -сопряженной сети, сопряжены, если и только если  $\Gamma_{ij}^l = \Gamma_{kj}^l, \Gamma_{ji}^l = \Gamma_{ik}^l$ .*

3. Поставим задачу определения инфинитезимальных преобразований пространства  $A_n$ , сохраняющих свойство сопряженности данной голономной сети (принимаемой, для удобства за координатную). Пусть  $\xi^i$  — векторное поле, неисчезающее в рассматриваемой области  $A_n$ ; оно определяет инфинитезимальное преобразование

$$x^i \rightarrow x^{i'} = x^i + t\xi^i. \quad (6)$$

Сеть, увлеченная этим преобразованием, будет сохранять свойство сопряженности с точностью до малых высшего порядка по сравнению с  $t$  в том и только в том случае, когда будут выполняться равенства

$$(L_\xi \Gamma)_{jk}^i = 0 \quad (i \neq j \neq k \neq i), \quad (7)$$

где  $L_\xi$  — символ производной Ли.

Компоненты тензора  $L_\xi \Gamma$  выражаются по известным формулам

$$(L_\xi \Gamma)_{jk}^i = \frac{\partial \Gamma_{jk}^i}{\partial x^a} \xi^a + \frac{\partial^2 \xi^i}{\partial x^j \partial x^k} - \Gamma_{jk}^a \frac{\partial \xi^i}{\partial x^a} + \Gamma_{ak}^i \frac{\partial \xi^a}{\partial x^j} + \Gamma_{ja}^i \frac{\partial \xi^a}{\partial x^k}. \quad (8)$$

Нас интересуют только компоненты  $L_{\xi} \Gamma$  с тремя различными индексами; с учетом условия сопряженности (5) получим из (8):

$$\xi^i_{jh} = (\Gamma^i_{jh} - \Gamma^i_{ih}) \xi^i_j + (\Gamma^k_{jk} - \Gamma^i_{ii}) \xi^i_k - \Gamma^i_{kk} \xi^k_j - \Gamma^i_{jj} \xi^j_k, \quad (9)$$

где  $\xi^i_j = \frac{\partial \xi^i}{\partial x^j}$ ,  $\xi^i_{jh} = \frac{\partial^2 \xi^i}{\partial x^j \partial x^h}$  и т. д. Здесь и далее суммирование не производится.

Уравнения (9) определяют инфинитезимальные преобразования  $n$ -сопряженной сети. Система (9) может допускать решения относительно  $\xi^i$  с произволом не выше, чем в простейшем случае плоского  $A_n$ , отнесенного к аффинной системе координат, т. е. в случае объекта связности с нулевыми компонентами. В этом случае система сводится к виду  $\xi^i_{jh} = 0$  ( $i \neq j \neq k \neq i$ ) и имеет решения с произволом в  $n(n-1)$  функций двух аргументов.

Естественно поставить вопрос об определении всех  $A_n$ , отнесенных к сопряженной сети, допускающей инфинитезимальные преобразования с тем же максимальным произволом в  $n(n-1)$  функций двух аргументов, что и в указанном простейшем случае плоского  $A_n$ . Для этого рассмотрим вопрос о совместности системы (9). Прежде всего из условия  $\xi^i_{jh} = \xi^i_{kj}$  получим соотношения

$$(S^i_{jh} - S^i_{ih}) \xi^i_j + (S^h_{jk} - S^i_{ji}) \xi^i_k = 0. \quad (10)$$

Условие их тождественного удовлетворения вместе с требованием сопряженности сети ведет к  $S^i_{jh} = \delta^i_j p_h - \delta^i_k p_j$ , т. е. связность оказывается полусимметрической (в [3] это предполагалось заранее).

Для получения дальнейших условий совместности системы (9) прививаем производные третьего порядка от  $\xi^i$ , получая их дифференцированием соответствующих уравнений (9). Производя необходимые преобразования и пользуясь выражениями компонент тензора кривизны  $R$ , мы приведем эти условия к виду

$$(R^i_{ljk} - R^i_{ijh}) \xi^i_l + (R^i_{ilk} - R^i_{ijk}) \xi^i_j + (R^i_{ijl} - R^i_{ijh}) \xi^i_k + R^i_{kjk} \xi^k_j + R^i_{ikh} \xi^i_j + R^i_{ijl} \xi^i_k + R^i_{ijj} \xi^i_k = 0. \quad (11)$$

Полученные уравнения (11) могут быть следствиями самих уравнений (9) лишь в случае обращения в нуль всех коэффициентов при первых производных от  $\xi^i$ ; получаемые при этом равенства сводятся к ряду условий на компоненты тензора кривизны. С учетом алгебраических соотношений между компонентами тензора кривизны пространства полусимметрической аффинной связности остаются следующие существенные условия:

$$R^k_{iji} = 0; \quad R^i_{ijk} = R^i_{lik} \quad (12)$$

(остальные получаются как их следствия). Кроме того, равны нулю и все компоненты тензора кривизны с четырьмя различными индексами, что просто вытекает из сопряженности координатной сети.

Уравнения (12), выведенные здесь как необходимые условия максимальной совместности системы (9), как показывает несложный анализ, и достаточны для ее разрешимости с максимальным произволом. Сформулируем полученный результат:

Теорема 3. Голономная  $n$ -сопряженная сеть в пространстве аффинной связности  $A_n$ ,  $n \geq 4$  допускает инфинитезимальные преобразования с максимальным произволом, выражаемым в  $n(n-1)$  функциях двух переменных, в том и только в том случае, когда связность полусимметрическая, а компоненты тензора кривизны, при отнесении пространства к этой сети, удовлетворяют условиям

$$R_{iij}^k = 0, \quad R_{ijk}^i = R_{ijk}^l$$

(и, как следствие, также условиям  $R_{ijk}^k = R_{ijl}^l$ ).

## Университет дружбы народов им. Патриса Лумумбы

(Поступило 13.9.1979)

ମାତ୍ରାବଳୀ

### 3. ଖବରକାଳୀ

*n*-ზოლლებული ჩაჭერის თოვლიდის ზესახებ აფიშები გმულობის  
სიცოცხლეში

Հ Յ Ց Օ Մ Յ Ե

ვთქვათ  $A_n$  აცინური გმულობის სიერცეა. ვიგულისხმოთ, რომ  $A_n$ -ში არსებობს ჰოლონომიური  $n$ -შეულებული ბადე, რომელიც საკონტინუატო ბადედ აიღება. განიხილება  $X \rightarrow X + t^{\frac{1}{n}}$  ინტინიტეზიმალური გარდაქმნა, რომელის დროსაც ბადე რჩება შეულებული. ბადეები (და  $A_n$  სიერცეები), რომელებიც უშევებენ ასეთ გარდაქმნათა საკმაოდ ფართო კლასს (ამ შემთხვევეში  $k = \text{დამკიდებულია}$  ორი არგუმენტის  $n(n-1)$  ნებისმიერ ფუნქციაზე), სიმრუდის ტენიორის კომპონენტების შემდეგი თვისებებით ხასიათდებიან:

$$R_{kii}^L=0, \quad R_{lik}^L=R_{lik}^T \quad (i, j, k, l \text{ ინდექსები სხვადასხვაა, აგანვით არ ხდება}).$$

$R_{ijl}^k=0$ ,  $R_{ijk}^l=R_{lik}^j$  ( $i, j, k, l$  օնդցյալեցու և եցալածեցա, պամաց առ եղցի).

## MATHEMATICS

V. V. RYZHKOV

## TOWARDS THE THEORY OF $n$ -CONJUGATED NETS IN AFFINE CONNEXION SPACES

## Summary

Let  $A_n$  be a space of affine connection. Suppose there exists in  $A_n$  an  $n$ -conjugated net (which is chosen as the coordinate net). Infinitesimal transformations  $x \rightarrow x + t\xi$  of  $A_n$ , under which the net remains conjugated, are considered. The nets (and spaces) admitting the widest possible class of such transformations (in which case the field  $\xi$  depends on  $n(n-1)$  arbitrary functions of two variables) are characterized by the following properties of the components of the curvature tensor:  $R^a{}_{ijl} = 0$ ,  $R^i{}_{ijk} = R^l{}_{ijk}$  ( $i, j, k, l$  are different indices, with no summation).

## ଲ୍ୟାଟିକୁରାତିଶୀଳ — ЛИТЕРАТУРА — REFERENCES

1. А. П. Норден. Пространства аффинной связности. М., 1976.
  2. В. Т. Базылев. Математика, № 5, 1974, 25—30.
  3. В. В. Рыжков. Тезисы докл. V— Прибалт. геометр. конфер. Друскининкай, 1978.

МАТЕМАТИКА

А. А. ПАНКОВ

РАЗЛОЖИМОСТЬ ГОЛОМОРФНЫХ НЕТЕРОВЫХ ОПЕРАТОР-ФУНКЦИЙ

(Представлено членом-корреспондентом Академии Б. В. Хведелидзе 4.9.1979)

0. Эта заметка является естественным продолжением [1] (см. также [2]) и мы сохраняем введенные там обозначения и терминологию. В [1] были получены некоторые утверждения о представлении нетеровых голоморфных оператор-функций (г.о.-ф.), действующих в банаховых пространствах, в виде произведения нескольких сомножителей, отвечающих неприводимым компонентам характеристического множества. Здесь мы приводим теорему единственности разложений такого сорта и разбираем специальный случай одномерного пространства параметров. Последнее представляет определенный интерес особенно в связи с результатами [4] об эквивалентности г. о.-ф.

1. Для нетеровой г.о.-ф.  $a(x): E \rightarrow F$ , определенной на комплексном аналитическом пространстве  $X$ , рассмотрим образ  $\text{im } a$  индуцированного гомоморфизма пучков  $O^E \rightarrow O^F$ . В окрестности штейнова компакта  $K \ll X$   $\Phi$ -подпучок  $\text{im } a$  допускает примарное представление  $\text{im } a = \bigcap K^{(i)}$  ( $i = 1, 2, \dots, k$ ). Предполагается, что  $\tau(K^{(i)}) \subseteq \tau(K^{(j)})$ ,  $i < j$ . Будем говорить, что  $a(x)$  разложима (в окрестности  $K$ ), если имеется представление  $a(x) = a_1(x) a_2(x) \cdots a_k(x)$ , где нетеровы г. о.-ф.  $a_i(x)$ , определенные в окрестности  $K$  и действующие в подходящих банаховых пространствах, такие, что  $\tau(\text{im } a_i) = \tau(K^{(i)})$ . Основной результат [1] можно переформулировать так: для любой нетеровой г. о.-ф.  $a(x)$  в окрестности штейнова компакта  $K$  найдутся такие разложимая нетерова г. о.-ф.  $a'(x): E' \rightarrow F$  и нетеров мономорфизм  $s: E \rightarrow E'$  (не зависящий от  $x \in X$ ), что  $a(x) = a'(x)s$ .

Справедлива следующая теорема единственности.

Теорема 1. Пусть  $X$ —неприводимое комплексное пространство и  $K \ll X$ —штейнов компакт. Предположим, что для фредгольмовой разложимой г. о.-ф.  $a(x)$  в окрестности  $K$  заданы два разложения  $a(x) = a_1(x) a_2(x) \cdots a_k(x) = a'_1(x) a'_2(x) \cdots a'_k(x)$ .

Тогда найдутся такие обратимые г. о.-ф.  $b_i(x)$ ,  $i = 1, 2, \dots, k+1$  ( $b_1 \equiv \text{id}$ ,  $b_{k+1} \equiv \text{id}$ ), определенные в окрестности  $K$ , что  $a_i(x) = b_i(x) a'_i(x)$ ,  $b_{i+1}^{-1}(x)$ ,  $i = 1, 2, \dots, k$ .

Центральным моментом доказательства является отсутствие у пучка  $\text{im } a$  вложенных примарных компонент и лемма 5.1 [1], перенесенная в категорию пучков.

Некоторый интерес представляет также следующий критерий разложимости.

**Теорема 2.** *Пусть  $a(x)$  — нетерова г. о.-ф. и  $b(x)$  — разложимая фредгольмова г. о.-ф. в окрестности штейнова компакта в неприводимом комплексном пространстве. Если  $\text{im } a = \text{im } b$ , то  $a(x)$  — разложима.*

2. Предположим теперь, что  $X$  — открытая риманова поверхность.

В этой ситуации любая нетерова г.о.-ф. в окрестности компакта  $K \ll X$  разложима. Это утверждение может быть сформулировано в более геометричной форме. Введем множества

$$S(a) = \{x \in X \mid \text{Ker } a(x) \neq 0\},$$

$$\text{CS}(a) = \{x \in X \mid \text{Coker } a(x) \neq 0\}.$$

Эти множества либо открыты, либо дискретны. В фредгольмовом случае ( $\text{ind } a = 0$ )  $S(a) = \text{CS}(a)$ .

**Теорема 3.** *Пусть  $a(x)$  — нетерова г. о.-ф. в окрестности компакта  $K$  в открытой римановой поверхности и  $\text{CS}(a) = \{x_1, x_2, \dots, x_k\}$ . Тогда найдутся такие нетеровы г. о.-ф.  $a_i(x)$  в окрестности  $K$ , что  $a(x) = a_1(x)a_2(x)\cdots a_k(x)$  и  $\text{CS}(a_i) = \{x_i\}$ ,  $i = 1, 2, \dots, k$ . Аналогичное утверждение справедливо с заменой множества  $\text{CS}$  множеством  $S$ .*

Доказательство сводится, в конечном счете, к некоторым утверждениям об образующих когерентных аналитических пучков на  $X$ , аналогичным известным фактам об образующих модулей над кольцами главных идеалов (см. [5], § IV. 15).

**Замечание.** Если в теореме 3  $\text{ind } a(x) = 0$ , то и  $\text{ind } a_i(x) = 0$ .

Кроме того, если  $a(x)$  имеет вид  $\text{id} + h(x)$ , где  $h(x)$  — компактная или конечномерная о.-ф., то  $a_i(x)$  могут быть найдены в том же виде.

3. Пусть теперь  $X = \mathbb{C}$ . Комбинируя теорему 3 с результатами [4], получаем следующее утверждение.

**Теорема 4.** *Пусть  $\Omega$  — область в  $\mathbb{C}$ , ограниченная конечным числом непересекающихся жордановых кривых и  $a(x) : E \rightarrow E$  — фредгольмова г. о.-ф. В окрестности  $\overline{\Omega}$ , причем  $S(a) = \{x_1, x_2, \dots, x_k\}$ , Тогда существуют такие обратимые г. о.-ф.  $b(x)$ ,  $c(x) : E^h \rightarrow E^h$  в окрестности  $\overline{\Omega}$ , что  $b(x)(a(x)\oplus id_{E^{h-1}})c(x) = a_1(x) \oplus \cdots \oplus a_k(x)$ , где  $a_i(x)$  — фредгольмовы г. о.-ф. и  $S(a_i) = \{x_i\}$ ,  $i = 1, 2, \dots, k$ .*

Пусть снова  $X$  — открытая риманова поверхность, а пространства  $E$  и  $F$  конечномерны. Тогда, если  $a(x)$  — г. о.-ф. на  $X$  и  $\text{CS}(a)$  (соответственно  $S(a)$ ) — конечное множество точек, то г.о.-ф.  $a_i(x)$  из теоремы 3 будут определены на всем  $X$ . В частности, это так, если  $X = \mathbb{C}$  и  $a(x)$  — полиномиальная матрица. В этом случае, однако, справедливо более точное утверждение.

**Теорема 5.** *Пусть  $a(x)$  — полиномиальная  $n \times n$  матрица (над  $\mathbb{C}$ ) и  $\det a(x) = \prod_{i=1}^r p_i^{n_i}(x)$  — разложение полинома  $\det a(x)$  на неприводимые множ-*



жители. Тогда найдутся такие полиномиальные матрицы  $a_i(x)$ , что  $\det a_i(x) = p_i^{n_i}$ ,  $i = 1, 2, \dots, r$ , и  $a(x) = a_1(x) a_2(x) \cdots a_r(x)$ .

Академия наук Украинской ССР  
Институт прикладных проблем  
математики и механики

(Поступило 6.9.1979)

ବାର୍ଷିକୀ

১. ৩২৬৩০৩০

ଶ୍ରୀମତୀ ପାତ୍ନୀ କଣ୍ଠାରୀ ମହିଳା ପାଦପଥ ପାଇଁ ପାତ୍ର ହେଲାମୁଣ୍ଡିଲୁ

၁၂၈ၦ၃၂

## MATHEMATICS

A. A. PANKOV

# ON THE DECOMPOSITION OF NOETHER HOLOMORPHIC OPERATOR FUNCTIONS

## Summary

Some results on the decomposition of Noether holomorphic operator functions into a number of factors with simpler characteristic sets are presented.

ଲେଖକାରୀଙ୍କ ପରିଚୟ — LITERATURA — REFERENCES

1. А. А. Панков. Матем. сб., 93, 4, 1974, 613.
  2. А. А. Панков. ДАН СССР, 203, 6, 1972, 1255.
  3. М. Г. Зайденберг, П. А. Кучмент, С. Г. Крейн, А. А. Панков. УМН, 30, 5, 1975, 101.
  4. I. Gohberg, M. A. Kaashoek, D. C. Lay. Bull. Amer. Math. Soc., 82, 1976.
  5. О. Зарисский. П. Самюэль. Коммутативная алгебра, М., 1963.



МАТЕМАТИКА

Н. Л. ЛАЗРИЕВА, Р. Я. ЧИТАШВИЛИ

О НЕКОТОРЫХ СВОЙСТВАХ СИЛЬНЫХ РЕШЕНИЙ  
 СТОХАСТИЧЕСКИХ ДИФФЕРЕНЦИАЛЬНЫХ УРАВНЕНИЙ  
 НА ИНТЕРВАЛЕ

(Представлено академиком А. В. Бицадзе 4.10.1979)

Основные понятия и обозначения, нужные в заметке, были приведены в [1]. Всюду в дальнейшем предполагается, что будет выполнено условие  $L_1$  из [1].

Под сильным решением стохастического дифференциального уравнения

$$d\xi(t) = a(t, \xi(t)) dt + b(t, \xi(t)) dw(t) \quad (1)$$

на сегменте  $[\gamma_1, \gamma_2]$  с начальным условием  $\xi_0 \in [\gamma_1, \gamma_2]$  понимается согласованный с потоком  $\sigma$ -алгебр  $\{F_t^w, t \in [0, T]\}$ , непрерывный с вероятностью 1 случайный процесс  $\xi(t), t \in [0, T]$ , для которого выполнены следующие условия: 1)  $\xi(0) = \xi_0$   $P$ -почти наверное, 2)  $\gamma_1 \leq \xi(t) \leq \gamma_2$  для всех  $t \in [0, T]$ , 3) при всех  $t$ , для которых  $\gamma_1 < \xi(t) < \gamma_2$ ,  $\xi(t)$  удовлетворяет (1).

Класс таких процессов обозначим через  $B_{[0, T]}^{[\gamma_1, \gamma_2]}$ .

Ряд работ был посвящен изучению одного специального представителя класса  $B_{[0, T]}^{[\gamma_1, \gamma_2]}$  так называемого процесса с мгновенным отражением (ПМО). По определению А. В. Скорохода [2], ПМО характеризуется дополнительно, кроме свойств 1)—3), граничным условием, таким, что лебегова мера времени, проведенного процессом на границе, равна нулю, т. е.  $P\{\Lambda\{s : \xi(s) = \gamma_1 \text{ или } \xi(s) = \gamma_2\} = 0\} = 1$ .

В [2] показано, что при невырожденности диффузии на границе, т. е.  $b(t, \gamma_i) > 0, i=1, 2, t \in [0, T]$  условия 3) и 4) эквивалентны следующему: 3') существует пара  $F_t^w$ -согласованных непрерывных, неубывающих с вероятностью 1 случайных процессов  $\zeta_1(t)$  и  $\zeta_2(t)$  таких, что

$$\begin{aligned} \xi(t) = \xi_0 + \int_0^t a(u, \xi(u)) du + \int_0^t b(u, \xi(u)) dw(u) + \zeta_1(t) - \zeta_2(t), \\ \int_0^t I_{[\xi(s) = \gamma_i]} d\zeta_i(s) = \zeta_i(t), \quad i = 1, 2. \end{aligned} \quad (2)$$

Этим было обусловлено то, что все работы по изучению ПМО фактически посвящались исследованию условий существования и единственности решения задачи 1), 2), 3'), т. е. задачи нахождения тройки  $(\xi(t), \zeta_1(t), \zeta_2(t))$  удовлетворяющей условиям 1), 2), 3'). В частности, в [2] доказано, что при условии  $L_1$  существует слабое решение задачи 1), 2), 3') и что оно сильно единствено. В дальнейшем были доказаны теоремы существования и единственности при более слабых условиях [3—5]. Наконец, в [2] доказано, что при условии  $L_1$  решение задачи 1), 2) 3')

эквивалентно решению некоторого стохастического интегрального уравнения.

Целью настоящей заметки является выяснение следующих вопросов:

а) рассмотрение задачи 1), 2), 3') было связано с ее эквивалентностью с более непосредственной постановкой 1)–4). Однако в случае вырожденности диффузии на границе может не существовать представителя класса  $B_{[0, T]}^{[\gamma_1, \gamma_2]}$ , удовлетворяющего условию 4). Каким же характерным свойством обладает решение задачи 1), 2), 3') в классе  $B_{[0, T]}^{[\gamma_1, \gamma_2]}$  и каково естественное обобщение условия 4)?

б) Класс  $B_{[0, T]}^{[\gamma_1, \gamma_2]}$  содержит, кроме ПМО, и ряд других интересных процессов (например, процесс с замедленным отражением, процесс с поглощением на границе и т. д.). Представляется интересным описание всех элементов класса  $B_{[0, T]}^{[\gamma_1, \gamma_2]}$  в терминах граничных условий. В частности, получение аналога представления (2) для них.

Пусть

$$\tilde{\Phi}_t(\xi) = \int_0^t I_{[\gamma_1 < \xi(s) < \gamma_2]} a(s, \xi(s)) ds + \int_0^t I_{[\gamma_1 < \xi(s) < \gamma_2]} b(s, \xi(s)) dw(s).$$

**Теорема 1.** Если  $\xi(t) \in B_{[0, T]}^{[\gamma_1, \gamma_2]}$ , то: а) найдется пара  $F_t^\omega$ -согласованных непрерывных, неубывающих с вероятностью 1 случайных процессов  $\eta_i(t)$  с  $\eta_i(0) = 0$ ,  $i = 1, 2$ , таких, что

$$\xi(t) = \xi_0 + \tilde{\Phi}_t(\xi) + \eta_1(t) - \eta_2(t), \quad \eta_i(t) = \int_0^t I_{[\xi(s) = \gamma_i]} d\eta_i(s), \quad i = 1, 2. \quad (3)$$

причем,  $P$ -почти наверное  $\eta_1(t) = \lim_{\varepsilon \rightarrow 0} 1/2\varepsilon \int_0^t I_{[\gamma_1 < \xi(s) < \gamma_1 + \varepsilon]} b^2(s, \xi(s)) ds$ ,

$$\eta_2(t) = \lim_{\varepsilon \rightarrow 0} 1/2\varepsilon \int_0^t I_{[\gamma_2 - \varepsilon < \xi(s) < \gamma_2]} b^2(s, \xi(s)) ds.$$

б)  $\xi(t)$ ,  $t \in [0, T]$  является решением уравнения

$$\begin{aligned} \xi(t) = \sup_{0 \leq s < t} \inf_{0 < \tau < t} & [\tilde{\Phi}_t(\xi) - \tilde{\Phi}_s(\xi) + \gamma_1] I_{[s > \tau]} + (\tilde{\Phi}_t(\xi) - \tilde{\Phi}_\tau(\xi) + \\ & + \gamma_2) I_{[\tau > s] \cup [\tau = s > 0]} + [\tilde{\Phi}_t(\xi) + \xi_0] I_{[\tau = s = 0]}. \end{aligned}$$

**Следствие.** Если  $\xi_1(t)$ ,  $\xi_2(t) \in B_{[0, T]}^{[\gamma_1, \gamma_2]}$ , такие, что  $P \{ [s : \xi_1(s) = \gamma_1]$  или  $\xi_1(s) = \gamma_2] \Delta [s : \xi_2(s) = \gamma_1 \text{ или } \xi_2(s) = \gamma_2] = \emptyset \} = 1$ , то  $P \{ \xi_1(t) = \xi_2(t) \text{ при всех } t \in [0, T] \} = 1$ .

В [6] было показано, что при  $\gamma_2 = \infty$  решение задачи 1), 2), 3') представляет максимальный элемент класса  $B_{[0, T]}^{[\gamma_1, \infty)}$ . В общем же случае ПМО оказывается таким элементом  $B_{[0, T]}^{[\gamma_1, \gamma_2]}$ , который, грубо говоря, быстрее совершает обход границ. Точный смысл этого выражения содержится в

нижеследующем определении. Пусть  $\gamma_1 \leqslant x(t) \leqslant \gamma_2$  и  $x(t) \in C_{[0, T]}$ , а последовательность моментов  $\tau_n$  такова, что  $\tau_1 = \inf\{s : x(s) = \gamma_1 \text{ или } x(s) = \gamma_2\}$ , а при  $n > 1$ ,  $\tau_n = \inf\{s > \tau_{n-1}, x(s) = \gamma_2\}$ , если  $x(\tau_{n-1}) = \gamma_1$  и  $\tau_n = \inf\{s > \tau_{n-1}, x(s) = \gamma_1\}$ , если  $x(\tau_{n-1}) = \gamma_2$ . Пусть  $N_x(t) = \min\{k : \tau_k > t\}$  — число попаданий функции  $x(t)$  на границе до момента  $t$ ;  $d_x(t) = \gamma_2 - x(t)$ , если  $x(\tau_{N_x(t)}) = \gamma_1$  и  $d_x(t) = |\gamma_1 - x(t)|$ , если  $x(\tau_{N_x(t)}) = \gamma_2$ .

**Определение.** Пусть  $x_i(t) \in C_{[0, T]}$ ,  $i = 1, 2$ , такие, что  $\gamma_1 \leqslant x_i(t) \leqslant \gamma_2$  и  $N_{x_i}(t) < \infty$  при всех  $t \in [0, T]$ . Будем говорить, что  $x_1(t) \succ x_2(t)$ , если при всех  $t \in [0, T]$  либо  $N_{x_1}(t) > N_{x_2}(t)$ , либо  $N_{x_1}(t) = N_{x_2}(t)$  и  $d_{x_1}(t) \leqslant d_{x_2}(t)$ .

**Теорема 2.** 1. Решение задачи 1), 2), 3') — ПМО  $\xi^*(t)$  — является наибольшим (в смысле введенного упорядочения) элементом класса  $B_{[0, T]}^{[\gamma_1, \gamma_2]}$ , т. е.  $P\{\xi^*(t) \succ \xi(t) \text{ при всех } t \in [0, T]\} = 1$ , если  $\xi(t) \in B_{[0, T]}^{[\gamma_1, \gamma_2]}$ .

2. Необходимым и достаточным условием для того, чтобы процесс  $\xi(t) \in B_{[0, T]}^{[\gamma_1, \gamma_2]}$  был ПМО в смысле задачи 1), 2), 3') является следующее:

$$4') \int_0^t I_{[\xi(s) = \gamma_i, b^2(s, \gamma_i) > 0]} ds = 0,$$

$$\int_0^t I_{[\xi(s) = \gamma_i, b(s, \gamma_i) = 0, a(s, \gamma_i) > 0]} (d\xi(s) - a(s, \gamma_i) ds) \text{ возрастает, } i = 1, 2.$$

**Замечание 1.** В случае  $\gamma_2 = \infty$  из теоремы 1 и 2 вытекает, что  $P\{s : \xi(s) = \gamma_1\} \subset [s : \xi(s) = \gamma_1] = 1$  при всех  $\xi(t) \in B_{[0, T]}^{[\gamma_1, \gamma_2]}$ .

Проблема описания всех элементов класса  $B_{[0, T]}^{[\gamma_1, \gamma_2]}$  требует дальнейшего исследования. В этой же работе ограничимся некоторыми выводами, вытекающими из теоремы 1. Пусть  $\xi(t) \in B_{[0, T]}^{[\gamma_1, \gamma_2]}$ . Используя разложение Лебега функций  $\eta_i(t)$ ,  $i = 1, 2$  из представления (2) для  $\xi(t)$ , на абсолютно

непрерывные и сингулярные части  $\eta_i(t) = \int_0^t I_{[\xi(s) = \gamma_i]} \alpha_i(s) ds + \eta_i^{(s)}(t)$ ,  $I_i^s$  — множество пребывания процесса на границе  $\gamma_i$ -разбивается на множества

$I_1^s$ ,  $I_2^s$ ,  $I_3^s$  такие, что  $\int_0^T I_{I_1^s(s)} d\eta_i(s) = \int_0^t d\eta_i^{(s)}(s)$ ,  $I_2^s = [s \in [0, T] \setminus I_1^s]$ ,

$\xi(s) = \gamma_i$ ,  $\alpha_i(s) = 0$ ,  $I_3^s = [s \in [0, T] \setminus I_1^s, \alpha_i > 0]$ . Процесс с замедленным отражением, построенный в [2], является примером процесса из  $B_{[0, T]}^{[0, \infty)}$  с регуляризацией функцией  $\eta_1(s)$ . Примером процесса из  $B_{[0, T]}^{[\gamma_1, \gamma_2]}$  (при  $\gamma_1 = 0$ ,  $\gamma_2 = \infty$ ), для которого  $I_3 = \emptyset$   $P$ -почти наверное и  $P(\Lambda(I_2) > 0) > 0$  является процесс  $\xi^+(t)$ , где  $\xi(t)$  — решение уравнения (1) на всей прямой.

**Замечание 2.** Если определить ПМО  $\widetilde{\xi}(t)$  на переменной границе  $\{\varphi(t), F_t^\omega, t \in [0, T]\}$ , где  $\varphi(t)$  — непрерывный с вероятностью 1 случайный

процесс, условиями 1), 2), 3') с заменой во всех выражениях  $\gamma_1$  на  $\varphi(t)$ ,  $\gamma_2$  на  $\infty$  и с  $\xi_0$ , такой, что  $P[\xi_0 > \varphi(0)] = 1$ , то можно доказать, что при условии  $L_1 \tilde{\xi}(t)$  является единственным решением уравнения

$$\tilde{\xi}(t) = \max \left\{ \sup_{0 \leq s \leq t} [\Phi_t(\tilde{\xi}) - \Phi_s(\tilde{\xi}) + \varphi(s)], \Phi_t(\tilde{\xi}) + \xi_0 \right\}.$$

Академия наук Грузинской ССР  
 Институт экономики и права

(Поступило 12.10.1979)

მათემატიკა

6. ლაზრიავა, რ. ჩითაშვილი

სტოქასტიკურ დიფერენციალურ განტოლებათა ინტერვალზე  
 განსაზღვრული ძლიერი პონსენგის ზოგიერთი  
 თვისების უმსახიშ

რეზიუმე

შემოყვანილია სტოქასტიკური დიფერენციალური განტოლების ინტერვალზე ძლიერ ამოხსნათა კლასი. დამტკიცებულია, რომ ამ კლასის უმცესი ელემენტი შეიძლება აღიწეროს როგორც გარკვეული სტოქასტიკური ინტეგრალური განტოლების ამოხსნა. პროცესი მყისიერი არეკვლის პირობით ინტერვალის ბოლოებზე დახსიათებულია როგორც ამ კლასის მაქსიმალური (გარკვეული დალაგების აზრით) ელემენტი.

MATHEMATICS

N. L. LAZRIEVA, R. Ya. CHITASHVILI

## ON SOME PROPERTIES OF STRONG SOLUTIONS OF STOCHASTIC DIFFERENTIAL EQUATIONS ON AN INTERVAL

Summary

A class of strong solutions of stochastic differential equations over an interval is introduced; all the elements of this class are described as being solutions of definite stochastic integral equations; a process with instantaneous reflection is characterized as a maximal (in the sense of some ordering) element of this class. In addition, the necessary and sufficient condition is derived for an element of this class to be a process with instantaneous reflection.

### ЛІТЕРАТУРА — REFERENCES

1. Н. Л. Лазриева, Р. Я. Читашвили. Сообщения АН ГССР, 96, № 3, 1979.
2. И. И. Гихман, А. В. Скороход. Стохастические дифференциальные уравнения. Киев, 1968.
3. А. Ю. Веретеников. УМН, т. 33, вып. 5, 1978.
4. T. Yamada. Lect. Notes, 511, 1976.
5. S. Nakao. Osaka J. Math. 9:3, 1972.
6. Н. Л. Лазриева. Тезисы докл. II Вильнюсской конф. по теор. вер. и мат. стат., т. 2. Вильнюс, 1977.



МАТЕМАТИКА

Д. Т. ДЖАРКАВА

О НЕОБХОДИМЫХ УСЛОВИЯХ ОПТИМАЛЬНОСТИ В ЗАДАЧАХ  
СО СМЕШАННЫМИ ОГРАНИЧЕНИЯМИ

(Представлено академиком Р. В. Гамкрелидзе 16.10.1979)

Пусть  $\mathfrak{X}$ ,  $Y$ ,  $U$ ,  $K$ ,  $Q$  — банаховы пространства, причем пространства  $K$  и  $Y$  частично упорядочены и удовлетворяют условию Крейна [1];  $f$ ,  $g$ ,  $h$ ,  $q$  — функции из пространств  $C^1(\mathfrak{X} \times U, K)$ ,  $C^1(\mathfrak{X} \times U, \mathfrak{X})$ ,  $C^1(\mathfrak{X} \times U, Y)$ ,  $C^1(\mathfrak{X} \times \mathfrak{X}, Q)$ , соответственно. Рассмотрим следующую задачу оптимального управления со смешанными ограничениями: среди всех функций  $x \in C([0, 1], \mathfrak{X})$ , начальных значений  $x^0 \in \mathfrak{X}$  и допустимых управлений  $t \mapsto u(t) \in U$ ,  $0 \leq t \leq 1$ , удовлетворяющих ограничениям

$$\frac{dx(t)}{dt} = g(x(t), u(t)), \quad x(0) = x^0, \quad (1)$$

$$h(x(t), u(t)) \leq 0, \quad 0 \leq t \leq 1, \quad (2)$$

$$q(x^0, x(1)) = 0, \quad (3)$$

найти такую тройку  $(u, x, x^0)$ , которая минимизирует интеграл

$$\int_0^1 f(x(t), u(t)) dt. \quad (4)$$

Если такая тройка существует, мы будем называть ее оптимальным процессом. Для завершения формулировки задачи еще необходимо указать класс допустимых управлений. В настоящей работе управление берутся из банахова пространства  $NC([0,1], U)$  [2] вектор-функций, непрерывных слева и не имеющих разрывов второго рода.

Через  $\Sigma$  обозначим алгебру подмножеств промежутка  $[0, 1]$ , порожденную полуоткрытыми интервалами вида  $(a, b]$ ,  $0 < a < b \leq 1$ .

Если  $\sigma$  — векторная функция ограниченной вариации, определенная на  $[0, 1]$  то через  $\lambda_\sigma$  будем обозначать (векторную) конечно аддитивную функцию множества, определенную на  $\Sigma$  и удовлетворяющую соотношению  $\lambda_\sigma((a, b]) = \sigma(b) - \sigma(a)$ .

Теорема 1. Для оптимальности процесса  $(u(t), x(t), x^0)$ ,  $0 \leq t \leq 1$ , необходимо существование функций ограниченной вариации  $\sigma : [0, 1] \rightarrow Y^*$ ,  $\sigma(1) = 0$ ,  $\sigma(t) \geq \sigma(s)$  для всех  $t$  и  $s$ ,  $0 \leq t < s \leq 1$ , констант  $\chi \in K^*$ ,  $\chi \leq 0$ ,  $\psi \in Q^*$  и функции ограниченной вариации  $\varphi : [0, 1] \rightarrow \mathfrak{X}^*$ ,  $\varphi(1) = 0$ , непрерывной слева в каждой точке  $t$ ,  $0 < t < 1$ , удовлетворяющих условиям:

$$\begin{aligned} \varphi(t) = & D_2 q^*(x^0, x(1)) \psi + \int_t^1 [f_x^*(x(s), u(s)) \chi + g_x^*(x(s), u(s)) \varphi(s)] ds + \\ & + \int_t^1 h_x^*(x(s), u(s)) \lambda_\sigma(ds), \quad 0 \leq t < 1, \end{aligned} \quad (5)$$

$$\varphi(0) = -D_1 q^*(x^0, x(1)) \psi, \quad \varphi(0+) = -D_1 q^*(x^0, x(1)) \psi - \quad (6)$$

$$-h_x^*(x(0), u(0)) [\sigma(0+) - \sigma(0)], \quad \varphi(1-) = D_2 q^*(x^0, x(1)) \psi - h_x^*(x(1), u(1)) \sigma(1-),$$

$$\int_t^1 [f_u^*(x(s), u(s)) \chi + g_u^*(x(s), u(s)) \varphi(s)] ds + \int_t^1 h_u^*(x(s), u(s)) \lambda_\sigma(ds) = 0, \quad 0 \leq t \leq 1, \quad (7)$$

$$\int_0^1 \lambda_\sigma(dt) h(x(t), u(t)) = 0. \quad (8)$$

При этом хотя бы одна из величин  $\chi$ ,  $\psi$ ,  $\varphi$ ,  $\lambda_\sigma$  отлична от нуля.

Уравнение (5) представляет собой сопряженное уравнение; (6) — условия трансверсальности; (7) — условие максимума; (8) — условие дополняющей нежесткости, содержание которого раскрывается в теореме 2.

Обозначим через  $G$  множество всех точек  $t$ ,  $0 \leq t \leq 1$ , для которых  $h(x(t), u(t)) \ll 0$  и  $h(x(t), u(t+)) \ll 0$ . Очевидно, множество  $G$  открыто в  $[0, 1]$  и, следовательно, является объединением не более чем счетного числа непересекающихся интервалов.

Теорема 2. Для того чтобы выполнялось условие (8) теоремы 1, необходимо, чтобы  $\sigma$  была постоянной на каждом открытом интервале, входящем в  $G$ , и при этом выполнялись равенства

$$[\sigma(t) - \sigma(t-)] h(x(t), u(t)) = 0, \text{ для всех } t, 0 < t \leq 1;$$

$$[\sigma(t+) - \sigma(t)] h(x(t), u(t+)) = 0, \text{ для всех } 0 \leq t < 1.$$

Пусть  $Y$  — конечномерное пространство,  $\dim Y = m$ . Тогда  $h(x(t), u(t)) = (h_1(x(t), u(t)), \dots, h_m(x(t), u(t)))$  и  $\sigma(t) = (\sigma_1(t), \dots, \sigma_m(t))$ ,  $0 \leq t \leq 1$ . Обозначим через  $G_i$ ,  $i = 1, \dots, m$  множество всех точек  $t$ ,  $0 \leq t \leq 1$ , для которых обе величины  $h_i(x(t), u(t))$  и  $h_i(x(t), u(t+))$  отрицательны. Очевидно, множества  $G_i$ ,  $i = 1, \dots, m$ , открыты в  $[0, 1]$ .

Теорема 3. Если  $Y$  — конечномерное пространство,  $\dim Y = m$ , то условие (8) теоремы 1 эквивалентно следующему утверждению: для каждого  $i = 1, \dots, m$  функция  $\sigma_i$  постоянна на каждом интервале, входящем в  $G_i$ , при этом выполняются равенства

$$[\sigma_i(t) - \sigma_i(t-)] h_i(x(t), u(t)) = 0 \text{ для всех } t, 0 < t \leq 1, \quad (9)$$

$$[\sigma_i(t+) - \sigma_i(t)] h_i(x(t), u(t+)) = 0 \text{ для всех } 0 \leq t < 1. \quad (10)$$



Через  $I(u, x, t)$  обозначим множество всех индексов  $i \in \{1, \dots, m\}$ , для которых либо  $h_i(x(t), u(t)) = 0$ , либо  $h_i(x(t), u(t+)) = 0$ .

Множество  $I(u, x, t)$  назовем множеством активных индексов процесса  $(u, x, x^0)$  в точке  $t$ ,  $0 \leq t \leq 1$ . Из соотношений (9)–(10) тогда следует, что функция  $\sigma_t$  может иметь разрывы только при тех значениях  $t$ , для которых  $i$  принадлежит множеству активных индексов.

Предположим теперь, что пространства  $X, U, K, Q$  тоже конечно-мерные. Тогда теорема 1 допускает дальнейшее уточнение.

Теорема 4. Пусть  $(u(t), x(t), x^0)$ ,  $0 \leq t \leq 1$ , оптимальный процесс для задачи (1)–(4) и пусть каждая система векторов

$$\{\text{grad}_u h_i(x(t), u(t)), i \in I(u, x, t)\}$$

$$\{\text{grad}_u h_i(x(t), u(t+)), i \in I(u, x, t)\}$$

линейно независима для всех  $t$ ,  $0 \leq t \leq 1$ . Тогда существует такая функция  $\varphi$  из пространства  $NC([0, 1], Y)$ ,  $\varphi(t) \leq 0$ ,  $0 \leq t \leq 1$ , что  $\sigma(t) = \int_1^t \varphi(s) ds$ ,  $0 \leq t \leq 1$ . В этом случае условия (5)–(8) принимают следующий вид:

$$\frac{d\varphi(t)}{dt} = -\gamma f_x(x(t), u(t)) - \varphi(t) g_x(x(t), u(t)) - \varphi(t) h_x(x(t), u(t)), \quad 0 \leq t < 1,$$

$$\varphi(0) = -\psi D_1 q(x^0, x(1)), \quad \varphi(1-) = \psi D_2 q(x^0, x(1)),$$

$$\gamma f_u(x(t), u(t)) + \varphi(t) g_u(x(t), u(t)) + \varphi(t) h_u(x(t), u(t)) = 0, \quad 0 \leq t \leq 1,$$

$$\varphi(t) h(x(t), u(t)) = 0, \quad 0 \leq t \leq 1.$$

Аналогичная теорема приведена в [3] при дополнительном предположении кусочной постоянности множества активных индексов.

Тбилисский государственный университет

Институт прикладной математики

им. И. Н. Векуа

(Поступило 18.10.1979)

გათიღაბისა

დ. ჯლარჯავა

ოპტიმალობის აუცილებელი პირობების შესახებ შერმულ  
შეზღუდვების ამოცანები

6 9 ზ 0 უ მ ე

შესწავლითა შერეული შეზღუდვებიანი ოპტიმალური გართვის ამოცანა  
შესუსტებულ პირობებში და მიღებულია ოპტიმალობის აუცილებელი პირობები.

D. T. JGARKAVA

ON THE NECESSARY CONDITIONS OF OPTIMALITY FOR  
PROBLEMS WITH MIXED CONSTRAINTS

## Summary

An optimal control problem with mixed constraints in the weakened conditions is studied and necessary conditions of optimality are obtained.

## ЛІТЕРАТУРА — REFERENCES

1. Б. З. Вулих. Введение в теорию полуупорядоченных пространств. М., 1961.
2. К. Ш. Цискаридзе. Сб. «Некоторые вопросы математической теории оптимального управления». Тбилиси, 1975.
3. В. Г. Болтянский. Математические методы оптимального управления. М., 1969.



С. А. РАЗМАДЗЕ

## ОПТИМИЗАЦИЯ ПРОДОЛЬНОГО ПРОФИЛЯ ТРАССЫ ТОННЕЛЯ МЕТРОПОЛИТЕНА С УЧЕТОМ СПЕЦИАЛЬНЫХ ОГРАНИЧЕНИЙ

(Представлено академиком А. В. Бицадзе 18.10.1979)

Отыскивается продольный профиль тоннеля, соединяющего две заданные станции и обеспечивающего минимальную затрату энергии при движении поезда в определенном скоростном режиме. Учитываются ограничения на углы наклона и радиус кривизны трассы. Рассматриваются и специальные ограничения, связанные с областями, через которые трасса проходить не может.

Максимально допустимый уклон  $k$  и минимально допустимый радиус кривизны  $r$  определяется в соответствии с [1]. С учетом этих ограничений можно построить область  $G$ , в которой должна находиться искомая траектория  $y$  продольного профиля перегона трассы. Разность уровней расположения станций направления и прибытия задана заранее. Обозначим ее через  $H$ . Наложив запрет на область  $B \subset G$  (считая, что через эту область тоннель нельзя проложить) образуем специальные ограничения. Областью изменения траектории  $y$  остается область  $D = G \setminus B$ .

За независимую переменную принимается длина дуги  $s$  траектории продольного профиля трассы (будем считать, что в точке  $s$  находится конечная точка поезда). Длину всей траектории обозначим через  $S$ , длину ее проекции на горизонтальную ось  $x$  плоскости  $xOy$  — через  $L$ . Обозначим через  $t$ ,  $m$  и  $p$  соответственно длину, массу, вес поезда, через  $a$  и  $v$  — ускорение и скорость движения поезда.

Целью данной работы является отыскание формы продольного профиля перегона трассы, обеспечивающей минимальную затрату энергии для движения поезда с учетом специальных ограничений. Тоннель считается однопутным. Возврат энергии при торможении не учитывается. Для вычисления количества энергии, затрачиваемой на перегоне, будем пользоваться формулой, полученной на основе рассуждений, проведенных в [2]:

$$E = b \int_0^S \max \{0, ma + Qp + 0v^2 + (p/l)[y(s+l) - y(s)]\} ds, \quad (1)$$

где  $b$  — к. п. д. двигателя,  $Q = 0,0027$ , а  $\theta = 1,1664$  г. Здесь  $g$  — ускорение силы тяжести.

Функция  $y$  должна удовлетворять изопериметрическому условию

$$\int_0^S \sqrt{1+y'^2} ds = L, \quad (2)$$

которое показывает, что длина проекции траектории  $y$  на ось  $x$  равна  $L$ .

Ограничения на углы наклона и радиус кривизны записываются в виде

$$|y'| / \sqrt{1-y'^2} \leq k, \quad (3)$$

$$|y''| / \sqrt{1-y'^2} \leq 1/r. \quad (4)$$

Теперь можно сформулировать возникающую вариационную задачу: найти в области  $D$  траекторию  $y$ , обеспечивающую минимум функционала  $E$  при изопериметрическом условии (2), ограничениях (3)–(4) и граничных условиях

$$y(0) = 0, \quad y(S) = H. \quad (5)$$

Поставленная задача решается численно. Для этого на языке «Алголь» составлена и на ЭВМ БЕСМ-6 реализована программа метода локальных вариаций [3].

Сначала опишем в общих чертах вычислительный алгоритм. Вместо (1) в области  $D$  минимизируется функционал

$$J = E + \lambda \int_0^S \sqrt{1-y'^2} ds, \quad (6)$$

где  $\lambda$  — множитель Лагранжа; при этом учитываются ограничения (3)–(4) и граничные условия (5). Определение  $\lambda$  эквивалентно определению длины траектории  $S$  так, чтобы удовлетворялось изопериметрическое условие (2).

Отрезок  $[O, S]$  разобьем точками  $s_i$ ,  $i=0, \dots, n$ , на  $n$  равных частей длины  $\Delta s$ . В качестве аргумента  $s_i+l$  будем брать  $s_j$ , если  $s_j \leq s_i + l < s_{j+1}$ . Введем обозначения:  $y_i = y(s_i)$ ,  $y_{ii} = y(s_i + l)$ ,  $a_i = a(s_i)$ ,  $v_i = v(s_i)$ ,  $i=0, \dots, n$ . Приближенное значение  $J$  будем вычислять по формуле

$$I = \sum_{i=1}^n \Delta s \{ \max [0, m a_i + Q p + \theta v_i^2 + (p/l) (y_{ii} - y_i)] + \\ + \lambda \sqrt{1 - (y_{i+1} - y_i)^2 / (4 \Delta s)} \}. \quad (7)$$

В таблицу из  $n+1$  чисел  $y_i$ ,  $i=0, \dots, n$ , помещается начальное приближение и производится его контрольный просмотр. Цель просмотра — проверка выполнения ограничений (3)–(4), специальных ограничений (граничные условия (5) рассматриваются, как разновидность специальных ограничений) и подсчет энергии для начального приближения. В случае, если  $y_i$ ,  $i=0, \dots, n$ , не удовлетворяет какому-нибудь из упомянутых ограничений, производится исправление  $y_i$ .

После исправления начального приближения производится варьирование точек  $y_i$ ,  $i=0, \dots, n$ . Процесс варьирования происходит следующим образом: значение  $y_i$  для конкретного  $i$  заменяется на значение  $y_i + h$ , где  $h > 0$  — шаг варьирования; проверяются ограничения (3)–(4) и специальные ограничения. Если они удовлетворены, то новое значение суммы  $I$  сравнивается со старым. В случае, если оно уменьшилось,  $y_i$  заменяется на зна-

чение  $y_i + h$ . Если не выполняется хотя бы одно из перечисленных условий, сохраняется значение  $y_i$  и производится проверка значения  $y_i - h$ . Пробежав таким образом все точки  $y_0, \dots, y_n$ , получим новую траекторию, которая снова варьируется. Процесс варьирования заканчивается тогда, когда все точки  $y_i$ ,  $i = 0, \dots, n$ , остаются без изменений.

Описанный выше алгоритм реализуется процедурой *mlvora*, составленной на основе процедуры *MLV1* (см. [3]). Основные отличия между этими процедурами состоят в следующем:

1. Процедура *mlvora* составлена для одной функции  $y$ , а процедура *MLV1* — для вектора-функции.

2. Процедура *mlvora* учитывает ограничения как на первую, так и на вторую производную функции  $y$  (процедура *MLV1* учитывает ограничения только на первую производную).

3. Блок исправления начального приближения в процедуре *mlvora* строится на принципиально другой основе, что вызвано слишком жесткими ограничениями, налагаемыми на производные функции  $y$ .

4. Из-за наличия вторых производных в (4) и запаздывающего аргумента в  $E$  схема вычисления процедуры *mlvora* отличается от схемы вычислений процедуры *MLV1*.

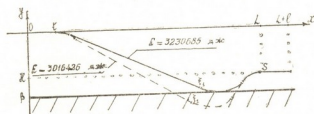


Рис. 1

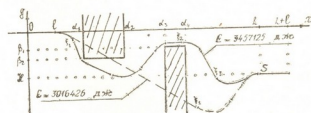


Рис. 2

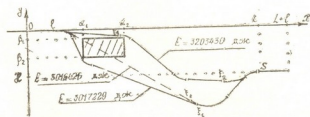


Рис. 3

В зависимости от начального приближения метод локальных вариаций может вывести на разные решения, представляющие собой локальные минимумы. Теоретические результаты, полученные в [2], дают возможность выбрать начальное приближение  $y$  так, чтобы построенное решение являлось глобальным минимумом функционала  $J$ . Вывод начального приближения из запретной зоны осуществляется блоком исправления начального приближения и производится так, что полученная траектория оказывается близкой к искомой. Это дает значительную экономию машинного времени.

На рисунках приводятся три результата расчетов. В этих примерах  $l = 133,37$  м,  $L = 2000$  м,  $H = -10$  м,  $b = 0,3$ . Заштрихованы области  $B$  (специальные ограничения). Они имеют следующие размеры: на рис. 1  $\beta = -14$  м; на рис. 2  $\beta_1 = -4$  м,  $\beta_2 = -6$  м,  $\alpha_1 = 400$  м,  $\alpha_2 = 800$  м,  $\alpha_3 = 1200$  м,  $\alpha_4 = 1400$  м; на рис. 3  $\beta_1 = -2$  м,  $\beta_2 = -6$  м,  $\alpha_1 = 400$  м,  $\alpha_2 = 800$  м. Через  $\xi_i$  обозначаются точки выключения двигателя. Штриховые траектории дают минимум затраты энергии без специальных ограничений. На рис. 3 минимальное  $E$  дает нижняя траектория.

Академия наук Грузинской ССР

Вычислительный центр

им. Н. И. Мухелишвили

(Поступило 1.11.1979)

გათვალისწინებული

ს. რაზმაძე

შეტროპოლიტენის გვირაბის გასფრინვი კვეთის ოპტიმიზაცია  
სპეციალური უზღუდვების გათვალისწინებით

რ ე ზ ი უ მ ე

სპეციალური შეზღუდვების გათვალისწინებით ვერტიკალურ სიბრტყე-  
ში მოქმედნილია მეტროპოლიტენის შეზობელი სადგურების შემართებელი  
გვირაბის ტრაექტორია, რომელიც უზრუნველყოფს მატარებლის ძრავის ენერ-  
გიის მინიმალურ ხარჯვას.

MATHEMATICS

S. A. RAZMADZE

## OPTIMIZATION OF THE LONGITUDINAL PROFILE OF THE UNDER-GROUND RAILWAY TUNNEL LINE WITH SPECIAL CONSTRAINTS

*Summary*

With account of special constraints, the longitudinal profile of underground railway line is determined, ensuring the minimal expenditure of power during the train's movement between successive stations. The method of local variations is used for the purpose. Constraints on the angles of the gradient of the line and the radius of curvature are taken into account. The lines of the stations are assumed to be on the same vertical plane. The tunnel is taken to be a single-track one. The return of power at braking is not taken into consideration.

### ლიტერატურა — REFERENCES

- Строительные нормы и правила (СНиП). Метрополитены (II—Д 3—62). М., 1962.
- С. А. Размадзе. ВИНИТИ, № 3643-79 Деп. 24 октября 1979.
- Ф. Л. Черноуско, Н. В. Баничук. Вариационные задачи механики и управления. М., 1973.



МАТЕМАТИКА

М. В. МИКИАШВИЛИ

О МУЛЬТИПЛИКАТИВНОЙ СТРУКТУРЕ В КОГОМОЛОГИЯХ  
РАССЛОЕННЫХ ПРОСТРАНСТВ

(Представлено академиком Г. С. Чогошвили 16.11.1979)

Пусть  $(F \rightarrow E \rightarrow B)$  — расслоение с линейно связной базой, для которого модули  $H^i(F, \Lambda)$ ,  $i \geq 0$  свободны ( $\Lambda$  — кольцо с единицей). Теорема Хирша [1] утверждает, что на модуле  $C^*(B, H^*(F, \Lambda))$  можно определить дифференциал, для которого существует изоморфизм градуированных  $\Lambda$ -модулей  $H^*(C^*(B, H^*(F, \Lambda))) \cong H^*(E, \Lambda)$  (случай несвободных  $H^i(F, \Lambda)$  рассмотрен в [2]).

Ниже мы введем в комплекс  $C^*(B, H^*(F, \Lambda))$  такую мультипликативную структуру, что этот изоморфизм будет изоморфизмом алгебр (для простоты мы здесь ограничиваемся случаем, когда модули  $H^i(F, \Lambda)$ ,  $i \geq 0$  свободны).

Вопрос, близкий к нашей задаче, был поставлен в [3]. Для расслоений со слоем сферы эта задача решена в [4].

Всюду ниже рассматриваются дифференциалы степени — 1, поэтому в когомологиях размерностям изменен знак. В  $\text{Hom}(A, B)$ , где  $A$  и  $B$  — дифференциальные градуированные  $\Lambda$ -модули, рассматриваем дифференциал  $\nabla x = dx - \widehat{x}d$ , где  $\widehat{x} = (-1)^{\deg x}x$ .

Одно из доказательств теоремы Хирша (см. [12]) приводит к следующей ситуации.

Пусть  $B$  — упорядоченный симплексиальный комплекс. Под локальной системой дифференциальных алгебр над комплексом  $B$  мы понимаем функцию  $C = \{C_b, \pi\}$ , сопоставляющую каждой вершине  $b$  дифференциальную алгебру  $C_b$  и каждому 1-мерному симплексу  $(b_0 < b_1)$ , гомоморфизм алгебр  $\pi_{b_0 b_1}: C_{b_1} \rightarrow C_{b_0}$ ; для любого 2-мерного симплекса  $(b_0 < b_1 < b_2)$  требуется выполнение равенства  $\pi_{b_0 b_1} \pi_{b_1 b_2} = \pi_{b_0 b_2}$ .

Пусть  $X = \text{Hom}(C_*(B, \Lambda), C_b)$ . Здесь мы считаем, что  $x \in X$  сопоставляет каждому симплексу  $(b_0 < b_1 < b_2 < \dots < b_n)$  элемент из  $C_{b_0}$ , и дальше продолжен по линейности (это — обычный коцепной комплекс по локальной системе, но для нас удобно писать его в виде функтора  $\text{Hom}$ ), дифференциал  $\nabla$  формально определим как в  $\text{Hom}$ , т. е.  $\nabla x = \partial_C x - \widehat{x}\partial_B$ , где  $\partial_C$  — дифференциал локальной системы, а  $\partial_B$  — обычный дифференциал в  $C_*(B, \Lambda)$ . Так как  $C_*(B, \Lambda)$  — коалгебра, а  $C_b$  — алгебры, то  $X$  будет алгеброй. Рассмотрим эту же конструкцию для локальной системы алгебр  $H_*(C_b)$  и обозначим ее через  $Y$ ,  $Y = \text{Hom}(C_*(B, \Lambda), H(C_b))$ . Строится

также комплекс  $H = \text{Hom}(C_*(B, \Lambda), \text{Hom}(H(C_{b_n}), H(C_{b_0})))$ ; здесь рассматривается локальная система несколько в другом смысле, именно симплексу  $(b_0 < b_1 < \dots < b_n)$  сопоставляется  $\text{Hom}(H(C_{b_n}), H(C_{b_0}))$ . Если этому же симплексу сопоставим  $\text{Hom}(H(C_{b_n}), C_{b_0})$ , то получаем комплекс  $K = \text{Hom}(C_*(B, \Lambda), \text{Hom}(H(C_{b_n}), C_{b_0}))$ .

Дифференциал  $\nabla$  функтора  $\text{Hom}$  превращает  $H$  и  $K$  в цепные комплексы.

Очевидно,  $H$  является дифференциальной алгеброй,  $Y$  является левым  $H$ -модулем, а  $K$  — правым  $H$ -модулем; кроме того,  $\odot$  — произведение и спаривание локальных систем  $\text{Hom}(H(C_{b_n}), C_{b_0})$  и  $H(C_{b_n})$  с локальной системой  $C_{b_0}$  определяют спаривание (цепное отображение)  $K \otimes Y \rightarrow X$ .

Пусть  $h \in H$ -скрещивающая коцель, т. е.  $\nabla h = -hh$ ,  $\dim h = -1$ ; тогда если для произвольного  $y \in Y$  положить  $dy = \nabla y + hy$ , то  $dd = 0$ . Этот новый комплекс обозначим через  $Y_h$ . В [2] утверждается, что существуют скрещивающая коцель  $h \in H$  и элемент  $k \in K$ , такие, что отображение  $y \rightarrow ky$  индуцирует изоморфизм гомологий:  $H_*(Y_h) = H_*(X)$ ; для этого достаточно доказать существование пары  $(k, h)$ , для которой  $\nabla k = kh$  и удовлетворено начальное условие: для произвольного  $b_0 \in C_*(B, \Lambda)$ ,  $k^\circ(b_0) : H(C_{b_0}) \rightarrow C_{b_0}$  есть гомоморфизм выбора циклов. (Последнее утверждение доказывает теорему Хирша, так как (см. [2])  $H_*(X)$  и  $H^*(E, \Lambda)$  изоморфные алгебры.) Ниже пара  $(k, h)$  считается фиксированной.

Наша цель — ввести в  $Y_h$  такую мультиликативную структуру, чтобы отображение  $y \rightarrow ky$  индуцировало изоморфизм алгебр гомологий  $H_*(Y_h) = H_*(X)$ .

Нам понадобятся также следующие комплексы: рассмотрим локальную систему над  $B$ , сопоставляющую симплексу  $(b_0 < b_1 < b_r < \dots < b_n)$  модуль  $\text{Hom}(H(C_{b_n}) \otimes H(C_{b_n}), H(C_{b_0}))$ ; соответствующий коцепной комплекс обозначим через  $M = \text{Hom}(C_*(B, \Lambda), \text{Hom}(H(C_{b_n}) \otimes H(C_{b_n}), H(C_{b_0})))$ . Если симплексу  $(b_0 < b_1 < \dots < b_n)$  сопоставить  $\text{Hom}(H(C_{b_n}) \otimes \dots \otimes H(C_{b_n}), C_{b_0})$ , то получим комплекс  $N = \text{Hom}(C_*(B, \Lambda), \text{Hom}(H(C_{b_n}) \otimes \dots \otimes H(C_{b_n}), C_{b_0}))$ .  $M$  является левым модулем над  $H$ .

Умножение  $Y_h \otimes Y_h \rightarrow Y_h$  имеет вид

$$y_1 \circ y_2 = Q \cdot [s(\varphi'(y_1) \otimes \varphi(h)) E] y_2, \quad (1)$$

где  $Q \in M$ , и удовлетворяет равенству

$$\nabla Q = hQ + Q(s(\varphi(h) \otimes \varphi(h)) E), \quad (2)$$

а 0-компоненты  $\theta_0$  каждой вершине  $b \in B$  сопоставляет гомоморфизм произведения  $H(C_b) \otimes H(C_b) \rightarrow H(C_b)$ .

В формуле (1)  $E$  означает цепную операцию  $E : C_*(B, \Lambda) \rightarrow \text{Cobar}(C_*(B, \Lambda)) \otimes \text{Cobar}(C(B, \Lambda))$ , построенную в [5],  $\varphi(h) \in \text{Bar } H$  определен

в [6] и имеет вид  $\varphi(h) = 1 - h - h \otimes h + \dots + (-1)^{\frac{p(p+1)}{2}} \underbrace{h \otimes h \otimes \dots \otimes h}_{p} + \dots$ ,

и так как  $\nabla h = -hh$ , то  $\varphi(h)$  является циклом;  $\varphi'(y)$  определим как элемент  $\frac{p(p+1)}{2} + p \dim y$   $\text{Bar}(H, Y)$  формулой  $\varphi'(y) = y - h \otimes \widehat{y} - h \otimes h \otimes y + \dots + (-1)^p h \otimes h \otimes \dots \otimes h \otimes y + \dots$ ; легко видеть, что  $d\varphi'(y) = \varphi'(\nabla y)$ . Здесь  $d =$

дифференциал в  $\text{Bar}(H, Y)$  является комодулем над коалгеброй  $\text{Bar } H$  и имеем следующие равенства;  $\Delta\varphi(h) = \varphi(h) \otimes \varphi(h)$  и  $\Delta\varphi'(y) = \varphi(h) \otimes \varphi'(y)$  ( $\Delta$  — коумножение). Отображение  $s: \text{Bar}(H, Y) \otimes \text{Bar } H \rightarrow \text{Hom}(\text{Cobar}(C_*(B, \Lambda)) \otimes \text{Cobar}(C_*(B, \Lambda)), (H(C_{b_0}) \otimes \text{Hom}(H(C_{b_n}), H(C_{b_0})))$  определено в [6]. Таким образом, в формуле (1) перемножаются три коцепи комплекса  $B$ . Из формулы (2) следует, что умножение  $Y_h \otimes Y_h \rightarrow Y_h$  — цепное отображение.

Формула (1) определяет нужное умножение в  $Y_h$ , если диаграмма

$$\begin{array}{ccc} & \curvearrowleft k \otimes \curvearrowright k & \\ Y_h \otimes Y_h & \dashrightarrow & X \otimes X \\ \downarrow & \curvearrowright k & \downarrow \\ Y_h & \dashrightarrow & X \end{array}$$

гомотопически коммутативна, т. е. если существует  $F: Y_h \otimes Y_h \rightarrow X$ , такая, что

$$ky_1 \cdot ky_2 - k(y_1 \circ y_2) = (\nabla F)(y_1 \otimes y_2); \quad (3)$$

это условие будет единственным дальнейшим ограничением, накладываемым на  $Q$ .  $F$  будем искать в виде

$$\begin{aligned} F(y_1 \otimes y_2) = & -k[s\varphi'(y_1) \otimes \varphi''(k)] \cdot E] y_2 + \\ & + \eta[s(\varphi'(y_1) \otimes \varphi(h)) \cdot E] y_2, \end{aligned} \quad (4)$$

где  $\varphi''(k)$  — элемент из  $\text{Bar}(K, H)$ , заданный равенством  $\varphi''(k) = -k - \frac{(p+1)(p+2)}{2} - k \otimes h + k \otimes h \otimes h + \dots + (-1)^p k \otimes h \otimes h \otimes \dots \otimes h + \dots$ , а

$\eta \in N$  — некоторая коцепь, существование которой утверждается ниже; легко видеть, что так как  $\nabla k = kh$ , то  $d\varphi''(k) = 0$ ; кроме того, имеет место равенство  $\Delta\varphi''(k) = \varphi''(k) \otimes \varphi(h)$ , [6]. Через  $f_1$  и  $f_2$  обозначим соответственно первое и второе слагаемые из равенства (4):  $f_1, f_2: Y \otimes Y \rightarrow X$ . Принимая во внимание свойства  $\varphi(h)$ ,  $\varphi'(y)$  и  $\varphi''(k)$ , проверяется, что

$\Delta f_1 = -ky_1 \cdot ky_2 + k([s(\varphi(h) \otimes \varphi''(k))] E) ([s(\varphi'(y_1) \otimes \varphi(h))] E) y_2$ ,  
 $\nabla f_2 = \nabla \eta ([s(\varphi'(y_1) \otimes \varphi(h))] E) y_2 + \eta ([s(\varphi(h) \otimes \varphi(h))] E) ([s(\varphi'(y_1) \otimes \varphi(h))] E) y_2$ ; следовательно, мы знаем  $\nabla F$ . Подставляя в (3) это выражение  $\nabla F$  и выражение  $y_1 \circ y_2$  из равенства (1), получаем

$$\begin{aligned} & [k([s(\varphi(h) \otimes \varphi''(k))] E) + \eta([s(\varphi(h) \otimes \varphi(h))] E) - \nabla \eta - \\ & - k\theta]([s(\varphi'(y_1) \otimes \varphi(h))] E) y_2 = 0. \end{aligned}$$

Таким образом, если существует пара  $(\theta, \eta)$ , такая, что

$$-\nabla \eta - k\theta + k([s(\varphi(h) \otimes \varphi''(k))] E) + \eta([s(\varphi(h) \otimes \varphi(h))] E) = 0, \quad (5)$$

то для умножения в  $Y_h$ , определенного коцепью  $\theta$  равенством (1), будет существовать гомотопия  $F$ , определенная равенством (4); следовательно, это умножение будет искомым умножением в  $Y_h$ .

Теорема *Существует пара  $(\theta, \eta)$ , которая удовлетворяет уравнению (5).*

Доказательство состоит в индуктивном, по первой размерности построении коцепей  $\theta$  и  $\eta$ .

Очевидно из равенства (5), что  $\theta$  удовлетворяет начальному условию для  $\theta_0$  и, рассматривая левую часть формулы (5) как гомоморфизм  $Y \otimes Y \rightarrow X$  и применяя к ней границу  $\nabla$ , после некоторых вычислений убеждаемся, что  $k(\nabla\theta - h\theta - \theta([s(\varphi(h)) \otimes \varphi(h)] E)) = 0$ ; отсюда следует, что  $\theta$  удовлетворяет условию (2).

В следующей публикации будет измерен произвол в выборе коцепи  $\theta$ .

Академия наук Грузинской ССР  
Тбилисский математический институт  
им. А. М. Размадзе

(Поступило 16.11.1979)

გათხმაზისა

ა. მიკიაშვილი

ფიზრაციათა პოლიმოლოგიის მულტიპლიკატური  
სტრუქტურის შესახებ

რეზიუმე

ნებისმიერი  $F \rightarrow E \rightarrow B$  ფიბრაციისათვის კოჯაჭვურ  $C^*(B, H^*(F, \Lambda))$  კომპლექსი გარევეული კოჯაჭვის მეშვეობით შემოყვანილია მულტიპლიკატური სტრუქტურა, რომლისთვისაც ჰირშის  $H^*(C^*(B, H^*(F, \Lambda))) \cong H^*(E, \Lambda)$  იზომორფიზმი აღვებრების იზომორფიზმია.

MATHEMATICS

M. V. MIKIA SHVILI

## ON THE MULTIPLICATIVE STRUCTURE IN THE COHOMOLOGIES OF FIBER BUNDLES

Summary

In the cochain complex  $C^*(B, H^*(F, \Lambda))$  for the fibration  $F \rightarrow E \rightarrow B$  the multiplicative structure is introduced by a suitable cochain; for this multiplication the Hirsch isomorphism  $H^*(C^*(B, H^*(F, \Lambda))) \cong H^*(E, \Lambda)$  becomes an isomorphism of algebras.

### ლიტერატურა — ЛИТЕРАТУРА — REFERENCES

1. G. Hirsch. Bull. Soc. Math. Belgique, 6, 1953, 79-96.
2. Н. А. Берикашвили. Труды Матем. ин-та АН ГССР, т. 1, 1976.
3. W. H. Cockcroft. Trans. Amer. Math. Soc., 98, 1961, 255-262.
4. D. G. Malm. Trans. Amer. Math. Soc., 102, № 2, 1962, 293-298.
5. Л. Г. Хелая. Сообщения АН ГССР, 96, № 2, 1979.
6. Л. Г. Хелая. Сообщения АН Груз. ССР, 97, № 3, 1980.



МАТЕМАТИКА

Л. Г. ЗАМБАХИДЗЕ

О СООТНОШЕНИЯХ МЕЖДУ РАЗМЕРНОСТЯМИ СВОБОДНЫХ  
БАЗИСОВ СВОБОДНЫХ ТОПОЛОГИЧЕСКИХ ГРУПП

(Представлено академиком Г. С. Чогошвили 1.II.1979)

Все пространства, рассматриваемые в этой статье, предполагаются, по крайней мере, хаусдорфовыми и вполне регулярными. Через  $F(X)$  и  $A(X)$  обозначаются, соответственно, свободная (абелевая) топологическая группа в смысле М. И. Граева [1] пространства  $X$ . Два пространства  $X$  и  $Y$  называются  $F$ -( $A$ )-эквивалентными, если группы  $F(X)$  и  $A(Y)$  (соответственно,  $A(X)$  и  $A(Y)$ ) топологически изоморфны.

Через  $\omega(X)$  обозначается вес пространства  $X$ ,  $-n$ —целое число  $\geq -1$ ,  $-\tau$ —бесконечное кардинальное число,  $a - \dim X$ ,  $-\text{Ind } X$  и  $-\dim_G X$ , соответственно, комбинаторная (т. е. основанная на всех конечных открытых покрытиях), индуктивно-большая и когомологическая в смысле П. С. Александрова [2] размерности пространства  $X$ . Следует отметить, что определение упомянутых размерностных функций формально пригодны для всех пространств. Поэтому допустимо их рассмотрение в классе вполне регулярных пространств (см. ниже следующие предложения 2 и 3). Заметим также, что размерности  $\dim$  и  $\text{Ind}$  при изучении свойств ненормальных пространств применялись и ранее (см., например, [3—5]).

И, наконец, отметим, что понятия, определения которых имеются в одной из книг ([6—9]) считаются известными и далее не поясняются.

Простые примеры, построенные в [1], показывают, что существует как  $A$ -эквивалентные, так и  $F$ -эквивалентные, но не гомеоморфные пространства. Однако индуктивно-малые размерности совпадают как для  $A$ - так и  $F$ -эквивалентных метризуемых бикомпактов [1] и локальных бикомпактов [10].

Соотношения между группами  $F(X)$  и  $A(X)$ , а также между свободными (абелевыми) группами в смысле М. И. Граева и А. А. Маркова [11], установленные в [1, 12, 13], показывают, что инвариантность размерностей  $\dim X$ ,  $\text{Ind } X$  и  $\dim_G X$  для  $A$  эквивалентных пространств влечет их инвариантность для  $F$ - $F_1$ - и  $A_1$ -эквивалентных (определения см. в [1]) пространств.

Поэтому на протяжении всей работы мы будем рассматривать соотношения между размерностями  $A$ -эквивалентных пространств.

Справедливы следующие теоремы.

Теорема 1. Пусть  $X$  и  $Y$ — $A$ -эквивалентные бикомпакты. Тогда  $\omega(X) = \omega(Y)$  и  $\dim X = \dim Y$ .

**Теорема 2.** Пусть  $X$  и  $Y$ — $A$ -эквивалентные нормальные, чешуйчатые [15] и локально бикомпактные пространства. Тогда  $\dim X = \dim Y$ .

**Замечание 1.** Равенство  $\omega(X) = \omega(Y)$  установлено ранее в [14]. Равенство  $\dim X = \dim Y$  дает положительный ответ на вопрос А. В. Архангельского, поставленного им в своем докладе на II Московской международной топологической конференции.

Доказательства теорем 1 и 2 опираются на некоторые результаты из [10, 15, 16], а также на следующие предложения, имеющие на наш взгляд и самостоятельный интерес.

1. Пусть  $X$ —нормальное и чешуйчатое пространство, для которого  $\dim X \geq n$ . Тогда существует такое замкнутое в  $X$  подмножество  $X_0$ , что для каждого непустого открытое в  $X_0$  и типа  $F_\sigma$  в  $X$  подмножества  $U$  справедливо неравенство  $\dim U \geq n$ ; 2. Пусть  $X$ —произвольное пространство а  $G$ —конуль подмножество  $X$ . Тогда  $\dim U \leq \dim X$ ; 3. Пусть  $X$ —вполне регулярное пространство, а  $Y$ —локально финально-компактное, нормальное и чешуйчатое подпространство  $X$ . Тогда  $\dim Y \leq \dim X$ .

**Замечание 2.** Из предложений 2 и 3 следует, что размерность  $\dim$  монотонна по конулю и по финально-компактным подмножествам в классе вполне регулярных пространств, хотя теорема счетной суммы для  $\dim$  в этом классе пространств не имеет места. Действительно, пусть  $X$ —пространство, построенное нами в [16]. Можно показать, что

$X = \bigcup_{i=1}^{\infty} F_i$ , где  $F_1$ —дискретное пространство, а  $F_i$  для  $i > 1$ , нульмерные бикомпакты, а  $\dim X > 0$ .

Пространство  $X$  будем называть конечномерным, если  $\dim X \leq n$  для некоторого  $n \geq -1$ .

Для когомологической размерности  $\dim_G X$  конечномерных бикомпактов имеют место следующие теоремы, являющиеся, насколько нам известно, новыми даже для классического случая метризуемых компактов.

**Теорема 3.** Пусть  $X$  и  $Y$ — $A$ -эквивалентные конечномерные бикомпакты. Тогда  $\omega(X) = \omega(Y)$  и  $\dim_G \dim_G Y$ , где  $G$ —произвольная абелевая группа коэффициентов.

**Следствие 3.** Пусть  $X$  и  $Y$ — $A$ -эквивалентные локально бикомпактные пространства. Тогда  $\dim_G X = \dim_G Y$ , где  $G$ —произвольная абелевая группа коэффициентов.

**Теорема 4.** Пусть  $X$  и  $Y$ — $A$ -эквивалентные конечномерные бикомпакты. Если один из них является размерно-полноценным [2] бикомпактом (компактом), то и другой является размерно-полноценным бикомпактом (компактом).

**Определение.** Пространство  $X$  называется канонически тотальне-чешуйчатым, если для каждой пары  $A$  и  $B$  отдаленных в  $X$  подмножеств существуют открытые подмножества  $U, V \subset X$ , такие, что  $A \subseteq U, B \subseteq V, U \cap V = \emptyset$  и  $U$  и  $V$  имеют  $F_\sigma$ -чешуйчатое покрытие в  $X$  (определение  $F_\sigma$ -чешуйчатого покрытия см. в [15]).

При установлении взаимоотношений между классами канонически totally-чешуйчатых, totally-чешуйчатых [15] и сильно нормальных (в смысле Р. Энгелькинга) [7] пространства существенно используются следующие предложения: а) каждое totally-чешуйчатое пространство является канонически totally-чешуйчатым; б) каждое сильно наследственно нормальное пространство является канонически totally-чешуйчатым; в) существует паракомпактное totally-чешуйчатое, но не сильнонаследственно нормальное пространство; г) существует сильно наследственно нормальное, но не totally-чешуйчатое пространство; д) существует паракомпактное канонически totally-чешуйчатое пространство, не являющееся ни totally-чешуйчатым, ни сильно наследственно нормальным.

Класс канонически totally-чешуйчатых пространств, по-видимому, является наиболее широким классом пространства, в котором справедливы следующие предложения:

I. Пусть  $X$ —канонически totally-чешуйчатое пространство и  $A \leq X$ . Тогда  $\text{Ind } A \leq \text{Ind } X$ . II. Пусть  $X$ —канонически totally-чешуйчатое пространство и  $X = A \cup B$ , где  $\text{Ind } A \leq n$ ,  $\text{Ind } B \leq n$  и  $A$ —замкнуто в  $X$ . Тогда  $\text{Ind } X \leq n$ .

III. Пусть  $X$ —канонически totally-чешуйчатое пространство и  $X = \bigcup_{i=1}^{\infty} F_i$ , где каждое  $F_i$  замкнуто в  $X$  и  $\text{Ind } F_i \leq n$ . Тогда  $\text{Ind } X \leq n$ ; IV.

Пусть  $X$ —канонически totally-чешуйчатое и чешуйчатое (в частности, паракомпактное) пространство. Тогда  $\text{loc Ind } X = \text{Ind } X$ ; V. Пусть  $X$ —канонически totally-чешуйчатый бикомпакт, для которого  $\text{Ind } X \geq n$ . Тогда существует такое замкнутое в  $X$  подмножество  $X_0$ , что для каждого открытого в  $X_0$  и типа  $F_\sigma$  в  $X$  подмножества  $U$  справедливо неравенство  $\text{Ind } U \geq n$ .

**Теорема 5.** Пусть  $X$  и  $Y$ — $A$ -эквивалентные канонически totally-чешуйчатые бикомпакты. Тогда  $\text{Ind } X = \text{Ind } Y$ .

**Следствие 4.** Пусть  $X$  и  $Y$ — $A$ -эквивалентные, чешуйчатые и канонически totally-чешуйчатые локально бикомпактные пространства. Тогда

$$\text{Ind } X = \text{ind } X = \text{Ind } Y = \text{ind } Y.$$

**Замечание 3.** Анализ доказательств теорем 1, 3, 4 и 5 показывает, что они допускают следующее обобщение. Пусть  $Q$ —топологически замкнутый и  $c$ -монотонный [3] класс бикомпактов, а  $d$ —некоторый кардинально значный топологический инвариант, обладающий следующими свойствами:

1.  $dX = -1 (=) X = \emptyset$ ; 2)  $d|p| = 0$ , где  $|p|$ —одноточечное пространство; 3) если  $A$  замкнуто в  $X$ , то  $dA \leq dX$ ; Если бикомпакт  $Z \in Q$  имеет  $dZ \geq \tau$ , то существует такое замкнутое подмножество  $Z_0 \subseteq Z$ , что для каждого открытого в  $Z_0$  и типа  $F_\sigma$  подмножества  $U \subseteq Z_0$  справедливо неравенство  $dU \geq \tau$ . Тогда для произвольной пары  $A$ -эквивалентных бикомпактов  $X$ ,  $Y \in Q$  справедливо равенство  $dX = dY$ .

**Замечание 4.** Небольшая модификация примера из замечания 2 позволяет показать, что для каждого кардинала  $\tau \geq \aleph_0$  существует локально бикомпактное пространство  $X_\tau$  для которого  $Wl(X_\tau) = \tau$ , а  $ql(X_\tau) = 2^\tau$ .

Примеры, о которых говорится в замечании 5, дают утвердительный ответ на вопрос, поставленный А. В. Архангельским в [18].

Замечание 5. Как стало нам известно, теорема 1 независимо и другим методом доказана также А. В. Архангельским.

Тбилисский государственный университет

(Поступило 30.11.1979)

გათიათიკა

ლ. ზამბახიძე

თანავარდობათა უესახებ თავისუფალი ტოპოლოგიური ჯგუფების  
თავისუფალი გაზისმის განცომილების უორის

რეზიუმე

1. თუ  $X$  და  $Y$   $A$ -ეკვივალენტური ბიკომპაქტებია, მაშინ  $\dim X = \dim Y$  და  $\dim_G X = \dim_G Y$ , სადაც  $\dim_G X$  3. ალექსანდროვის კოჰომოლოგიური განხომილებაა. 2. თუ  $X$  და  $Y$  კონტიურად ტორტალურად ფხოვანი  $A$ -ეკვივალენტური სივრცეებია, მაშინ  $\text{Ind} X = \text{Ind} Y$ .

ამონსნილია ა. არხანგელსკის მიერ [18]-ში დასმული ამოცანა.

MATHEMATICS

L. G. ZAMBAKHIDZE

## RELATIONS BETWEEN DIMENSIONS OF FREE BASES OF FREE TOPOLOGICAL GROUPS

### Summary

It is shown that if  $X$  and  $Y$  are  $A$ -equivalent [1] bicompacts, then  $\dim X = \dim Y$ ,  $\dim_G X = \dim_G Y$ , where  $\dim_G X$  is a cohomological dimension in P. S. Alexandrov's sense, and if  $X$  and  $Y$  are canonical total scalar  $A$ -equivalent bicompact spaces, then  $\text{Ind} X = \text{Ind} Y$ . A problem of A. V. Arkhangelski [18] is also solved.

### ლითერატურა — ЛИТЕРАТУРА — REFERENCES

1. М. И. Граев. Изv. АН СССР, сер. матем., 12, № 1, 1948.
2. В. И. Кузьминов. УМН, 23, № 5, 1968.
3. Л. Г. Замбахидзе. Сообщения АН ГССР, 89, № 1, 1978.
4. Р. А. Ostrand. General Topology and its Applications. I, № 1, 1971.
5. А. В. Зарелуа. Матем. сб., 60, № 1, 1963.
6. R. Engelking. General Topology, Warszawa, 1977.
7. R. Engelking. Dimension Theory, Warszawa, 1978.
8. П. С. Александров, Б. А. Пасынков. Введение в теорию размерности. М., 1973.
9. А. В. Архангельский, В. И. Пономарев. Основы общей топологии в задачах и упражнениях. М., 1974.
10. C. Joiner. Trans. Amer. Math. Soc., 3, № 1, 1976.
11. А. А. Марков. Изv. АН СССР, сер. матем., 9, № 1, 1945.
12. F. R. Ward. Notices Amer. Math. Soc., 17, № 1, 1970.
13. Sidney A. Morris. Bull. Austral. Math. Soc., 1, № 2, 1969.
14. А. В. Архангельский. ДАН СССР, 5, № 6, 1968.
15. Л. Г. Замбахидзе, Б. А. Пасынков. Сообщения АН ГССР, 79, № 3, 1975.
16. Л. Г. Замбахидзе. ДАН СССР, 191, № 2, 1970.
17. М. М. Чобан, Н. К. Додон. Теория Р-разреженных пространств. Кишинев, 1979.
18. А. В. Архангельский. УМН, 34, № 4, 1979.



В. В. ХОЧОЛАВА

О СИЛЬНОЙ СУММИРУЕМОСТИ РЯДОВ ФУРЬЕ—ЛАПЛАСА  
 ФУНКЦИИ КЛАССА  $L_p(S^k)$ ,  $p > 1$

(Представлено членом-корреспондентом Академии Л. В. Жижинашвили 22.11.1979)

Пусть  $f \in L(S^k)$ , ее рядом Фурье—Лапласа называется ряд

$$f(x) \sim \sum_{n=0}^{\infty} \frac{\Gamma(\lambda)}{2\pi^{\lambda+1}} \int_{S^k} f(y) p_n^{\lambda}(\cos \gamma) dS^k(y), \quad (1)$$

где  $\lambda = \frac{k-2}{2}$ ,  $\gamma = \overrightarrow{ox}, \overrightarrow{oy}$ ,  $p_n^{\lambda}(\cos \gamma)$ —многочлены Гегенбауера [1].

Чезаровские средние  $(C, \alpha)$ ,  $\alpha > -1$  этого ряда

$$\sigma_m^{\lambda, \alpha}(f; x) = \frac{\Gamma(\lambda)}{2\pi^{\lambda+1}} \int_{S^k} f(y) \Phi_m^{\lambda, \alpha}(\cos \gamma) dS^k(y)$$

имеют ядро

$$\Phi_m^{\lambda, \alpha}(\cos \gamma) = \frac{1}{A_m^\alpha} \sum_{j=0}^m (j+\lambda) A_{m-j}^\alpha p_j^{\lambda}(\cos \gamma).$$

Определение 1. Скажем, что ряд Фурье—Лапласа (1),  $(H, q, \alpha)$ -суммируем в точке  $x$ , если

$$\frac{1}{n+1} \sum_{m=0}^n |\sigma_m^{\lambda, \alpha}(f; x) - f(x)|^q = o(1) \text{ при } n \rightarrow \infty. \quad (2)$$

Определение 2. Пусть  $f \in L_p(S^k)$ . Точку  $x \in S^k$  назовем  $D_p$ -точкой функции  $f$ , если

$$\int_0^h \left| \int_{(x, y)=\cos \gamma} \{f(y) - f(x)\} dS^{k-1}(y) \right|^p d\gamma = o(h^{2\lambda p + 1}). \quad (3)$$

Определение 3. Точку  $x \in S^k$  назовем  $D_p^*$ -точкой функции  $f$ , если  $x$  и  $x^*$  одновременно являются  $D_p$ -точками функции  $f$ , где  $x^*$ —точка, противоположная точке  $x$ .

Лемма. Если  $f \in L_p(S^k)$ , то почти всякая  $x \in S^k$  есть ее  $D_p^*$ -точка.

Доказательство. Легко усмотреть, что

$$\begin{aligned} \int_0^h \left| \int_{(x,y)=\cos \gamma} |f(y) - f(x)| dS^{h-1}(y) \right|^p d\gamma &\leq c \int_0^h \gamma^{2\lambda(p-1)} \int_{(x,y)=\cos \gamma} |f(y) - f(x)|^p dS^{h-1}(y) d\gamma \leq \\ &\leq ch^{2\lambda(p-1)} \int_{\omega^h(x; h)} |\bar{f}(y) - f(x)|^p dS^h(y). \end{aligned}$$

Но, как известно, почти всюду на поверхности сферы

$$\lim_{h \rightarrow 0} \frac{1}{|\omega^h(x; h)|} \int_{\omega^h(x; h)} |\bar{f}(y) - f(x)| dS^h(y) = f(x),$$

откуда при  $\bar{f} \in L_p(S^h)$  почти всюду

$$\int_{\omega^h(x; h)} |\bar{f}(y) - f(x)|^p dS^h(y) = o(h^{2\lambda+1}).$$

Следовательно, почти всюду на  $S^h$  выполняется (3).

Справедлива следующая

**Теорема.** Если  $f \in L_p(S^h)$ ,  $p > 1$ , то ее ряд Фурье—Лапласа  $(H, q, \alpha)$ -суммируем во всякой  $D_p^*$ -точке  $x$ , где  $\frac{1}{p} + \frac{1}{q} = 1$  и  $\alpha > \lambda - \frac{1}{q}$ .

**Доказательство.** Легко установить, что

$$\begin{aligned} \frac{1}{n+1} \sum_{m=0}^n |\sigma_m^{\lambda, \alpha}(f; x) - f(x)|^q &\leq \frac{c}{n+1} \sum_{m=0}^n \left| \int_0^{\frac{1}{m+1} \frac{\pi}{2}} \varphi_x(\gamma) \Phi_m^{\lambda, \alpha}(\cos \gamma) d\gamma \right|^q + \\ &+ \frac{c}{n+1} \sum_{m=0}^n \left| \int_{\frac{1}{m+1} \frac{\pi}{2}}^{\frac{\pi}{m+1} \frac{\pi}{2}} \varphi_x(\gamma) \Phi_m^{\lambda, \alpha}(\cos \gamma) d\gamma \right|^q + \\ &+ \frac{c}{n+1} \sum_{m=0}^n \left| \int_{\pi - \frac{1}{m+1} \frac{\pi}{2}}^{\pi} \varphi_x(\gamma) \Phi_m^{\lambda, \alpha}(\cos \gamma) d\gamma \right|^q = I_1 + I_2 + I_3, \end{aligned}$$

где

$$\varphi_x(\gamma) = \int_{(x, y)=\cos \gamma} |f(y) - f(x)| dS^{h-1}(y).$$

Так как  $|\Phi_m^{\lambda, \alpha}(\cos \gamma)| < cm^{2\lambda+1}$  при  $0 \leq \gamma \leq \pi$  [2], то для  $I_1$  получим следующую оценку:

$$I_1 \leq \frac{c}{n+1} \sum_{m=0}^n \left\{ m^{2\lambda+1} \int_0^{\frac{1}{m+1} \frac{\pi}{2}} |\varphi_x(\gamma)| d\gamma \right\}^q = \frac{c}{n+1} \sum_{m=0}^n \left\{ m^{2\lambda+1} o\left(\frac{1}{m^{2\lambda+1}}\right) \right\}^q = o(1).$$

Учитывая, что  $x$  является  $D_p^*$ -точкой, аналогично можно получить  $I_3 = o(1)$  при  $n \rightarrow \infty$ .

Для оценки  $I_2$  применим асимптотическое выражение ядра  $\Phi_m^{\lambda, \alpha}(\cos \gamma)$  при  $\left| \frac{\pi}{2} - \gamma \right| < \frac{m}{m+1} \frac{\pi}{2}$  [2]

$$\begin{aligned} \Phi_m^{\lambda, \alpha}(\cos \gamma) &= \frac{2\lambda A_m^\lambda}{A_m^\alpha} \frac{\sin \left[ \left( m + \lambda + \frac{\alpha+1}{2} \right) \gamma - \frac{\lambda+\alpha}{2} \pi \right]}{(2\sin \gamma)^\lambda \left( 2\sin \frac{\gamma}{2} \right)^{\alpha+1}} + \\ &+ \frac{(m+1)^{\lambda-\alpha-1} \eta_m^{\lambda, \alpha}(\gamma)}{(\sin \gamma)^{\lambda+1} \left( \sin \frac{\gamma}{2} \right)^{\alpha+1}} + \frac{\mu_m^{\lambda, \alpha}(\gamma)}{(m+1) \left( \sin \frac{\gamma}{2} \right)^{2+2\lambda}} = \\ &= \Phi_{m,1}^{\lambda, \alpha}(\cos \gamma) + \Phi_{m,2}^{\lambda, \alpha}(\cos \gamma) + \Phi_{m,3}^{\lambda, \alpha}(\cos \gamma), \end{aligned}$$

где  $|\eta_m^{\lambda, \alpha}(\gamma)| < c$  и  $|\mu_m^{\lambda, \alpha}(\gamma)| < c$ .

Интегрируя по частям, легко установить, что

$$\begin{aligned} \frac{c}{n+1} \sum_{m=0}^n \left| \int_{\frac{1}{m+1} \frac{\pi}{2}}^{\pi - \frac{1}{m+1} \frac{\pi}{2}} \varphi_x(\gamma) \{ \Phi_{m,2}^{\lambda, \alpha}(\cos \gamma) + \Phi_{m,3}^{\lambda, \alpha}(\cos \gamma) \} d\gamma \right|^q &= o(1) \text{ и} \\ \frac{c}{n+1} \sum_{m=0}^n \left| \int_{\frac{1}{n} \frac{\pi}{2}}^{\frac{1}{m+1} \frac{\pi}{2}} + \int_{\pi - \frac{1}{n} \frac{\pi}{2}}^{\pi - \frac{1}{m+1} \frac{\pi}{2}} \varphi_x(\gamma) \Phi_{m,1}^{\lambda, \alpha}(\cos \gamma) d\gamma \right|^q &= o(1) \text{ при } n \rightarrow \infty. \end{aligned}$$

Пусть

$$g(\gamma) = \begin{cases} \frac{\varphi_x(\gamma) \cos \left[ \left( \lambda + \frac{\alpha+1}{2} \right) \gamma - \frac{\lambda+\alpha}{2} \pi \right]}{(\sin \gamma)^\lambda \left( \sin \frac{\gamma}{2} \right)^{\alpha+1}}, & \text{когда } \frac{1}{n} \leq \gamma \leq \pi - \frac{1}{n}, \\ 0, & \text{когда } -\pi \leq \gamma < \frac{1}{n} \text{ или } \pi - \frac{1}{n} < \gamma \leq \pi, \end{cases}$$

$$g(\gamma + 2\pi) = g(\gamma).$$

Так как  $g \in L_p$  при  $\varphi_x \in L_p$ , по теореме Хаусдорфа—Юнга [3] находим

$$\begin{aligned} A &= \frac{c}{n+1} \sum_{m=0}^n \left| \int_{\frac{1}{n}}^{\pi - \frac{1}{n}} \varphi_x(\gamma) \Phi_{m,1}^{\lambda, \alpha}(\cos \gamma) d\gamma \right|^q \leqslant \\ &\leqslant cn^{(\lambda-\alpha)q-1} \left\{ \int_{\frac{1}{n}}^{\pi - \frac{1}{n}} \left| \frac{\varphi_x(\gamma)}{(\sin \gamma)^\lambda \gamma^{\alpha+1}} \right|^p d\gamma \right\}^{q/p}. \end{aligned}$$

Интегрируя по частям и учитывая, что  $\alpha > \lambda - \frac{1}{q}$ , получаем  $A = o(1)$  при  $n \rightarrow \infty$ .

Объединяя все оценки, находим, что если  $x$  является  $D_p^*$ -точкой, то в этой точке выполнено (2).

Грузинский политехнический институт  
им. В. И. Ленина

(Поступило 23.11.1979)

მათემატიკა

### 3. ხომოლივა

ვუჩი — ლაპლასის მფრივების ძლიერად შეჯამებადობის უცახებ  
 $L_p(S^h)$ ,  $p > 1$  კლასის ვუნდცივებისათვის

რეზიუმე

განხილულია ფურ'ი — ლაპლასის მურივების ძლიერად შეჯამებადობის საკითხი  $L_p(S^h)$ ,  $p > 1$  კლასის ფუნქციებისათვის.

MATHEMATICS

V. V. KHOCHOLAVA

### ON THE STRONG SUMMABILITY OF FOURIER-LAPLACE SERIES IN THE CLASS OF FUNCTIONS $L_p(S^h)$ , $P > 1$

#### Summary

The question of strong summability of Fourier-Laplace series is considered in the class of functions  $L_p(S^h)$ ,  $P > 1$ .

#### ლიტერატურა — ЛИТЕРАТУРА — REFERENCES

1. Г. Бейтмен, А. Эрдейи. Высшие трансцендентные функции. М., 1965.
2. E. Kogbetliantz. Journ. de Math., 9, № 3, 1924, 107-187.
3. Н. К. Барин. Тригонометрические ряды. М., 1961.



Э. А. НАДАРАЯ

**ЗАМЕЧАНИЯ О СХОДИМОСТИ ОЦЕНКИ ПЛОТНОСТИ  
ВЕРОЯТНОСТИ ТИПА «ЯДРА» ПО ВАРИАЦИИ**

(Представлено членом-корреспондентом Академии Б. В. Хеделидзе 13.12.1979)

Сбозначим  $P(\cdot)$  вероятностную меру на  $\sigma$ -алгебре  $\mathfrak{B}_p$  борелевских множеств из  $p$ -мерного евклидова пространства  $R_p$ , имеющую плотность  $f(x)$ ,  $x = (x_1, x_2, \dots, x_p)$ , по лебеговой мере. Пусть имеется выборка  $X_1, X_2, \dots, X_n$  из генеральной совокупности, распределенной с плотностью  $f(x)$ .

Рассмотрим непараметрическую оценку плотности  $\underline{f}(x)$  „ядерного“ типа:

$$\underline{f}_n(x) = a_n^{-p} \int_{R_p} W\left(\frac{x-u}{a_n}\right) dF_n(u),$$

где  $W(x)$  — некоторая  $p$ -мерная ограниченная плотность распределения,  $F_n(u)$  — эмпирическая функция распределения выборки, а  $\{a_n\}$  — последовательность положительных чисел, таких, что  $a_n \downarrow 0$  при  $n \rightarrow \infty$ .

Обозначим  $P_n(\cdot)$  вероятностную меру, соответствующую  $\underline{f}_n(x)$ .

За меру погрешности оценки  $P_n(\cdot)$  мы примем вариацию уклонения меры  $P_n(\cdot)$  от истинной вероятностной меры  $P(\cdot)$ :

$$\|P_n - P\| = \sup_{A \in \mathfrak{B}_p} |P_n(A) - P(A)| = \frac{1}{2} \int_{R_p} |\underline{f}_n(x) - f(x)| dx.$$

В [1] была доказана  $\|P_n - P\| \rightarrow 0$  при  $n \rightarrow \infty$  почти наверное (п. н.) при некотором предположении, на  $f(x)$ .

Оказывается, что это предположение является излишним. Ставится следующая важная задача (эта задача была поставлена Н. Н. Ченцовым): имеет ли место сходимость последовательности мер  $P_n(\cdot)$ ,  $n = 1, 2, \dots$  к мере  $P(\cdot)$  по вариации без всяких предположений относительно плотности  $f(x)$ ?

Справедлива следующая

**Теорема 1.** Пусть  $W(x)$  ограничена и ряд  $\sum_{n=1}^{\infty} n \exp\{-\gamma n a_n^{2p}\} < \infty$

при любом  $\gamma > 0$ . Тогда для всякой плотности  $\underline{f}(x)$

$$\|P_n - P\| \rightarrow 0 \quad \text{п. н.}$$

при  $n \rightarrow \infty$ .

Лемма 1. ([2]) Если  $\underline{W}(u)$  и  $a_n$  удовлетворяют условиям теоремы 1, то при  $n \rightarrow \infty$

$$\|\underline{f}_n - E\underline{f}_n\|_{L_2} \rightarrow 0 \quad \text{п. н.}$$

Обозначим

$$T_n \underline{f} = a_n^{-p} \int_{R_p} W\left(\frac{x-u}{a_n}\right) \underline{f}(u) du.$$

Лемма 2.  $\|T_n \underline{f} - \underline{f}\|_{L_1} \rightarrow 0$  при  $n \rightarrow \infty$ .

Доказательство. Так как множество непрерывных функций всюду плотно в  $L_1$ , то для  $\underline{f}(x)$  любого  $\varepsilon > 0$  существует такая непрерывная функция  $\underline{f}_0(x)$  в  $L_1$ , что

$$\|\underline{f} - \underline{f}_0\|_{L_1} < \varepsilon.$$

Поэтому

$$\|T_n \underline{f}_0 - T_n \underline{f}\|_{L_1} \leq \|W\|_{L_1} \|\underline{f}_0 - \underline{f}\|_{L_1} < \varepsilon.$$

Стало быть,

$$\|T_n \underline{f} - \underline{f}\|_{L_1} \leq \|T_n \underline{f}_0 - T_n \underline{f}\|_{L_1} + \|T_n \underline{f}_0 - \underline{f}\|_{L_1} \leq 2\varepsilon + \|T_n \underline{f}_0 - \underline{f}_0\|_{L_1}.$$

Поскольку  $\underline{f}_0(x)$  непрерывна, то  $T_n \underline{f}_0 \rightarrow \underline{f}_0(x)$  при  $n \rightarrow \infty$  [3]. Предположим, что  $\underline{f}_0(x) \geq 0$ . Общий случай следует из представления  $\underline{f}_0(x) = \underline{f}_0^+(x) + \underline{f}_0^-(x)$ , где  $\underline{f}_0^+(x)$  и  $\underline{f}_0^-(x)$  — положительная и отрицательная часть  $\underline{f}_0(x)$ , соответственно.

Легко заметить, что

$$\int_{R_p} T_n \underline{f}_0 dx = \int_{R_p} \underline{f}_0(x) dx.$$

Тогда в силу теоремы Scheffe ([4], стр. 120)  $\|T_n \underline{f}_0 - \underline{f}_0\|_{L_1} \rightarrow 0$  при  $n \rightarrow \infty$ . Лемма доказана.

Доказательство теоремы теперь следует из лемм 1, 2 и теоремы 1 из [1].

Теорема 2. Пусть  $p=1$  и  $W(x)$  — функция с ограниченной вариацией.

Если ряд  $\sum_{n=1}^{\infty} \exp\{-\gamma n a_n^2\} < \infty$  для любого  $\gamma > 0$ , то при  $n \rightarrow \infty$

$$\|P_n - P\| \rightarrow 0 \quad \text{п. н.}$$

Доказательство. Пусть  $\tau$  — какое-нибудь положительное число и  $I(\tau) = (-\infty, -\tau] \cup [\tau, \infty)$ . Имеем

$$\int_{-\infty}^{\infty} |f_n(x) - T_n f| dx = \int_{-\tau}^{\tau} |f_n(x) - T_n f| dx + \int_{I(\tau)} |f_n(x) - T_n f| dx \leq$$

$$\leq 4\tau \sup_x |f_n(x) - T_n f| + 2 \int_{I(\tau)} T_n f dx. \quad (1)$$

Первое слагаемое в правой части (1) сходится к нулю п. и. в силу теоремы 1 из [5]. Пусть  $\varepsilon > 0$  произвольно; выберем столь большие  $\tau$  и  $N$ , чтобы

$$\int_{I(\tau)} f(x) dx < \frac{\varepsilon}{2} \text{ и } \|T_n f - f\|_{L_1} < \frac{\varepsilon}{2} \text{ при } n > N.$$

Отсюда получим, что

$$\int_{I(\tau)} T_n f dn < \varepsilon \text{ при } n > N.$$

Стало быть,

$$\|f_n - T_n f\|_{L_1} \rightarrow 0 \text{ п. и.} \quad (2)$$

Наконец, из (2) и леммы 2 вытекает утверждение теоремы.

Тбилисский государственный университет

(Поступило 14.12.1978)

ეპთემბერი

0. ნადარაია

მთელი მუშაობის განაწილების სიმკვრივის გულოვანი შეფასებების  
გარიაციით პრეგადობის უმსახუებები

რეზიუმე

დამტკიცებულია თეორემა განვითარების სიმკვრივის გულოვანი შეფასებების ვარიაციით კრებადობის უმსახუები იმ შემთხვევაში, როდესაც თეორიულ სიმკვრივეს არავთარი პირობა არ ედება.

MATHEMATICS

E. A. NADARAIA

## SOME REMARKS ON THE CONVERGENCE IN VARIATION OF THE KERNEL TYPE DENSITY FUNCTION ESTIMATE

Summary

A theorem on the convergence in variation of the kernel type density function estimate is proved for the case when no assumptions are made on the theoretical density function.

## ლიტერატურა — ЛИТЕРАТУРА — REFERENCES

1. Э. А. Надарая. Сообщения АН ГССР, 82, № 2, 1976.
2. Э. А. Надарая. Теория вероят. и ее примен., XVIII, 4, 1973.
3. E. Parzen. Ann. Math. Statist., 33, № 3, 1962.
4. C. R. Rao. Линейные статистические методы и их применение. М., 1968.
5. Э. А. Надарая. Теория вероят. и ее примен., 10, 1, 1965.

## КИБЕРНЕТИКА

И. Ф. КУСОВ, М. В. БУЛГАКОВ, Н. И. САМОЙЛОВА

### СТАБИЛИЗАЦИЯ ДИНАМИЧЕСКИХ ОБЪЕКТОВ С РАСПРЕДЕЛЕННЫМИ ПАРАМЕТРАМИ В УСЛОВИЯХ НЕПОЛНОЙ ИНФОРМАЦИИ

(Представлено академиком В. В. Чавчанидзе 23.5.1979)

Задача стабилизации для конечномерных динамических систем рассматривалась в [1, 2], вопросы аналитического конструирования регуляторов для объектов с распределенными параметрами — в [3].

В настоящем сообщении рассматривается задача построения динамического регулятора для системы с распределенными параметрами при неполной информации о характеристиках случайных возмущений и ошибок измерений.

Состояние объекта управления  $x(t, r)$  в области  $t \geq 0$  и  $r \in \Omega \subset R^n$  удовлетворяет дифференциальному уравнению

$$\frac{dx(t, r)}{dt} = A_r x(t, r) + B(r) u(t) + w(t, r); \quad x(0, r) = x_0(r); \quad r \in \Omega \quad (1)$$

и граничным условиям

$$\begin{cases} x(t, r) = G_1(r) \mu(t) & \text{при } r \in \Gamma_1; \quad \Gamma_1 \cup \Gamma_2 = \partial\Omega; \\ \frac{\partial x(t, r)}{\partial \gamma_A} + \beta(r) x(t, r) = G_2(r) \mu(t) & \text{при } r \in \Gamma_2. \end{cases} \quad (2)$$

В (1) и (2) использованы следующие обозначения:  $A_r(\cdot) = \sum_{i,j=1}^n a_{ij}(r) \frac{\partial^2(\cdot)}{\partial r_i \partial r_j} + \sum_{i=1}^n a_i(r) \frac{\partial(\cdot)}{\partial r_i} + a_0(r)(\cdot)$  — линейный дифференциальный оператор второго порядка;  $u(t) = [u_1(t), \dots, u_m(t)]^T$  — вектор управляемых воздействий в  $\Omega$ ;  $\mu(t) = [\mu_1(t), \dots, \mu_e(t)]^T$  — вектор управляемых воздействий на  $\partial\Omega$ ;  $B(r)$ ,  $G_1(r)$ ,  $G_2(r)$  — матрицы функций влияния;  $\frac{\partial(\cdot)}{\partial \gamma_A} \stackrel{\Delta}{=} \sum_{i,j=1}^n a_{ij}(r) \frac{\partial(\cdot)}{\partial r_j} \cos(\vec{n}, \vec{r}_i)$  — производная по касательной;  $w(t, r)$  — возмущающее воздействие.

Предполагается, что  $w(t, r)$  — стационарный случайный процесс с независимыми приращениями, о котором известно, что

$$E[\Delta w(t, r)] = 0; \quad E[\langle \Delta w(t, r), \Delta w(t, r) \rangle_\Omega] = C_1. \quad (3)$$

Здесь  $\langle (\cdot), (\cdot) \rangle_\Omega \stackrel{\Delta}{=} \int\limits_{\Omega} (\cdot)^T (\cdot) d\Omega$  — скалярное произведение в  $L^2(\Omega)$ .

Состояние объекта управления контролируется с помощью  $N$  датчиков

$$z_k(t) = \int_{\Omega} h_k(r) x(t, r) dr + \xi_k(t); \quad k=1, N, \quad (4)$$

где  $\xi_k(t)$  — ошибка измерения.

Предполагается, что  $\xi_k(t), k=1, N$  — случайные процессы с независимыми приращениями, о которых известно, что

$$E\{\Delta\xi_k(t)\}=0; \quad E\{\Delta\xi_k(t) \Delta\xi_l(t)\}=\sigma_k^2 \delta_{kl}. \quad (5)$$

Задача стабилизации заключается в синтезе алгоритма управления с обратной связью, обеспечивающего близость текущего состояния к желаемому — началу координат. За меру отклонения принимается квадратичная форма, которая является также функцией Ляпунова

$$V_1(t) = E\{\langle x(t, r), Sx(t, r) \rangle_2\}, \quad (6)$$

где:  $S(\cdot) = \int_{\Omega} S(r_1 s)(\cdot) ds$  — линейный положительно определенный интегральный оператор.

Управляющие воздействия определяются из условия минимума локального критерия качества [1]

$$I(t) = \frac{d}{dt} V_1(t) + \varepsilon_1 \|u(t)\|^2 + \varepsilon_2 \|\mu(t)\|^2; \quad \varepsilon_1 > 0; \quad \varepsilon_2 > 0. \quad (7)$$

Используя методику вычисления осредненной производной функционала, определенного на случайном процессе, [3, 5] и формулу Грина [4] получаем

$$u(t) = -\frac{1}{\varepsilon_1} \int_{\Omega} B^T(r) S \widehat{x}(t, r) dr; \quad (8)$$

$$\mu_1(t) = \frac{1}{\varepsilon_2} \int_{\Gamma_1} G_1^T(r) \frac{\partial}{\partial \nu_A} S \widehat{x}(t, r) dr, \quad (9)$$

$$\mu_2(t) = -\frac{1}{\varepsilon_2} \int_{\Gamma_2} G_2^T(r) S \widehat{x}(t, r) dr. \quad (10)$$

Оценка состояния определяется с помощью асимптотической системы оценивания — эстиматора [2]. Функция  $\widehat{x}(t, r)$  удовлетворяет уравнению

$$\frac{\partial \widehat{x}(t, r)}{\partial t} = A_r \widehat{x}(t, r) + B(r) u(t) + P H^* R^{-1} (z(t) - H \widehat{x}(t)); \quad r \in \Omega \quad (11)$$

с граничными условиями

$$\begin{cases} \widehat{x}(t, r) = G_1(r) \mu_1(t) & \text{при } r \in \Gamma_1; \\ \frac{\partial \widehat{x}(t, r)}{\partial \nu_A} + \beta(r) \widehat{x}(t, r) = G_2(r) \mu_2(t) & \text{при } r \in \Gamma_2. \end{cases} \quad (12)$$

Оператор  $P$  определяется из условия асимптотической устойчивости эстиматора по мере

$$V_r(t) = E\{\langle e(t, r), P^{-1} e(t, r) \rangle_2\}, \quad (13)$$

где  $e(t, r)$  — ошибка оценки.

Функция  $P(r, s)$  определяется из соотношения

$$\int_{\Omega} P(r, s) M(s, \eta) ds = \delta(r - \eta), \quad (14)$$

где  $\delta(\cdot)$  — дельта функция, а  $M(r, s)$  удовлетворяет уравнению

$$A_r^* M(r, s) + A_s^* M(r, s) - 2 \sum_{k=1}^N h_k^T(s) \sigma_k^{-2} h_k(r) + \beta \cdot \delta(r - s) = 0, \quad (15)$$

граничными условиями

$$\begin{cases} M(r, s) = 0 \text{ при } r \in \Gamma_1, s \in \Omega; M(r, s) = M(s, r); \\ \frac{\partial M(r, s)}{\partial v_A} + (\beta(r) - q(r)) M(r, s) = 0 \text{ при } r \in \Gamma_2, s \in \Omega; \end{cases} \quad (16)$$

где

$$q(r) = \sum_{i=1}^n \left[ a_i(r) - \sum_{j=1}^n \frac{\partial a_{ij}(r)}{\partial r_j} \cos(\vec{n}, \vec{r}_i) \right].$$

Пусть

$$\sum_{k=1}^N \sigma_k^2 \langle h_k(r), h_k(r) \rangle_{\Omega} = C_2.$$

Если выполняются условия наблюдаемости [6], то существуют  $m_1$  и  $m_2$ , такие, что

$$0 < m_1 \langle e, e \rangle_{\Omega} \leq \langle e, M e \rangle_{\Omega} \leq m_2 \langle e, e \rangle_{\Omega}; e \in L^2(\Omega), e \neq 0.$$

Используя оценки квадратичных форм [2], получаем асимптотическую оценку

$$\lim_{t \rightarrow \infty} E \{ \langle e(t, r), e(t, r) \rangle_{\Omega} \} \leq \frac{1}{\beta} \frac{m_2}{m_1} \left( \frac{C_2}{m_1} + C_1 \cdot m_2 \right) = D_e. \quad (17)$$

В (8), (9), (10) остался неопределенным оператор  $S(\cdot)$ . Определим его из условия асимптотической устойчивости замкнутой системы по мере (6). Функция  $S(r, s)$  удовлетворяет уравнению

$$A_r^* S(r, s) + A_s^* S(r, s) - \int_{\Omega} [S(r, \eta) B(\eta)] d\eta \cdot \int_{\Omega} [S(s, \eta) B(\eta)]^T d\eta + \alpha \cdot \delta(r - s) = 0, \quad (18)$$

(где  $\alpha$  — положительный параметр) и граничным условиям

$$\begin{cases} S(r, s) = 0 \text{ при } r \in \Gamma_1, s \in \Omega; S(r, s) = S(s, r); \\ \frac{\partial S(r, s)}{\partial v_A} + (\beta(r) - q(r)) S(r, s) = 0 \text{ при } r \in \Gamma, s \in \Omega. \end{cases} \quad (19)$$

Если выполняются условия управляемости [6], то существуют  $s_1$  и  $s_2$ , такие, что

$$0 < s_1 \langle x, x \rangle_{\Omega} \leq \langle x, Sx \rangle_{\Omega} \leq s_2 \langle x, x \rangle_{\Omega}; x \in L^2(\Omega), x \neq 0.$$

Пусть

$$\begin{cases} \langle e, SBB^* Se \rangle_{\Omega} \leq \lambda_0 \langle e, e \rangle_{\Omega}; \\ \langle G_1 \frac{\partial S'}{\partial v_A} e, G_1 \frac{\partial S'}{\partial v_A} e \rangle_{\Omega} \leq \lambda_1 \langle e, e \rangle_{\Omega}; \\ \langle G_2 S' e, G_2 S e \rangle_{\Omega} \leq \lambda_2 \langle e, e \rangle_{\Omega}. \end{cases} \quad (20)$$

Тогда справедлива асимптотическая оценка

$$\lim_{t \rightarrow \infty} E[\{x(t, r), \dot{x}(t, r)\}_\Omega] \leq \frac{1}{\alpha} \frac{s_2}{s_1} ((\lambda_0 + \lambda_1 + \lambda_2) \cdot D_e + s_2 \cdot C_1) = D_r. \quad (21)$$

Выражения (17) и (21) представляют оценки суммарной дисперсии ошибки эстиматора и дисперсии состояния объекта управления в установившемся режиме.

Московский институт электронного машиностроения

(Поступило 31.5.1979)

Код 04660602

О. Кузов, А. Булгаков, Н. Самойлова

ЗАЩИЩЕНЫ  
ВЫДАНЫ  
В РЕГИОНАЛЬНОМ  
УЧРЕЖДЕНИИ  
СОВЕТА  
МОСКОВСКОГО  
ОБЛАСТИ  
ПО ОБРАЗОВАНИЮ  
И НАУКЕ  
СОВЕТ  
МОСКОВСКОГО  
ОБЛАСТИ

РУЧНОЙ

Задачи построения динамических регуляторов с амплуа на основе метода градиентного спуска с учетом неизвестных параметров и возмущений. Доказано, что для оптимального по критерию минимизации полной квадратичной ошибки регулятора решения задачи сводится к решению системы линейных уравнений.

Методы оптимизации, используемые в работе, позволяют не только минимизировать полную квадратичную ошибку регулятора, но и учитывать неизвестные параметры и возмущения. Доказано, что для оптимального по критерию минимизации полной квадратичной ошибки регулятора решения задачи сводится к решению системы линейных уравнений.

CYBERNETICS

I. F. KUSOV, M. V. BULGAKOV, N. I. SAMOILOVA

## STABILIZATION OF DYNAMIC SYSTEMS WITH DISTRIBUTED PARAMETERS UNDER INCOMPLETE INFORMATION CONDITIONS

*Summary*

The paper considers the problem of constructing a dynamic regulator under stabilization of a system with distributed parameters in the presence of random disturbances and measurement errors.

Estimates are adduced for the maximum variance of state in stationary regime, permitting optimization of dynamic regulator parameters.

### ЛИТЕРАТУРА — REFERENCES

1. И. Е. Казаков. Статистическая теория систем управления в пространстве состояний. М., 1975.
2. В. Д. Фурасов. Устойчивость движения, оценки и стабилизация. М., 1977.
3. Т. К. Сиразетдинов. Оптимизация систем с распределенными параметрами. М., 1977.
4. В. И. Смирнов. Курс высшей математики, т. IV. М., 1957.
5. S. Omatsu, H. Shibata, S. Hata. Inf. and Contr. t. 24, № 3, стр. 264-278. 1974.
6. А. Балакришнан. Введение в теорию оптимизации в гильбертовом пространстве. М., 1974.



Т. В. МАНДЖАПАРАШВИЛИ

## ОБ ОПРЕДЕЛЕНИИ ВЕРОЯТНОСТИ РАЗМЫТЫХ СОБЫТИЙ

(Представлено академиком В. В. Чавчанидзе 24.10.1979)

Заде [1] ввел понятие размытого случайного события и его вероятности по аналогии с соответствующими классическими понятиями. Мы предполагаем дать определение этого понятия на более формальной и строгой основе и получить выражение для вероятности размытого события как следствие известных результатов теории меры.

Пусть дано произвольное конечное универсальное множество  $X = \{x_1, \dots, x_n\}$  и пусть  $\tilde{A}$  — любое размытое подмножество  $X$ , которое представляется в виде [2]

$$\tilde{A} = \mu_1 | x_1 \sqcup \mu_2 | x_2 \sqcup \dots \sqcup \mu_n | x_n = \bigcup_{i=1}^n \mu_i \tilde{A}(x_i) | x_i^{(1)}.$$

Рассмотрим все неразмытые подмножества множества  $X$ :

$$X, X - \{x_1\}, X - \{x_2\}, \dots, X - \{x_n\}, \\ X - \{x_1, x_2\}, \dots, X - \{x_{n-1}, x_n\}, \dots, \{x_1\}, \dots, \{x_n\}, \emptyset.$$

Справедлива следующая

Теорема. Функция принадлежности произвольного размытого множества  $\tilde{A}$  выражается с помощью классических характеристических функций всех неразмытых подмножеств универсального множества  $X$  в виде

$$\mu_{\tilde{A}}(x_i) = \mu_1 \mu_2 \dots \mu_n I_X(x_i) + \mu_2 \mu_3 \dots \mu_n (1-\mu_1) I_{X-\{x_1\}}(x_i) + \dots + \mu_1 \mu_2 \dots \mu_{n-1} \times \\ \times (1-\mu_n) I_{X-\{x_n\}}(x_i) + \mu_3 \mu_4 \dots \mu_n (1-\mu_1)(1-\mu_2) I_{X-\{x_1, x_2\}}(x_i) + \dots + \\ + \mu_1 \mu_2 \dots \mu_{n-2} (1-\mu_{n-1})(1-\mu_n) I_{X-\{x_{n-1}, x_n\}}(x_i) + \dots + \mu_1 (1-\mu_2) \dots (1-\mu_n) \times \\ \times I_{\{x_1\}}(x_i) + \dots + \mu_n (1-\mu_1)(1-\mu_2) \dots (1-\mu_{n-1}) I_{\{x_n\}}(x_i) + \\ + (1-\mu_1)(1-\mu_2) \dots (1-\mu_n) I_{\emptyset}(x_i), \quad i = 1, \dots, n. \quad (1)$$

Доказательство (для любого конечного  $X$ ) легко можно получить по индукции. Коэффициенты перед характеристическими функциями являются весовыми, т. е. в сумме дают 1.

Пусть дано обычное поле вероятностей  $(X, \mathfrak{F}_X, P)$ . Размытое событие  $\tilde{A}$  определяется как размытое подмножество  $\tilde{A}$  множества неразмытых элементарных событий  $X$ .

Все элементы  $\mathfrak{F}_X$  вместе с соответствующими размытыми подмножествами образуют класс множеств, обозначаемый через  $\mathfrak{A}$ .

(1) Ниже мы придерживаемся обозначений работы [2], где  $\sqcup$ ,  $\Pi$ ,  $\sqcap$  обозначают размытые теоретико-множественные операции объединения, пересечения и дополнения соответственно.

Из (1) следует, что  $\mu_{\tilde{A}}(x_i)$  для любого  $\tilde{A}$  является измеримой функцией на  $X$  по отношению к мере  $P$ . Поэтому существует интеграл функции  $\mu_{\tilde{A}}$  по  $P$ . Обозначим его через  $\mathfrak{P}(\tilde{A})$ :

$$\begin{aligned}\mathfrak{P}(\tilde{A}) &= \int_X \mu_{\tilde{A}}(x) dP = E(\mu_{\tilde{A}}) = \mu_1 \mu_2 \cdots \mu_n + \mu_2 \mu_3 \cdots \mu_n (1-\mu_1) P(X - \{x_1\}) + \\ &+ \cdots + \mu_1 \mu_2 \cdots \mu_{n-1} (1-\mu_n) P(X - \{x_n\}) + \mu_3 \mu_4 \cdots \mu_n (1-\mu_1)(1-\mu_2) P(X - \{x_1, x_2\}) + \\ &+ \cdots + \mu_1 \mu_2 \cdots \mu_{n-2} (1-\mu_{n-1})(1-\mu_n) P(X - \{x_{n-1}, x_n\}) + \cdots + \\ &+ \mu_1 (1-\mu_2) \cdots (1-\mu_n) P(\{x_1\}) + \cdots + \mu_n (1-\mu_1) \cdots (1-\mu_{n-1}) P(\{x_n\}).\end{aligned}\quad (2)$$

Можно легко проверить, что  $\mathfrak{P}(\tilde{A})$  удовлетворяет всем свойствам меры на  $\mathfrak{A}$ . Поэтому  $\mathfrak{P}(\tilde{A})$  назовем вероятностью размытого события  $\tilde{A}$ .

Рассмотрим вероятностное пространство  $(X, \mathfrak{F}_X, P)$ , где  $X$  может быть произвольным множеством. Пусть на  $T = [0, 1]$  задана борелевская  $\sigma$ -алгебра  $B_0$  и линейная мера Лебега  $\lambda$ , т. е. дано вероятностное пространство  $(T, B_0, \lambda)$ .

Рассмотрим  $X \times T$ . Из данного нами ранее [2, 3] определения размытого множества как объединения (1) одноточечных размытых множеств, которые представляют пару  $x \in X$ , и соответствующего подсегмента из  $[0, 1]$  с левой границей в точке 0, ясно, что размытое множество есть обычное подмножество  $X \times T$  вида

$$A = \{(x, y) \in X \times T \mid x \in A \subset X, 0 \leq y \leq \mu_{\tilde{A}}(x)\}, \quad (3)$$

где  $A$  — носитель размытого множества  $\tilde{A}$  [2].

Геометрически размытое подмножество  $X$  выражается соответствующей криволинейной трапецией, а обычное подмножество  $X$  — соответствующим прямоугольником. Из этой геометрической интерпретации видно, что выполнение операций  $\sqcup$  и  $\sqcap$  над размытыми множествами соответствует выполнению обычных операций  $\cup$  и  $\cap$  на  $X \times T$ , а дополнение размытого множества получается отображением симметрии обычного его дополнения в  $X \times T$  относительно прямой  $y = \frac{1}{2}$ .

Рассмотрим вероятностное пространство  $(X \times T, \mathfrak{F}_X \otimes B_0, P \otimes \lambda)$ . Размытым событием  $\tilde{A}$  называется размытое подмножество  $\tilde{A} \sqsubseteq X$  с измеримой функцией принадлежности  $\mu_{\tilde{A}}$ , иначе размытым событием  $\tilde{A}$  называется измеримое подмножество типа (3)  $X \times T$ ,  $\tilde{A} \in \mathfrak{F}_X \otimes B_0$ .  $\mu_{\tilde{A}}(x)$  — ограниченная, неотрицательная и измеримая функция на  $X$ , т. е. интегрируемая на  $X$  по  $P$ . Обозначим  $\tilde{A}_x = \{y \mid (x, y) \in \tilde{A}\}$  сечение  $\tilde{A}$  в точке  $x \in X$ . В нашем случае  $\tilde{A}_x = [0, \mu_{\tilde{A}}(x)]$  и

$$\lambda(\tilde{A}_x) = \begin{cases} \mu_{\tilde{A}}(x), & \text{при } x \in A, \\ 0, & \text{при } x \notin A. \end{cases}$$

Согласно теореме о произведении мер [3, 4] интеграл функции  $\mu_{\tilde{A}}(x)$

$$\mathfrak{P}(\tilde{A}) = \int_X \mu_{\tilde{A}}(x) dP = \int_{\tilde{A}} d(P \otimes \lambda) \quad (4)$$

равен мере  $\mathfrak{P} = P \times \lambda$  множества  $\tilde{A}$ .

Класс всех подмножеств  $X \times T$  типа (3) обозначим через  $\mathfrak{A}$ . Легко можно показать, что

$$\mathfrak{S} \subset \mathfrak{A} \subset \mathfrak{F}_X \otimes B_0,$$

где  $\mathfrak{S}$ — $\sigma$ -алгебра прямоугольников в  $X \times T$ , соответствующая  $\mathfrak{F}_X$ . Легко также видеть, что  $\mathfrak{F}_X \otimes B_0$ —минимальная  $\sigma$ -алгебра, содержащая класс множеств  $\mathfrak{A}$ .

Класс  $\mathfrak{A}$  порожден прямоугольниками вида

$$A \times \mu = \{(x, y) \in X \times T \mid x \in A \subset X, 0 \leq y \leq \mu\},$$

$A$ -стороны которых соответствуют  $\mu$ -уровневым множествам [2].

Отметим, что  $\mathfrak{P}(\overline{\cup \mathcal{A}}) = 1 - \mathfrak{P}(\mathcal{A})$  и  $P \otimes \lambda(\overline{\mathcal{A}^c}) = P \otimes \lambda(\overline{\cup \mathcal{A}}) = \mathfrak{P}(\overline{\cup \mathcal{A}})$ . Кроме того,  $\mathfrak{P}(\overline{\cup \mathcal{A} \sqcup \mathcal{B}}) \neq 1$ , что соответствует отказу от принципа «исключенного третьего» для размытой логики.

Мера  $\mathfrak{P}$  есть продолжение  $P$  на  $\mathfrak{A}$ , так как они совпадают на  $\mathfrak{S}$ , т. е. на неразмытых подмножествах  $X$ .

Многие понятия для размытых событий можно получить сужением на  $\mathfrak{A}$  соответствующих понятий, связанных с вероятностным пространством  $(X \times T, \mathfrak{F}_X \otimes B_0, P \otimes \lambda)$ .

Пусть даны вероятностные пространства  $(X, \mathfrak{F}_X, P_X)$  и  $(Y, \mathfrak{F}_Y, P_Y)$  и размытые подмножества  $\widetilde{A} \sqsubseteq X$  и  $\widetilde{B} \sqsubseteq Y$ . По определению декартова произведения размытых множеств [2] имеем

$$\widetilde{A} \times \widetilde{B} = \bigsqcup_{x \in X, y \in Y} \min(\mu_{\widetilde{A}}(x), \mu_{\widetilde{B}}(y)) | (x, y) \sqsubseteq X \times Y. \quad (5)$$

Оно является обычным подмножеством  $X \times Y \times T$ .

Рассмотрим вероятностное пространство  $(X \times Y \times T, \mathfrak{F}_X \otimes \mathfrak{F}_Y \otimes B_0, P_X \otimes P_Y \otimes \lambda)$ . Используя соотношение

$$\min(\mu_{\widetilde{A}}(x), \mu_{\widetilde{B}}(y)) = \frac{\mu_{\widetilde{A}}(x) + \mu_{\widetilde{B}}(y) - |\mu_{\widetilde{A}}(x) - \mu_{\widetilde{B}}(y)|}{2},$$

для вероятности  $\widetilde{A} \times \widetilde{B}$  получаем

$$\begin{aligned} \mathfrak{P}(\widetilde{A} \times \widetilde{B}) &= \int_{\widetilde{A} \times \widetilde{B}} d(P_X \otimes P_Y \otimes \lambda) = \int_{X \times Y} \mu_{\widetilde{A} \times \widetilde{B}} d(P_X \otimes P_Y) = \\ &= \int_{X \times Y} \min(\mu_{\widetilde{A}}(x), \mu_{\widetilde{B}}(y)) d(P_X \otimes P_Y) = \frac{\mathfrak{P}_X(\widetilde{A}) + \mathfrak{P}_Y(\widetilde{B}) - \mathfrak{P}(\widetilde{A} \Delta \widetilde{B})}{2}, \end{aligned} \quad (6)$$

где  $\widetilde{A} \Delta \widetilde{B}$ —симметрическая разность  $\widetilde{A}$  и  $\widetilde{B}$  в  $X \times Y \times T$ .

Отметим, что  $\mathfrak{P} \neq \mathfrak{P}_X \otimes \mathfrak{P}_Y$ .

В частности,

$$\mathfrak{P}(\widetilde{A} \times Y) = \mathfrak{P}_X(\widetilde{A}) \text{ и } \mathfrak{P}(X \times \widetilde{B}) = \mathfrak{P}_Y(\widetilde{B}).$$

Определим условные вероятности:

$$\begin{aligned} \mathfrak{P}_{\tilde{B}}(\tilde{A}) &= \mathfrak{P}_{(X \times \tilde{B})}(\tilde{A} \times Y) = \frac{\mathfrak{P}((\tilde{A} \times Y) \cap (X \times \tilde{B}))}{\mathfrak{P}(X \times \tilde{B})} = \\ &= \frac{\mathfrak{P}(\tilde{A} \times \tilde{B})}{\mathfrak{P}(X \times \tilde{B})} = \frac{\mathfrak{P}_X(\tilde{A}) + \mathfrak{P}_Y(\tilde{B}) - \mathfrak{P}(\tilde{A} \Delta \tilde{B})}{2\mathfrak{P}_Y(\tilde{B})}. \end{aligned} \quad (7)$$

Из вышесказанного следует, что

$$\mathfrak{P}_{\tilde{B}}(\tilde{A}) \cdot \mathfrak{P}(\tilde{B}) = \mathfrak{P}(\tilde{A} \times \tilde{B}) = \mathfrak{P}_{\tilde{A}}(\tilde{B}) \cdot \mathfrak{P}(\tilde{A}).$$

В частном случае, когда  $\tilde{B} \sqsubseteq X$ , имеем

$$\mathfrak{P}_{X \tilde{B}}(\tilde{A}) = \frac{\mathfrak{P}_X(\tilde{A} \cap \tilde{B})}{\mathfrak{P}_X(\tilde{B})} = \frac{\mathfrak{P}_X(\tilde{A}) + \mathfrak{P}_X(\tilde{B}) - \mathfrak{P}_X(\tilde{A} \Delta \tilde{B})}{2\mathfrak{P}_X(\tilde{B})}.$$

Определения размытого события и его вероятности могут служить основой для обобщения основных понятий и результатов теории вероятностей, математической статистики и теории информации, что, в свою очередь, может существенно расширить область их применения.

Тбилисский государственный университет

(Поступило 1.11.1979)

კიბერნეტიკა

თ. მანჯაპარაშვილი

არამკაფიო ხდომილებათა აღგათობის განსაზღვრის შესახებ

რეზიუმე

ზადეს მიერ შემოლებული არამკაფიო შემთხვევით ხდომილებათა აღგათობა განიხილება უფრო ფორმალურ და მკაცრ საფუძველზე. მიღებულია მისი გამოსახულება როგორც შედევი ზომის თეორიის ცნობილი თეორემებისა.

CYBERNETICS

T. V. MANJAPARASHVILI

## ON THE DEFINITION OF PROBABILITY OF FUZZY EVENTS

Summary

The probability of fuzzy events, introduced by Zadeh, is considered on a more formal and rigorous basis. The obtained corresponding expression results from the well-known theorems of the measure theory.

## ლიტერატურა — REFERENCES

1. L. A. Zadeh. Jour. Math. Anal. Appl., 23, 1968.
2. Т. В. Манджапарашвили. Труды ТГУ, сер. «Прикладная математика и кибернетика», 1979.
3. М. Лоев. Теория вероятностей. М., 1962.
4. А. Н. Колмогоров, С. В. Фомин. Элементы теории функций и функционального анализа. М., 1972.



КИБЕРНЕТИКА

Д. А. ТОДУА, А. Н. ВЕПХВАДЗЕ, О. В. ГОГОЛАДЗЕ

К ВОПРОСУ СОЗДАНИЯ ЭВМ НОВОГО ТИПА — ЭВМ  
НА ОДНОРОДНЫХ ПЕРЕСТРАИВАЕМЫХ СТРУКТУРАХ

(Представлено членом-корреспондентом Академии В. К. Чичинадзе 5.12.1979)

Как известно, подавляющее большинство ЭВМ в мире построено по так называемой классической архитектуре (структуре), развитие которой уже входит в зону насыщения.

Появление однородных структур дает возможность отходить от классических методов построения ЭВМ и тем самым расширить пределы возможностей в части эффективности использования ЭВМ [1].

В предлагаемой статье рассматривается применение перестраиваемых однородных структур в арифметико-логическом устройстве — АЛУ в ЭВМ.

В обычных машинах, как правило, АЛУ фактически представляет собой суммирующее устройство, которое осуществляет выполнение арифметических операций над двумя operandами по жесткой схеме или по микропрограмме. Такие устройства рассчитаны на определенную систему команд, или же, в лучшем случае, с применением микропрограммного управления новые команды могут быть осуществлены с помощью гибкого применения основного набора микрокоманд. В отличие от этого, АЛУ, построенное на однородных перестраиваемых структурах, может реализовывать новые макрокоманды, представляющие собой даже целые формулы, без каких-либо схемных переделок. Это достигается одной только определенной настройкой и выполняется с такой же эффективностью, как обычное сложение.

Эта динамическая реконфигурируемость, с одной стороны, дает возможность эффективно решать макрокоманды (что в «классических» машинах реализовано целыми подпрограммами) с такой же эффективностью, как простые команды, что особенно важно, когда осуществляются векторные операции над массивами, а с другой стороны, позволяет пользователю добавлять новые команды. Пользователь раскрепощен от привязанности к базовым командам (от ограниченности набора команд) и в зависимости от его конкретных задач может вводить другие команды, что в итоге дает самое эффективное решение задач и повышает реальную производительность ЭВМ.

АЛУ на однородных перестраиваемых структурах может представлять собой многомерную матрицу, в узлах которой расположены ячейки однородных перестраиваемых структур. Каждая ячейка программно может быть настроена на разные функции. До начала выполнения команд ячейки однородной структуры настраиваются соответственно, чем создают решающее поле для выполнения определенной макрокоманды. Такое поле уже готово для выполнения векторных операций над двумя массивами данных.

Если смотреть с уровня выполнения операции в АЛУ, то такое поле приближается к устройству конвейерной обработки — много потоков команд (в нашем случае микроопераций) и один поток данных.

На рис. 1 дана структурная схема впервые выпускаемой в серийное производство машины, реализуемой на данном принципе — ЭВМ ПС-300 [2], в которую входят узлы: арифметико-логическое устройство

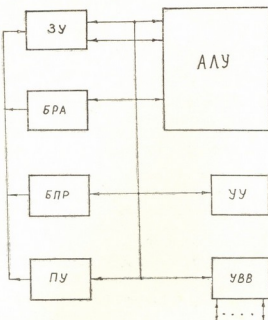


Рис. 1

АЛУ, запоминающее устройство ЗУ, блок регистров адреса БРА, устройство управления УУ, блок прерывания Бпр, устройство ввода—вывода УВВ, пульт управления ПУ.

ЭВМ ПС-300 имеет следующие характеристики:

размер АЛУ	— 384 ячеек однородной структуры;
форма представления чисел	— 16-разрядная двоичная с фиксированной и с плавающей запятой;
эквивалентная производительность	— 50 000 опер/сек;
система команд	— 0, 1, 2 адресная;
объем ЗУ	— 10к слов;
защита памяти	— имеется в определенной части ЗУ;
число непосредственно подключаемых внешних устройств	— 12;
мощность, потребляемая от сети напряжением не более 220В.	— 0,2 кВт;
габариты в приборном исполнении	— 266×483×545 мм;
установочные размеры в стойку (по рекомендации МЭК)	— 266×447×485 мм;
время наработки на отказ	— 6800 ч.

Математическое обеспечение (МО) ЭВМ, построенной на однородных перестраиваемых структурах, с одной стороны, является обычным для пользователя, если он пользуется только базовым набором команд, но с другой стороны, если ЭВМ рассматривать с точки зрения динамической реконфигурации тех или иных ее частей, существенно отличается от классического. С этим отличием пользователь сталкива-



ется только при желании превращения своих формул из алгоритма в конкретные команды (проблемно-ориентированные операторы) машины, такие, как арифметические операции над числами с плавающей запятой и удвоенной длины, извлечение корня, вычисление полинома по схеме Горнера, вычисление тригонометрических функций и др., что в классических мини-ЭВМ реализовано с помощью подпрограмм.

В последнее время с появлением микро-ЭВМ наметилась тенденция разработки вынесенного (кросс) МО, что дает возможность транслировать и отлаживать пользовательские программы на ЭВМ более высокого уровня. Такой подход оказался особенно эффективным для микро-ЭВМ, построенных на однородных перестраиваемых структурах, так как при разработке новых проблемно-ориентированных операторов необходимо иметь модель решающего поля. Это новый шаг как в сторону расширения возможностей перестраиваемого решающего поля, так и эффективного применения в целом микро-ЭВМ. Данная тенденция легла в основу создания МО микро-ЭВМ ПС-300 [3].

МО микро-ЭВМ ПС-300 содержит:

1) систему проектирования команд, состоящую из:

1) систему проектирования комплексов, методики разработки новых проблемно-ориентированных операторов;

программной модели решающего поля ЭВМ ПС-300;

2) систему программирования, состоящую из:

мнемокода (язык типа Асс

транслятора с мнемокода;

имитатора выполнения программ ЭВМ ПС-300;

библиотеки проблемно-ориентированных операторов;

3) управляющую

диспетчера зада

программ управления (драйверов) внешних устройств, входящих в

овую конфигурацию ЭВМ ПС-300;

4) тестовую систему, состоящую из: комплекта тестов для наладки и профилактического контроля ОВМ-ЕС-200.

Приборы автоматического контроля в режиме эксплуатации

Система проектирования команд и система программирования образуют кросс-обеспечение ЭВМ ПС-300. Основная часть этих программ написана на языке ФОРТРАН-IV и реализована в двух версиях: для ДОС ЕС и ДОС АСВТ.

Тбилисский научно-исследовательский институт

научно-исследовательские приборостроения и средства

встроений и сп  
автоматизации.

(Поступило 7.12.1979)

40306500041

Digitized by srujanika@gmail.com

ახალი ტიპის ებების შემთხვევას საკითხის უსასებები — ებების მრთვისაროვანი გადაწყვეტილების სტრუქტურისაზე.

၁၂၈၀၇၃

განსილულია ელექტრონულ-გამომთვლელი მანქანების (მზმ) შინაგანი არქიტექტურის აგებისადმი ახლებური მიღობა, კერძოდ ერთგვაროვანი სტრუქტურებისა და მათ ბაზაზე შექმნილი ერთგვაროვანი გადაწყობადი ველების გამოყენება არითმეტული ლოგიკური მოწყობილობის სახით მჩბ-ში.

აღნიშნულმა გამოყვლევებმა გამოყენება პლატფორმაზე მდგრადი რეგულარული განლენი მომენტების მიზნებისათვის მოქნილად შეაგუებისა.

## CYBERNETICS

D. A. TODUA, A. N. VEPKHVADZE, O. V. GOCOLADZE

### TOWARDS THE CONSTRUCTION OF A NEW TYPE OF COMPUTER BASED ON HOMOGENEOUS REARRANGABLE STRUCTURES

#### Summary

A new approach to the internal architecture construction of computers, particularly the application of homogeneous structures and on their basis the use of homogeneous rearrangable media in the form of a computer arithmetic-logical device, is considered.

The findings of the study have found application in the ПС-300 computer, which has some advantages from the point of view of adaptability to users' problems.

#### ლიტერატურა — REFERENCES

1. И. В. Прангисвили и др. Малая, управляющая цифровая вычислительная машина. Бюлл. № 30 (15.08.76), авт. свид. № 525099.
2. И. В. Прангисвили, Д. А. Тодуа, Н. А. Абрамова, А. Н. Вепхвадзе, О. В. Гоголадзе, М. А. Ускач, В. В. Соколов. Приборы и системы управления, № 10, 1978.
3. Л. Г. Гиоргобиани, О. В. Гоголадзе, Д. Н. Гвишiani, Г. З. Затиашвили. Микро-ЭВМ ПС-300. Тбилиси, 1978.



ФИЗИКА

З. Ш. НАДИРАШВИЛИ, Дж. С. ЦАКАДЗЕ

УСТРОЙСТВА ТОНКОЙ РЕГУЛИРОВКИ И ТОЧНОГО  
ИЗМЕРЕНИЯ ВЫСОКИХ ДАВЛЕНИЙ ДЛЯ ИССЛЕДОВАНИЯ  
СВОЙСТВ ТВЕРДОГО ГЕЛИЯ

(Представлено академиком Э. Л. Андроникашвили 13.9.1979)

При исследовании свойств жидкого или твердого гелия вблизи кривой затвердевания создание необходимых давлений не представляет особой трудности (см. [1, 2]), однако его изменение на малую величину ( $\sim 10^{-4} \div 10^{-5}$  атм) весьма сложная техническая задача.

Точное измерение давлений в районе перехода жидкого гелий — твердый гелий связано с необходимостью применения косвенных методов измерения (например, емкостным датчиком давления [3]), что не всегда удобно.

Нами разработаны и осуществлены простые и эффективные способы решения этих задач, описание которых и составляет предмет этого сообщения.

1. Устройство для тонкого изменения высоких давлений схематически показано на рис. 1.

В крышку 1 стального цилиндра 2 впаян сильфон 3 из нержавеющей стали. При повороте штока 4, пропущенного через сальник 5 (также впаянного в крышку стального цилиндра), происходит растягивание (или сжатие) сильфона 3. Таким образом, стальной цилиндр имеет переменный объем. При помощи металлического трубопровода, снабженного соответствующими вентилями 6, 7 и 8, объемы I и II соединяются с источниками высокого давления и с прибором. Вначале при открытых вентилях 6, 7 и 8 происходит конденсация гелия в ампуле и его давление доводится до нужной величины. Затем перекрываются вентили 6 и 7 и изменением объема II происходит тонкая регулировка давления в приборе (с точностью до  $10^{-5}$  атм). Перепад давления между объемами I и II при диаметре сильфона- $3^3$ ,  $\Phi \approx 80$  мм может достигать 1 атм. При окончании работы давление в приборе понижается при открытом байпасном вентиле 7.

Применив это устройство, мы меняли скорость роста гелиевого кристалла от нуля до  $\sim 1$  см/сек.

2. Схематический чертеж (одного из возможных вариантов) ртутного манометра высокого давления, пригодного для работы вблизи кривой плавления жидкого гелия, показан на рис. 2.

Открытый U-образный манометр 1 размещен внутри стального цилиндра 2, имеющего окно из толстого листового органического стекла, 38. „Змззда“, ф. 97, № 3, 1980

с хорошо отполированными поверхностями, сквозь которые можно измерять разность уровней ртути при помощи катетометра. Вентили высокого давления 4 и 5 установлены в трубопроводах, соединяющих-ся соответственно с прибором и с источником высокого давления.

При открытых вентилях 3, 4, 5, 6, 7, 8 в приборе создается нужное давление. Затем перекрываются вентили 5, 6, 7, 8 и в дальнейшем устройство может измерять изменение давления в приборе с точностью до  $2 \cdot 10^{-2}$  мм рт. ст. ( $\sim 10^{-5}$  атм).

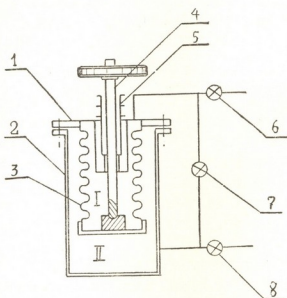


Рис. 1. Схематический чертеж устройства для тонкой регулировки высокого давления: 1 — крышка стального цилиндра, 2 — стальной цилиндр с переменным объемом, 3 — сильфон из нержавеющей стали, 4 — шток, 5 — сальник высокого давления, 6—8 — вентили высокого давления

Кроме такого (дифференциального) режима манометр 1 может работать также как абсолютный. Для этого при открытых вентилях 3, 4, 5, 6 (и закрытых 7 и 8) в приборе создается давление  $P_1$  ( $P_1 \sim 1$  атм). С помощью катетометра определяется величина  $P_1$  с точностью  $\sim 10^{-5}$  атм. Затем вентиль 3 закрывается, открывается вентиль 8 и в прибор подается давление  $P_2 > P_1$ .

Разность давлений  $\Delta P = P_2 - P_1$  также измеряется катетометром.

Производя аналогичные манипуляции и постепенно повышая давление, можно достичь его желаемой величины в приборе. Если повышение давления производить шагом  $\Delta P \approx 1$  атм, то с помощью такого манометра можно измерять высокое давление (25–30 атм) с точностью  $10^{-4}$ – $10^{-3}$  атм. (Точность измерения можно повысить, увеличив шаг изменения давления в приборе.)

В процессе измерений (как в дифференциальном, так и в абсолютном режиме) окончания штоков 9 и 10, компенсирующих изменение объемов, соединенных с левым и правым коленами U-образного манометра (диаметры штоков равны диаметру ртутного столба в манометре)

ре), вызванное изменением уровней ртути в них, при измерениях должны находиться на уровне ртутного столба в соответствующих коленах манометра.

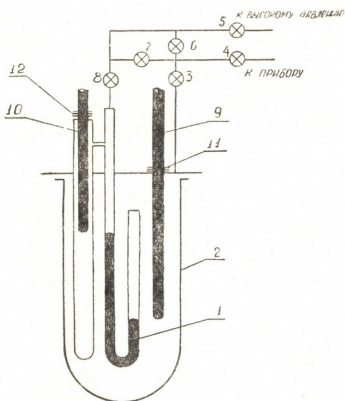


Рис. 2. Схематический чертеж и-образного манометра высокого давления: 1 — стеклянный и-образный манометр, 2 — стальной цилиндр высокого давления, 3—8—вентили высокого давления, 9—компенсирующие стальные штоки, 11, 12—сальники высокого давления

В качестве набивки сальников 11, 12 нами применялся асбесто-вой шнур, проваренный в водяной бане в специальной смеси, состоящей из 1 весовой части воска, 0,5 весовой части жира и 0,25 весовой части графитовой пудры. Такая набивка хорошо работает как в условиях давления 1-2 мм, так и при давлениях  $\sim 50$  атм.

Академия наук Грузинской ССР

Институт физики

(Поступило 14.9.1979)

70%005

% ნაფირავილი, კ. რაჭაძე

მაღალი წნევების ზუსტად გასაზომი და დასარეგულირებელი  
მოყვობილობების მყარი ჰილივის თვისებების შესახავლად  
რეზიუმე

აღმურილია მოწყობილობები, რომელთა საშუალებითაც შესაძლებელია  
ზუსტად შეიცვალოს ( $10^{-5}$  ატმ) და გაიზომოს მაღალი წნევები (30 ატმ).

მოცემულია მაღალი წნევის U-მსგავსი ღია მანომეტრის აღწერა, რომელის საშუალებითაც აბსოლუტურ ჩეკიმში შეიძლება გაიზომოს მაღალი წნევები ( $25 \div 30$  ატმ)  $10^{-4} \div 10^{-3}$  ატმ. სიზუსტით, ხოლო დიფერენციალურ ჩეკიმში —  $10^{-5}$  ატმ. სიზუსტით.

## PHYSICS

Z. Sh. NADIRASHVILI, J. S. TSAKADZE

A DEVICE FOR FINE ADJUSTMENT AND ACCURATE MEASUREMENT  
OF HIGH PRESSURES IN INVESTIGATING THE PROPERTIES OF  
SOLID HELIUM

*Summary*

The paper describes a unit which enables to change high pressures to low values ( $\sim 10^{-5}$  atm).

A U-shaped mercury gauge of high pressure is also described. It is shown that such gauge permits to measure high pressure absolute values ( $25 \div 30$  atm) with the accuracy  $\sim 10^{-3}$  atm.

When measuring pressure differences the accuracy is  $\sim 10^{-5}$  atm.

ლიტერატურა — ЛИТЕРАТУРА — REFERENCES

1. В. Кеезом. Гелий. М., 1949, 210.
2. В. К. Ткаченко, А. О. Филимонов. ПТЭ, 5, 1961, 203.
3. Стрейти, Адамс. ПТЭ, 11, 1969, 15.

ФИЗИКА

Л. Д. ГОГУА, В. В. САНАДЗЕ, Е. З. ВИНТАИЦИН, В. А. УДОВЕНКО

ОСОБЕННОСТИ ГЦК → ГЦТ НИЗКОТЕМПЕРАТУРНЫХ  
ПРЕВРАЩЕНИЙ В СПЛАВАХ  $\gamma$ -MnNi и  $\gamma$ -MnFe

(Представлено академиком Ф. Н. Тавадзе 28.9.1979)

Сплавы марганца с элементами-стабилизаторами  $\gamma$ -фазы испытывают низкотемпературные ГЦК→ГЦТ превращения, которые тесно связаны с наличием в этих сплавах антиферромагнитного упорядочения магнитных моментов атомов марганца. В ранних работах, посвященных исследованию структурного состояния сплавов  $\gamma$ -марганца, проводимых в основном на сплавах  $\gamma$ -MnCu, считалось, что появление антиферромагнетизма в этих сплавах сопровождается тетрагональными искажениями решетки, причем соотношение параметров  $c/a$  всегда остается меньше единицы. Однако, позднее было показано, что в системах  $\gamma$ -MnNi; [1],  $\gamma$ -MnPd и  $\gamma$ -MnAu [2], а также в  $\gamma$ -MnJr [3] возрастание содержания легирующего элемента приводит к смене знака тетрагональности ГЦТ решетки от  $c/a < 1$  к  $c/a > 1$ . Также известно, что в сплавах  $\gamma$ -MnNi [4, 5] и  $\gamma$ -MnAu [2] этот переход осуществляется через промежуточную ромбическую фазу. В [6] предполагалось, что изменение знака тетрагональности обусловлено увеличением числа  $d$ -электронов в  $d$ -полосе чистого  $\gamma$ -Mn при легировании его элементами, обладающими избыточным количеством  $d$ -электронов по отношению к марганцу. Экспериментальная проверка этого предположения и явилась целью данной работы.

В работе исследовались сплавы  $\gamma$ -MnNi, содержащие от 12 до 25 ат.% Ni и  $\gamma$ -MnFe, содержащие от 8 до 32 ат.% Fe. К сплавам  $\gamma$ -MnFe добавляли незначительное количество меди ( $\sim 3\%$ ) для стабилизации  $\gamma$ -фазы, что не вносило существенной погрешности в эксперимент, в таком количестве медь практически не меняет магнитных свойств сплавов  $\gamma$ -MnFe [7] и, следовательно, не влияет на ГЦК→ГЦТ превращение. Определение параметров решетки и их соотношения проводили рентгеновским методом с использованием  $Fe_{k_\alpha}$ -излучения. В работе определялась и магнитная структура с применением метода нейтронографии. Исследуемые образцы подвергались гомогенизирующему отжигу в  $\gamma$ -температурной области, после чего закаливались в воде.

Определение параметров решетки и их соотношения  $c/a$  исследуемых сплавов показали, что в сплавах  $\gamma$ -MnNi, содержащих менее 13,6 до 16 ат.% Ni, структура является ГЦТ с  $c/a < 1$ . Сплавы, содержащие от 13,6 до 16 ат.% Ni, имеют ромбическую структуру. Дальнейшее увеличение содержания Ni приводит к появлению ГЦТ структуры с  $c/a > 1$ , которая при достижении концентрации примерно 20 ат.% Ni переходит в ГЦК структуру. Аналогичная картина наблюдается и в

сплавах  $\gamma\text{-MnFe}$ , только в этих сплавах концентрационная область существования ГЦТ структуры с  $c/a < 1$  простирается до  $\sim 27$  ат.% добавки. За этой областью следует область ромбической структуры, ширина которой не превышает  $\sim 1,5\%$  и ГЦТ структуры с  $c/a > 1$ , которая при содержании  $\sim 30$  ат.% добавки переходит в структуру ГЦК.

По результатам структурных исследований нами были построены низкотемпературные фазовые диаграммы систем  $\gamma\text{-MnNi}$  и  $\gamma\text{-MnFe}$  (рис. 1а и 1б). Обращает на себя внимание подобие этих диаграмм— для обеих систем характерно изменение знака тетрагонального искажения от  $c/a < 1$  до  $c/a > 1$ , происходящее через область существования орторомбической фазы ( $a \neq b \neq c$ ) при изменении состава. Далее — в

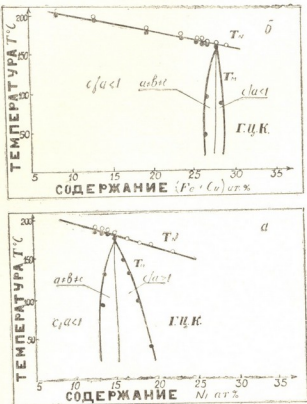


Рис. 1. Фазовые диаграммы низкотемпературных ГЦК—ГЦТ превращений систем  $\gamma = \text{Mn} - \text{Ni}$  (а) и  $\gamma = \text{Mn} - \text{Fe}$  (б);  $\square$ —температуры Нееля,  $\bullet$ —температуры ГЦК $\rightarrow$ ГЦТ превращений

области существования фазы с  $c/a < 1$  и орторомбической фазы температура мартенситного превращения ( $T_M$ ) практически совпадает с температурой Нееля ( $T_N$ ) антиферромагнитного упорядочения магнитных моментов атомов марганца. При переходе в область существования фазы с  $c/a > 1$  имеет место быстрое уменьшение  $T_M$  относительно  $T_N$  (рис. 1а). Однако имеется и существенное отличие между сплавами  $\gamma\text{-MnNi}$  и  $\gamma\text{-MnFe}$ , если в сплавах  $\gamma = \text{MnNi}$  промежуточная орторомбическая фаза лежит при 15% легирующей добавки, то в сплавах  $\gamma\text{-MnFe}$  она располагается при более значительных концентрациях  $\sim 27$  ат.% ( $Fe + Cu$ ). Все эти факты хорошо согласуются с высказанной в [6] гипотезой, согласно которой переход от ГЦТ структуры с  $c/a < 1$  к ГЦТ структуре с  $c/a > 1$  в сплавах  $\gamma\text{-Mn}$  с переходными

*d*-металлами определяется степенью заполнения *d*-полосы чистого  $\gamma$ -марганца *d*-электронами легирующих элементов. Совокупность данных о системах  $\gamma\text{-Mn-Ni}$  и  $\gamma\text{-Mn-Fe}$  показывает, что смена знака тетрагонального искажения происходит после достижения критической концентрации *d*-электронов в сплаве  $n_{\text{кр.}}^d = 7,3 - 7,4$  электрона на атом. С этой точки зрения совершенно очевидно, что легирование никелем должно приводить к более быстрому заполнению *d*-полосы чистого марганца по сравнению с железом, так как у никеля больше избыточных *d*-электронов относительно марганца, чем у железа. Это обстоятельство и обуславливает переход к структуре ГЦТ с  $c/a > 1$  от структуры ГЦТ с  $c/a < 1$  в сплавах  $\gamma\text{-MnNi}$  при более низких содержаниях добавки, чем в сплавах  $\gamma\text{-MnFe}$ . Изложенные факты хорошо коррелируют с моделью, развитой в [8], согласно которой при достижении  $n_{\text{кр.}}^d$  должен меняться характер обменного взаимодействия между атомами марганца от антиферромагнитного взаимодействия между плоскостями (001) до антиферромагнитного взаимодействия внутри плоскостей (001), что сопровождается сменой знака тетрагонального искажения от  $c/a < 1$  к  $c/a > 1$ . Прямые нейтронографические исследования магнитной структуры в сплавах  $\gamma\text{-MnNi}$  и  $\gamma\text{-MnFe}$ , подтвердили предложение об изменении антиферромагнитного обменного взаимодействия при структурном переходе от ГЦТ фазы с  $c/a < 1$  к ГЦТ фазе с  $c/a > 1$ . Ромбической фазе, по-видимому, отвечает некоторый промежуточный вид обменного взаимодействия между магнитными моментами атомов марганца, что и вызывает ромбическое искажение решетки.

ромбическое искажение решетки. Таким образом, можно считать, что структурный переход от ГЦТ фазы с  $c/a < 1$  к ГЦТ фазе с  $c/a > 1$  полностью определяется степенью заполнения  $d$ -полосы чистого  $\gamma$ -марганца и является общим свойством сплавов на его основе.

## Грузинский политехнический институт им. В. И. Ленина

(Поступило 28.9.1979)

930%033

ଲ୍. ପ୍ରକାଶ, ୩. ପାନ୍ଦିର, ୧. ବିନ୍ଦୁବନ୍ଦିର, ୩. ଶ୍ରୀମତୀ

დაგვლტების რაოდული ა ანეაგცენტრის რაოდული კუმული-  
ა ანეაგცენტრის რაოდული ტეტრაგონალური გარდა აგნების  
თავისებულებან კ- $MnNi$  და კ- $MnFe$  შენადონგებული

၁၇၀၅

გამოკვლეულია დაბალტემპერატურული  $\tilde{\tau}$ . ც. კ.  $\rightarrow$  წ. ც. ტ. გარდაქმნები  $\gamma$ - $MnNi$  და  $\gamma$ - $MnFe$  შენაღნობებში. ნაჩვენებია, რომ ამ შენაღნობებში მაღლევირებელი ელემენტის შემცველობის გაზრდას მიყვავარო სტრუქტურულებრივი გარდაქმნათა როლი მიმდევრობის გამოვლენამდე: წახნაგცენტრირებულ გარდაქმნათა როლი ფაზა  $(\text{ვარამეტრთა თანაფარდობით } c/a < 1)$   $\rightarrow$  რომ-ბული ტეტრაგონალური ფაზა ( $\text{ვარამეტრთა თანაფარდობით } c/a > 1$ )  $\rightarrow$  წახნაგცენტრირებული ფაზა  $\rightarrow$  წახნაგცენტრირებული ტეტრაგონალური ფაზა ( $\text{ვარამეტრთა თანაფარდობით } c/a > 1$ )  $\rightarrow$  წახნაგცენტრირებული კუბური. ტეტრაგონალური ფაზა  $\rightarrow$  წახნაგცენტრირებული კუბური.

ბის ნიშნის ცვლა განისაზღვრება სუფთა  $\gamma$ -მანგანუმის  $d$ -შრის შეცვებით გა-  
ლეგირებელი ელემენტების  $d$ -ელექტრონებით. მიღებული შედეგები კარგ  
თანხმობაშია ზონურ მოდელთან, რომელიც შემოთავაზებულია [8] ნაშრომში.

## PHYSICS

L. D. GOGUA, V. V. SANADZE, Ye. Z. VINTAIKIN, V. A. UDOVENKO  
 PECULIARITIES OF LOW-TEMPERATURE F. C. T. $\rightarrow$ F. C. C.  
 TRANSFORMATIONS IN  $\gamma$ -MnNi AND  $\gamma$ -MnFe ALLOYS

## Summary

The present study deals with low-temperature f. c. t $\rightarrow$ f. c. c. transformations in  $\gamma$ -MnNi and  $\gamma$ -MnFe alloys. It is shown that an increase of the alloying element content in these alloys leads to the occurrence of a complex sequence of structural transformations: f. c. t with  $c/a < 1 \rightarrow$  rhombic phase  $\rightarrow$  f. c. t with  $c/a > 1 \rightarrow$  f. c. c. The change of the tetragonalness sign from  $c/a < 1$  to  $c/a > 1$  depends wholly on the filling of the  $d$ -band of pure  $\gamma$ -manganese with  $d$ -electrons of the alloying element. The results obtained are in good agreement with the zone model proposed in [8].

## ლიტერატУРА — REFERENCES

1. H. Uchishiba, T. Hori, Y. Nakagawa. J. Phys. Soc. Japan. V. 30, 1970, 792.
2. N. Cowlam, Al-Shahery. Physica V. 86-88, 1977, 267.
3. T. Yamaoka. J. Phys. Soc. Japan V. 36, 1974, 445.
4. N. Honda, Y. Tanij, Y. Nakagawa. J. Phys. Soc. Japan V. 41, 1976, 1931.
5. E. Z. Винтайкин, В. А. Удовенко, Л. Д. Гогуа. ДАН СССР, т. 224, 1976, 1309.
6. В. А. Удовенко, Е. З. Винтайкин, В. М. Сахно, Л. Д. Гогуа. Тезисы международной конференции «Мартенситные превращения». Киев, 1976.
7. Y. Endah, Y. Ishikawa. J. Phys. Soc. Japan. V. 30, 1970, 1614.
8. Д. Гуденаф. Магнетизм и химическая связь. М., 1968.



ФИЗИКА

Л. П. БЫЧКОВА, Г. Г. ГЕГИАДЗЕ, О. И. ДАВАРАШВИЛИ,  
В. П. ЗЛОМАНОВ, И. В. КРИАЛАШВИЛИ, Р. И. ЧИКОВАНИ,  
А. П. ШТОВ

ТРОЙНЫЕ И ЧЕТВЕРНЫЕ ТВЕРДЫЕ РАСТВОРЫ СОЕДИНЕНИЙ  
 $A^{IV}B^{VI}$  С ЗАМЕЩЕНИЕМ В АНИОННОЙ ПОДРЕШЕТКЕ  
И ГЕТЕРОСТРУКТУРЫ НА ИХ ОСНОВЕ

(Представлено членом-корреспондентом Академии Т. И. Санадзе 5.9.1979)

Из твердых растворов соединений  $A^{IV}B^{VI}$  с замещением в анионной подрешетке твердые растворы на основе свинца  $PbS_{1-y}Se_y$ ,  $PbS_{1-y}Te_y$ ,  $PbSe_{1-y}Te_y$  являются наиболее перспективными. Эти твердые растворы образуют непрерывный ряд взаимной растворимости (рис. 1,а), в котором ширина запрещенной зоны при 77°К меняется в диапазоне 0,17—0,31 эв, а концентрация носителей может регулироваться в широких пределах.

Вместе с полупроводниками из этой же группы соединений  $Pb_{1-x}Sn_xTe(Se)$  [1, 2] они перекрывают весь диапазон средней ИК-области спектра — 3—30 мкм. Однако следует отметить, что оптоэлектронные приборы на основе твердых растворов  $PbS_{1-y}Se_y$ ,  $PbS_{1-y}Te_y$ ,  $PbSe_{1-y}Te_y$  могут иметь значительно более высокие рабочие температуры и уже их использование с полупроводниками-рефрижераторами при  $T \geq 180^{\circ}\text{K}$  расширит их область применения в контроле загрязнения окружающей среды, оптической связи, спектроскопии высокого разрешения.

В настоящей работе методом жидкофазовой эпитаксии впервые были получены твердые растворы  $PbS_{1-y}Se_y$ ,  $PbS_{1-y}Te_y$ ,  $PbSe_{1-y}Te_y$ ,  $PbS_xSe_{1-x-y}Te_y$  и гетероструктуры на их основе.

Эпитаксиальные слои выращивались в открытой системе в потоке очищенного водорода и в режиме принудительного охлаждения. Интервал температур эпитаксии составлял 480—660°С. В области высоких температур из этого интервала эпитаксиальные слои выращивались с подпиткой из пара. В качестве подложек использовались пластины  $PbS$ ,  $PbSe$  и  $PbTe$  п-типа, ориентированные в направлении (100).

Кристаллы для подложек получались направленной кристаллизацией из пара при температуре испарения 1050—1150°С, температура конденсации 1000—1100°С. Концентрация электронов в них составляла  $3\cdot 6 \cdot 10^{18} \text{ см}^{-3}$ .

Толщина полученных слоев в зависимости от интервала охлаждения менялась в пределах 4—10 мкм. Слои имели п-тип проводимости при 77°К.

Состав эпитаксиальных слоев определялся по параметру кристаллической решетки. Из-за большого значения коэффициента распреде-

ления халькогена между жидкокристаллической и твердой фазами и при значительном рассогласовании решетки подложки и слоя (рис. 1,б) улучшение морфологии и совершенства слоев достигалось при их росте с промежуточными составами.

Используя данные по границам области гомогенности  $PbS$ ,  $PbSe$ ,  $PbTe$  [3], оценивалась концентрация носителей в эпитаксиальных слоях. Концентрация носителей возрастает от  $PbTe$  к  $PbSe$  и  $PbS$  в пределах  $7 \div 10 \cdot 10^{18} \text{ см}^{-3}$   $5 \div 7 \cdot 10^{18} \text{ см}^{-3}$  для используемого интервала температур эпитаксии.

Данные по некоторым из полученных составов и типов структур приведены в таблицах 1 и 2.

Таблица 1

Система	Подложка	Температура эпитаксии, °C	Параметр решетки, Å	Состав по $y$
1. $PbTe_{1-y}Se_y$	$PbTe$ (100)	660—650	6,4509	0,032
2. $PbTe_{1-y}Se_y$	$PbTe$ (100)	690—640	6,4148	0,140
3. $PbSe_{1-y}Te_y$	$PbSe$ (100)	660—640	6,1907	0,192
4. $PbSe_{1-y}S_y$	$PbSe$ (100)	540—525	6,1003	0,138
5. $PbSe_{1-y}S_y$	$PbSe$ (100)	480—450	6,1032	0,123
6. $PbS_{1-y}Se_y$	$PbS$ (100)	660—635	5,9619	0,129

Таблица 2

Подложки	Структура	Пределы составов
1. $PbSe$ (100)	$\boxed{\begin{array}{c} PbSe_{1-y}S_y \\ \hline PbSe \end{array}}$	$0,085 < y < 0,320$
2. $PbSe$ (100)	$\boxed{\begin{array}{c} PbSe_{1-y}Te_y \\ \hline PbSe \end{array}}$	$0,071 < y < 0,446$
3. $PbSe$ (100)	$\boxed{\begin{array}{c} PbS_xSe_{1-x-y}Te_y \\ \hline PbSe \\ \hline PbSe \end{array}}$	$x_1 = 0,220; \quad y_1 = 0,078$ $x_2 = 0,108; \quad y_2 = 0,074$ $a_1 = a_2 = a_3$
4. $PbS$ (100)	$\boxed{\begin{array}{c} PbS \\ \hline PbS_{1-y}Se_y \\ \hline PbS \end{array}}$	$0,042 < y < 0,426$

Наблюдение лазерного эффекта на различных длинах волн в указанных твердых растворах [4] показывает, что ширина запрещенной зоны меняется от состава плавно и для приведенного интервала охватывает диапазон 0,18—0,29 эВ.

Последовательным наращиванием слоев получены  $PbS$  — п  $PbS_{1-y}Se_y$  — п  $PbS$  и п  $PbSe$  — п  $PbS_xSe_{1-x-y}Te_y$  структуры. Исследуемые составы четверных твердых растворов, изопериодические с  $PbSe$ , могут создать оптимальный разрыв зон на гетеропереходе

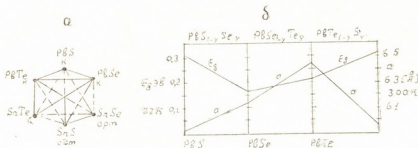


Рис. 1. а) Взаимная растворимость в твердых растворах соединений  $A^{IV}B^{VI}$   
б) Параметр решетки и ширина запрещенной зоны в твердых растворах на основе свинца

при  $77^{\circ}\text{K}$  (рис. 2) [5], а максимальное  $\Delta E_g$  может составлять  $\sim 90$  мэВ, что создает возможность получения непрерывного режима лазерной генерации в  $PbSe$  при температурах, значительно превышающих  $77^{\circ}\text{K}$ .

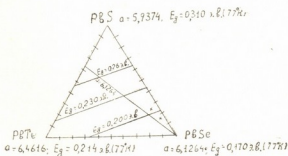


Рис. 2. Диаграмма четырехкомпонентной системы  $PbS_xSe_{1-x-y}Te_y$ ,  $X$  — экспериментально полученные составы

Р-п-переход в гетероструктуре создавался диффузией в закрытой ампуле из диффузанта с избытком  $B_1^{VI}B_2^{VI}$  компонентов при температурах  $400\text{--}420^{\circ}\text{C}$ . Глубина диффузии при  $20\text{--}40$  мин составляла 2—8 мкм. Значения дифференциального сопротивления достигали  $2,5 \cdot 10^5$  ом. Свечение диодов в зависимости от состава активного слоя менялось в пределах 4—7 мкм при  $77^{\circ}\text{K}$ .

Таким образом, в настоящей работе впервые методом жидкостной эпитаксии получены эпитаксиальные слои  $A^{IV}B_1^{VI}B_2^{VI}B_3^{VI}$  и гетероструктуры на их основе для оптоэлектронных приборов в спектральном диапазоне 4—7 мкм.

(Поступило 30.11.1979)

ლ. გიჩოვა, გ. გეგიაძე, მ. დავარაშვილი, ვ. ზლომანოვი,  
 ი. კრიალაშვილი, რ. შოთოვანი, ა. შოთოვი

*A<sup>IV</sup>B<sup>VI</sup>* ჰერნიტთა სამაგი და ოთხმაგი მყარი ხსნარები ანიონურ  
 ჯვევესერში ჩანაცვლებით და მათ ფშავები შინაგანი  
 ჰერნიტოსტრუქტურები

### რეზიუმე

თხევადი ეპიტაქსიის მეთოდის გამოყენებით ჰიტველადაა მიღებული *A<sup>IV</sup>B<sup>VI</sup>*  
 უნაერთა სამაგი და ოთხმაგი მყარი ხსნარები ანიონურ ქვემესერში ჩანა-  
 ცვლებით და მათ ფუძეზე ჰერნიტოსტრუქტურები ოპტოელექტრონული ხელ-  
 საწყოებისათვის, რომელთა სპექტრის არეა 4—7 მჟმ.

### PHYSICS

L. P. BYCHKOVA, G. G. GEGIADZE, O. I. DAVARASHVILI, V. P. ZLOMANOV,  
 I. V. KRIALASHVILI, R. I. CHIKOVANI, A. P. SHOTOV

### TERNARY AND QUATERNARY *A<sup>IV</sup>B<sup>VI</sup>* SOLID SOLUTIONS WITH SUBSTITUTION IN ANION SUBLATTICE AND HETEROSTRUCTURES BASED ON THEM

#### Summary

Ternary and quaternary *A<sup>IV</sup>B<sup>VI</sup>* solid solutions with substitution in anion sublattice and heterostructures based on them have been produced for the first time by liquid phase epitaxy. These structures are designed for optoelectronic devices in the 4-7  $\mu$  spectral range.

#### ლიტერატურა — REFERENCES

1. Д. М. Гуреев, О. И. Даварашвили, И. И. Засавинский, Б. Н. Мацио-  
 нашвили, А. П. Шотов. ФТП, № 10, 1975.
2. А. П. Шотов, О. И. Даварашвили, А. В. Бабушкин. Краткие сообщения  
 по физике, № 4, 1976.
3. И. Х. Абрикосов, А. Е. Шелимов. Полупроводниковые материалы на основе  
 соединений *A<sup>IV</sup>B<sup>VI</sup>*. М., 1975.
4. I. Melngailis. Advances in narrow gap semiconductor infrared devices. Warszawa.  
 1978, 459.
5. О. И. Даварашвили, Л. М. Долгинов, П. Т. Елисеев, И. И. Заса-  
 винский, А. П. Шотов. Квантовая электроника, № 4, 1977.



ГАРАНТИРОВАННЫЙ

БАКАРСОЛЮСТЬ სამ 80360060303 პრეზენტაცია გვადის გორგავი, 97, № 3, 1980  
СООБЩЕНИЯ АКАДЕМИИ НАУК ГРУЗИНСКОЙ ССР, 97, № 3, 1980  
BULLETIN of the ACADEMY of SCIENCES of the GEORGIAN SSR, 97, № 3, 1980

УДК 550.34.063

## ГЕОФИЗИКА

С. А. ЮФИН, Т. Л. БЕРДЗЕНИШВИЛИ

# МНОГОЦЕЛЕВОЙ ПРОГРАММНЫЙ КОМПЛЕКС ДЛЯ РЕШЕНИЯ НЕКОТОРЫХ ЗАДАЧ ГЕОФИЗИКИ

(Представлено академиком Б. К. Балавадзе 13.9.1979)

Обширный класс теоретических и прикладных задач требует определения напряжений и деформаций в верхних слоях земной коры при проведении подземных выработок, разработке крупных открытых карьеров и т. д. При этом необходимо рассматривать вопросы устойчивости массивов горных пород при введении определенных прочностных параметров. Следует также иметь в виду, что горные породы отличаются физически нелинейными свойствами — пластичностью, вязкостью, ползучестью и т. д., а горные массивы — значительной неоднородностью и наличием нарушений сплошности — трещин, разломов. Эти задачи должны решаться не только в статической, но и в динамической (т. е. учетом сейсмических, взрывных и других динамических воздействий) постановке. Многие из них допускают естественную вариационную постановку. Вариационный подход позволяет снять ограничения гладкости искомого решения, не вызванные физической природой изучаемого явления. Кроме того, при использовании вариационных принципов при дискретизации рассматриваемой задачи для ее численной реализации получаются заведомо устойчивые разностные схемы. Наиболее популярным в настоящее время численным методом, использующим вариационно-разностную формулировку, является метод конечных элементов [1, 2] — синтез энергетических методов, представлений о конечных разностях и структурном моделировании при помощи ЭВМ (часто называемом математическим моделированием).

К настоящему времени накоплен значительный опыт применения метода конечных элементов, свидетельствующий о превосходной точности решений и эффективности вычислений. Разработано большое количество как проблемно-ориентированных программ, так и крупных программных комплексов общего назначения, основанных на методе конечных элементов [3, 4]. Однако прямое их использование ограничивается различиями в технических возможностях применяемых ЭВМ и, что более существенно, естественным желанием обладать надежной базой для постоянного совершенствования имеющихся проработок.

Эти соображения привели к необходимости самостоятельной разработки программного комплекса, в своей полной форме получившего название «ДYNAS» и предназначенного для решения широкого класса задач как в статической, так и в динамической постановке с рассмотрением физически нелинейных свойств среды, наличия нарушений сплошности в рассчитываемых системах и с включением принципов механики разрушения.

Комплекс программ ориентирован на использование с ОС ЕС ЭВМ на моделях ЕС-1040 и выше и других высокопроизводительных ЭВМ, но в сокращенном виде может использоваться и на ЭВМ меньшей производи-

водительности (в частности, он используется на вычислительной системе ICL System 4—50). Комплекс имеет блочно-модульную структуру, допускающую компактную оверлейную композицию при реализации на ЭВМ. Входной язык комплекса — ФОРТРАН-IV.

Основой комплекса являются блоки библиотеки элементов и блок, осуществляющий сборку и решение основной системы уравнений. При решении системы используется модификация метода Гаусса, являющаяся усовершенствованным вариантом алгоритма, использованного в [4]. При решении физических нелинейных задач этот метод используется в комбинации с алгоритмом метода Ньютона—Рафсона. При формировании и решении системы уравнений эффективно используется оперативная память ЭВМ при экономичных обращениях к накопителям на магнитных дисках. Возможности комплекса по параметрам расчетных схем ограничиваются лишь доступным временем счета одного варианта задачи, т. е. даже на скромных по характеристикам ЭВМ могут быть рассчитаны системы с тысячами неизвестных.

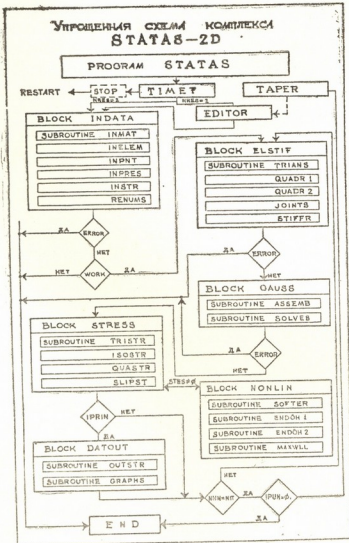


Рис. 1

Библиотека элементов включает 17 типов плоских и 16 типов трехмерных (включая полученные деградацией основных) элементов первого и второго порядков, позволяющих в пределах одной расчетной схемы моделировать как сплошные зоны, так и нарушения сплошности между ними с корректным представлением условий на контактах.

Комплекс предполагает формализованное представление исходной информации и наделен значительным количеством сервисных подпрограмм, осуществляющих ввод/вывод и генерацию исходных данных, формальный, логический и топологический анализ подготовленной к расчету информации и, при необходимости, оптимизацию расчетных схем по времени счета.

В настоящее время имеется опыт эксплуатации первой версии комплекса — STATAS-2D (решение двумерных задач в статической постановке) — для расчетов подземных сооружений в скальных породах [5, 6]. Блок-схема комплекса STATAS-2D приведена на рис. 1. Здесь блоки ELSTIF и STRESS включают библиотеку элементов и выполняют формирование матриц жесткости элементов и тензоров напряжений по величинам перемещений, полученных при решении основной системы уравнений блоком GAUS. Блок INDATA производит ввод, генерацию, анализ и оптимизацию исходной информации. Блок NONLIN включает различные модели физической нелинейности среды. Программы EDTOR и TAPER позволяют выполнять промежуточное редактирование массивов данных при решении задач с учетом поэтапности (раскрытия сечения выработки, возведения сооружений и т. д.), создании банка данных и архивов промежуточных результатов при ветвящихся схемах решений.

Комплекс DYNAS, находящийся в настоящее время в завершающей стадии разработки, полностью включает в себя описанный комплекс STATAS-2D и его трехмерный аналог STATAS-3D и при всех возможностях решения статических задач обеспечит решение задач и в динамической постановке.

Представляется, что этот программный комплекс (объем программных переработок не позволяет определить его как одну программу) найдет широкое применение при решении широкого класса геофизических задач, в практике расчетов в научно-исследовательских и проектных организациях. Отдельные элементы комплекса по мере завершения разработки включаются в Государственный фонд алгоритмов и программ СССР.

Академия наук Грузинской ССР

Вычислительный центр  
им. Н. И. Мусхелишивили

(Поступило 14.9.1979)

გეოციტების

ს. იუსინი, თ. ბარძინებიშვილი

მრავალმიზონური პროგრამული კომპლექსი გეოციტების

ყოგინებითი ამოცანის ამოსახსელად

6 გ ზ 0 უ მ ე

განხილულია გეოციტების ფართო კლასის ამოცანების ამოსახსნელი პროგრამული კომპლექსის ორგანიზაცია სასრული ელემენტების მეთოდით. პროგრამული კომპლექსი გათვალისწინებულია ერთიანი სისტემის (ЕС) ისეთი მაღალი წარმადობის მ გ მ-სათვის, როგორიცაა EC=1040 და ა. შ.

კომპლექსის სამუშაო ენაა ფორმულან-IV.

S. A. YUFIN, T. L. BERDZENISHVILI

A MULTIPURPOSE COMPUTER CODE FOR THE  
SOLUTION OF SOME PROBLEMS OF GEOPHYSICS

S u m m a r y

A general purpose computer code based on the finite element method formulations for solving geophysical problems is discussed in some detail, along with proposed applications.

ლიტერატურა — REFERENCES

1. O. K. Zienkiewich. The Finite Element Method, 3rd edition, McGraw Hill, 1977.
2. G. Gudehus (ed.). Finite Elements in Geomechanics. Wiley, 1977.
3. Structural Mechanics Software Series. University Press of Virginia, 5, 1974-1979.
4. IO. K. Жигач, В. И. Титков, С. А. Юфин. Алгоритмы и программы, № 2 (16), 1977.
5. S. A. Yufin. 20th U.S. Symposium on Rock Mechanics. Austin, Texas, June, 1979.
6. S. A. Yufin. VIII Vedeckoi Konferenci, VUT, Brno, 1979.



ГЕОФИЗИКА

О. В. ЛУРСМАНАШВИЛИ, Н. К. КАЧАХИДЗЕ

О ВЗАИМОСВЯЗИ СИЛЬНЫХ ЗЕМЛЕТРЯСЕНИЙ КАВКАЗА  
ЗА 1899—1976 гг.

(Представлено академиком Б. К. Балавадзе 12.11.1979)

В связи с опубликованием нового каталога землетрясений [1] возникла необходимость пересмотра результатов, полученных нами ранее [2] по изучению взаимосвязи сильных землетрясений Кавказа. Полнота нового каталога позволила также осуществить проверку наличия взаимосвязи землетрясений в более широком диапазоне времени — за 1899—1976 гг.

О характере взаимосвязи землетрясений, как и раньше, судили на основе анализа распределений землетрясений во времени и пространстве. При этом принимались во внимание данные землетрясений как по старому [3], так и по новому [1] каталогу.

Основные результаты анализа временно-пространственного распределения сильных землетрясений Кавказа даны на рис. 1, 2. На осах графика (рис. 2) отложены: по вертикали — расстояние  $R_{i,i+1}$ , от эпицентра каждого  $i$  землетрясения до эпицентра следующего ( $i+1$ ) землетрясения; по горизонтали — интервал времени  $T_{i,i+1}$  между моментами тех же землетрясений. Каждая пара ( $i, i+1$ ) землетрясений на плоскости  $R-T$  дает одну точку, характеризующую особенность связи между землетрясениями.

При объяснении геофизического содержания распределения характеристических точек на плоскости  $R-T$  пользовались гипотезой о возникновении в эпицентральной области сильных землетрясений медленных пластических волн, обладающих инициирующей способностью и, следовательно, участвующих в запуске последующих сильных землетрясений.

С точки зрения этой гипотезы каждое сильное землетрясение рассматривается как «иммигратор» — источник, излучающий конечные деформации — пластические волны. Поскольку эти волны деформации обладают инициирующей способностью, эпицентры последующих землетрясений оказываются приуроченными к соответствующим изохронам инициирующих волн, т. е. эпицентры последующих землетрясений в момент прохождения находятся в зоне, занятой инициирующей волной. Это обстоятельство приводит к тому, что характеристические точки на плоскости  $R-T$  располагаются вдоль определенных узких полос — на годографах пластических волн.

Таким образом, согласно данной гипотезе, распределение характеристических точек на плоскости  $R-T$  позволяет установить, как в те или иные периоды времени осуществлялась связь между землетрясениями и какие именно волны служили связывающим фактором.

Как показывает анализ, вид взаимосвязи землетрясений с течением времени претерпевает изменения. По характеру взаимосвязи земле-

трясений рассмотренный интервал времени можно разделить на четыре отдельных периода:

№ периода	Период	I полупериод	II полупериод
I	1899—1919	1899—1911	1912—1919
II	1920—1940	1920—1930	1931—1940
III	1941—1960	1941—1949	1950—1960
IV	1961—	1961—1971	1972—

Примечание. В 1912—1919 и 1950—1960 гг. землетрясений с  $M=6$  не было.

В течение I периода (1899—1919 гг.) произошло всего четыре сильных землетрясения: 31/XII 1899, 13/II 1902, 21/X 1905 и 7/V 1911 гг. Связь между землетрясениями осуществлялась по схеме, изображенной на рис. 1. Точки, характеризующие данную связь, на плоскости  $R-T$  располагаются на годографе  $B_0B_3$  пластических волн (рис. 2). Продолжение годографа на вертикальную ось  $R$  отрезает зону  $B_3$  ( $120 \leq R \leq 190$  км), при этом наклон годографа составляет  $V = 120$  км/год.

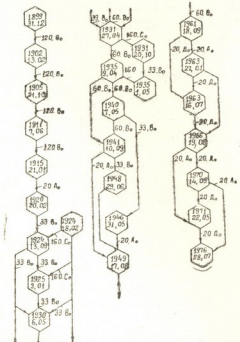


Рис. 1. Схема взаимосвязи сильных, с  $M > 6$ , землетрясений Кавказа: числа в шестигранниках — год, число и месяц землетрясения соответственно. Число и буквенные обозначения около стрелок — скорость и зона возникновения инициирующих пластических волн

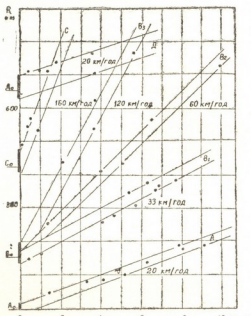


Рис. 2. Временно-пространственное распределение сильных, с  $M > 6$ , землетрясений Кавказа за 1899—1976 гг.:  $R$  — расстояние между эпицентрами  $i$  и  $i+1$  последовательно происходящих землетрясений ( $i=1, 2, 3, \dots$ ),  $T$  — интервал времени между теми же  $i$  и  $i+1$  землетрясениями

Согласно нашей гипотезе, последнее означает, что во время упомянутых выше сильных землетрясений в эпицентральной области каждого из них в зоне  $120 \leq R \leq 190$  км возникла пластическая волна, ко-

торая распространялась в сторону периферии со скоростью  $V=120$  км/год и стала фактором, реализующим цепочкообразную связь указанных землетрясений.

Следует отметить, что пластическая волна  $V=120$  км/год возникла и при последнем землетрясении данной серии — 1911 г., но она проявила способность запуска лишь менее сильного, с  $M=5,4$ , землетрясения 9/I 1915 г.

II полупериод 1912—1919 гг. данного периода является сейсмопасивным, в этом полупериоде землетрясения с  $M \geq 0$  не имели места.

Во II и III периодах остаются справедливыми ранее полученные результаты [2]; в первой половине II и III периодов связь землетрясений осуществлялась пластическими волнами  $V=33$  км/год (годограф  $B_0B_1$ ), а в 1931—1941 гг. — пластическими волнами  $V=60$  км/год (годограф  $B_0B_2$ ).

Интересно отметить, что в течение первых трех периодов, т. е. в течение около 50—60 лет, все инициирующие пластические волны возникали в одной и той же зоне  $B_0(120 \leq R \leq 190)$  км. Несмотря на то что эти землетрясения происходили в различных геологических ситуациях, они имели отличные друг от друга параметры очага и энергию. В этом же интервале времени намечается также существование пластической волны другого вида. Она образуется в зоне  $C_0(380 \leq R \leq 460)$  и имеет скорость распространения  $V=160$  км/год. Отмеченная волна содействовала происхождению только некоторых землетрясений, произошедших с интервалом времени не более 1—1,5 года и отстоявших друг от друга на расстояние не менее 380 км.

В отличие от этого, в последнем периоде начиная с 1961 г. характер связи между землетрясениями в корне изменяется. Все из семи землетрясений этого периода происходят на перифериях региона, группируясь по два в каждом районе: на востоке землетрясения 1961 и 1963 гг., на северо-востоке 1970 и 1976 гг., на юге 1966 и 1971 гг., на северо-западе одно землетрясение 1963 г. Причем в каждом районе землетрясения взаимосвязаны одинаково пластической волной  $V=20$  км/год, которая возникает в эпицентральной области в радиусе 10—20 км (рис. 2, годограф  $A_0A$ ). Заметим, что подобная связь отмечается и в ранние периоды. Например, на годографе пластической волны имигратора — землетрясения 13/II 1902 г. приурочиваются характеристические точки землетрясений 1906, 1909, 1911, 1920 и 1925 гг. Связь же между землетрясениями разных, удаленных друг от друга районов осуществляется волной  $V=20\pm 25$  км/год, возникшей в зоне  $D_0$  ( $640 \leq R \leq 700$  км). Как видим, в этом периоде главную роль играют пластические волны  $V=20\pm 25$  км/год, возникшие в зонах  $A_0 D_0$ .

Таким образом, можно утверждать, что за рассмотренный интервал времени (1899—1976 гг.) все сильные землетрясения Кавказа с магнитудой  $M \leq 6$  взаимосвязаны; связь между землетрясениями осуществляется пластическими волнами, параметры которых в течение каждого полупериода времени продолжительностью 10—12 лет остаются строго постоянными и меняются скачкообразно при смене одного полупериода другим.

В эпицентральной области землетрясений фиксируются четыре зоны, которые становятся источниками пластических волн. При этом I зона в виде пояса окружает эпицентр радиусом  $R=15\pm 50$  км, II зона располагается на эпицентральных расстояниях  $R=130\pm 180$  км,

III зона занимает пояс  $R=380\text{--}470$  км, а IV зона — пояс  $R=640\text{--}700$  км. Величины скоростей пластических волн составляют спектр: 20, 33, 60, 120 и 160 км/год.

Тбилисский государственный университет

(Поступило 22.11.1979)

ვიზუალიზაცია

თ. ლერსანავაზილი, ნ. კაცახიძე

1899—1976 წწ. ყადაგასის ძლიერი მიზისძღვების  
ურთიერთქავშირის შესახებ

რეზოუმე

კავკასიის ძლიერი მიზისძღვების დრო-სივრცული განაწილება შეიძლება კარგად აიხსნას, თუ დავუშვებთ, რომ მიზისძღვრის შედეგად ეპიცენტრის ირგვლივ ჩნდება ოთხი:  $0 \leq R_1 \leq 50$ ;  $120 \leq R_2 \leq 190$ ;  $420 \leq R_3 \leq 470$  და  $630 \leq R_4 \leq 700$  კმ სიდიდის, სარტყელის მაგვარი, განსაკუთრებული დაძაბულობის მდგომარეობაში მყოფი ზონა, საიდანაც დასაბამი ეძლევა სასრულო (პლასტიკური) დეფორმაციის ტალღების გაფრცელებას. მათ ტალღებს შესწევთ უნარი ხელი შეუშუან ძლიერი მიზისძღვრის მოხდენას ყველაზნ, სადაც ტექტონიკური დაძაბულობა ახლოსაა ქანების სიმტკიცის ზღვართან. ტალღათა გაფრცელების სიჩქარე დროდარო იცვლება და ევს მნიშვნელობები 20, 33, 60, 120, 160 კმ/წლიადი.

GEOPHYSICS

O. V. LURSMANASHVILI, N. K. KACHAKHIDZE

## ON THE INTERRELATION OF STRONG EARTHQUAKES OF THE CAUCASUS OVER THE PERIOD 1899-1976

### Summary

The recurrence of strong earthquakes of the Caucasus in space and time can be explained by assuming that four zones are formed round the epicentre as the result of strong  $M \geq 6$  earthquakes, where the crust is in a stressed state. The zones have the following sizes: 1)  $0 \leq R_1 \leq 50$  km 2)  $120 \leq R_2 \leq 190$  km 3)  $420 \leq R_3 \leq 470$  km and 4)  $630 \leq R_4 \leq 700$  km. Waves of the tinite (plastic) deformation propagate from the zones following an earthquake.

These waves are capable of triggering earthquakes in regions where the quantity of tectonic stress is close to the ultimate strength of the rocks. The velocities of wave propagation change occasionally, assuming the values of 20, 33, 60, 120 and 160 km/year.

### ლიტერატურა — ЛИТЕРАТУРА — REFERENCES

- Новый каталог сильных землетрясений на территории СССР. М., 1977.
- О. В. Лурсманашвили. Сообщения АН ГССР, 87, № 3, 1977, 601—604.
- Атлас землетрясений в СССР. М., 1962.

АНАЛИТИЧЕСКАЯ ХИМИЯ

В. Д. ЭРИСТАВИ, Л. Л. КАШАКАШВИЛИ

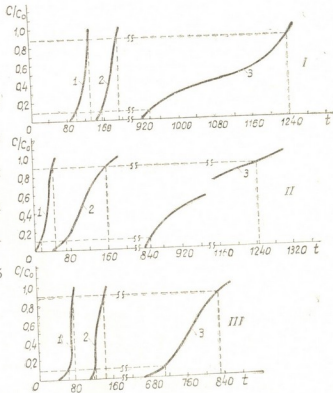
**ВЛИЯНИЕ СКОРОСТИ ПОТОКА ХРОМАТОГРАФИРУЕМОГО РАСТВОРА НА СОРБЦИЮ СКАНДИЯ, ИТТРИЯ И ЛАНТАНА НА АНИОНИТАХ АВ-17, АВ-16 И ЭДЭ-10 В  $\text{CO}_3$ -ФОРМЕ**

(Представлено академиком Р. И. Агладзе 26.11.1979)

Исследовано влияние скорости потока хроматографируемого раствора на сорбцию скандия, иттрия и лантана на анионитах АВ-17, АВ-16 и ЭДЭ-10 в  $\text{CO}_3$ -форме. Анализировалась зависимость длины фронта выходной кривой ( $\lambda t$ ) от скорости потока хроматографируемого раствора ( $v$ ).

Установлено, что  $\lambda t$  приближенно обратно пропорциональна  $v$ . В соответствии с теорией динамики осадочной сорбции это означает, что размывание фронта выходной кривой определяется равновесными и гидродинамическими факторами и не зависит от скорости внешней и внутренней диффузии.

Рис. 1. Выходные кривые сорбции скандия на карбонатных формах анионитов АВ-17 (а), АВ-16 (б) и ЭДЭ-10 (в) при различных скоростях потока хроматографируемого раствора ( $v$ ): I— $v=1$  мл/мин; II— $v=5$  мл/мин; III— $v=10$  мл/мин



Ранее [1] на основании изучения кинетики сорбции скандия, иттрия и лантана на анионитах АВ-17, АВ-16 и ЭДЭ-10 в  $\text{CO}_3$ -форме было сделано заключение, что динамика сорбции этих элементов определяется равновесными и гидродинамическими факторами. Для подтверждения этого исследовалась сорбция скандия, иттрия и лантана

на вышеуказанных сорбентах при различных скоростях фильтрации хроматографируемого раствора.

Методика экспериментов заключалась в следующем. Через сорбционные колонки диаметром 1,6 см, заполненные соответствующими анионитами в  $\text{CO}_3$ -форме (высота слоя анионитов 4,5 см), со скоростями потока фильтрации 1; 5 и 10 мл/мин пропускались растворы солей скандия, иттрия и лантана (с концентрацией 0,2 мг/мл по элементу) до полного насыщения анионитов сорбируемым элементом. Сорбция скандия, иттрия и лантана на карбонатных формах анионитов АВ-17, АВ-16 и ЭДЭ-10 контролировалась путем отбора фракций раствора по 10 мл на выходе колонки и анализа их на содержание изучаемого элемента. По результатам анализов строились выходные кривые сорбции (см. рис. 1—3).

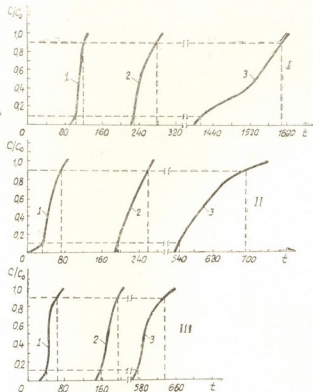


Рис. 2. Выходные кривые сорбции лантана на карбонатных формах анионитов АВ-17 (а), АВ-16 (б) и ЭДЭ-10 (с) при различных скоростях потока хроматографируемого раствора (v): I—v = 1 мл/мин; II—v=5 мл/мин; III—v=10 мл/мин

По данным рис. 1—3 исследовалась зависимость длины фронта выходной кривой ( $\lambda t$ ) от скорости потока хроматографируемого раствора ( $v$ ), т. е.

$$\lambda t = f(v). \quad (1)$$

Длина фронта выходной кривой определялась по формуле

$$\lambda t = T'' - T', \quad (2)$$

где  $T''$ ,  $T'$  — времена, соответствующие появлению на выходе колонки концентраций  $C_{\text{min}}$  и  $(C_0 - C_{\text{min}})$  соответственно;  $C_0$  — концентрация по- даваемого в колонку раствора;  $C_{\text{min}}$  — относительная минимальная про- скоковая концентрация, определяемая данным методом анализа.

В таблице приведены рассчитанные по выходным кривым (1—3) величины  $\lambda t$  для различных скоростей потока хроматографируемого раствора. За величину  $C_{\text{min}}$  условно взято значение  $c/C_0 = 0,05$ .

Размывание фронта выходных кривых сорбции металлов ( $\lambda t$ ) на карбонатных формах анионитов АВ-17, АВ-16 и ЭДЭ-10 при различных скоростях потока хроматографируемым раствором (v)

Металлы	Аниониты									
	АВ-17			АВ-16			ЭДЭ-10			
	Значения v при различных скоростях потока хроматографируемым раствором, мл/мин									
	1	5	10	1	5	10	1	5	10	
Sc	300	50	20	384	90	24	114	20	14	
Y	162	40	16	144	40	40	60	40	24	
La	154	60	46	240	60	20	150	30	26	

На основе теории динамики осадочной сорбции [2] уравнение выходной кривой можно записать в виде

$$C(l, t) = C_0 e^{-\alpha(l-vt)}, \quad (3)$$

где  $l$  — длина колонки;  $v$  — скорость движения фронта сорбции, равная  $\frac{u}{1+q_0/C_0}$ ;  $\gamma$  — кинетический коэффициент осадочной сорбции,  $\alpha = \frac{\gamma_1}{u} (1+C_0/q_0)$ ;  $q_0$  — емкость сорбента по сорбируемому металлу.

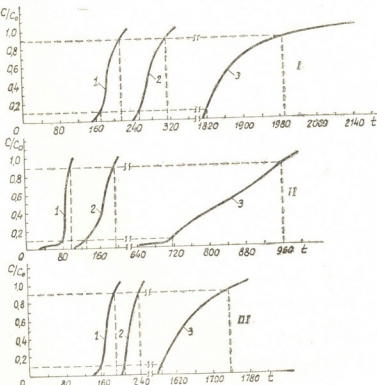


Рис. 3. Выходные кривые сорбции аттрия на карбонатных формах анионитов АВ-17 (а), АВ-16 (б) и ЭДЭ-10 (с) при различных скоростях потока хроматографируемого раствора (v): I—v=1 мл/мин; II—v=5 мл/мин; III—v=10 мл/мин

Записав уравнение (3) для  $(C_0 - C_{min})$  и  $C_{min}$  и поделив полученные выражения, после логарифмирования получим

$$\lambda t = T'' - T' = \frac{q_0}{\gamma C_0} \ln \left( \frac{C_0}{C_{\min}} - 1 \right), \quad (4)$$

т. е. длина фронта выходной кривой в стационарном процессе обратно пропорциональна скорости потока фильтруемого раствора.

Анализ зависимости  $\lambda t = f(u)$  показал, что в нашем случае длина фронта выходной кривой  $\lambda t$  приближенно обратно пропорциональна скорости потока (см. таблицу).

В соответствии с теоретическими зависимостями (4) и данными работы [1] это означает, что размывание фронта выходной кривой определяется равновесными и гидродинамическими факторами и не зависит от скорости внешней и внутренней диффузии.

Грузинский политехнический институт

им. В. И. Ленина

(Поступило 30.11.1979)

ანალიზური ქიმია

ქ. მრისთავი, ლ. კაშაკაშვილი

ძრომატოგრაფიული ხსნარის სიჩარის გავლენა სკანდიუმის, იტრიუმის და ლანთანიტის სორბციაზე, AB-17, AB-16 და ედე-10 ანიონიტების  $\text{CO}_3$  ფორმაზე

რეზიუმე

შესწავლითა ქრომატოგრაფიული ხსნარის სიჩარის გავლენა სკანდიუმის, იტრიუმის და ლანთანიტის სორბციაზე, AB-17, AB-16 და ედე-10 ანიონიტების ფარბონატულ ფორმაზე.

გამოკვლეულ იქნა გამოსავალი მრუდის ფრონტის სიგრძის ( $\lambda t$ ) დამოკიდებულება ქრომატოგრაფიული ხსნარის ნაკადის სიჩარეზე ( $u$ ).

დაგენილია, რომ  $\lambda t$  დაახლოებით უკუბროპორციულია ა-სი.

დალექციით სორბციის დინამიკის თეორიისთვის დაკავშირებით ეს დამოკიდებულება ნაშნავს იმას, რომ გამოსავალი მრუდის ფრონტის გადარეცხვა განისაზღვრება წონასწორული და ჰიდროდინამიკური ფაქტორებით და არ არის დამოკიდებული შიგა და გარე დიფუზიის სიჩარეზე.

ANALYTICAL CHEMISTRY

V. D. ERISTAVI, L. L. KASHAKASHVILI

## THE EFFECT OF FLOW RATE OF CHROMATOGRAPHIC SOLUTION UPON SCANDIUM, YTTRIUM AND LANTHANUM SORPTION ON ANIONITES AB-17, AB-16 AND ედე-10 IN $\text{CO}_3$ -FORM

*Summary*

The effect of the flow rate of chromatographic solution upon scandium, yttrium and lanthanum sorption on anionites AB-17, AB-16 and ედე-10 in  $\text{CO}_3$ -form has been studied. The dependence of the length of the outlet curve front  $\lambda t$  upon the flow rate of chromatographic solution  $u$  has been analysed,  $\lambda t$  being approximately inversely proportional to  $u$ . According to the theory of sedimentary sorption dynamics this means that the wash-out of outlet curve front is determined by equilibrium and hydrodynamic factors and does not depend upon the external and internal diffusion rate.

### ლიტერატურა — REFERENCES

1. В. Д. Эристави, Л. Л. Кашакашвили, А. Г. Данелия, Н. А. Куциашвили. Сообщения АН ГССР, 77, № 2, 1975, 357—360.
2. В. Д. Эристави, В. С. Голубев, К. М. Ольшанова, М. Г. Мгалоблишвили, Р. А. Кекелия. Труды ГПИ им. В. И. Ленина, № 3 (167), 1974, 34.



ОРГАНИЧЕСКАЯ ХИМИЯ

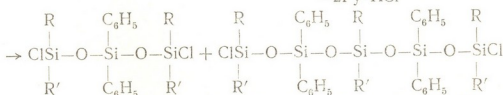
Н. А. КОЯВА, О. В. МУКВАНИАНИ, Л. М. ХАНАНАШВИЛИ,  
 Г. Ш. КУТАТЕЛАДЗЕ

ПОЛИФУНКЦИОНАЛЬНЫЕ ОРГАНОХЛОРСИЛОКСАНЫ  
 ЛИНЕЙНОГО СТРОЕНИЯ

(Представлено академиком Л. Д. Меликадзе 5.10.1979)

Синтез линейных полифункциональных органохлорсилоксанов в настоящее время осуществляют реакцией гидролитической соконденсации диорганодихлорсиланов с органотрихлорсиланами [1] или частичным гидролизом органотрихлорсиланов [2]. Однако при гидролизе получаются органосилоксаны с статистическим расположением функциональных групп в силоксановой цепи и выход индивидуальных органохлорсилоксанов мал.

С целью получения полифункциональных органохлорсилоксанов с регулярным расположением атомов хлора в силоксановой цепи нами проведена реакция гетерофункциональной конденсации (ГФК) дифенилсиландиола с органоди- и органотрихлорсиланами с соотношением компонентов 1:2. Реакция проводилась в присутствии акцептора соляной кислоты — пиридина по следующей схеме:



где: R=ClC<sub>6</sub>H<sub>4</sub>, R'=Cl (Ia, IIб); R=ClC<sub>6</sub>H<sub>4</sub>C<sub>2</sub>H<sub>4</sub>, R'=Cl (IIIa, IVб); R=-CH=CH<sub>2</sub>, R'=Cl (Va, VIб); R=CH<sub>3</sub>, R'=H (VIIa, VIIIб); R=CH<sub>3</sub>, R'=ClCH<sub>2</sub> (IXa, Xб); R=ClCH<sub>2</sub>, R'=Cl (XIa, XIIб).

Реакция ГФК осуществлялась при комнатной температуре в среде абсолютного толуола, при этом реакция сопровождалась выделением тепла. Выделенные продукты были разогнаны в вакууме. Получены вязкие прозрачные или светло-желтые продукты, растворимые в органических растворителях. Продукты идентифицированы с помощью функционального и элементного анализа и определением молекулярной массы, а строение их подтверждено ИК- и ПМР-спектрами.

В ИК-спектрах полученных соединений найдены полосы поглощения, характерные для симметричных колебаний связей Si—Cl в области 530 cm<sup>-1</sup>, для связей Si—Cap в области 1000, 1435 cm<sup>-1</sup>, а также полосы поглощения, характерные для монозамещенного бензольного кольца при 700, 720 cm<sup>-1</sup> и бензольного кольца в области 1600, 3030 см. Полосы поглощения в области 1275, 1412 cm<sup>-1</sup> относятся к колебаниям связи Si—CH<sub>3</sub>.

Обнаружены полосы поглощения для антисимметричных валентных колебаний связи Si—O—Si в области 1070—1100 cm<sup>-1</sup>. Полосы поглощения в области 2800—2900 cm<sup>-1</sup> характерны для симметричных валентных колебаний групп —CH<sub>2</sub>. ИК-спектры снимались на приборе UR-20.

Таблица 1  
 Физико-химические данные органохлорсилоксанов

№ соединения	T кип., °C	P мм рт. ст.	M в/н	Найдено, %				Брутто-формула	Вычислено, %				$\frac{HCl_3}{H_2O} : \frac{H_2SiCl_3}{H_2O}$	Выход, %
				C	H	Si	Cl		C	H	Si	Cl		
I	235—240	$8 \times 10^{-3}$	$\frac{635}{611}$	45,72	2,15	13,35	32,95	$C_{21}H_{18}Si_3O_2Cl_9$	45,35	2,83	13,22	33,51	—	70,12
II	270—275	$8 \times 10^{-3}$	$\frac{953}{927}$	52,65	3,18	14,72	22,51	$C_{15}H_{22}Si_3O_4Cl_5$	52,88	3,35	14,69	22,35	—	18,2
III	235—240	$6 \times 10^{-3}$	$\frac{691}{625}$	48,17	3,18	12,51	30,62	$C_{20}H_{22}Si_2O_3Cl_4$	48,62	3,76	12,15	30,52	$\frac{1,00}{1,00} ; \frac{2,25}{2,30}$	65,2
IV	275—285	$6 \times 10^{-3}$	$\frac{1078}{1092}$	53,21	4,71	12,11	26,13	$C_{18}H_{44}Si_2O_4Cl_8$	53,43	4,08	12,93	26,34	$\frac{1,00}{1,00} ; \frac{2,66}{2,70}$	12,5
V	145—150	$6 \times 10^{-3}$	$\frac{466}{431}$	54,75	4,41	18,15	30,57	$C_{16}H_{38}Si_2O_2Cl_4$	55,17	4,26	18,32	30,47	$\frac{1,00}{1,00} ; \frac{1,66}{1,66}$	59,3
VI	195—205	$6 \times 10^{-3}$	$\frac{770,5}{712}$	46,12	3,87	18,52	23,17	$C_{30}H_{28}Si_2O_4Cl_5$	46,72	3,76	18,17	23,04	$\frac{1,00}{1,00} ; \frac{2,22}{2,30}$	33,6
VII	190—195	$8 \times 10^{-3}$	$\frac{373}{392}$	45,17	4,72	22,11	19,43	$C_{32}H_{18}Si_2O_2Cl_2$	45,04	4,82	22,52	19,03	$\frac{1,00}{1,00} ; \frac{1,66}{1,66}$	64,3
VIII	235—237	$8 \times 10^{-3}$	$\frac{631}{660}$	50,95	5,11	22,31	11,72	$C_{27}H_{32}Si_2O_2Cl_2$	51,34	5,07	22,18	11,25	—	21,3

Продолжение таблицы 1

## Физико-химические данные органохлорсилоксанов

№ реакции	T кип., °C	P mm рт. ст.	M в/n	Найдено, %				Брутто-формула	Вычислено, %				$\frac{^{11}\text{CH}_3}{^{12}\text{CH}_3} : \frac{^{13}\text{C}_6\text{H}_5}{^{12}\text{C}_6\text{H}_5}$	Выход, %
				C	H	Si	Cl		C	H	Si	Cl		
IX	180—183	$8 \times 10^{-3}$	$\frac{470}{481}$	40,78	4,23	17,57	30,31	$\text{C}_{10}\text{H}_{20}\text{Si}_2\text{O}_2\text{Cl}_4$	40,85	4,25	17,87	30,21	$\frac{1,00}{1,00} : \frac{1,00}{1,00}$	56,3
X	235—240	$8 \times 10^{-3}$	$\frac{775,5}{740}$	46,21	4,62	17,91	22,37	$\text{C}_{10}\text{H}_{20}\text{Si}_2\text{O}_2\text{Cl}_3$	46,36	4,50	18,02	22,85	$\frac{1,00}{1,00} : \frac{1,33}{1,36}$	34,7
XI	178—185	$8,6 \times 10^{-3}$	$\frac{511}{530}$	32,61	2,92	16,73	41,54	$\text{C}_{10}\text{H}_{14}\text{Si}_2\text{O}_2\text{Cl}_4$	32,87	2,73	16,43	41,68	$\frac{1,00}{1,00} : \frac{2,5}{2,48}$	57,1
XII	220—225	$8,6 \times 10^{-3}$	$\frac{838}{850}$	38,51	3,24	16,68	34,00	$\text{C}_{12}\text{H}_{28}\text{Si}_2\text{O}_4\text{Cl}_6$	38,66	3,10	16,70	33,89	$\frac{1,00}{1,00} : \frac{3,33}{3,33}$	35,2

В ПМР-спектрах хорошо совпадают рассчитанные и вычисленные соотношения метильных и фенильных протонов.

В ПМР-спектре соединения (V) спектр фрагмента  $-\text{CH}=\text{CH}_2$  характерен для системы  $\text{AB}_2$  при  $T/\gamma_0 s \approx 1,333$  [3]. В спектре наблюдается мультиплет с максимумом в области 6 м. д. (рис. 1).

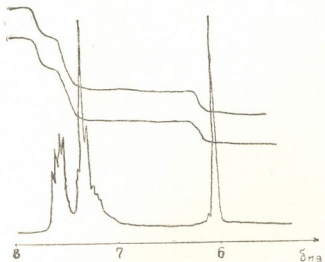


Рис. 1. ПМР-спектр

1,1,5,5-тетрахлор-1,5-дивинил-  
3,3-дифенил-трицикло[1.1.1]октан

Физико-химические данные и элементный анализ полученных соединений представлены в таблице.

Тбилисский государственный университет

(Поступило 2.11.1979)

ორგანული ქიმია

ნ. კოავა, მ. მუქბანიანი, ლ. ხაჩათუაძე, გ. ჭავათოლაძე  
ნაზოვანი აგენტურის კოლიცუნდციონალური  
ორგანოქლორიდისა და ალიკარბონიკური კონდინიციური

რეზიუმე

დიოქსიდიფენილის ჰეტეროფუნქციონალური კონდენსაციის რეაქ-  
ციით დიორგანოდიქლორ- და ორგანოტრიქლორსილონებთან ქცევტორ პირი-  
დინის თანაბიძისას მიღებულია ახალი ორგანოქლორსილოქსანები ქლორის  
ატომების რეგულარული განლავებით სილიქსანურ ჯაჭვში.

ORGANIC CHEMISTRY

N. A. KOJAVA, O. V. MUKBANIANI, L. M. KHANANASHVILI,  
G. Sh. KUTATELADZE

### POLYFUNCTIONAL ORGANOCHLOROSILOXANES OF LINEAR STRUCTURE

#### Summary

New organochlorosiloxanes with a regular arrangement of chlorine atoms in the siloxane ring were obtained by the reaction of heterofunctional condensation of dioxydiphenylsilane with diorganodichlor-, organotrichlorosilanes in the presence of pyridine.

#### ЛІТЕРАТУРА — REFERENCES

1. К. А. Андрианов. Методы элементоорганической химии. М., 1968, 557.
2. К. А. Андрианов, В. Н. Емельянов, В. И. Троеко. ДАН СССР, 185, 1969, 327.
3. Дж. Эмели, Дж. Финей, Л. Сатклиф. Спектроскопия ЯМР высокого разрешения, т. 1. М., 1968, 303.



ФИЗИЧЕСКАЯ ХИМИЯ

Г. В. ЦИЦИШВИЛИ (академик АН ГССР), М. К. ЧАРКВИАНИ,  
 П. М. НАНИКАШВИЛИ

О КРИСТАЛЛИЗАЦИИ ШАБАЗИТОВОЙ ФАЗЫ В ПРИСУТСТВИИ  
 ИОНОВ ТЕТРАМЕТИЛАММОНИЯ

Первый успешный синтез шабазита был осуществлен Баррером [1]. Позднее было получено несколько разновидностей искусственного шабазита: натрийсодержащий, калийсодержащий и натрийкалиевый [1—3].

В литературе описан синтез шабазита из гелей, содержащих одновременно натрий, калий и тетраметиламмоний [4]. Однако в этом случае шабазитовая фаза никогда не получается в чистом виде. При этом оставался невыясненным вопрос, входит ли ион  $(\text{CH}_3)_4\text{N}^+$  в структуру шабазита [4].

Целью настоящего исследования было выяснение возможности контроля процесса кристаллизации шабазита по ИК-спектрам твердой фазы, периодически извлекаемой из реактора, а также выявление роли иона  $(\text{CH}_3)_4\text{N}^+$  в процессе кристаллизации.

Для синтеза шабазита применялись реагенты высокой частоты. В качестве источника  $\text{SiO}_2$  использовался силикагель фирмы «Хемапол» (ЧССР). Алюминат натрия получался растворением металлического алюминия высокой чистоты в растворе  $\text{NaOH}$ .  $(\text{CH}_3)_4\text{NCl}$  содержал основное вещество в количестве, превышающем 99%.

Реакционная смесь после тщательной гомогенизации в течение 6 часов с помощью магнитной мешалки заливалась в плотно закрывающийся фторопластовый реактор, который помещался в печь при температуре  $84 \pm 3^\circ\text{C}$ . Периодически производилось извлечение проб твердой фазы из реактора. После промывки проб в дистиллированной воде и сушки при  $100$ — $120^\circ\text{C}$  они прессовались в таблетки с КВг в соотношении 1,5/800 мг.

Таблица 1

Состав реакционных смесей при синтезах шабазита

Реагент	Число молей		
	I серия опытов	II серия опытов	III серия опытов
$\text{Na}_2\text{O}$	9,40	6,68	6,68
$\text{K}_2\text{O}$	2,75	2,26	2,26
$[(\text{CH}_3)_4\text{N}]_2\text{O}$	1,30	0,16	—
$\text{SiO}_2$	21,07	17,45	17,45
$\text{Al}_2\text{O}_3$	1,00	1,00	1,00
$\text{H}_2\text{O}$	470,0	276,0	276,0

Количественное определение входящих в состав шабазита щелочных металлов производилось методом атомно-абсорбционной спектрофотометрии.  $\text{SiO}_2$  и  $\text{Al}_2\text{O}_3$  определялись весовым методом.

Соотношение реагентов в пересчете на окислы при синтезах шабазита приведено в табл. 1.

Состав реагирующей смеси III серии опытов отличается от такового второй серии лишь отсутствием  $(\text{CH}_3)_4\text{N}^+$ . В результате кристаллизации в течение 7 суток во всех случаях получены кристаллические порошки высокой дисперсности. Порошковые рентгенограммы, полученные для продуктов, синтезированных в первых двух сериях, с большой точностью совпадают с дебаеграммой синтетического цеолита D (табл. 2), представляющего собой Na, K-шабазит [1]. С такой же вы-

Таблица 2  
Порошковые рентгенограммы синтетических шабазитов

Образец № 2, синтезированный нами	Натрийкалиевый шабазит D [1]			
	Межплоскостные расстояния $d$ , Å	Относительные интенсивности, I	Межплоскостные расстояния $d$ , Å	Относительные интенсивности, I
9,46		60	9,42	66
6,87		15	6,89	67
5,60		12	5,59	15
5,03		22	5,03	62
4,327		60	4,33	62
3,897		18	3,89	23
			3,60	12
3,514		9	3,45	39
3,231		20	3,19	15
2,933		100	2,94	100
2,598		22	2,61	38
2,508		8		
2,301		18	2,30	16
2,092		15	2,09	22
1,814		30	1,81	29
1,728		20	1,73	23

ской точностью совпадают ИК-спектры полученных образцов в области частот колебаний Si—O—Si(Al) каркаса (рис. 1, кривая 6) со

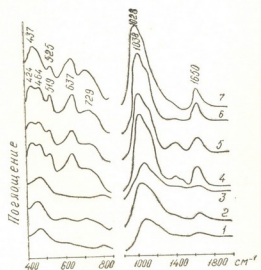


Рис. 1. ИК-спектры твердой фазы, извлеченной из реактора в процессе синтеза шабазита: 1 — после смешения реагентов; 2 — после введения  $(\text{CH}_3)_4\text{N}^+$ ; 3 — спустя 6 часов после начала кристаллизации; 4 — спустя 17 часов; 5 — спустя 42 часа; 6 — спустя 168 часов; 7 — образца, полученного из смеси, не содержащей иона  $(\text{CH}_3)_4\text{N}^+$

спектрами, приведенными в литературе [5]. Все это свидетельствует о высокой степениmonoфазности полученных образцов Na, K-шабазита в первых двух сериях опытов.

Следует отметить, что составы реагирующих смесей в наших опытах существенно отличаются от таковых цеолита D [1].

Данные химического анализа синтезированного нами шабазита со-  
поставлены с соответствующими данными для цеолита D [1] в табл. 3.

Таблица 3

Данные химического анализа для синтетических шабазитов

Тип шабазита	Состав цеолита, моль/Al <sub>2</sub> O <sub>3</sub>				
	Na <sub>2</sub> O	K <sub>2</sub> O	SiO <sub>2</sub>	Al <sub>2</sub> O <sub>3</sub>	H <sub>2</sub> O
Образец № 2, получен- ный нами	0,34	0,63	4,23	1,00	5,62
Цеолит D [1]	0,5	0,5	4,8	1,0	6,7

Продукты кристаллизации, полученные в третьей серии опытов, резко отличаются от цеолитов, полученных в первых двух сериях. В табл. 4 приводятся наиболее интенсивные линии в рентгенограммах образцов третьей серии. Хотя и в этом случае наблюдается несколько слабых линий, характерных для Na, K-шабазитов, тем не менее пре-  
обладающая часть более сильных линий относится к другому синтети-  
ческому Na, K-цеолиту — ZK-19 типа филлипсита [1] (см. табл. 4).

Таблица 4

Наиболее сильные линии в порошковой рентгенограмме для образцов  
третьей серии

Образцы, синтезированные нами в третьей серии	Филлипсит типа ZK-19 [1]			Примечание
	Межплоскост- ные расстояния <i>d</i> , Å	Относительные интенсивности, <i>I</i>	Межплоскост- ные расстояния <i>d</i> , Å	Относитель- ные интен- сивности, <i>I</i>
9,46	8	—	—	9,46 Å—линия шабазита
7,08	30	7,13	88	—
4,99	30	4,98	34	—
4,34	20*	4,29	12	4,33 Å—линия шабазита
4,03	20*	4,08	26	—
3,510	15	—	—	3,51 Å—линия шабазита
3,193	100	3,18	100	—
2,938	60	2,94	30	2,93 Å—линия шабазита
2,696	30	2,685	31	—

\* Широкие сливающиеся линии.

ИК-спектр образцов третьей серии также проявляет большое сход-  
ство со спектром, описанным в литературе для синтетического фил-  
липсита-цеолита W [5], хотя в нем дополнительно имеются и слабые  
полосы шабазита (рис. 1, кривая 7).

Как видно из приведенных данных (табл. 4), ион (CH<sub>3</sub>)<sub>4</sub>N<sup>+</sup> оказы-  
вает большое влияние на направление кристаллизации реагирующих  
алюмосиликатных гелей, хотя при этом он может и не входить в со-  
став получающихся цеолитов. В частности, в ИК-спектрах полученных

нами шабазита и смеси филлипсита с шабазитом (рис. 1, кривые 6 и 7) практически нет полосы тетраметиламмония в области 1480—1500 см<sup>-1</sup>, что свидетельствует об отсутствии сколько-нибудь значительных количеств этого иона в составе цеолитов.

Характерные для шабазита ИК-полосы поглощения в области частот колебаний Si—O—Si (Al) каркаса 424, 464, 519 и 637 см<sup>-1</sup> впервые появляются в спектре пробы, извлеченной из реактора по прошествии 17 часов от начала кристаллизации. Последующая выдержка реакционной смеси при температуре 84°C не ведет к каким-либо заметным изменениям в ИК-спектре (рис. 1).

Образование шабазитовой фазы в реакционной смеси вполне однозначно идентифицируется по ИК-спектрам, что подтверждено проведенным параллельно рентгеновским фазовым анализом.

Академия наук Грузинской ССР

Институт физической и

органической химии

им. П. Г. Меликишвили

(Поступило 30.11.1979)

ФИЗИКАЛЬНЫЕ СВОЙСТВА

გ. ციციშვილი (საქ. სსრ მეცნ. ეკოლოგიური და ჩართვიანი,  
ზ. ნანიაშვილი

უაგაზიტის ფაზის კრისტალიზაციის უსახებ ტეტრამეთილ-  
ამონიუმის იონების თანაობისას

რეზიუმე

ნაჩვენებია, რომ სარეაქციო ნარევში  $(CH_3)_4N^+$  იონის არსებობა ხელს უწყობს შაბაზიტის კრისტალიზაციას, თუმცა იგი ჭარმოქმნილი ცეოლითის კრისტალური მესრის შემადგენლობაში არ შედის. აღნიშნული კათონინის გარეშე იგივე შემადგენლობის სარეაქციო ნარევებიდან მიღება ძირითადად ფალიბსიტი.

#### PHYSICAL CHEMISTRY

G. V. TSITSISHVILI, M. K. CHARKVIANI, P. M. NANIKASHVILI

ON THE CHABAZITE PHASE CRYSTALLIZATION IN THE PRESENCE  
OF TETRAMETHYLAMMONIUM IONS

Summary

The presence of  $(CH_3)_4N^+$  ion in the reaction mixture was found to favour crystallization of chabazite, the latter being practically absent in the crystalline lattice of the obtained zeolite. Without the given cation mixtures of similar content yield mainly phillipsite.

#### СПИСОК ЛИТЕРАТУРЫ — REFERENCES

- Д. Б рек. Цеолитовые молекулярные сита. М., 1976.
- С. П. Жданов, Н. Н. Бунтарь. Сб. «Синтетические цеолиты». М., 1962, 105—116.
- С. П. Жданов, Н. Н. Бунтарь-Самулович, М. Е. Овсепян. ДАН СССР, 161, 2, 1965, 384—387.
- R. Aiello, R. M. Barrer. J. Chem. Soc. A, 9, 1970. 1470-1475.
- E. M. Flanigen, H. Khatami, H. A. Szymanski. Adv. Chem. Ser. Amer. Chem. Soc., Washington, D. C., 101, 1971, 201-229.

## ФИЗИЧЕСКАЯ ХИМИЯ

Е. М. НАНОБАШВИЛИ, М. В. ПАНЧВИДЗЕ, Е. О. СВАНИДЗЕ

### РАДИОЛИЗ ГЛУТАТИОНА

(Представлено академиком Р. И. Агладзе 20.9.1979)

Исследование радиолиза полифункциональных биологически активных соединений представляет большой научный и практический интерес с радиационно-химической и биологической точек зрения, ввиду их большой реакционной способности в поле излучения.

Среди них особого внимания заслуживает трипептид глутатиона, принимающий активное участие в разнообразных процессах жизнедеятельности низших и высших организмов. Трипептид глутатиона, являющийся  $\gamma$ -глутамилцистеинилглицином, содержит карбоксильную, аминогруппу и сульфидильную функциональные группы, что наделяет его рядом специфических свойств.

Согласно литературным данным, при действии излучения высоких энергий на водные растворы глутатиона имеет место окисление сульфидильных групп, которое с ростом дозы увеличивается. Было замечено, что окисляемость сульфидильных групп в воздушной среде увеличивается, тогда как в атмосфере азота протекает менее интенсивно. Причем, в обоих случаях в качестве стабильного продукта радиационно-химического окисления является дисульфид.

Примечательно, что при действии излучения на окисленную форму глутатиона не наблюдалось восстановления дисульфида [1, 2].

В работах Хенриксена [3—6] сделана попытка провести исследование спектров ЭПР глутатиона. Показано, что в случае радиолиза глутатиона цистиновый сигнал ЭПР образуется при 300К, причем его интенсивность увеличивается при тепловой обработке образца.

В [7] установлено, что  $\gamma$ -облученный глутатион при 77К дает тройной сигнал ЭПР с соотношением интенсивностей компонент 1:2:1. По мнению авторов, этот сигнал может быть обусловлен свободным радикалом  $RCH_2S$ , возникающим при отрыве атома водорода.

Однако ряд вопросов радиационно-химического поведения глутатиона остается нерешенным, что и явилось предпосылкой данного исследования, посвященного изучению радикальных и стабильных продуктов радиолиза указанного соединения.

Исследование проведено методами электронного парамагнитного резонанса [8], потенциометрического и амперометрического титрований [9], колориметрии [10] и др.

Согласно полученным данным, спектр ЭПР, облученного дозой  $\sim 1$  Мрад поликристаллического глутатиона при 77К, представляет собой тройной с расщеплением 20 Гц, соотношением интенсивностей 1:2:1 и с g-фактором 2,004, близким к g-фактору свободного электрона (рис. 1а). Спектр обусловлен взаимодействием неспаренного электрона с двумя эквивалентными протонами в радикале, образующемся в результате отрыва атома водорода от метиленовых групп глутатиона. Радиационно-химический выход соответствует 1 радикал/100 эв.

С ростом дозы общий вид спектра не изменяется, однако, при дозах  $\geq 10$  Мрад в спектре появляется дополнительная линия с  $g$ -фактором 2,05, принадлежащая тиильному радикалу  $RS$  (рис. 1б). Образование тиильного радикала подтверждается также данными графического вычитания спектра 1а из спектра 1б, в результате чего остается характерный спектр радикала  $RS$  (рис. 2а). Разогрев облученного об-

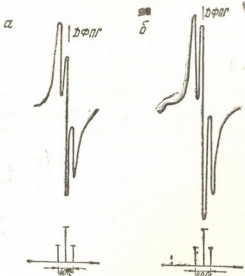


Рис. 1. Спектры ЭПР облученного поликристаллического глутатиона:  
а— $D=1$  Мрад, б— $D=10$  Мрад

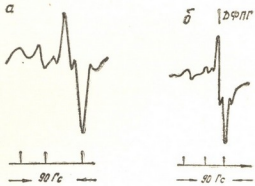


Рис. 2. Спектры ЭПР глутатиона: а—полученный в результате графического вычитания спектра (1а) из спектра (1б), б— $D=1$  Мрад, 295 К

раза до 240 К вызывает исчезновение триплета. Остающийся спектр аналогичен спектру ЭПР, облученного дозой  $\sim 1$  Мрад глутатиона при комнатной температуре. Спектр представляет собой асимметричную структуру с полной шириной 90 Гц и тремя главными значениями  $g$ -фактора:  $g_1=2,05$ ,  $g_2=2,025$  и  $g_3=2,00$  (рис. 2б). Спектр полностью соответствует параметрам спектра ЭПР тиильного радикала [11].

Следует отметить, что при дозах  $< 1$  Мрад преимущественно образуются ионные парамагнитные центры.

Аналогичные результаты получены при облучении насыщенного водного раствора глутатиона.

Спектр имеет сложный вид, являясь суперпозицией спектров, относящихся к тиильному (пунктирные линии) и углеводородному (сплошные линии) радикалам (рис. 3а). Действительно, в результате графического вычитания из указанного спектра спектра тиильного радикала остается трехлинейчатый спектр с расщеплением 20 Гц и биномиальным соотношением интенсивностей (рис. 3б), принадлежащий радикалу углеводородного типа. Радикал, по-видимому, образуется отрывом атома водорода от метиленовой группы остатка глутаминовой кислоты.

Исследование радиационно-химического превращения водных растворов глутатиона показало, что при облучении имеют место значительные превращения сульфидильной, амино- и карбоксильной функциональных групп.

Так например, в 0,013М водном растворе глутатиона в интервале доз  $1 \cdot 10^{19}$ — $2,5 \cdot 10^{20}$  эв/мл около 84% сульфидрильных групп окисляется с выходом  $G(-SH) = 1,8$  с образованием соответствующего дисульфида, а в результате превращения аминогруппы образуется аммиак с выходом 0,3 молекул/100 эв (рис. 4).

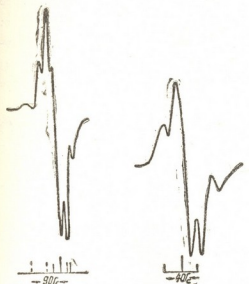
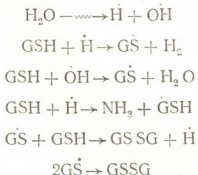


Рис. 3. Спектр ЭПР, облученного дозой 1 Мрад, насыщенного водного раствора глутатиона при 77 К (а) и спектр углеводородного радикала, полученный графическим вычитанием спектра 2б из спектра За (б).

Данные по изменению кислотности раствора глутатиона показывают, что выход превращения карбоксильной группы  $G(-COOH) = 1,1$ .

На основании полученных данных можно предположить следующий механизм радиационно-химического превращения глутатиона:



Применение метода стационарных концентраций для радиационно-химического выхода превращения глутатиона показывает, что экспериментальные и рассчитанные значения выходов находятся в согласии друг с другом.

Академия наук Грузинской ССР  
 Институт неорганической химии  
 и электрохимии

(Поступило 20.9.1979)

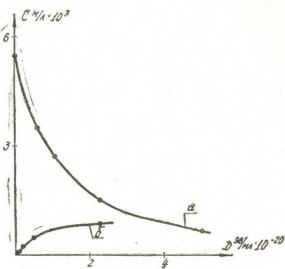


Рис. 4. Радиационно-химическое превращение глутатиона: а—убыль сульфидрильной группы, б—накопление аммиака

9. სანოგაზვილი, გ. ფარევიძე, ე. ცვალიძე

### გლუტათიონის რადიოლიზი

რეზიუმე

შესწავლილია გლუტათიონის რადიოლიზი ინდივიდუალურ მდგომარეობაში და სხვადასხვა სისტემაში. ელექტრონული პარამაგნიტური რეზონანსის მეთოდის გამოყენებით იღენტიფიცირებულია რადიკალური პროდუქტები: თიოლისა და ალკილის რადიკალები, რომლებიც წარმოიქმნებიან მაღალი დოზებით დასხივებისას, და ონცური პარამაგნიტური ცენტრები, რომლებიც მიიღება დაბალ დოზებზე ( $\leq 1$  რიადი). ანალოგიური შედეგებია მიღებული ნაფრი წყალსნარის რადიოლიზისას.

გლუტათიონის რადიალურ-ქიმიური გარდაქმნის ძირითად სტაბილურ პროდუქტებს წარჩოალეგენ დასულფიდი და ამონიაკი, რომლებიც წარმოიქმნებიან სულფილრილური და ამინოგვეფების გარდაქმნის შედეგად.

მიღებული შედეგების საფუძველზე მოწოდებულია გლუტათიონის რადიოლიზის მექანიზმი.

### PHYSICAL CHEMISTRY

E. M. NANOBASHVILI, M. V. PANCHVIDZE, E. O. SVANIDZE

### RADIOLYSIS OF GLUTATHIONE

Summary

The radiolysis of glutathione has been studied in individual state and in various systems, and the basic regularities of the processes involved have been established.

Using the EPR method, radical products of glutathione radiolysis in individual state were identified: thiyl and alkyl radicals, formed under exposure to large doses, and ionic paramagnetic centres, predominantly originating at small doses of irradiation. Similar data were obtained from a study of a saturated aqueous solution of glutathione.

Disulphide and ammonia constitute the main stable products of radiation-chemical transformation of glutathione. These products are formed as a result of transformation of sulphhydryl and amino groups, respectively.

The possible mechanism of glutathione radiolysis is discussed on the basis of the present findings.

### ლიტერატურა — REFERENCES

1. E. Barron, S. Dickman. J. Gen. Phys., 32, 1949, 595.
2. E. Barron, V. Flood. J. Gen. Phys., 33, 1950, 229.
3. T. Hengstenberg. J. Chem. Phys., 37, 1962, 2189.
4. T. Henriksen. Свободные радикалы в биологических системах. М., 1963, 327.
5. T. Hengstenberg. Nature, 186, 1960, 307.
6. T. Hengstenberg. J. Chem. Phys., 36, 1962, 5.
7. Л. П. Каюшин, К. М. Львов, М. К. Пулатова. Исследование парамагнитных центров облученных белков. М., 1970.
8. В. В. Воеводский, Л. А. Блюменфельд, А. Г. Семенов. Применение ЭПР в химии. Новосибирск, 1962.
9. П. Ромовачек, П. Беднарж. Палива, 38, 1958, 1960.
10. Колориметрические методы определения неметаллов. М., 1963, 69.
11. Е. М. Нанобашвили, А. Д. Бичиашвили. Радиолиз сернистых соединений, ч. III. Тбилиси, 1973.

ФИЗИЧЕСКАЯ ХИМИЯ

Г. Н. ЗВИАДАДЗЕ, С. Н. БУСОВ, Б. Э. ДЗЕВИЦКИЙ, Б. П. ДЫМОВ,  
Г. А. СКОРОБОГАТОВ

КИНЕТИКО-СПЕКТРОСКОПИЧЕСКОЕ ИССЛЕДОВАНИЕ  
ГАЗОФАЗНОГО ВОССТАНОВЛЕНИЯ ВОДОРОДОМ ХЛОРИДА  
ВОЛЬФРАМА

(Представлено академиком Н. А. Ландией 5.9.1979)

Высокая реакционная способность атомов металлов, а также трудности эксперимента с парами металлов являются причиной того, что к настоящему времени нет ни одного металлургического процесса, для которого были бы установлены и количественно исследованы элементарные химические реакции. Наибольшими возможностями при изучении быстропротекающих реакций обладает метод импульсного фотолиза, соединенный с кинетической спектроскопией [1, 2]. В настоящей работе этот метод применен для изучения процесса восстановления водородом гексахлорида вольфрама, а также его хлорокиси.

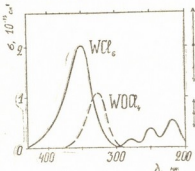
В качестве инициирующего реакцию источника света использовались три импульсные ксеноновые лампы сплошного спектра ИФП-5000, размещенные в трехлепестковом никелированном эллиптическом отражателе. Накопителем энергии служил конденсатор КМК-30—9 ( $C=9$  мкФ,  $L=9,5$  нГн). Низкониндуктивный монтаж обеспечивал длительность световой вспышки (на  $\lambda=500$  нм) 12 мкс по уровню 0,5 при напряжении на батареи 21 кв. Реакционная кварцевая кювета ( $l=300$  мм, внутренний диаметр 18 мм) располагалась по фокусной линии отражателя и могла нагреваться до 190°C потоком воздуха. Очистка веществ путем многократной вакуумной перегонки, а также напуск в кювету осуществлялись в цельнометаллической вакуумной системе, откачиваемой до  $10^{-6}$  торр. Спектры поглощения  $WCl_6$  и  $WOCl_4$  были сняты на спектрофотометре «Perkin Elmer 402» с обогреваемой кюветой (рис. 1).

В качестве спектровспышки использовался разряд во фторопластовом капилляре на воздухе, а накопителем энергии для него служил конденсатор КМК-25—0,5 ( $C=0,5$  мкФ,  $L=18$  нГн). Спектровспышка имеет сплошной спектр в области 200—700 нм с редкими налагающимися линиями от материала электродов. Для  $\lambda=500$  нм длительность светового импульса по уровню 0,5 составляла 2 мкс. Разброс по интенсивности вспышек не превышал 3%. Для получения нормального почернения негатива на фотопленке 250 ед. ГОСТ ( $\lambda=500$  нм) достаточно одного разряда (ширина щели спектрографа ИСП-28 0,015 мм). После измерения почернения негативов на микрофотометре МФ-4 по формуле типа (15) [3] вычислялась концентрация реагентов в реакционной кювете в те моменты времени, в которые подавалась спектровспышка. На рис. 2 представлены кинетические кривые, полученные в результате фотометрирования негативов на длине волны максимального поглощения.

Была изучена также кинетика восстановления гексахлорида вольфрама водородом под действием стационарного источника света. В качестве последнего использовалась лампа с иодным циклом (мощность 1300 вт) с телом свечения линейной геометрии. Стеклянная цилинд-

рическая ампула, прозрачная для излучения с  $\lambda > 300$  нм, заполнялась реагентами и помещалась параллельно баллону иодной лампы, затем температура воздуха в кожухе доводилась до 120°C, после чего включалась иодная лампа.

Рис. 1. Спектр поглощения  $\text{WCl}_6$  и  $\text{WOCl}_4$  в газовой фазе ( $T = 70$ — $170^\circ\text{C}$ ).  
Стрелки на оси ординат указывают нормальную погрешность



чалась иодная лампа. По мере протекания фотолиза в более горячих местах внутри ампулы оседал тетрахлорид  $\text{WCl}_4$ , а в более холодных — пентахлорид  $\text{WCl}_5$ . Кинетика накопления  $\text{WCl}_4$  определялась по поглощению его мелкокристаллического тонкого слоя в диапазоне 400—500 нм, а кинетика накопления  $\text{WCl}_5$  — по поглощению в диапазоне 600—700 нм (рис. 3). Последние точки (при  $t = 10$  мин) на кинетических кривых  $\text{WCl}_4$  и  $\text{WCl}_5$  получены по данным химического анализа. Данные рис. 3 получены в эксперименте на смеси 79 мг  $\text{WCl}_6$  и 74 тор  $\text{H}_2$ . Практически те же данные были получены на смеси 93 мг  $\text{WCl}_6$  + 600 тор  $\text{H}_2$ . Фотолиз в стеклянной ампуле был подвергнут также хлорид вольфрама в отсутствии водорода: при  $t = 10$  мин лишь 1—2% исходного хлорида перешли в смесь примерно равных количеств  $\text{WCl}_4$  и  $\text{WCl}_5$ .

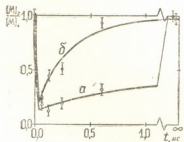


Рис. 2. Кинетические кривые фотолитического выгорания и регенерации вещества  $M$ : а— $M \equiv \text{WCl}_6$  с водородом;  $[M]_0 = 3 \cdot 10^{15}$ ;  $[\text{H}_2]_0 = 3.8 \cdot 10^{18}$  молекул/ $\text{см}^3$ ;  $T = 388 \pm 1^\circ\text{K}$ ; б— $M \equiv \text{WOCl}_4$  без водорода;  $[M]_0 = 2.5 \cdot 10^{16}$ ;  $T = 388 \pm 1^\circ\text{K}$

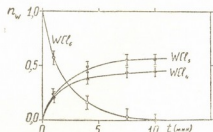
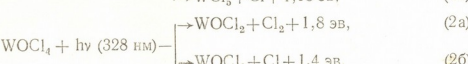
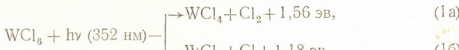


Рис. 3. Кинетические кривые расходования  $\text{WCl}_6$  и накопления  $\text{WCl}_5$ ,  $\text{WCl}_4$  при фотолизе газообразной смеси  $\text{WCl}_6$  (0,1 тор) +  $\text{H}_2$  (74 тор) стационарным источником света с  $\lambda = 300$ — $2000$  нм. Температура  $110$ — $130^\circ\text{C}$

В полосе 300—400 нм можно предположить два механизма фотодиссоциации:



Энергетический эффект процессов (1) и (2) вычислен с использованием данных [4] для энергии диссоциации связей  $\text{WCl}_5$ — $\text{Cl}$  (2,34 эв).

$\text{WCl}_4 - \text{Cl}$  (2,08 эв) и  $\text{Cl} - \text{Cl}$  (2,48 эв). Результаты импульсно-фотохимических экспериментов дают веские указания в пользу механизма (а) и против (б). Действительно, вычисленная из данных рис. 2, б константа скорости ( $k_{\text{WCl}_6}$ ) регенерации оксихлорида вольфрама как из частиц  $\text{WOCl}_2 + \text{Cl}_2$ , так и из частиц  $\text{WOCl}_3 + \text{Cl}$ , равна  $(2,5 \pm 1,0) \cdot 10^{-13} \text{ см}^3/\text{молекул} \cdot \text{с}$ . В пределах погрешностей такой же оказалось константа скорости  $k_{\text{WCl}_6} = (2,1 \pm 1,0) \cdot 10^{-13} \text{ см}^3/\text{молекул} \cdot \text{с}$  регенерации гексахлорида вольфрама, вычисленная из данных рис. 2, а вне зависимости от того, регенерируется ли гексахлорид из частиц  $\text{WCl}_4 + \text{Cl}_2$  или из частиц  $\text{WCl}_5 + \text{Cl}$ . Между тем, кривая (а) на рис. 2 получена в присутствии молекулярного водорода в концентрации  $3,8 \cdot 10^{18} \text{ мол}/\text{см}^3$ , при которой, согласно [5], время  $t_{1/2} = (k_3 [\text{H}_2])^{-1}$  полуисчезновения атомов хлора в реакции

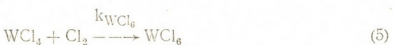


равно 3 мкс. Таким образом, если бы гексахлорид регенерировался из частиц  $\text{WCl}_5 + \text{Cl}$ , то присутствие водорода блокировало бы регенерацию. Этот вывод не изменяется при учете реакции



поскольку, согласно [6],  $k_4(388^\circ\text{K}) = (2,5 \pm 0,5) \cdot 10^{-33} \text{ см}^6/\text{мол}^2 \cdot \text{сек}$ , так что даже в начале регенерации скорость ухода атомарного хлора по каналу (4) на порядок меньше, чем по каналу (3).

Вывод о фотодиссоциации гексахлорида по механизму (1а) и его генерации по механизму

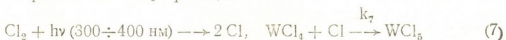


подтверждается данными рис. 3. Действительно, вычисленный поток излучения в полосе поглощения  $\text{WCl}_6$  в условиях эксперимента, соответствующего рис. 3,  $\varphi_{\text{ср}} = (10 \pm 4) \cdot 10^{17} \text{ фотон}/\text{см}^2 \cdot \text{сек}$ , а доза облучения за 120 сек (время половинного расходования  $\text{WCl}_6$  на рис. 3) составляет  $(9 \pm 4) \cdot 10^{21}$  фотонов на всю фотолизную ампулу, откуда для квантового выхода  $\text{WCl}_5$  получается  $K_{\text{эксп}} = (0,3 \pm 0,5)\%$ .

С другой стороны, в стационарных условиях из-за двух быстрых процессов (1а) и (5) устанавливается соотношение

$$[\text{Cl}_2]_{\text{ср}} = [\text{WCl}_4]_{\text{ср}} = \sqrt{\sigma_{\text{WCl}_6} \varphi_{\text{ср}} [\text{WCl}_6]_0 / k_{\text{WCl}_6}}, \quad (6)$$

а скорость образования  $\text{WCl}_5$  в реакциях



равна  $k_7 [\text{Cl}] [\text{WCl}_4]_{\text{ср}} = \sigma_{\text{Cl}_2} \varphi_{\text{ср}} [\text{Cl}_2]_{\text{ср}}$ . Таким образом, теоретический квантовый выход  $\text{WCl}_5$  равен

$$\Phi_{\text{теор}} = \frac{k_7 [\text{Cl}] [\text{WCl}_4]}{k_{\text{WCl}_6} [\text{Cl}_2] [\text{WCl}_4]} = \frac{2 \sigma_{\text{Cl}_2}}{1 + k_3 [\text{H}_2]_0 / k_7 [\text{Cl}_2]_{\text{ср}}} \sqrt{\frac{\varphi_{\text{ср}}}{\sigma_{\text{WCl}_6} k_{\text{WCl}_6} [\text{WCl}_6]_0}}. \quad (8)$$

Для оценочной величины  $k_7 = 10^{-10} \text{ см}^3/\text{молекул} \cdot \text{с}$  значения  $\sigma_{\text{Cl}_2} = 2,5 \cdot 10^{-10} \text{ см}^2$  в полосе шириной 70 нм [7] и значения  $[\text{H}_2]_0 = 2,5 \cdot 10^{18}$

молекул/см<sup>3</sup> из формулы (8) получается  $\Phi_{\text{теор}} = (0,04 \pm 0,02)\%$ , что согласуется с величиной  $\Phi_{\text{эксп}}$ .

Таким образом, полученные в импульсно-фотохимических экспериментах свидетельства в пользу механизма (1а), (2а) и значения

$$k_{\text{WCl}_3} (390 \pm 3^\circ\text{K}) = (2 \pm 1) \cdot 10^{-13} \text{ см}^3/\text{молекул} \cdot \text{с},$$

$$k_{\text{WOCl}_4} (1100 \pm 100^\circ\text{K}) = (2,5 \pm 1) \cdot 10^{-13} \text{ см}^3/\text{молекул} \cdot \text{с}$$

для реакций регенерации, обратных (1а) и (2а) соответственно, подтверждаются стационарно-фотолитическим экспериментом.

Представленные данные показывают, что возбужденные молекулы хлорида металла в среде водорода, как и при отсутствии его, распадаются с отщеплением молекул хлора. Другие элементарные процессы, кроме обратной рекомбинации, не реализуются в силу кинетических факторов. Этот факт имеет фундаментальное значение для понимания кинетики и механизма процессов восстановления водородом.

Академия наук СССР

Институт металлургии

им. 50-летия СССР

(Поступило 29.11.1979)

ФИЗИЧЕСКАЯ ХИМИЯ

ბ. ზეიადაძე, ს. ბუსოვი, ბ. ძევიცხი, ბ. დიმოვი, ბ. კორობაზოვი  
ვოლფრამის ელორიდის ფფალგადით აირცაზოგრივი აღდენის  
კინეტიკურ-სპექტროსკოპიული გამოკვლევა

რეზიუმე

იმპულსური ფოტოლიზით და სტაციონარული ფოტოლიზური ექსპერი-  
მენტებით დადგენილია ვოლფრამის ჰექსაქლორიდის და ოქსიქლორიდის ფო-  
ტოდისოციაცია.

PHYSICAL CHEMISTRY

G. N. ZVIADADZE, S. N. BUSOV, B. E. DZEVITSKI, B. P. DYMOV,

G. A. SKOROBOGATOV

## TIME-RESOLVED SPECTROSCOPICAL STUDY OF THE GAS-PHASE REDUCTION OF TUNGSTEN CHLORIDE BY HYDROGEN

Summary

A flash and stationary photolytic study has been made of gaseous tungsten chloride and oxychloride reduction and photodissociation in hydrogen medium.

### ФОТОХИМИЧЕСКАЯ ЛИТЕРАТУРА — REFERENCES

- R. G. W. Norrish. In Nobel Symposium, 5 "Fast Reactions and Primary Processes in Chemical Kinetics", Stockholm, 1967, 33.
- Дж. Портэр, М. А. Вест. Сб. «Методы исследования быстрых реакций». М., 1977, 403.
- Б. П. Дымов, Г. А. Скоробогатов. Ж. общ. хим., 44, 1974, 1114.
- В. И. Веденеев, Л. В. Гурвич, В. Н. Кондратьев, В. А. Медведев, Е. Л. Франкевич. Энергии разрыва химических связей. Потенциалы ионизации и средство к электрону. М., 1962.
- J. H. Lee, J. V. Michael, W. A. Payne, L. J. Stiff, D. A. Whytock. J. Chem. Soc. (Farad. Trans.) 173, 1977, 1530.
- H. Hippler, J. Troe. Chem. Phys. Lett., 19, 1973, p. 607;  
R. P. Widman, B. A. DeGraff. J. Phys. Chem., 77, 1973, p. 1325.
- Дж. Калверт, Дж. Питтс. Фотохимия. М., 1968, 147.

ФИЗИЧЕСКАЯ ХИМИЯ

К. Б. ИОСЕЛИАНИ, И. Л. ЭДИЛАШВИЛИ,  
Л. Д. МЕЛИКАДЗЕ (академик АН ГССР)

МЕХАНИЗМ СТАБИЛИЗИРУЮЩЕГО ДЕЙСТВИЯ НЕКОТОРЫХ  
МЕТАЛЛОГРАНИЧЕСКИХ СОЕДИНЕНИЙ В ПРОЦЕССЕ  
ФОТООКИСЛЕНИЯ НЕФТИНЫХ МАСЕЛ

Нефтяные масла являются основным сырьем в производстве защитных смазок, применяемых для предохранения от коррозии поверхностей деталей и узлов механизмов [1]. На основе масел изготавливаются нефтемасляные инсектицидные препараты, используемые для борьбы с сельскохозяйственными вредителями [2]. В условиях применения под действием излучения солнца, кислорода воздуха, влажности и других факторов в маслах образуются кислотные продукты, повреждающие поверхность металла, вызывающие ожоги листьев. В связи с указанным изысканию возможностей повышения фотостабильности нефтяных масел придается важное значение.

В результате исследования влияния металлоганических соединений на фотоокисление трансформаторного масла выявлены эффективные светостабилизирующие соединения — никелевые и кобальтовые соли диалкил-, 0,0-диарилдитиофосфорной, диалкилдитиокарбаминовой и ксантолигеновой кислоты [3]. В настоящей статье приводятся результаты исследования механизма их стабилизирующего действия.

Исходное трансформаторное масло выработано адсорбционной очисткой и характеризуется следующими показателями: М. вес — 298, молекулярная масса — 0,8870,  $n_D^{20}$  — 1,4895. Структурно-групповой состав по ИК-спектрам в % С: С<sub>аром</sub> — 24,8, С<sub>нафт</sub> — 31,3, С<sub>параф</sub> — 49,9. Содержание ароматических углеводородов по УФ-спектрам в масс. %: бензольных — 16,8, нафтиловых — 12,8, фенантреновых — 5, антраценовых — 0,1.

В качестве светостабилизаторов к маслу исследовались следующие соединения двухвалентных металлов: диизопропил-дитиофосфат Ni и Zn (ДИПДТФ Ni, Zn), дигидриддитиокарбамат Ni (ДБДТК Ni), бутилксантогенат Ni (БК Ni), 0,0-ди-п-третбутилфенил-дитиофосфат Ni (ТБДТФ Ni), 2,2<sup>1</sup>-тиобис-0,0-ди-п-третбутилфенил-дитиофосфат Ni (ТБФ Ni), 2,2<sup>1</sup>-метиленбис-0,0-ди-п-третбутилфенил-дитиофосфат Ni (МБФ Ni), а также 2,6-ди-третбутил-4-метилфенол (ионол). Добавки растворялись в бензоле и вводились в масло в необходимом количестве, после чего растворитель удалялся под вакуумом.

Спектры поглощения в УФ-области снимались на спектрофотометре «Specord UV-Vis», в ИК-области — на спектрофотометре UR-20, спектры флуоресценции — на монохроматоре УМ-2. Кинетические закономерности фотоокисления исследовались газометрическим методом при 28° и Р<sub>O<sub>2</sub></sub> = 1 ат. В течение опыта образцы перемешивались магнитной мешалкой. В качестве источника света применялась ртутная лампа Q-139. Для выделения спектральной области  $\lambda > 300$  нм использовался светофильтр БС-4.

Светостабилизирующее действие металлоганических соединений в зависимости от их строения, условий применения, природы защища-

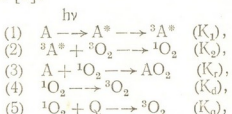
мых соединений и других факторов может осуществляться различными путями. При исследовании нами учитывались следующие возможные пути действия металлорганических соединений: поглощение фотокинетически активного света (эффект экранирования), тушение возбужденных (синглетных и триплетных) молекул углеводородов масла и дезактивация синглетных молекул кислорода  $^1\text{O}_2$  [4, 5]. Действие исследуемых соединений как радикальных ингибиторов не учитывалось, так как предварительными опытами было установлено, что в присутствии природных ингибиторов, входящих в состав масла, фотоокисление на начальных стадиях осуществляется в основном при участии синглетного кислорода  $^1\text{O}_2$  [6].

Исследованием спектров поглощения металлорганических соединений было обнаружено, что большинство никелевых соединений в области 310—350 нм характеризуется интенсивным поглощением ( $\varepsilon \approx 1,8 \cdot 10^4$  л/моль·см). Однако поглощающая способность исходного масла в этой же области значительно выше ( $\varepsilon \approx 3,3 \cdot 10^5$  л/моль·см). Если учесть, что максимальная концентрация добавок в экспериментах равна  $1 \cdot 10^{-3}$  моль/л, то доля света, поглощенная добавкой в спектральном участке  $\lambda > 300$  нм, не превышает 1—2%. Следовательно, эффект экранирования в данной системе практически отсутствует.

Исходное трансформаторное масло в области 17000—27000 см<sup>-1</sup> характеризуется интенсивной флуоресценцией. Введение металлорганических соединений ( $1 \cdot 10^{-3}$  моль/л) снижает выход флуоресценции на 3—5%, и естественно, что тушение синглетно-возбужденных молекул добавками вносит относительно малый вклад в эффект светостабилизации.

Для выяснения возможной роли процесса тушения триплетно-возбужденных состояний углеводородов в светостабилизации нефтяных масел была исследована зависимость скорости фотоокисления масла от концентрации окисляемых углеводородов, кислорода и металлорганических соединений. Обработка экспериментальных результатов проводилась, как описано в [5, 7]. На основе полученных данных установлено, что триплетно-возбужденные молекулы углеводородов дезактивируются металлорганическими соединениями никеля слабо, по всей вероятности, из-за конкурирующего действия кислорода, растворенного в масле.

Ароматические и нафтено-парафиновые углеводороды, входящие в состав исследуемого масла, характеризуются высокой реакционной способностью взаимодействия с  $^1\text{O}_2$  [6]. Следовательно, в присутствии металлорганических соединений никеля, являющихся эффективными тушителями  $^1\text{O}_2$  [3, 4, 7], торможение процесса фотоокисления нефтяных масел может осуществляться в результате тушения  $^1\text{O}_2$ . Исходя из такого предположения, кинетическую схему, описывающую процессы, протекающие на начальных стадиях фотоокисления в маслах, в присутствии металлорганических соединений можно выразить следующим образом [5]:



где A, A\* — невозбужденные, синглетно- и триплетно-возбужденные молекулы углеводородов,  ${}^3\text{O}_2$  и  ${}^1\text{O}_2$  — невозбужденные и синглетно-

возбужденные молекулы кислорода,  $\text{AO}_2$  — продукт окисления,  $\text{Q}$  — тушитель синглетного кислорода.

Из кинетической схемы

$$\text{W}_{\text{O}_2} = \text{W}_{\text{O}_2} \frac{\text{K}_r [\text{A}]}{\text{K}_d + \text{K}_r [\text{A}] + \text{K}_q [\text{Q}]}, \quad (1)$$

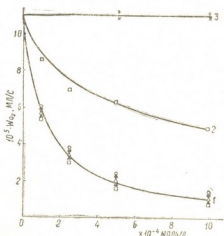
$$1/\text{W}_{\text{O}_2} = 1/\text{W}_{\text{O}_2} (1 + \text{K}_d/\text{K}_r \cdot [\text{A}] + 1/[\text{A}] \cdot \text{K}_q/\text{K}_r [\text{Q}]), \quad (2)$$

где  $\text{W}_{\text{O}_2}$  и  $\text{W}_{\text{O}_2}$  — начальная скорость фотоокисления масла и образования синглетного кислорода.

Из выражения (2) следует, что при тушении  ${}^1\text{O}_2$  металлоганическими соединениями между  $1/\text{W}_{\text{O}_2}$  и  $[\text{Q}]$  должна наблюдаться линейная зависимость, что и подтвердилось экспериментальными результатами.

Для выяснения роли тушения  ${}^1\text{O}_2$  в торможении процесса фотоокисления трансформаторного масла, согласно выражению (1), рассчитаны зависимости начальной скорости окисления масла от концентрации добавок и сопоставлены с экспериментальными результатами. При расчете среднее значение константы взаимодействия углеводородов масла с  ${}^1\text{O}_2$  принималось равным  $\text{K}_r = 2,0 \cdot 10^5 \text{ л/моль}\cdot\text{с}$  [6]. Величины  $\text{K}_q$  для металлоганических соединений были определены ранее [7]. Значение константы тушения  ${}^1\text{O}_2$  растворителем —  $\text{K}_d$ , согласно литературным данным, для большинства растворителей изменяется в пределах  $(3-6) \cdot 10^4 \text{ с}^{-1}$  [5]. Для трансформаторного масла  $\text{K}_d$  принималась  $4 \cdot 10^4 \text{ с}^{-1}$ . Однако погрешность из-за указанного приближения невелика, так как значение  $\text{K}_d$  на порядок меньше, чем значение второго слагаемого, стоящего в знаменателе выражения (1) ( $\text{K}_r \cdot [\text{A}] = 6,5 \cdot 10^5 \text{ с}^{-1}$ ).

Рис. 1. Зависимость начальной скорости фотоокисления трансформаторного масла от концентрации металлоганических соединений. Расчетные кривые: (1)  $\text{K}_q = 2,2 \cdot 10^9 \text{ л/моль}\cdot\text{с}$ , (2)  $\text{K}_q = 2,5 \cdot 10^8 \text{ л/моль}\cdot\text{с}$ , (3)  $\text{K}_q < 0,1 \cdot 10^8 \text{ л/моль}\cdot\text{с}$ ;  $\text{K}_r = 2,8 \cdot 10^5 \text{ л/моль}\cdot\text{с}$ ,  $\text{K}_d = 4 \cdot 10^4 \cdot \text{с}^{-1}$ . Экспериментальные значения в присутствии ДИПДТФ Ni (○), ДБДТК Ni (●), БК Ni (△), ТБДТФ Ni (▲), ТБФ Ni (□), МБФ Ni (■), ДИПДТФ Zn (+), ионол (×)



На рис. 1 приведены расчетные кривые зависимости начальной скорости окисления трансформаторного масла от концентрации добавок, характеризующихся константой скорости тушения  ${}^1\text{O}_2$   $\text{K}_q = 2,2 \cdot 10^9 \text{ моль}\cdot\text{с}$  (кривая 1),  $\text{K}_q = 2,5 \cdot 10^8 \text{ л/моль}\cdot\text{с}$  (кривая 2) и  $\text{K}_q \leq 0,1 \cdot 10^8 \text{ л/моль}\cdot\text{с}$  (кривая 3). Удовлетворительное совпадение экспериментальных данных с расчетными зависимостями свидетельствует, что кинетическая схема в основном правильно отображает процесс фотоокисления нефтяного масла на начальных стадиях в присутствии металлоганических соединений.



Следовательно, торможение процесса фотоокисления нефтяных масел металлогорганическими соединениями никеля на начальных стадиях в основном обусловлено тушением  ${}^1\text{O}_2$ ; дезактивация синглетно- и триплетно-возбужденных молекул углеводородов исследованными добавками, так же как и реабсорбция света, вносит незначительный вклад в эффект светостабилизации масла.

Академия наук Грузинской ССР

## Институт физической и и органической химии им. П. Г. Меликишвили

(Поступило 30.11.1979)

ଓଡ଼ିଆ କବିତା

၁၆

ნიკელის შემცველი მეტალორგანული ნაერთების ანტიდამაზანველური მოქმედება ნავთობის ზეთების ფოტოების საწყის სტანდარტ ძირითადად გა-პირობებულია სინგლეტური ყანგბაზის ეფექტური ქრობით. შესწავლით და-ნამატებით სხივური ენერგიის რეაბილიტაციას, ნახშირწყალბადთა აგზნებული სინგლეტური და ტრიპლეტური მოლეკულების ქრობის პროცესებს მცირე ჟავილი შეავთ ზეთების ფოტოსტანდარტის გაზრდაში.

PHYSICAL CHEMISTRY

K. B. JOSELIANI, I. L. EDILASHVILI, L. D. MELIKADZE

R. B. TOSLEB AND P. L. EDWARDS  
THE MECHANISM OF ANTIOXIDATIVE ACTION OF SOME  
METALLOORGANIC COMPOUNDS DURING PHOTOOXIDATION  
OF PETROLEUM OILS

## Summary

The antioxidative action of nickel-containing metalloorganic compounds at the initial stage of photooxidation of petroleum oils is mainly conditioned by an effective quenching of singlet oxygen. Reabsorption of light energy by the studied additives and excited quenching processes of excited singlet and triplet oxygens play an unimportant role in increasing oil stability.

## ଲେଖକାରୀଙ୍କ ପରିଚୟ — ЛИТЕРАТУРА — REFERENCES

1. Ю. Н. Шехтер. Защита металлов от коррозии (ингибиторы, масла и смазки). М., 1964.
  2. 3. И. Гургенидзе, Л. Д. Меликадзе, И. Л. Эдилашвили. Изв. АН ГССР, сер. хим., 4, 1978, 245.
  3. И. Л. Эдилашвили, Л. Д. Меликадзе, К. Б. Иоселиани. Сообщения АН ГССР, 95, № 2, 1979, 345.
  4. Б. Рейби, Я. Рабек. Фотодеструкция, фотоокисление, фотостабилизация полимеров. М., 1978.
  5. В. Я. Шляпинтох. Хорохимические превращения и стабилизация полимеров. М., 1979.
  6. И. Л. Эдилашвили, Б. Г. Купрашвили, Г. Ш. Бахтириձ. Сообщения АН ГССР, 95, № 2, 1979, 625.
  7. К. Б. Иоселиани, И. Л. Эдилашвили, Н. Ф. Джанибеков. Изв. АН ГССР, сер. хим., 5, № 4, 1979, 327.

## ХИМИЧЕСКАЯ ТЕХНОЛОГИЯ

Р. В. КЕРЕСЕЛИДЗЕ, З. И. ГУРГЕНИДЗЕ

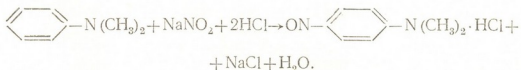
### К ВОПРОСУ ОЧИСТКИ СЛИВНЫХ ВОД ПРОИЗВОДСТВА «ОСНОВАНИЯ АРНОЛЬДА»

(Представлено академиком Л. Д. Меликадзе 3.9.1979)

В предыдущем сообщении нами указывалось, что в Институте физической и органической химии АН ГССР организовано опытное производство «основания Арнольда» N,N'-тетраметилдиаминодифенилметана) — ингибитора фотохимического окисления нефтяных масел, применяемых в качестве инсектицида в препарате КЭИМ против вредителей цитрусовых [1].

Синтез «основания Арнольда», как известно, протекает по реакции конденсации диметиланилина (DMA) с избытком формальдегида (ФА) в водной среде в присутствии в качестве катализаторов серной и сульфаниловой кислот. Кислые сливные воды этого производства, оставшиеся после фильтрации и промывки готового продукта, содержат не вступивший в реакцию DMA и избыточный ФА. Очистка сливных вод является важной задачей в целях защиты окружающей среды от загрязнений. Настоящая работа посвящена решению именно этой задачи.

Содержание DMA в сливной воде (фильтрат и промывные воды) после отделения кристаллического «основания Арнольда» устанавливается методом нитрозирования с последующим определением оптической плотности окрашенного раствора [2]. Далее по этой оптической плотности на калибровочной кривой, построенной по известным концентрациям, находится искомая концентрация DMA. Третичные амины при взаимодействии с азотистой кислотой превращаются в окрашенную соль паранитрообоснования по следующей схеме:



В нашем случае оптическая плотность окрашенного раствора определялась на спектрофотометре «Specord» для длины волны 430 нм.

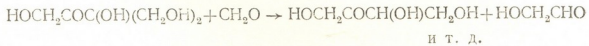
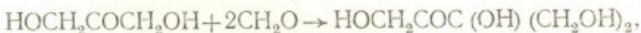
Для выяснения зависимости количества остаточного DMA от продолжительности реакции конденсации были поставлены контрольные опыты и определены концентрации DMA в фильтрате и сливной воде. Результаты анализов приведены в таблице.

Из таблицы видно, что концентрация DMA при продлении времени реакции снижается незначительно, а выход готового продукта остается почти одним и тем же. Поэтому нами было подобрано наиболее оптимальное для нашего случая время ведения процесса конденсации, равное 4 часам, при выходе «основания Арнольда» в 95% от теории.

Анализ сливной воды на содержание формальдегида проводился спектрофотометрическим методом с помощью хромотроповой кислоты [3, 4]. Формальдегид с хромотроповой кислотой (1,8-диоксиантралин-3,6-дисульфокислотой) в сильноокислой среде образует соединение, окрашенное в пурпурный цвет, удобное для определения. Метод очень чувствителен и позволяет определить ФА в концентрациях 0,06 мг/л и выше. Оптическая плотность окрашенного раствора измерялась для длины волны 570 нм, и по калибровочному графику, построеному предварительно по известным концентрациям, находилась искомая концентрация ФА, которая в сливной воде производства «основания Арнольда» оказалась равной 3,8 г/л.

№	Время реакции, час	% DMA в фильтрате	% DMA в сливной воде	Выход «основания Арнольда», %
1	4	0,84	0,54	95
2	6	0,65	0,42	95,5
3	8	0,55	0,35	95,5

Очистка сливной воды от ФА проводилась методом альдольной конденсации, который применяется для обесформалинивания в производстве феноло-формальдегидных смол [5]. В основу метода очистки сточных вод от ФА положены известные реакции Канницаро и Бутлерова [3]. ФА в присутствии щелочей, находящихся в промышленных стоках, конденсируется с образованием нерастворимых сахароподобных продуктов по схеме



Конечным продуктом реакции является гексоза. Реакция альдольной конденсации формальдегида особенно полно протекает при применении в качестве щелочного агента гидроокиси кальция и температуре выше 60°C. Ниже этой температуры в интервале от 40 до 60°C реакция протекает медленнее и преимущественно по схеме Канницаро с образованием метанола [5]:



Процесс конденсации альдольного типа в случае ФА заметно ускоряется в присутствии глюкозы или фруктозы, которые устраняют индукционный период реакции. На основе этого процесса разработана методика очистки сливных вод производства «основания Арнольда» от вредных примесей, которая представляется в следующем виде.

Кислую сливную воду нейтрализуют известковым молоком до щелочной реакции, pH 9—11 (расход CaO — 4 г на 1 л). В результате

этого в осадок из раствора выпадает примесь «основания Арнольда» (1,4 г на 1 л раствора). Диметиланилин же всплывает в виде пленки и собирается над щелочным раствором. Раствор фильтруют, а диметиланилин отделяют. К очищенному таким образом раствору добавляют катализатор CaO в количестве 0,15% и смесь быстро нагревают при перемешивании в течение 10 мин при  $t = 95\text{--}96^{\circ}\text{C}$ . При этом образующиеся в результате альдольной конденсации сахароподобные вещества выпадают в осадок. Воду фильтруют или отделяют от осадка отстаиванием. Анализ обработанной таким образом сливной воды указывает на полное отсутствие FA и наличие следов DMA. Сливную воду далее нагревают острый паром до кипения и кипятят в течение 20 мин для удаления следов DMA, после чего выпускают в канализацию.

Академия наук Грузинской ССР  
Институт физической и  
органической химии  
им. П. Г. Меликишвили

(Поступило 14.12.1979)

გიმიური მეცნილობა

რ. კოჩიშვილი, ჭ. გურგენიძე

„არნოლდის ფუძის“ ჯარმომზადების ჩამონაბეჭდის  
გამოყენების საპითხისათვის

რეზიუმე

დამუშავებულია N,N'-ტეტრამეთილამინოდიფენილმეთანის („არნოლდის ფუძის“) წარმოების მეავე ჩამრეცხი წყლების მინარევებისაგან — ფორმალინისა და დიმეთილანილინისაგან გაწმენდის მეთოდი.

კირის რძით ნეიტრალიზაციის შედეგად ჩამრეცხი წყლიდნ გამოიყოფა დიმეთილანილინი და გრივდება აბსკის სახით ტუტე სნარის ზედაპირზე. მას აცილებენ, ხოლო წყალი მიემართება ალდოლური კონდენსაციისათვის, რის შედეგადაც ფორმალდეპილინა ლექის სახით წარმოიქმნება წყალში უხსნადი მყარი შაქრისმავარი ნაერთები. დამატებითი გაწმენდისათვის ჩამრეცხ წყალში ატარებენ მახვილ ორთქლს 20 წუთის განმავლობაში. ამგვარად დამუშავებული ჩამრეცხი წყალი აღარ შეიცავს ფორმალდეპილს და დიმეთილანილინს.

CHEMICAL TECHNOLOGY

R. V. KERESELIDZE, Z. I. GURGENIDZE

## ON THE “ARNOLD BASE” PRODUCTION DISCHARGE WATER TREATMENT

*Summary*

A process of treatment of acidic discharge water of N, N'-tetramethyldiaminodiphenylmethane (Arnold base) production from harmful ingredients—formaldehyde (FA) and dimethylaniline (DMA) — has been developed. During lime

milk neutralization of discharge water, isolation and aggregation of DMA takes place, forming a film over the alkali solution. DMA is removed and the water is subjected to aldehyde condensation, as a result of which FA forms solid nonsoluble crystalline compounds, which precipitate. Additional treatment of discharge water is conducted by a live steam for 20 min. Discharge waters treated by the proposed method are completely purified from FA and DMA.

#### ლიტერატურა — REFERENCES

1. З. И. Гургенидзе, Л. Д. Меликадзе, И. Л. Эдилашвили. Изв. АН ГССР, сер. хим., 4, № 3, 1978, 245.
2. Р. П. Ластовский. Технический анализ в производстве промежуточных продуктов и красителей. М., 1958.
3. Дж. Ф. Уокер. Формальдегид. М., 1957.
4. Унифицированные методы анализа вод. Под общей редакцией Ю. Ю. Лурье. М., 1971.
5. А. В. Сахарнов. Очистка сточных вод и газовых выбросов лакокрасочной промышленности. М., 1971.

## ХИМИЧЕСКАЯ ТЕХНОЛОГИЯ

Е. М. БЕНАШВИЛИ, М. Л. АРЕШИДЗЕ

### КАТАЛИТИЧЕСКИЕ СВОЙСТВА АЛЮМОСИЛИКАТНЫХ КАТАЛИЗАТОРОВ КРЕКИНГА, СОДЕРЖАЩИХ ЦЕОЛИТ ТИПА Y С КАТИОНАМИ ПРАЗЕОДИМА И ЭРБИЯ

(Представлено академиком Л. Д. Меликадзе 23.10.1979)

Современные цеолитсодержащие катализаторы крекинга содержат в своем составе цеолиты типа X и Y с катионами редкоземельных элементов (РЗЭ), которые обеспечивают высокую активность и стабильность катализаторов [1]. Для удешевления таких катализаторов в качестве обменных катионов обычно используют смесь РЗЭ церевой группы. Влияние индивидуальных катионов РЗЭ на каталитические свойства X- и Y-цеолитсодержащих катализаторов детально не исследовалось.

В предыдущей работе [2] изучено влияние катионов гольмия и церия, входящих в состав цеолитсодержащих (типа Y) катализаторов крекинга, распределенных в природной алюмосиликатной матрице. В работе [3] изучались каталитические свойства алюмосиликатных катализаторов крекинга на основе цеолита типа X с различными катионами РЗЭ.

В настоящей работе исследованы крекирующие свойства цеолитсодержащих катализаторов на основе цеолита типа Y с катионами празеодима и эрбия в матрице активированного гумбринна (АГ).

Таблица 1  
 Химический состав катализаторов

Катализаторы	Содержание РЗЭ	Содержание остаточного натрия	Степень обмена натрия на РЗЭ
			вес. %
ErNaY (П-84)	9,79	3,31	55,0
ErNaY/АГ (80 %)	1,96	0,66	—
ErHNaY (II-84)	9,45	2,76	53,1
ErHNaY/АГ (80 %)	1,89	0,55	—
PrHNaY (П-84)	8,48	1,71	56,5
PrHNaY/АГ (80 %)	1,70	0,34	—
PrHNaY/АГ (85 %)	1,27	0,26	—

Катализаторы были приготовлены исходя из цеолита NaY и HNaY (П-84), в которые путем ионного обмена вводили катионы РЗЭ, как описано в работе [2]. Для приготовления водородно-редкоземельных форм цеолита использовали готовые водородные (H) формы цео-

лита типа Y, которые получали из натриевой формы путем трехкратного ионного обмена с 1N  $\text{NH}_4\text{Cl}$ . Обработку водородных форм растворами солей РЗЭ проводили так же, как и исходного цеолита NaY. В качестве матрицы использовали природный гумбрин, активированный 10% серной кислотой [2]. Были приготовлены катализаторы с содержанием активных фаз ( $\text{ErNaY}$ ,  $\text{ErHNaY}$ ,  $\text{ErHNaY}$ ) 15—20%.

В табл. 1 представлен химический состав РЗЭ- и H-форм цеолитов типа Y и цеолитсодержащих катализаторов, приготовленных на их основе.

Химический состав исходного цеолита NaY(П-84) в вес.% следующий:  $\text{SiO}_2$  — 45,5;  $\text{Al}_2\text{O}_3$  — 19,6;  $\text{Na}_2\text{O}$  — 9,9;  $\text{H}_2\text{O}$  — 24,4; соотношение  $\text{SiO}_2/\text{Al}_2\text{O}_3$  — 4,0.

В качестве эталонного сырья использовали керосино-газойлевую фракцию грозденской нефти со следующими физическими свойствами: пределы выкипания 240—348°,  $n_D^{20}$  1,4834 и  $d_4^{20}$  0,8728.

Крекинг проводили в установке проточного типа при атмосферном давлении, температуре 450—475°, объемных скоростях 0,7—1,8 час<sup>-1</sup> и соотношении сырье:катализатор, равном 0,35.

Катализаторы предварительно прокаливали в установке до 550—600° с применением в конце прокалки вакуума (остаточное давление 10—15 мм рт. ст.) в течение 3 часов.

Регенерацию катализаторов проводили периодически путем выжига кокса при 550—600° в потоке воздуха.

В табл. 2 приведены результаты крекинга, которые получали каждый раз на свежей порции катализатора.

Из данных табл. 2 видно, что в опытах с эрбийсодержащими катализаторами значительное влияние на крекирующую активность оказывает наличие водородно-декатионированной формы цеолита ( $\text{ErHNaY}$ ). В этом случае в сравнимых условиях опытов степень превращения сырья на ~ 10% выше, чем в случае  $\text{ErNaY}$ -содержащего катализатора, хотя содержание эрбия в катализаторах почти одинаковое (1,89 и 1,96) и степени обмена на РЗЭ тоже совпадают. Выход бензина до 200° и фракции 200—240° на исходное сырье в оптимальных условиях опыта (450° и объемная скорость 1,4 час<sup>-1</sup>) достигает 62,4% в случае эрбийводородной формы и 49,6% на  $\text{ErNaY}$ -содержащем катализаторе. Индекс активности соответственно равен 49,9 и 41,9%.

В табл. 2 представлены также результаты крекинга керосино-газойлевой фракции на катализаторах, содержащих празеодимводородные формы цеолита типа Y в количестве 15 и 20% активной формы и соответственно 85 и 80% активированного гумбрината. Сравнение этих катализаторов показывает, что в случае 15% катализатора хотя и ниже общая степень превращения, но выше селективность образования жидких продуктов крекинга и в том числе бензина — 61,1—62,9% вместо ~ 54% на 20% катализаторе. Повышение объемной скорости пропускания сырья от 0,7 до 1,8 час<sup>-1</sup> повышает селективность крекинга при той же оптимальной температуре (450°).

Из проведенных исследований можно заключить, что катализаторы, приготовленные на основе водородноредкоземельных форм цеолитов, более активны в реакции крекинга и отличаются относительно низким газообразованием.

Сравнение эрбий- и празеодимсодержащих 20% катализаторов в одинаковых условиях крекинга показало, что полученные результаты

аналогичны по общей степени превращения сырья, но ErHNaY-содержащий катализатор отличается более высокой селективностью по выходу жидких продуктов крекинга за счет более низкого газообразования. Изученные в настоящей работе катализаторы по своей крекирующей активности находятся на уровне промышленных катализаторов цеокар-1 и цеокар-2.

Таблица 2

Результаты крекинга керосино-газойлевой фракции на эрбий- и празеодимсодержащих катализаторах

Катализаторы	Температура, °С	Объемная скорость, час <sup>-1</sup>	Степень превращения, вес. %	Выход продуктов реакций, вес. %	Выход фракций на исходное сырье, вес. %		Селективность по крекингу, вес. %			
					жидкий	газ				
ErHNaY/АГ (80 %)	450	0,7	76,9	65,7	22,9	9,7	32,5	11,8	57,6	29,3
	"	1,4	76,1	71,3	18,9	7,6	41,9	7,7	65,2	24,8
	475	0,7	77,5	62,9	24,1	11,6	33,3	8,5	54,0	31,1
	"	1,4	77,0	64,6	23,6	10,0	33,9	7,5	56,4	30,7
ErHNaY/АГ (80%)	450	0,7	87,3	70,4	16,8	11,1	40,5	18,9	68,0	19,2
	"	1,4	86,0	75,8	13,9	9,7	49,9	12,5	72,6	16,2
	475	0,7	88,3	69,0	18,1	11,7	41,3	17,2	66,3	20,5
	"	1,4	87,0	74,4	14,1	10,3	42,2	20,4	72,0	16,2
PrHNaY/АГ (80%)	450	0,7	85,9	63,3	25,0	10,6	42,5	7,8	58,6	29,1
	"	1,4	83,4	67,2	22,5	8,9	45,4	6,6	62,4	27,0
	"	1,8	73,1	71,9	19,6	7,1	39,7	6,7	63,5	26,8
	475	0,7	88,4	56,8	29,1	12,7	41,8	4,8	52,7	32,9
	"	1,4	85,8	59,1	26,1	11,9	39,3	8,5	55,7	30,4
	"	1,8	76,6	65,2	23,1	9,9	37,7	5,9	56,9	30,2
	"	"	"	"	"	"	"	"	"	"
PrHNaY/АГ (85%)	450	0,7	66,6	77,6	12,9	8,0	38,0	7,7	68,6	19,4
	"	1,4	64,3	80,4	11,6	6,5	39,3	6,9	71,8	18,0
	"	1,8	63,1	81,2	10,3	6,8	39,7	6,3	72,9	16,3
	475	1,4	74,5	75,4	16,1	6,8	42,7	8,9	69,3	21,6
	"	1,8	70,9	76,4	15,3	6,5	41,7	7,4	69,2	21,6
	"	"	"	"	"	"	"	"	"	"

Сопоставление с экспериментальными данными работы [2] приводит к выводу, что природа редкоземельного катиона (Ce, Pr, Ho, Er), входящего в состав цеолитсодержащего катализатора, оказывает значительное влияние на степень превращения сырья, выход бензина и газа. Но эти различия не коррелируют с изменением атомного веса РЗЭ или силового поля катиона. Возможно, они обусловлены различной степенью обмена и декатионирования цеолита, количеством остаточного натрия и различной локализацией катионов в цеолите.

Академия наук Грузинской ССР

Институт физической и  
органической химии  
им. П. Г. Меликишвили

(Поступило 26.10.1979)

ე. ბენაშვილი, მ. არეშიძე

პრაზოლიდის და ერბიუმის ფორმის ცენტრით მიმღებელი ალუმინისტორი პრეკინგის ძარღიზუატორის ძარღიზური თვისტიზი

რეზიუმე

შესწავლითა ყ ტიპის პრაზეოლიდის და ერბიუმის ფორმის ცენტრით შემცველი კატალიზატორები მჟავთი გაძრივებულ გუმბრინის სარჩულზე ნაკო-გაზონილის ფრაქციის კრეკინგის რეაქციაში. ნაჩვენებია, რომ ერბიუმის შემცველი კატალიზატორი უფრო მაღალი სელექტიურობით ხასიათდება თხევადი კრეკინგპროცესების გამოსავლიანობის მიხედვით (72,6 %) და მისი აქტივობის ინდექსი 49,9 % შეადგენს.

#### CHEMICAL TECHNOLOGY

E. M. BENASHVILI, M. L. ARESHIDZE

#### CATALYTIC PROPERTIES OF Pr AND Er FORMS OF Y TYPE ZEOLITE-CONTAINING ALUMINOSILICATE CRACKING CATALYSTS

##### Summary

Study has been made of Pr and Er forms of Y type zeolite-containing catalysts on activated gumbrin during the cracking of naphtho-gas oil fraction. It is shown that an Er-containing catalyst manifests higher selectivity in terms of the cracking product yield (72.6%), its activity index equalling 49.9%.

##### ლიტერატურა — ЛИТЕРАТУРА — REFERENCES

- D. P. Burke. Chem. Week, № 18, 1972, 23.
- Е. М. Бенашвили, М. Л. Арешидзе. Сообщения АН ГССР, 87, № 2, 1977, 361.
- С. Н. Хаджиев, Л. Х. Шабазова, Е. М. Брешенко, Б. В. Раккин. Труды ГрозНИИ, вып. 29, 1975, с. 188.

ГИДРОЛОГИЯ

В. Ш. ГЕЛАДЗЕ

ТЕРРИТОРИАЛЬНОЕ РАСПРЕДЕЛЕНИЕ ГОДОВОГО  
КОЛИЧЕСТВА ОСАДКОВ ПО ЗАПАДНОЙ СИРИИ

(Представлено академиком А. Л. Цагарели 12.11.1979)

Рассматриваемый регион, включающий 45% территории Сирии, получает основную массу атмосферных осадков страны. Территория по природным условиям делится на четыре области: Дамаскскую, Оронтскую, Прибрежную и Алеппскую.

Большое разнообразие климатических и орографических условий обусловило необходимость расширения существующей сети метеостанций и постов. Метеорологическая сеть в значительной мере расширилась с помощью советских специалистов в 1974—1978 гг.

Для составления карты осадков использованы все имеющиеся материалы за период с 1934 по 1978 г. Привлечены также данные осадкометровой сети северной части Ливана и южной Турции. В измеренные осадки внесены поправки по указанию, разработанному в ГГО и ГГИ и принятому ГУГМСом с 1965 г.

Произведены удлинение и приведение рядов наблюдений. Построены зависимости осадков от высоты, на основе которых и разграничена рассматриваемая территория на районы однозначной зависимости осадков от высоты (рис. 1). Кривые строились по многолетним данным. С целью контроля и качественной характеристики зависимостей привлечены и показания станций, открытых в 1974—1975 гг.

Всего получено 25 связей. Из них четырьмя зависимостями охватывается Дамаскская область, пятью — Прибрежная, шестью — Алеппская и десятью — Оронтская. Верхние, экстраполированные участки зависимостей осадков от высоты откорректированы по данным стока и испарения. В высокогорной области рассматриваемой территории (II район), где значительная часть атмосферных осадков выпадает в твердом виде, с целью уточнения зависимостей привлечены данные маршрутных снегосъемок, проведенных зимой 1978 г. Следует отметить, что экстраполированные участки кривых лишь в трех случаях (IV, XIV и XXIV районы) охватывают больше 10% площади характеризуемой территории. Так что некоторые неточности, допущенные при экстраполяции, не должны существенно повлиять на итоги конечных результатов, ибо они будут в пределах точности определения атмосферных осадков. На удовлетворительность принятого районирования косвенно указывают величины испарения, рассчитанные через температуру и влажность воздуха по методу А. Р. Константинова. Испарение, определенное по методу, не зависящему от величины осадков, и, следовательно, исключающее возможное влияние полученных ранее связей с осадками, хорошо согласуется с районированием территории, проведенным с помощью осадков.

Накопление большого материала наблюдений и расширение метеорологической сети позволили составить карту годовых сумм осадков

Западной Сирии, в которой уточнены, а в некоторых случаях существенно изменены установившиеся представления по территориальному распределению атмосферных осадков.

На гипсометрической основе, с помощью кривых зависимостей осадков от высоты и соответствующих районов, составлена карта изолиний многолетних годовых сумм осадков рассматриваемой территории (рис. 2). Карта составлена по следующим градациям: 200, 400, 600, 800, 1000, 1200, 1600 и 2000 мм. Для более полного изображения территориального распределения осадков принятые дополнительные градации (пунктирная линия).



Рис. I. Районы однозначной зависимости осадков от высоты

Наибольшее количество осадков в году — 1080—1430 мм получает прибрежная часть Сирии, доступная проникновению западных влагоносных воздушных масс. Пересеченность рельефа, различная экспозиция склонов хребтов и долин по отношению к господствующему направлению влажных воздушных масс обусловливают своеобразие в распределении осадков по территории. Здесь наименьшее количество осадков, в среднем 1080 мм за год, отмечается в северо-западной части (XV район), где малые высоты и пологие западные склоны Басит-Беарского массива не способствуют интенсивному осадкообразованию. Обильно увлажняются западный склон хр. Ансария и его предгорья (XVI и XVII районы). Здесь в среднем выпадает 1360—1430 мм осадков за год, так как на близко подходящих к морю крутых склонах отрогов хр. Ансария конденсируется большая часть влаги, поступающая с Средиземного моря. Меньшим количеством осадков, в среднем 1220—1260 мм за год, характеризуются прикрытые с запада бассейн безымянной реки левого притока р. Северный Кебир и межгорная впадина Аль-Букая (XVI и XVIII районы).

Восточнее, в сторону бассейна р. Оронт в целом увлажненность территории уменьшается. Обильным увлажнением характеризуются тектоническая впадина Эль-Габ, долины рр. Сельхаб, Нахр-Эль-Абиад и верховья р. Сарут (XIII, XI и X районы), доступные влажным воздушным массам, вторгающимся с севера и северо-запада. Здесь за год выпадает свыше 800 мм осадков. Аномально высокими осадками выделяются верховья р. Сарут (Х район) — в среднем 1460 мм за год. Большое количество осадков обусловлено благоприятной ориентацией долины и конфигурацией бассейна, способствующими конвергенции влажных воздушных масс, вторгающихся с севера и северо-запада. Следует отметить, что в обильном увлажнении отмеченного района, по-видимому, определенную роль играют и воздушные массы, перетекающие с запада через невысокий (1000—1200 м) Ансарийский хребет. В Оронтской области в восточном и юго-восточном направлениях количество осадков уменьшается. Самой засушливой является юго-восточная часть территории (V район), где выпадает за год около 230 мм осадков. В остальной части годовая сумма осадков везде, кроме южной части области (V и VI районы), превышает 400 мм.

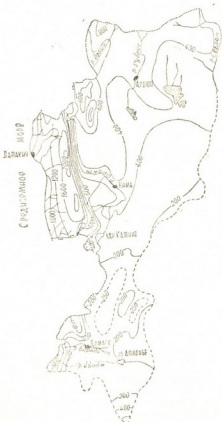


Рис. 2. Карта годового количества осадков (мм)

Восточнее бассейна р. Оронт расположено волнистое Алеппское плато. Удаленность от моря и сравнительно однородный рельеф обуславливают малое количество атмосферных осадков и их равномерное распределение по территории. Здесь, за исключением северо-западной части (XIX и XX районы), везде выпадает меньше 400 мм осадков за год. Самой засушливой является южная часть области (XXIV район), где годовая сумма осадков около 250 мм.

На юге Западной Сирии большая часть территории получает меньше 350 мм осадков за год. Исключение составляет бассейн р. Ба-

рада (II район), где за год выпадает в среднем 460 мм осадков. Увеличение осадков в этом районе объясняется наличием самого высокого массива Сирии — хр. Антиливан (2800 м), склоны которого перехватывают влагу, поступающую с севера и запада. В Дамасской области в восточном и южном направлениях увлажненность территории уменьшается и на востоке, в бессточном бассейне пересыхающего озера Эль-Аттейбе (IV район) составляет лишь 200 мм за год. Упомянутый бассейн является одним из засушливых районов территории.

На большей части территории осадки растут с увеличением высоты местности. Уменьшение осадков с высотой отмечается в южной части Оронской и юго-восточной части Алеппской областей (V и XXIV районы). Наибольшие градиенты нарастания осадков с высотой наблюдаются в западных и восточных предгорных поясах Аисарийского хребта и составляют 120—140 мм на 10 м.

Академия наук Грузинской ССР

Институт географии

им. Вахушти

(Поступило 16.11.1979)

ჰიდროლოგია

### 3. ვალაბი

ტლიური ნალექების ტერიტორიული განაწილება შესწავლით იქნა ნალექების და სიმღლის ურთიერთებაზერის საფუძველზე. გამოყოფილ იქნა რაიონები, რომლებშიც ნალექები ცალსახად განისაზღვრება აღგილის სიმაღლით. პიფსომეტრიულ საფუძველზე, ნალექების და სიმღლის ურთიერთებაზე შეიძლება მრავდების და შესაბამისი რაიონების საშუალებით შედგენილია ნალექების ტერიტორიული განაწილების რუკა.

HYDROLOGY

V. Sh. GELADZE

## TERRITORIAL DISTRIBUTION OF ANNUAL PRECIPITATION IN WESTERN SYRIA

### Summary

Territorial distribution of annual precipitation has been studied on the basis of precipitation-altitude interdependence. The regions with single-valued precipitation have been identified. A map of territorial distribution has been compiled against the hypsometric background by the precipitation-altitude interdependence curves and the corresponding regions.

ГЕОЛОГИЯ

Н. А. АСЛАНИКАШВИЛИ

ЦЕОЛИТЫ В ПОРОДАХ-КОЛЛЕКТОРАХ САМГОРИ  
ПАТАРДЗЕУЛЬСКОГО МЕСТОРОЖДЕНИЯ НЕФТИ

(Представлено членом-корреспондентом Академии Г. А. Твалчелидзе 19.12.1979)

Среди основных факторов, определяющих емкостно-фильтрационные и другие коллекторские параметры пород, особого внимания заслуживает тонкодисперсный материал, присутствующий в качестве цемента в гранулярных и трещинных коллекторах.

Породы-коллекторы Самгори-Патардзеульского месторождения нефти сложены туфами, туфопесчаниками и туфобрекчиями, в которых тонкодисперсное цементирующее вещество состоит из цеолитов и глинистых минералов.

С помощью электронномикроскопических снимков реплик, на основе сравнительного изучения морфологии кристаллов в породах-коллекторах, нами были охарактеризованы особенности пространственного взаиморасположения микрокристаллов внутри пор, в зависимости от их способности образовывать сообщающиеся между собой микропоры, доступные для движения в них флюидов [1].

Наряду с этим, необходимо иметь в виду, что минералам группы цеолитов, в отличие от других алюмосиликатов, свойственно наличие в кристаллической решетке микропор (полостей), объем которых для каждой разновидности определяется ее кристаллохимическими особенностями. В физической химии микропорами называются пустоты, характеризующиеся линейными размерами не более 20—25 Å [2], оказы-вающиеся доступными для проникновения в них молекул различных веществ. Эта весьма важная особенность кристаллической решетки и обуславливает широкое практическое применение цеолитов в качестве микропористых адсорбентов и молекулярных сит.

Адсорбционные свойства цеолитов, в свою очередь, являются функцией ряда факторов, среди них термостойкость и кислотостойкость, диаметр входных окон в кристаллической решетке цеолита, свободный объем микропор и число находящихся в полостях цеолитов катионов, доступных для непосредственного взаимодействия с адсорбируемыми молекулами, которое определяется составом самого цеолита (мольного отношения кремнезема к глинозему).

В специальной литературе можно найти многочисленные данные экспериментальных исследований, касающихся адсорбции различных углеводородов на синтетических и природных цеолитах. Так, например, в лабораторных условиях при температуре 20°C осуществляется адсорбция бензола на природном клиноптилолите [3]. Хотя эффект адсорбции в этом случае менее значительный, чем в случае синтетического цеолита NaX, все же изотерма адсорбции удовлетворяет уравнению теории объемного заполнения микропор [3].

Можно указать также на экспериментальные работы, в которых изучались процессы адсорбции предельных углеводородов от метана

до неопентана на мордените, эрионите и других цеолитах с малым числом адсорбционных центров [4].

В работе [1] нами были рассмотрены вопросы, касающиеся структуры порового пространства пород-коллекторов и некоторые особенности пространственных взаимоотношений между микрокристаллическими агрегатами. Были высказаны соображения о влиянии этих факторов на фильтрационно-емкостные показатели коллекторов. Наряду с этим, имеющиеся данные экспериментальных исследований процессов адсорбции углеводородов на цеолитах дают основание допустить возможность существования гораздо более глубоких взаимоотношений в системе пород-коллекторов и нефти.

Самыми распространенными цеолитами в породах-коллекторах среднего эоцена Самгори-Патардзеульского нефтяного месторождения являются ломонит и клиноптилолит. Примеры экспериментальных исследований адсорбции углеводородов на природном клиноптилолите были приведены выше, а для ломонита такими данными мы не располагаем. Однако, как яствует из работы Г. В. Цицишили [5], по своим структурным параметрам ломонит не существенно отличается от клиноптилолита.

На основе изложенного и исходя из теории объемного заполнения микропор при адсорбции углеводородов на микропористых адсорбентах представляется целесообразным рассмотреть эти явления и в природных условиях, на примере Самгори-Патардзеульского нефтяного месторождения.

В природных условиях, наряду с известными физико-химическими параметрами цеолитов, необходимо учитывать и геологические факторы: 1) постепенное нарастание температуры и давления, которые при погружении пород на большие глубины значительно увеличиваются, что способствует ходу процесса адсорбции [6]; 2) длительность геологического времени, которая для любой химической реакции является практически бесконечной.

Следовательно, можно сделать вывод о том, что в природных условиях процессы адсорбции некоторых углеводородов в полостях кристаллической решетки цеолитов представляются вполне реальным и закономерным явлением.

Однако, допустив возможность объемного заполнения микропор цеолитов отдельными углеводородами, мы допускаем и возможность некоторого увеличения емкостных способностей пород-коллекторов. Наряду с этим, необходимо учитывать, что при характеристике и оценке продуктивных пород-коллекторов предусматриваются не только их емкостные показатели, но и способность последних отдавать флюиды при воздействии извне, при перепадах давления, создаваемых во время эксплуатации скважин.

Поэтому при решении вопросов о возможностях увеличения нефтеотдачи породами-коллекторами в определенных природных условиях возникает надобность в установлении оптимальных термодинамических параметров, необходимых для осуществления процесса десорбции углеводородов из кристаллической решетки цеолитов.

Известно, что основная часть углеводородов, сорбированных в осадочных породах, прочно удерживается в них во взаимодействии с твердой фазой и для их удаления требуется определенная энергия. По мнению ряда исследователей [7—9], решающую роль в этом процессе играет вода. Например, в глинистых осадках основным фактором эмиграции углеводородов, по-видимому, является вода, выделяемая из кри-

сталлической решетки монтмориллонита при его переходе в гидрослюду.

Исследования осадочных бассейнов Японии показали [10], что эмиграция углеводородов из пород зависит от процессов вытеснения кристаллизационной воды при дегидратации цеолитов.

Это дает нам основание предполагать, что та часть углеводородов, которая, возможно, была адсорбирована в полостях цеолитов, будет удерживаться в них до тех пор, пока цеолиты содержащие породы не окажутся в других термобарических условиях, необходимых для их дегидратации.

Высказанные соображения о возможном влиянии цеолитов на емкостные и фильтрационные возможности пород-коллекторов требуют экспериментального подтверждения. Результаты экспериментов могут послужить основанием для решения некоторых теоретических и практических вопросов, связанных с повышением эффективности нефтедобывающих работ.

Кавказский институт минерального сырья

(Поступило 21.12.1979)

## გვოლოგია

### 6. ასლანიკაშვილი

#### ვიოლითები სამგორი-პატარძეულის ნავთობის საბაზოს კოლექტორ-ძანიზმი

##### რეზიუმე

სამგორი-პატარძეულის ნავთობის საბაზოზე შუაეოცენური ასაკის კოლექტორი-ძანები წარმოდგენილია ცეოლიტიზებული ტუფებით, ტუფობრექჩიებით და ტუფოვეიშავებით.

ამ ქანების კომპლექსური შესწავლის შედეგად გამოთქმულია მოსაზრება იმის შესახებ, რომ მაღალი წნევისა და ტემპერატურის პირობებში, დიდ სილიმერებზე, შესაძლებელია განხორციელდეს ნავთობის ზოგიერთი ნახშირწყალბადის ადამიანური ცეოლითების კრისტალურ მესქრში არსებულ მიკროფორებში.

## GEOLOGY

N. A. ASLANIKASHVILI

### ZEOLITES IN THE COLLECTOR ROCKS OF THE SAMGORI-PATARDZEULI OIL FIELDS

#### Summary

The Middle Eocene productive deposits of the Samgori-Patardzeuli oil fields in Eastern Georgia consist of zeolitized tuffs, tuff-breccias and tuft sandstones. Zeolites are represented by laumontite and clinoptilolite.

The possible adsorption of a part of hydrocarbons in the zeolite cavities of collector rocks is assumed on the basis of the theory of voluminous filling of micropores during hydrocarbon adsorption on microporous adsorbents.

ლიტერატურა — REFERENCES

1. Н. А. Асланиашвили. Сообщения АН ГССР, 88, № 3, 1977.
2. Б. П. Беринг, Е. Г. Жуковская, Б. Х. Раҳмуков, В. В. Серпинский. Изв. АН СССР, сер. хим., № 8, 1967.
3. М. М. Дубинин, Н. С. Ложкова, Б. А. Онусайтис. Сб. «Клиноптиолит». Тбилиси, 1977.
4. М. М. Дубинин, В. А. Астахов. Изв. АН СССР, сер. хим., № 1, 1971.
5. Г. В. Цицишвили. Сб. «Клиноптиолит». Тбилиси, 1977.
6. Де Бур. Динамический характер адсорбции. М., 1962.
7. И. Д. Зхус. ДАН СССР, 123, № 2, 1958.
8. А. Е. Акрамходжаев. Узб. геол. ж., № 2, 1971.
9. G. F. Burst. A. P. G. Bulletin, vol. 53, № 1, 1969.
10. A. Koichi, A. Tagashi. Jap. Assoc. Petrol. Technol. 42, № 2, 1977.



СТРОИТЕЛЬНАЯ МЕХАНИКА

З. А. КУЧУХИДЗЕ

ОЦЕНКА ВЛИЯНИЯ ПОДАТЛИВОСТИ ГРУНТА ОСНОВАНИЯ  
НА ПРОСТРАНСТВЕННОЕ НАПРЯЖЕННОЕ СОСТОЯНИЕ  
ЗДАНИЯ, ПРИ ИСПОЛЬЗОВАНИИ ТРЕХКОМПОНЕНТНОЙ  
АКСЕЛЕРОГРАММЫ ЗЕМЛЕТРЯСЕНИЯ

(Представлено членом-корреспондентом Академии Ш. Г. Напетваридзе 18.10.1979)

В настоящей работе приводятся результаты решения задачи об оценке влияния податливости грунта основания на напряженное состояние пространственной системы типа здания, с использованием трехкомпонентной акселерограммы землетрясения, что в наилучшей степени отвечает реальным условиям сейсмического воздействия.

Следует отметить, что нами уже опубликованы [1] результаты решения той же задачи, но при допущении, что здание заделано в недеформируемом, абсолютно жестком грунте.

В настоящей работе, так же как в [1], в качестве расчетной модели здания рассмотрена сплошная прямоугольная призма, имеющая те же габаритные размеры, что и реальное здание. Модуль упругости  $E_{3d} = 5000 \text{ т/м}^2$  материала модели были назначен, исходя из условия равенства периодов собственных колебаний первого тона реального здания и его расчетной модели.

Расчет напряженного состояния был выполнен методом трехмерных конечных элементов, на основе спектральной теории сейсмостойкости, при использовании трехкомпонентной акселерограммы 9-балльного землетрясения в Газли от 17 мая 1976 г. Масса расчетной модели была рассредоточена по 24 узлам. Считая, что каждая такая сосредоточенная масса имеет по 3 степени свободы, всего было определено 72 частоты (периоды) и формы собственных колебаний здания. Грунт основания был представлен в виде слоя толщиной 15 м при различных модулях упругости:  $2000 \text{ т/м}^2$  (мягкий грунт),  $5000 \text{ т/м}^2$  (грунт средней жесткости),  $2 \cdot 10^6 \text{ т/м}^2$  (скальной грунт). Следует заметить, что модуль упругости  $E_{rp} = 2 \cdot 10^6 \text{ т/м}^2$  практически отвечает случаю расчетной модели здания, исследованной в [1]. Соответственно указанным грунтовым условиям периоды первого тона собственных колебаний здания оказались равными 0,68, 0,6 и 0,54 сек.

На рис. 2 показаны эпюры нормальных  $\sigma_y$ ,  $\sigma_x$  и касательных  $\tau_{xy}$  напряжений в  $\text{т/м}^2$  для различной степени податливости грунта-основания, при учете времени как параметра. При этом определялись максимальные значения этих напряжений во времени.

На рис. 3 приведены аналогичные эпюры, однако в этом случае напряжения были определены без учета времени как параметра. Для этого был использован следующий способ суммирования абсолютных

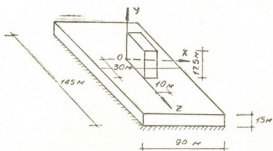


Рис. 1. Расчетная модель системы «Здание—грунт основания» и принятая координатная система

значений одноименных напряжений, определенных по отдельным составляющим акселерограммы:

$$\begin{aligned}\sigma_y(X, Y, Z) &= \sigma_y^{(x)}(X, Y, Z) + \sigma_y^{(y)}(X, Y, Z) + \sigma_y^{(z)}(X, Y, Z), \\ \sigma_x(X, Y, Z) &= \sigma_x^{(x)}(X, Y, Z) + \sigma_x^{(y)}(X, Y, Z) + \sigma_x^{(z)}(X, Y, Z), \\ \tau_{xy}(X, Y, Z) &= \tau_{xy}^{(x)}(X, Y, Z) + \tau_{xy}^{(y)}(X, Y, Z) + \tau_{xy}^{(z)}(X, Y, Z).\end{aligned}\quad (1)$$

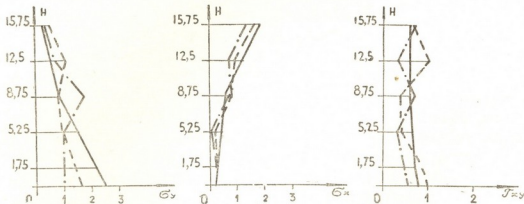


Рис. 2. Эпюры изменения по высоте расчетной модели здания сейсмических напряжений:  $\sigma_y$ ,  $\sigma_x$  и  $\tau_{xy}$  при использовании и трехкомпонентной акселерограммы землетрясения с учетом времени как параметра: — модуль упругости грунта основания  $E = 2 \times 10^5$  т/м $^2$ , —— модуль упругости грунта основания  $E = 5 \times 10^3$  т/м $^2$ , -·— модуль упругости грунта основания  $E = 2 \times 10^3$  т/м $^2$

Слагающие в правой части (1) определялись согласно норм сейсмостойкого строительства [2] по следующим формулам суммирования напряжений по высшим формам собственных колебаний здания:

$$\begin{aligned}\sigma_y^{(x)}(X, Y, Z) &= \sqrt{\sum_{i=1}^{3n} [\sigma_{i,y}^{(x)}(X, Y, Z)]^2}, \\ \sigma_y^{(y)}(X, Y, Z) &= \sqrt{\sum_{i=1}^{3n} [\sigma_{i,y}^{(y)}(X, Y, Z)]^2}, \\ \sigma_y^{(z)}(X, Y, Z) &= \sqrt{\sum_{i=1}^{3n} [\sigma_{i,y}^{(z)}(X, Y, Z)]^2},\end{aligned}$$

где  $i$  — порядковый номер формы собственных колебаний здания;

$$\sigma_{i,y}^{(x)}(X, Y, Z) = W_0^{(x)} \beta_i^{(x)} \sum_{k=1}^n A_k^{(x)}(X, Y, Z) M_k \eta_{i,k}^{(x)},$$

$$\sigma_{i,y}^{(y)}(X, Y, Z) = W_0^{(y)} \beta_i^{(y)} \sum_{k=1}^n A_k^{(y)}(X, Y, Z) M_k \eta_{i,k}^{(y)},$$

$$\sigma_{i,y}^{(z)}(X, Y, Z) = W_0^{(z)} \beta_i^{(z)} \sum_{k=1}^n A_k^{(z)}(X, Y, Z) M_k \eta_{i,k}^{(z)},$$

аналогично записутся формулы для  $\sigma_{ix}^{(x)}$ ,  $\sigma_{ix}^{(y)}$ ,  $\sigma_{ix}^{(z)}$ ,  $\tau_{xy}^{(x)}$ ,  $\tau_{xy}^{(y)}$ ,  $\tau_{xy}^{(z)}$ .

Здесь  $W_0^{(x)}$ ,  $W_0^{(y)}$  и  $W_0^{(z)}$  — максимальные (пиковые) ускорения по составляющим акселерограммы, отвечающим направлениям движения соответственно вдоль осей  $OX$ ,  $OY$ ,  $OZ$ ;  $\beta_i^{(x)}$ ,  $\beta_i^{(y)}$  и  $\beta_i^{(z)}$  — коэффициенты динамичности для  $i$ -й формы собственных колебаний системы, определенные по тем же составляющим акселерограммы;  $M_k$  — масса, сосредоточенная в узле  $K$  системы;  $A_k^{(x)}(X, Y, Z)$  — напряжение  $\sigma_{y,k}^{(x)}(X, Y, Z)$  от сейсмической силы, действующей в узле  $K$  в направлении оси  $OX$ . Аналогичный смысл имеют  $A_k^{(y)}(X, Y, Z)$  и  $A_k^{(z)}(X, Y, Z)$ ;  $\eta_{ik}^{(x)}$ ,  $\eta_{ik}^{(y)}$  и  $\eta_{ik}^{(z)}$  — коэффициенты формы колебаний.

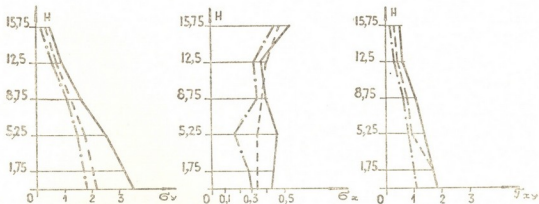


Рис. 3. Эпюры изменения по высоте расчетной модели здания сейсмических напряжений  $\sigma_y$ ,  $\sigma_x$  и  $\tau_{xy}$  при использовании порознь отдельных составляющих акселерограммы землетрясения, без учета времени как параметра: — модуль упругости грунта основания  $E = 2 \times 10^5$  т/м<sup>2</sup>, — модуль упругости грунта основания  $E = 5 \times 10^3$  т/м<sup>2</sup>, —— модуль упругости грунта основания  $E = 2 \times 10^3$  т/м<sup>2</sup>

Сопоставлением рис. 2 и 3 мы пришли к следующему заключению: напряжения, определенные по предложенному способу без учета времени как параметра, достаточно близки к аналогичным напряжениям, рассчитанным с учетом времени. Учет влияния податливости грунта основания приводит к уровню сейсмических напряжений, уменьшенному на 40—80% по сравнению со случаем жесткой заделки здания в основании, что весьма существенно.

Однако следует иметь в виду, что наличие слоя из мягкого грунта повышает сейсмичность участка строительства примерно на 1 балл по сравнению со сейсмичностью скальной породы. Согласно существующей шкале сейсмичности, при этом расчетное ускорение повышается вдвое.

Академия наук Грузинской ССР  
Институт строительной механики  
и сейсмостойкости

(Поступило 19.10.1979)

სამუშაო მინისტრი

ჭ. პუბლიკი

გრუნტის დამყოლობის გავლენა უძონას სიცრცით დაძაბულ  
მდგომარეობაზე მიზისპრის სამკომანენტიანი აქცელეროგრამის  
გამოყენების დროს

რეზიუმე

განხილულია საკითხი თუ რა გავლენას ახდენს სხვადასხვა დრეკადობის  
მქონე გრუნტი შენობის სივრცით დაძაბულ მდგომარეობაზე სეისმური ზემო-  
ქმედების დროს. შენობის დაძაბული მდგომარეობა განისაზღვრება დროის ფაქ-  
ტორის გათვალისწინებით და გაუთვალისწინებლად. ძაბვები განსაზღვრული  
დროის ფაქტორით და დროის ფაქტორის გარეშე პრაქტიკულად არ განსხვავ-  
დებიან ერთმანეთისაგან.

STRUCTURAL MECHANICS

Z. A. KUCHUKH'DZE

USE OF A THREE-COMPONENT EARTHQUAKE ACCELEROGRAM  
IN ASSESSING THE EFFECT OF GROUND YIELDING ON THE  
BUILDING'S THREE-DIMENSIONAL STRESS STATE

Summary

The results of a solution of the title problem are presented. The stress state of the building is calculated using a three-component accelerogram, both with and without account of time as a parameter. Stresses calculated by recourse to a three-component accelerogram without account of time were found to be practically close to stresses calculated with account of time, using the proposed technique of stress summation according to the highest forms of natural oscillation of the building. The yielding of the foundation ground leads to a 40 to 80 percent reduction of the level of seismic stresses.

ლიტერატურა — ЛИТЕРАТУРА — REFERENCES

1. З. А. Кучухидзе. Сб. докладов XI объедин. сессий НИИ Закав. республик по строительству. Тбилиси, 1979.
2. СНиП П-А, 12—69.

## СТРОИТЕЛЬНАЯ МЕХАНИКА

Д. В. БИЧИАШВИЛИ

### МЕТОДИКА ПОСТРОЕНИЯ ЛИНИЙ ВЛИЯНИЯ ДЛЯ ОСЕСИММЕТРИЧНЫХ ОБОЛОЧЕК НА УПРУГОМ ОСНОВАНИИ

(Представлено членом-корреспондентом Академии Ш. Г. Напетваридзе 23.11.1979)

В статье дается методика построения линий влияния для многослойных ортотропных оболочек средней толщины, расположенных на сложном упругом основании винклеровского типа, загруженных осесимметричными нагрузками.

Данная методика может быть применена и при тонких однослойных изотропных свободных оболочках.

Условимся линию влияния, характеризующую изменение фактора  $C$  ( $C = N_r, Q, M_r, T, W, \Theta, N_t, M_t$ ) в заданном сечении оболочки при перемещении единичной нагрузки  $d=1$  ( $d=\bar{n}, \bar{q}, \bar{m}, \bar{t}, \bar{w}, \bar{\Theta}$ ) по меридиану,

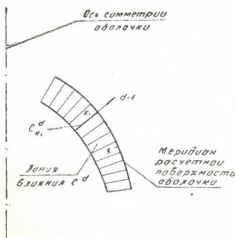


Рис. 1. Элемент оболочки

обозначать  $C^d$ <sup>(1)</sup>; например,  $M_r^{\bar{q}}$  означает линию влияния, характеризующую изменение изгибающего момента  $M_r$  в заданном сечении оболочки при движении вдоль меридиана нагрузки  $\bar{q}=1$ , распределенной по параллели расчетной поверхности оболочки. Ордината  $C_{k_1}^d$  линии влияния  $C^d$  в сечении  $k_1$ , равна усилию  $C$  в заданном сечении при нагрузке  $d=1$ , распределенной по параллели, проходящей через точку  $k_1$  (рис. 1).

Рассмотрим сначала построение линий влияния  $C^d$  при  $C=N_r, Q$  или  $M_r$ , и  $d=\bar{n}, \bar{q}$  или  $\bar{m}$ , т. е. линий влияния усилий от силовой нагруз-

(1) Обозначения пояснены в [1, 2].

ки. Построение этой группы линий влияния покажем на примере линии влияния  $M_r^{\bar{q}}$ , т. е. когда  $C = M_r$  и  $d = \bar{q}$ .

Рассмотрим два состояния оболочки. В состоянии I (рис. 2,а) к оболочке в сечении  $k_1$  (точнее, по параллели, проходящей через сечение  $k_1$ ) приложена нагрузка  $\bar{q}=1$ , вызывающая в сечении  $k$  усилие  $M_{r,k}$ .

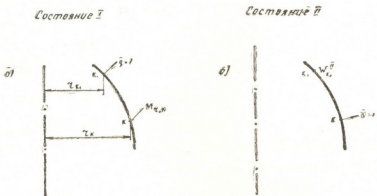


Рис. 2. Два состояния оболочки

В состоянии II в сечении  $k$  действует единичная деформативная нагрузка, соответствующая усилию  $M_{r,k}$ , а именно нагрузка  $\bar{\Phi} = 1$  (рис. 2,б), вызывающая в сечении  $k_1$  перемещение  $W_{k_1}^{\text{II}}$ .

На основании принципа взаимности работ

$$\bar{q} \cdot 2\pi r_{k_1} \cdot W_{k_1}^{\text{II}} + M_r \cdot h \cdot 2\pi r_h \bar{\vartheta} = 0, \quad (1)$$

где  $r_k$  и  $r_{k_1}$ —расстояния от точки  $k$  и  $k_1$  меридиана до оси симметрии оболочки;  $W_{k_1}^{II}$ —перемещение  $W$  точки  $k_1$  во II состоянии.

Фактор + С	Единичная подвижная нагрузка $d$					
	$\bar{n}=1$	$\bar{q}=1$	$\bar{m}=1$	$\bar{l}=1$	$\bar{w}=1$	$\bar{b}=1$
	1	2	3	4	5	6
1 $N_r$	$-T^{\bar{l}} \gamma_1$	$-W^{\bar{l}} \gamma_1$	$-\Theta^{\bar{l}} \gamma_1$	$N_r^{\bar{l}} \gamma_1$	$Q^{\bar{l}} \gamma_1$	$M_r^{\bar{l}} \gamma_1$
2 $Q$	$-T^{\bar{w}} \gamma_1$	$-W^{\bar{w}} \gamma_1$	$-\Theta^{\bar{w}} \gamma_1$	$N_r^{\bar{w}} \gamma_1$	$Q^{\bar{w}} \gamma_1$	$M_r^{\bar{w}} \gamma_1$
3 $M_r$	$-T^{\bar{b}} \gamma_1$	$-W^{\bar{b}} \gamma_1$	$-\Theta^{\bar{b}} \gamma_1$	$N_r^{\bar{b}} \gamma_1$	$Q^{\bar{b}} \gamma_1$	$M_r^{\bar{b}} \gamma_1$
4 $T$	$T^{\bar{n}} \gamma_1$	$W^{\bar{n}} \gamma_1$	$\Theta^{\bar{n}} \gamma_1$	$-N_r^{\bar{n}} \gamma_1$	$-Q^{\bar{n}} \gamma_1$	$-M_r^{\bar{n}} \gamma_1$
5 $W$	$T^{\bar{q}} \gamma_1$	$W^{\bar{q}} \gamma_1$	$\Theta^{\bar{q}} \gamma_1$	$-N_r^{\bar{q}} \gamma_1$	$Q^{\bar{q}} \gamma_1$	$-M_r^{\bar{q}} \gamma_1$
6 $\Theta$	$T^{\bar{m}} \gamma_1$	$W^{\bar{m}} \gamma_1$	$\Theta^{\bar{m}} \gamma_1$	$-N_r^{\bar{m}} \gamma_1$	$-Q^{\bar{m}} \gamma_1$	$-M_r^{\bar{m}} \gamma_1$

Примечание:  $\gamma_1 = \frac{r_{k1}}{r_k}$ .

Учитывая, что  $\bar{q}=1$  и  $\bar{\Theta}=1$ , получаем

$$M_{r,k} = -W_{k_1}^{\text{II}} \frac{r_{k_1}}{r_k}. \quad (2)$$

В соответствии с этим выводом в первых трех строках таблицы заполнены колонки 1—3. Из этой таблицы видно, например, что для получения линии влияния усилия  $N_r$  в сечении  $k$  от единичной подвижной нагрузки  $\bar{m}$ , надо в сечении  $k$  приложить единичную деформативную нагрузку  $\bar{t}$ , от нее построить эпюру углов поворота  $\Theta$  и умножить ее ординаты на  $-\gamma_1 = -\frac{r_{k_1}}{r_k}$ .

Аналогичным путем получены и остальные выражения, приведенные в таблице.

Построение необходимых эпюр для получения линий влияния многослойных ортотропных оболочек средней толщины можно производить по методике, изложенной в [1].

Линии влияния усилий  $N_t$  и  $M_t$  в сечении  $k$  оболочки можно построить лишь после того, как построены линии влияния  $N_r$ ,  $M_r$ ,  $T$ ,  $W$  и  $\Theta$  для этого сечения.

Грузинский политехнический институт  
им. В. И. Ленина

(Поступило 23.11.1979)

სამსახური მინისტრი

ქ. ბიძიაშვილი

გავლენის ზირმანის აგების გეომეტრიკა დროკად ფუძეზე განლაგებული  
ღრმდებამოტრიული გარსებისათვის

რეზიუმე

წარმოდგენილია გავლენის წირების აგების მეთოდიკა მრავალშრიანი,  
ორთოტროპული საშუალო სისქის ბრუნვის გარსებისათვის, რომლებიც გან-  
ლაგებული არიან ვინჯლერის ტიპის რთულ დრეკად ფუძეზე და განიცდიან  
ღრმდებამოტრიული დატვირთვების ზემოქმედებას.

## STRUCTURAL MECHANICS

D. V. B. CHASHVILI

### A METHOD OF PLOTTING THE EFFECT LINES FOR AXISYMMETRICAL SHELLS OF WINKLER TYPE

*Summary*

A method is proposed for plotting the effect lines for multilayer average thickness orthotropic shells of revolution distributed on a Winkler type complex elastic base with axisymmetrical loads.

#### ლიტერატურა — REFERENCES

1. Д. В. Бичиашвили. Изв. вузов. Строительство и архитектура, № 9, 1978.
2. Д. В. Бичиашвили. Изв. вузов. Строительство и архитектура, № 11, 1978.



საგადოთა დამუშავება და გამჭიდვება

ო. ლანჩაშვილი

გვირაბის ტედლის უზომილო ტემპერატურის განსაზღვრისათვის

(წარმოადგინა ფაფუმიკოსმა ო. ძიძეგურმა 15.11.1979)

შახტის სავენტილაციო ნაკადის სითბური გაანგარიშებისას ერთ-ერთი ამოსავალი სიდიდეა გვირაბის გარშემომცველი სამთო მასივის ბუნებრივი ტემპერატურა.

გვირაბში თერმული წყლების მოდენისას მასივის ტემპერატურული ველი იცვლება არა მარტო გვირაბის ლერძულა ხაზის გასწვრივ, არამედ პერიმეტრზეც, რაც გამოწევეულია სწორედ თერმული წყლების არსებობით. მასივის ბუნებრივი ტემპერატურა ამ შემთხვევაში არ გმოდგება სავენტილაციო ნაკადის ტემპერატურის ზრდის შესაფასებელ სიდიდედ და აუცილებელია სანგარიშო ფორმულებში გათვალისწინებულ იქნეს თერმული წყლების ტემპერატურა [1]. ამასთანავე, არასტაციონარული სითბოს მიმოცვლის კოეფიციენტი  $K_t$  განისაზღვრება ფორმულით [2]

$$K_t = \alpha \theta, \quad (1)$$

სადაც  $\alpha$  არის თბოგაცემის კოეფიციენტი,  $\theta$  — გვირაბის კედლების უზომილო ტემპერატურა.

წინამდებარე ნაშრომში გვირაბის კედლების უზომილო ტემპერატურის განსაზღვრისათვის გამოყენებულია მსგავსების თეორია. სითბური ენერგიის გადანაწილება ხდება სისტემაში, რომელიც შედგება შემდეგი კომპონენტებისაგან: თერმული წყალი — ქანი — სავენტილაციო ნაკადი. ჩვენ შევადგინეთ ამ სისტემის მათემატიკური მოდელი თერმული წყლების არინების სხვადასხვა წესისათვის.

მოდელებიდან ინფორმაციის მისაღებად გამოვიყენეთ არასტაციონარული ფიზიკური პროცესების ინტეგრატორი მინტ-3/66. მოდელირების შედეგად მივიღეთ უზომილო ტემპერატურის ცვლილების გრაფიკები დროსა და სივრცეში. ზემოთ აღნიშნული სისტემის სხვადასხვა გომეტრიული და ფიზიკური პარამეტრების (გვირაბის ზომების, ქანების თბოგაზიკური მახსიათებლების, თერმული წყლების დონისა და ტემპერატურის) მიხედვით შევადგინეთ 100-ზე მეტი მოდელი. მოდელირების შედეგად მიღებული პირველადი გრაფიკების გადამუშავებამ და ანალიზმა საშუალება მოგვცა დაგვედგინა, რომ

$$\theta = f(Fo, Bi), \quad (2)$$

სადაც  $Fo$  ფურიეს რიცხვია,  $Bi$  — სასაზღვრო პირობების ბიოს კრიტერიუმი. ამასთანავე ფურიეს რიცხვი და ბიოს კრიტერიუმი მოიცავენ ზემოთ ხსნებულ გომეტრიულ და ფიზიკურ პარამეტრებს და თვითონაც ცვლადები არიან, ოღონდ განზოგადებული.



გვირაბის კედლების უზომილ ტემპერატურა თერმული წყლების არანების სხვადასხვა წესისათვის განზოგადებული ცელაციების მეშვეობით შეიძლება განსაზღვრულ ქქნას შემდეგი ემპირიული გამოსახულებით:

$$\vartheta = K \left[ a + (1 - a) \exp \left( - \frac{c Fo}{Bi} \right) \right], \quad (3)$$

სადაც  $K$  კოეფიციენტია, რომელიც ითვალისწინებს თერმული წყლების არინების წესს; თერმული წყლების არინებისას სტანდარტული ბეტონის სახურავიანი არხით  $K=1,0$ , ხოლო თუ არინება ხდება არხით, რომელსაც ქვებს თერმოსაზოლაციო შრინი სახურავი, მაშინ  $K=0,952$ ;  $a$ ,  $c$  — ეპიროტული კოეფიციენტებია, რომლებიც იცვლებიან  $Fo$  და  $Bi$  მნიშვნელობათა მიხედვით. მათი სიდიდეები მოცემულია 1 და 2 ცხრილებში.

<i>Bi</i>	3	6	8	20	40	50 ແລະ 80
<i>a</i>	0,40	0,28	0,20	0,15	0,12	0,10

Fo	Bi					
	3	6	8	20	40	50 සා මේටෝ
0,02	10,5	31	68	268	340	1275
0,03	8,5	40	85	353	900	1365
0,04	8,5	40	90	377	920	1275
0,05	9,0	41	99	298	856	1170
0,06	9,5	40	97	336	787	1065
0,07	9,5	38	94	317	737	993
0,08	9,5	38	91	297	660	912
0,09	9,5	36	87	286	650	878
0,1	9,0	35	82	266	596	830
0,2	8,7	28	59	192	428	575
0,3	7,8	24	48	156	358	465
0,4	6,9	21	41	132	304	390
0,5	6,3	19	37	117	228	340
0,6	6,0	18	31	111	202	298
0,7	5,6	17	29	99	216	272
0,8	5,2	16	28	88	205	256
0,9	4,8	15	26	79	195	250
1,0	4,6	13	25	72	184	255
2,0	3,6	10	17	42	104	155
3,0	2,8	8	13	34	81	115
4,0 සා මේටෝ	2,8	6,5	13	30	75	92

სითბური ენერგიის გადაწყვეტილებას სისტემაში თერმული წყალი-ქანი-სა-კენტრილაციო ნაკადი მრავალი თავისებურება ახასიათებს. მათ შორის აღსანიშ-ნავია ის, რომ ბიოსა და ფურიეს კრიტერიუმების ზრდით პროცესის მიმდინარეობის ინტენსიურობა მცირდება. თუ ფურიეს კრიტერიუმის ჩატვირთვის მნიშვნელობა გახდება 4,0, ხოლო ბიოსა — 50, მაშინ მათი შემცველობის ზრდა სითბური

ჩი პროცესის მიმდინარეობის ინტენსიურობაზე პრაქტიკულ გავლენას აღარ ახდენს და  $a$  და  $c$  კოეფიციენტები ამ შემთხვევაში შეიძლება აღნიშნული კრიტერიუმების კიდური მნიშვნელობებისათვის. ფურიესა და ბიოს კრიტერიუმების იმ საშუალებო მნიშვნელობებისათვის, რომლებიც ცხრილებში არ არიან მოხვედრილი, ა და  $c$  კოეფიციენტები შეიძლება განისაზღვროს შროფითი ინტერპოლაციით.

ერთმანეთს შევადარეთ მოდელირებით მიღებული და (3) ფორმულით გამოთვლილი შედეგები. გამოირჩეა, რომ (3) ფორმულით გვირაბის კედლების უზომილო ტემპერატურის განსაზღვრა შეიძლება 0,3% სიზუსტით.

საქართველოს სსრ მეცნიერებათა აკადემია  
გ. წულუკიძის სახელობის სამთო მეცნიერების  
ინსტიტუტი

(შემოვიდა 29.11.1979)

## РАЗРАБОТКА И ОБОГАЩЕНИЕ МЕСТОРОЖДЕНИЙ

О. А. ЛАНЧАВА

### К ОПРЕДЕЛЕНИЮ БЕЗРАЗМЕРНОЙ ТЕМПЕРАТУРЫ СТЕНОК ГОРНОЙ ВЫРАБОТКИ

#### Резюме

Дается эмпирическая формула и коэффициенты для определения безразмерной температуры стенок горной выработки с термальными водами.

## EXPLOITATION OF DEPOSITS AND CONCENTRATION

O. A. LANCHAVA

### TOWARDS DETERMINING THE DIMENSIONLESS TEMPERATURE OF THE WALLS OF UNDERGROUND WORKING

#### Summary

Mathematical modelling of heat exchange was carried out in the system: thermal waters-rocks-mine air with a view to determining the dimensionless temperature of the walls of underground working with thermal waters. The following formula is proposed as a result:

$$\vartheta = K \left[ a + (1 - a) \exp \left( - \frac{cF_o}{Bi} \right) \right],$$

where  $K$ ,  $a$ ,  $c$  are empirical coefficients the values of which are given in the paper;  $F_o$  is the Fourier number;  $Bi$  the criteria of the Biot boundary conditions.

## ღიტერატურა — ЛИТЕРАТУРА — REFERENCES

1. Ш. И. Ониани, О. А. Ланчава. Сб. «Руководство по регулированию теплового режима шахт». М., 1977.
2. Ш. И. Ониани, О. А. Ланчава. Сообщения АН ГССР. 77, № 1, 1975.
3. А. Г. Тарапон. Моделирование нестационарных полей на интеграторах ЭИНП. Киев, 1970.



## РАЗРАБОТКА МЕСТОРОЖДЕНИЙ И ОБОГАЩЕНИЕ

А. С. МИКЕЛАДЗЕ

### О ГРУППИРОВКЕ УГОЛЬНЫХ ПЛАСТОВ ПО МОЩНОСТИ И УГЛУ ПАДЕНИЯ

(Представлено академиком А. А. Дзандзигури 25.10.1979)

Мощность и угол падения пластов существенно влияют на выбор способов вскрытия и подготовки, систем разработки, средств механизации очистных и подготовительных выработок, способов крепления и управления горным давлением, схем вентиляции, доставки добытого угля и др.

По мощности, как известно, различают весьма тонкие (до 0,5 м), тонкие (0,5—1,3 м), средней мощности (1,3—3,5 м) и мощные (более 3,5 м) пласты, а по углу падения — пологие (до 25°), наклонные (25—45°) и крутые (более 45°) пласти [1].

Подобное деление пластов по мощности и углу падения, на наш взгляд, является условным и далеко не отвечает современным требованиям горной науки и практики. Главной целью группировки пластов по элементам залегания должно быть создание условий для определения наиболее приемлемых способов вскрытия и подготовки, систем разработки, технологических схем очистных и подготовительных работ, схем вентиляции и прочих параметров.

С горнотехнической точки зрения выделение весьма тонких, тонких и средней мощности угольных пластов следует считать естественным и совершенно обоснованным, тогда как объединение пластов мощностью более 3,5 м только в одну группу нецелесообразно и малоубедительно.

В самом деле, для пластов мощностью более 3,5 м при существующей в настоящее время технике и технологии угледобычи можно выделить диапазоны мощностей, при которых намечаются характерные для них тенденции применения и развития способов вскрытия и подготовки, систем разработки и технологии очистных работ. Так, на пластах мощностью от 3,5 до 5—6 м перспективными являются системы разработки на полную мощность, например столбовые, камерные и камерно-столбовые, а также слоевые системы, преимущественно системы разработки наклонными и поперечно-наклонными слоями.

Со временем, после создания соответствующих средств выемки угля и крепления очистного забоя (например, мехкомплексов или щитовых крепей), по-видимому, преобладающее значение приобретут системы разработки, обеспечивающие отработку пластов на всю мощность.

На пластах мощностью от 5—6 до 10—12 м предпочтительно применять системы разработки наклонными слоями, а также комбинированные системы разработки с гибким перекрытием (при углах наклона до 60°) и щитовые системы (на пластах с падением более 60°).

Для пластов мощностью более 10—12 м системы разработки без разделения на слои малоперспективны и практически неприемлемы. Их целесообразнее разрабатывать горизонтальными и сравнительно

редко наклонными слоями. Перспективны также комбинированные системы, при которых пласти разделяются на наклонные слои значительной мощности (5—6 м и более), разрабатываемые, в свою очередь, на полную мощность (например, щитами) или с делением на слои (например, поперечно-наклонными слоями или системой КГП).

На пластах мощностью до 5—6 м предпочтение отдается пластовой или групповой подготовке, тогда как более мощные пласти преимущественно подготавливаются полевыми выработками.

В связи с вышеизложенным считаем целесообразным по мощности выделить шесть групп пластов: весьма тонкие (до 0,5 м), тонкие (0,5—1,3 м), средней мощности (1,3—3,5 м), выше средней мощности (от 3,5 до 5—6 м), мощные (от 5—6 до 10—12 м) и весьма мощные (более 10—12 м) пласти.

Аналогичные рассуждения дают основание отдать предпочтение также более дробному делению пластов по углам падения. В частности, при углах падения пластов до 12° предпочтение отдается панельным и одногоризонтным схемам подготовки, при которых разработка осуществляется соответственно длинными столбами по простиранию или столбами по падению (восстанию); при углах наклона от 12 до 35° — этажной схеме подготовки, причем раскройка этажей обычно осуществляется из капитальных бремсбергов (уклонов).

В обоих случаях в очистных забоях успешно применяются современные средства выемки угля и крепления очистного забоя (механизированные крепи и комплексы, оборудованные узкозахватными комбайнами или стругами), причем на пластах с углом падения до 12° преимущество имеют забои, расположенные по простиранию, обеспечивая передвижение по падению при обрушении или по восстанию при закладке. При большем угле падения пластов очистной забой обычно располагается по падению, а передвигают его по простиранию. Механизированные крепи и комплексы при этом снабжаются системой устойчивости и противоопрокидывания. Со временем, после создания соответствующих средств комплексной механизации, область применения систем разработки длинными столбами по падению (восстанию) расширится на пластах с падением до 18°, возможно и при большем падении, особенно при работе с закладкой.

Пласти с углами падения более 35°, как правило, вскрываются многогоризонтным способом центрально-сдвоенными или строенными вертикальными стволами с поэтажной углубкой. Схема подготовки этажная (погоризонтальная). Отработка этажей (горизонтов) осуществляется последовательно сверху вниз или одновременно на двух или даже трех этажах (горизонтах) с опережением горных работ на верхнем этаже (горизонте).

Для этих пластов весьма ограничен выбор современных средств комплексной механизации (комбайнов, мехкрепей и комплексов). Конструктивно они, особенно механизированные крепи и комплексы, сложны и трудноуправляемы.

С практической точки зрения пласти с падением более 35° целесообразно разделить на две группы с углом падения от 35 до 55—60° и более 55—60°. Для обеих групп по-разному решаются вопросы крепления и поддержания очистных забоев и подготовительных выработок, управления горным давлением и т. д. Так, на пластах с углом падения до 55—60° сравнительно легко обрушаются породы кровли, а почва относительно устойчива. При большем угле падения пластов может обрушаться не только кровля, но и почва, по крайней мере созда-

ется опасность ее сползания. На пластах с углом падения до  $55-60^{\circ}$  предпочтение обычно отдается управлению горным давлением с обрушением, а при большем падении — полной закладкой выработанного пространства.

Выделение упомянутых групп пластов по углу падения, как убедились выше, перспективно и по условиям выбора систем разработки, включая технологию очистных работ, особенно для мощных пластов.

В рассмотренных диапазонах углов падения пластов значительно отличаются также способы доставки и транспортировки угля, материалов и людей, схемы вентиляции и др.

Таким образом, по углам падения пласти целесообразно разделить на четыре группы: пологие (до  $18^{\circ}$ ), слабонаклонные (от  $18$  до  $35^{\circ}$ ), сильнонаклонные (от  $35$  до  $60^{\circ}$ ) и крутые (более  $60^{\circ}$ ).

Нетрудно заметить, что данная группировка пластов по углам падения принципиально мало отличается от схемы, предложенной в ПТЭ для угольных и сланцевых шахт [2]. Разница сводится в основном к терминологическому расхождению. В частности, в предложенной группировке рекомендуются термины слабо- и сильнонаклонные взамен терминов наклонные и крутонаклонные. Группа наклонных пластов в ПТЭ включает сравнительно узкий диапазон углов падения — от  $18$  до  $35^{\circ}$ , хотя само понятие наклонные по содержанию более широкое, охватывающее падение от горизонтального до вертикального. Что касается термина крутонаклонные, он, на наш взгляд, неудачен. Можно применять, например, термины оградительно-поддерживающие и поддерживающие оградительные крепи, так как они имеют как поддерживающие, так и оградительные элементы или же, скажем, хрупко-пластичные тела, имеющие пластические и хрупкие свойства. Использование же термина крутонаклонные пласти нецелесообразно, так как они одновременно не могут быть отнесены к наклонным и крутым пластам.

В предложенной схеме прежде всего выделяются крайние группы пластов: пологие (до  $18^{\circ}$ ) и крутые (более  $60^{\circ}$ ). Пласти же в диапазоне от  $18$  до  $60^{\circ}$ , по существу называемые наклонными, предлагается подразделить на слабо- и сильнонаклонные с падением до и более  $35^{\circ}$ .

Предложенные схемы группировки пластов по мощности и углу падения и соответствующая им номенклатура, по сравнению с общепринятой, на наш взгляд, более перспективны, так как могут обеспечить более правильный подход к решению вопросов подземной эксплуатации угольных месторождений.

Академия наук Грузинской ССР

Институт горной механики

им. Г. А. Цулукидзе

(Поступило 7.12.1979)

---

საბაზოთა დაგუავისა და გამოყენება

ა. მიკოლაძე

ქვანაზირის ფინანსის დაჯგუფების შესახებ სისტემა და დაწანის მიხედვით

რეზოუმე

სისტემა და დაქანების მიხედვით ქვანაზირის ფინანსის დაჯგუფების არსებული სქემები მათი მიწისქვეშა წესით დამუშავების საკითხების გადაჭრის დროს ვერ აქმაყოფილებენ პრაქტიკისა და სამთო მეცნიერების თანამედროვე მოთხოვნებს.

რეკომენდებულია ქვანახშირის ფენების დაყგუფება სისქის მიხედვით: ძალიან თხელი (0,5 მ), თხელი (0,5—1,3 მ), საშუალო სისქის (1,3—3,5 მ), საშუალოზე მეტი სისქის (3,5—6 მ), სქელი (5—12 მ) და ძალიან სქელი (12 მ-ზე მეტი) ფენები; დაჭანების მიხედვით: ღამრეცი (18°-მდე), მცირედ დახრილი (18—35°), მეტად დახრილი (36—60°) და ციცაბო (60°-ზე ზევით) ფენები.

## EXPLOITATION OF DEPOSITS AND CONCENTRATION

A. S. MIKELADZE

### GROUPING OF COAL SEAMS ACCORDING TO THICKNESS AND ANGLE OF INCIDENCE

#### Summary

The existing grouping schemes of coal seams according to thickness and angle of incidence fail to satisfy present-day demands of practice and mining science when solving the problem of their underground exploitation.

It is recommended to group coal seams according to their thickness: very thin (up to 0.5m); thin(0.5-1.3m); medium thickness (1.3-3.5m); above the medium thickness (from 3.5 up to 5-6m); thick (from 5-8m up to 10-12m) and very thick (above 10-12m). According to the angle of incidence: gently sloping (up to 18°); weakly sloping (from 18° up to 35°); heavy sloping (from 35° up to 55-60°) and steep (above 55-60°)seams.

#### ლიტერატურა — ЛИТЕРАТУРА — REFERENCES

1. Горное дело. Терминологический словарь. Под ред. Н. В. Мельникова. М., 1974.
2. Правила технической эксплуатации для угольных и сланцевых шахт. М., 1976.

Г. Б. РУРУА

## ОГРАНИЧЕННЫЕ КЛАССИЧЕСКИЕ ПЛАНЫ ПРИ ПЛАНИРОВАНИИ МНОГОФАКТОРНЫХ ЭКСПЕРИМЕНТОВ

(Представлено членом-корреспондентом Академии Ш. Г. Напетваридзе 31.1.1980)

Классический план применяется абсолютно во всех областях планирования инженерных экспериментов [1], в том числе и в гидротехнике и гидравлике [2].

Классический план состоит в том, что если зависимая переменная  $y$  является функцией нескольких независимых друг от друга регулярных переменных—факторов  $x_1, x_2, \dots, x_n$ , все эти переменные, кроме одной, полагают постоянными, а эта одна переменная изменяется во всем интервале значений. Т. е. по существу классический многофакторный план представляет собой просто последовательность однофакторных планов-экспериментов.

Классический план, например, для трехфакторного эксперимента  $y = f(x_1, x_2, x_3)$ , при изменении каждого фактора на трех уровнях имеет вид табл. 1.

Таблица 1

$X_1$	$\mathcal{X}_1^{(1)}$			$\mathcal{X}_1^{(2)}$			$\mathcal{X}_1^{(3)}$		
$X_3$	$\mathcal{X}_2$								
	$\mathcal{X}_2^{(1)}$	$\mathcal{X}_2^{(2)}$	$\mathcal{X}_2^{(3)}$	$\mathcal{X}_2^{(1)}$	$\mathcal{X}_2^{(2)}$	$\mathcal{X}_2^{(3)}$	$\mathcal{X}_2^{(1)}$	$\mathcal{X}_2^{(2)}$	$\mathcal{X}_2^{(3)}$
$X_3^{(1)}$	$y^{(1,1,1)}$	$y^{(1,2,1)}$	$y^{(1,3,1)}$	$y^{(2,1,1)}$	$y^{(2,2,1)}$	$y^{(2,3,1)}$	$y^{(3,1,1)}$	$y^{(3,2,1)}$	$y^{(3,3,1)}$
$X_3^{(2)}$	$y^{(1,1,2)}$	$y^{(1,2,2)}$	$y^{(1,3,2)}$	$y^{(2,1,2)}$	$y^{(2,2,2)}$	$y^{(2,3,2)}$	$y^{(3,1,2)}$	$y^{(3,2,2)}$	$y^{(3,3,2)}$
$X_3^{(3)}$	$y^{(1,1,3)}$	$y^{(1,2,3)}$	$y^{(1,3,3)}$	$y^{(2,1,3)}$	$y^{(2,2,3)}$	$y^{(2,3,3)}$	$y^{(3,1,3)}$	$y^{(3,2,3)}$	$y^{(3,3,3)}$

В этой таблице  $x_1^{(1)}, x_2^{(2)}, \dots, x_3^{(3)}$  — фиксированные значения переменных  $x_1, x_2, x_3$ , а  $y^{(1,1,1)}, y^{(1,1,2)}, \dots, y^{(3,3,3)}$  — соответственно значения зависимой переменной  $y$ , которые иногда называют узлами или комбинациями.

Если число регулярных независимых переменных — факторов — равно  $n$ , а число уровней каждого фактора, устанавливаемое известным методом [1], равно  $m_1, m_2, \dots, m_n$ , то число узлов  $N$  в классическом плане равно  $N = m_1 \cdot m_2 \cdot \dots \cdot m_n$ . Следовательно, при большом числе факторов и уровней число узлов классического плана получается весьма большим. По этой причине зачастую отказываются от него [1, 2].

Рассмотрим возможность ограничения классического плана при отсутствии в эксперименте внешних нерегулярных факторов.

Обычно в практике инженерного эксперимента заранее не известна модель искомой функциональной зависимости, но она может иметь как простой, так и сложный вид.

Рассмотрим сперва двухфакторный эксперимент. Модель искомой двухфакторной зависимости может иметь различные виды, как простые, так и сложные. Например,

$$\begin{aligned} \text{a) } y &= f_1(x_1) f_2(x_2); \quad \text{b) } y = f_1(x_1) + f_2(x_2); \\ \text{c) } y &= [f_1(x_1)]^{f_2(x_2)}; \quad \text{d) } y = f_1(x_1) f_2(x_2) + f_3(x_1) f_4(x_2); \text{ и т. д.} \end{aligned} \quad (1)$$

В зависимости (1) функции  $f_1(x_1)$ ,  $f_2(x_2)$ ,  $f_3(x_1)$ ,  $f_4(x_2)$  и т. д. могут быть со своей стороны как одночленными элементарными, так и многочленными сложными функциями. Например,

$$\begin{aligned} f_1(x_1) &= f_1^{(1)}(x_1) f_1^{(2)}(x_1), \quad f_1(x_1) = [f_1^{(1)}(x_1)]^{f_1^{(2)}(x_1)}, \\ f_1(x_1) &= f_1^{(1)}(x_1) + f_1^{(2)}(x_1) + \cdots + f_1^{(k_1)}(x_1) \text{ и т. д.} \end{aligned} \quad (2)$$

Здесь  $f_1^{(1)}(x_1)$ ,  $f_1^{(2)}(x_1)$ , ...,  $f_1^{(k_1)}(x_1)$  являются элементарными одночленными функциями.

Допустим, что нам одним из известных методов однофакторного эксперимента [1] удалось определить модель функциональной зависимости вида

$$y_1^{(-, j)} = f(x_1, x_2^{(j)}), \quad y_2^{(i, -)} = f(x_1^{(i)}, x_2), \quad (3)$$

что равносильно установлению функций  $f_1(x_1)$ ,  $f_2(x_2)$ ,  $f_3(x_1)$  и т. д. В противном случае, надо полагать, что не существует функциональной зависимости и даже пользуясь классическим планом нельзя определить модель искомой функции. В зависимости (2)  $j$  может иметь одно из значений  $1, 2, \dots, m_2$ , а  $i$   $1, 2, \dots, m_1$ .

Если (3) имеет вид

$$y_1^{(-, j)} = f_1(x_1) a_2^{(j)}, \quad y_2^{(i, -)} = f_2(x_2) a_1^{(i)}, \quad (4)$$

то модель искомой функциональной зависимости будет произведением  $f_1(x_1)$  на  $f_2(x_2)$ . В самом деле, умножая (4) почленно и принимая во внимание, что  $a_1^{(i)} = f_1(x_1^{(i)})$ ,  $a_2^{(j)} = f_2(x_2^{(j)})$ ,  $a_1^{(i)} \cdot a_2^{(j)} = f_1(x_1^{(i)}) f_2(x_2^{(j)}) = y^{(i, j)}$ , получаем

$$y = \frac{y_1^{(-, j)} \cdot y_2^{(i, -)}}{y^{(i, j)}}. \quad (5)$$

Согласно (5) для нахождения модели искомой функциональной зависимости вида (4), т. е. когда функциональная зависимость является произведением вида (1-а), не требуются все узлы классического плана. Достаточны лишь только те узлы, которые содержат один из членов зависимости (5), т. е. возможно ограничение классического плана. Например, для второго члена зависимости (5) ограниченный классический план будет иметь вид табл. 2.

Таблица 2

$x_1$	$y^{(1,2)}$	$\boxed{y^{(2,2)}}$	$y^{(3,2)}$	.....	$y^{(m_1,2)}$
$x_2$	$y^{(2,1)}$	—	$y^{(2,3)}$	.....	$y^{(2,m_2)}$

В табл. 2  $y^{(2,2)}$  и (5) зависимости  $y^{(1,1)}, y^{(2,2)}, \dots, y^{(m_1, m_2)}$  являются перекрестными узлами и они должны отличаться от нуля.

Если (4) имеет вид

$$y_1^{(-, i)} = \sum_{\mu=1}^{k_1} b_1^{(\mu)} f_1^{(\mu)}(x_1), \quad y_2^{(i, -)} = \sum_{v=1}^{k_2} b_2^{(v)} f_2^{(v)}(x_2) \quad (6)$$

и члены  $y_1^{(-, i)}$  по отдельности не равны членам  $y_2^{(i, -)}$  — при фиксированных уровнях  $x_1^{(i)}$  и  $x_2^{(j)}$ , то моделью искомой двухфакторной функции является произведение  $f_1(x_1)$  на  $f_2(x_2)$ .

При наличии  $n$  регулярных факторов, когда  $y=f(x_1, x_2, \dots, x_n)$ , то на подобии (5) модель искомой зависимости определяется по формуле

$$y = \frac{y_1^{(-, j, \dots, k)} \cdot y_2^{(i, -, \dots, k)} \cdots y_n^{(l, j, \dots, k)}}{[y^{(i, j, \dots, k)}]^{n-1}}. \quad (7)$$

В этом случае число необходимых узлов ограниченного классического плана равно  $N_1 = m_1 + m_2 + \dots + m_n - n + 1$ .

Если (3) имеет вид

$$y_1^{(-, i)} = f_1(x_1) + a_2^{(i)}, \quad y_2^{(i, -)} = f_2(x_2) + a_1^{(i)}, \quad (8)$$

то модель искомой  $y$  функции будет суммой  $f_1(x_1)$  и  $f_2(x_2)$ . В самом деле, просуммировав члены зависимости (8) и принимая во внимание, что  $a_1^{(i)} = f_1(x_1^{(i)})$ ,  $a_2^{(j)} = f_2(x_2^{(j)})$ ,  $a_1^{(i)} + a_2^{(j)} = f_1(x_1^{(i)}) + f_2(x_2^{(j)})$ , получаем

$$y = y_1^{(-, i)} + y_2^{(i, -)} - y^{(i, i)} \quad (9)$$

Согласно (9) для нахождения модуля искомой  $y$  функции вида (8), т. е. когда  $y$  является суммой вида (I-в), не требуется составление классического плана, достаточен и ограниченный план.

При наличии  $n$  регулярных факторов, когда  $y=f_1(x_1)+f_2(x_2)+\dots+f_n(x_n)$ , то на подобии (9) модель искомой  $y$  функции определяется по зависимости

$$y = y_1^{(-, i, \dots, k)} + y_2^{(i, -, \dots, k)} + \dots + y_n^{(i, j, \dots, -)} - [y^{(i, j, \dots, k)}] (n-1). \quad (10)$$

Если (3) имеет вид

$$y_1^{(-, i)} = [f_1(x_1)]^{a_2^{(i)}}, \quad y_2^{(i, -)} = [a_1^{(i)}]^{f_2(x_2)}, \quad (11)$$

то модель искомой  $y$  функции будет  $f_1(x_1)$  в степени  $f_2(x_2)$  и (11) можно придать вид

$$\lg y_1^{(-, i)} = a_2^{(i)} \lg f_1(x_1), \quad \lg y_2^{(i, -)} = f_2(x_2) \lg a_1^{(i)}. \quad (12)$$

(12) является такой же зависимостью, как и (4). Поэтому для нахождения модели искомой  $y$  функции можно воспользоваться (5) формулой, которая в данном случае примет вид

$$\lg y = \frac{\lg y_1^{(-, i)} \lg y_2^{(i, -)}}{\lg y^{(i, i)}}. \quad (13)$$

Если (3) имеет вид (6) и члены  $y_1^{(i,-)}$  по отдельности равны членам  $y_2^{(i,-)}$  при фиксированных уровнях  $x_1^{(i)}$  и  $x_2^{(j)}$ , т. е. если  $b_1^{(u)} f_1^{(u)}(x_1^{(i)}) = b_2^{(v)} f_2^{(v)}(x_2^{(j)})$ , то модель искомой  $y$  функции будет смешанным произведением вида (1— $d$ ) и находится по формуле

$$y = \frac{\sum_{\mu=1}^{k_1} b_1^{(\mu)} f_1^{(\mu)}(x_1) \sum_{\nu=1}^{k_2} b_2^{(\nu)} f_2^{(\nu)}(x_2)}{\sum_{\mu=1}^{k_1} b_1^{(\mu)} f_1^{(\mu)}(x_1^{(i)})}. \quad (14)$$

В практике инженерного многофакторного эксперимента могут встретиться более сложные комбинации функциональной зависимости, в которых модели однофакторных экспериментов — зависимостей объединяют, одновременно включают, все виды (1). В таком случае составление модели искомой  $y$  функции производится поочередно, с использованием вышеописанных формул и равенств. При этом, как было показано, достаточно составление ограниченного классического плана. Выигрыш составляет  $N - N_1$ .

Грузинский политехнический институт

им. В. И. Ленина

(Поступило 1.2.1980)

კიბროტიანია

8. რურა

მეზღვული კლასიკური გეგმით მიმდინარეობის მრავალფაქტორიანი ექსპერი-

მენტის ფუნქციონალური დამოკიდებულების მოდელის დადგენა, როცა ცალ-

კეული ფაქტორები ურთიერთდამოუკიდებელია, რეგულარულია და ცნობილი მეთოდებით შესაძლებელია მათი გაცენის მოდელების განსაზღვრა ცალ- ცალები.

HYDRAULIC ENGINEERING

G. B. RURUA

## LIMITED CLASSICAL PLANS IN DESIGNING MULTIFACTOR EXPERIMENTS

*Summary*

It is proposed to limit classical plans in order to determine the model of the unknown multifactor functional dependence of engineering multifactor experiments. Classical plans can be limited on condition that there exist only regular factors which are independent of each other, and provided it is feasible to determine, by the known methods, the pattern of dependence of the unknown function on these regular factors separately. Whereas the number of experiment-units in the classical plan is determined by the number of factors and their levels equalling  $m_1 \cdot m_2 \cdot \dots \cdot m_n$ , in the limited plan it will total  $m_1 + m_2 + \dots + m_n - n + 1$ .

### ლიტერატურა — REFERENCES

1. Х. Шенк. Теория инженерного эксперимента. М., 1972.
2. Г. Б. Руруа, К. Ф. Гогичаишвили, Д. И. Тавзарishvili. Сообщения АН ГССР, 10, № 2, 1966

## АВТОМАТИЧЕСКОЕ УПРАВЛЕНИЕ И ВЫЧИСЛИТ. ТЕХНИКА

Г. Г. ЧОГОВАДЗЕ, Г. Ш. ГВИНЕПАДЗЕ

### ОПТИМИЗАЦИЯ ПОИСКА ИНФОРМАЦИИ В ЗАПОМИНАЮЩИХСЯ УСТРОЙСТВАХ ПРЯМОГО ДОСТУПА

(Представлено членом-корреспондентом Академии В. К. Чичинадзе 4.7.1979)

Известно, что при решении задач информационного характера большая часть времени (около 95%) уходит на поиск релевантной информации [1]. Отсюда видно, как важно минимизировать это время.

Рассмотрим некоторые распространенные типы организации данных и способы доступа к ним. Укажем при этом пути минимизации времени поиска данных.

Как известно, при косвенной адресации невозможно все записи находить за одно обращение — поиск их определенной части потребует дополнительных обращений к внешней памяти. Для уменьшения их числа стараются подобрать метод рандомизации, реализация которого приводит к образованию сравнительно небольшого числа синонимов. Однако, как будет показано ниже, все «хорошие» методы при достаточно большом числе записей в файле дают одинаковый результат.

Для примера рассмотрим метод организации «случайный элемент с повторениями». Математическое ожидание числа совпадений по [2]:

$$M = -1 + \frac{1}{\mu} \ln \frac{1}{1-\mu}, \quad (1)$$

где  $\mu$  — коэффициент заполнения файла.

Количество записей в реальных файлах, как правило, больше 50. Долей каждой записи в общей сумме совпадений можно пренебречь. Если допустить, что выбран метод рандомизации, равномерно рассеивающий записи по всему диапазону выделенной памяти, то тогда распределение числа совпадений можно считать нормальным.

Вычисление дисперсии дает следующий результат [3]:

$$D = \frac{1}{\mu} \ln(1-\mu) + \frac{1}{1-\mu}. \quad (2)$$

Эти формулы на примере реальных файлов показывают, что добиться уменьшения числа совпадений за счет подбора наилучшего метода рандомизации хотя бы на 10% практически невозможно.

Наличие справочной таблицы во внутренней памяти, в которой по ключам находятся адреса записей во внешней памяти, дает возможность устранения конфликтных ситуаций [4]. Однако для достаточно большого количества записей расходуется большой объем внутренней памяти. При предлагаемой в настоящей работе организации справочной таблицы и данных этот расход можно значительно уменьшить.

Рассмотрим сущность излагаемого подхода для файлов, организованных как по методу рандомизации до уровня записи, так и по методу — до уровня дорожки.

1. Рандомизация до уровня записи. Одним из путей разрешения конфликтных ситуаций в данном случае является последующая рандомизация. В этом случае пробы оканчиваются, когда найдется свободный участок памяти. На каждом этапе поиска ключ требуемой записи сравнивается с ключом извлеченной записи, пока не произойдет совпадение.

Выделим в оперативной памяти определенное количество фиксированной длины ячеек. Каждая из них отображает участок для записи во внешней памяти. Всю вышеприведенную процедуру проведем в оперативной памяти; разница будет состоять в том, что каждая ячейка будет содержать только ключ записи, а ее номер укажет на соответствующий участок во внешней памяти. Однако в большинстве случаев размещать целиком ключ во внутренней памяти будет невозможно, поэтому придется брать только его часть. Надо отметить, что вообще ключи записей должны различаться по крайней мере в одном символе, но, когда берется только часть ключа, существует определенная вероятность того, что у претендующих на одно и то же место записей они будут совпадать. В этом случае существуют два пути:

### 1. Не обращать внимания на такие совпадения.

Тогда для определенной части записей во внешней памяти потребуется больше одного считывания.

Расчеты показывают, что количество дополнительных обращений равно

$$M_1 = \frac{1}{2^k - 1} \left[ -1 + \frac{1}{\mu} \ln \frac{1}{1-\mu} \right], \quad (3)$$

где  $k$  — количество битов в ячейке.

II. Для совпавших записей провести очередную рандомизацию. Тогда все записи во внешней памяти будут отыскиваться сразу, во внутренней памяти число обращений несколько увеличится и будет составлять

$$M_2 = -1 + \frac{1}{\left(1 + \frac{1}{2^k - 1}\right) \mu} \cdot \ln \frac{1}{1-\mu \left(1 + \frac{1}{2^k - 1}\right)}. \quad (4)$$

2. Рандомизация до уровня дорожки. Каждой записи во внутренней памяти соответствует поле длиной 1 бит. Если запись или записи, приходящие на данное поле, находятся на основной дорожке, то оно имеет значение «1» (0), если образуются записи переполнения — «0» («1»).

В некоторых случаях в область переполнения будет отправлено больше записей, чем это необходимо. Вычислим от общего числа переполнений процент дополнительных. Назовем последние записями псевдопереполнения.

При обычном подходе количество переполнений вычисляется по следующей формуле [5]:

$$M = \sum_{j=m+1}^{\infty} P(j) \cdot (j - m), \quad (5)$$

где  $m$  — количество участков на дорожке;  $P(i)$  — вероятность прихода на дорожку равно  $j$  записей.

Определим математическое ожидание записей псевдопереполнения:

$$M' = \sum_{j=m+1}^{\infty} M'_j, \quad (6)$$

где  $j$  — число записей, приходящихся на дорожку. Покажем путь вычисления  $M'_j$ .

Допустим, на дорожку, которая вмещает  $m$  записей, попадают  $j > m$  записей. Количество всевозможных вариантов поступления записей —  $m^j$ . Эти варианты можно разбить на классы, элементы в каждом из которых будут отличаться друг от друга тем, что представляют собой перестановки множества полей выборок, состоящих из монотонно неубывающих чисел. Назовем такие выборки представителями класса. Например, для  $m=3$  и  $j=4$  образуются 4 класса, представители которых имеют вид

$$004, 013, 022, 112.$$

Перенумеруем эти комбинации  $l=1-L$ .

Количество элементов в классе можно вычислить по следующей формуле:

$$N_{p,l} = \frac{m!}{r_{p,l},_0! \cdot r_{p,l},_1! \cdots r_{p,l},_L!}, \quad (7)$$

где  $r_{p,l},_k$  — количество участков, на размещение в каждом из которых претендуют равно  $k$  записей (для  $j, l$  варианта).

Каждый из  $N_{p,l}$  элементов в свою очередь образует подкласс. Элементы последнего отличаются друг от друга последовательностью поступления записей. Число элементов в подклассе вычисляется по следующей формуле:

$$B_{p,l} = f_{b_1+1}^{b_2} \times f_{b_1+b_2+1}^{b_3} \times \cdots \times f_{b_1+b_2+\cdots+b_m+1}^{b_m}, \quad (8)$$

где  $b_i$  — число записей, приходящихся на  $i$ -й участок дорожки.

С использованием полученных результатов

$$M' = \sum_{j=m+1}^{\infty} \frac{P(j)}{m^j} \sum_{l=1}^{Lj} N_{p,l} \cdot B_{p,l} \cdot A_{p,l}, \quad (9)$$

где  $P(j)$  — вероятность прихода на дорожку  $j$  записей;  $A_{p,l}$  — минимальное число записей псевдопереполнения. Разделив  $M'$  на  $(M+M')$  и умножим на 100%, получим процент псевдопереполнений от общего числа переполнений.

Как показали вычисления, количеством псевдопереполнений уже для  $m \geq 4$  можно пренебречь. Например, для  $m=4$  и  $\mu=0,8$   $M'$  меньше одного процента.

Таким образом, предложенная методика проектированная двухуровневой схемы для файлов с косвенной адресацией дает возможность при малых затратах оперативной памяти свести к минимуму число обращений к внешней.

Грузинский политехнический институт  
им. В. И. Ленина

(Поступило 6.7.1979)

გ. ჩოგოვაძე, გ. გვინეპაძე

პირდაპირი მიღებობის დამახსოვრებელ მოწყობილობები  
იცვლის მოძრავის მატირიალი

### რეზოუმე

მოცემულია ირიბი დამისამართების ფაილებისათვის ინფორმაციის ძებნის ორდონიანი სქემები, რომლებიც ოპერატორული მახსოვრობის მცირე ხარჯებისას ახდენენ გარე მახსოვრობისადმი მიმართვების რიცხვის მინიმიზაციას.

### AUTOMATIC CONTROL AND COMPUTER ENGINEERING

G. G. CHOGOVADZE, G. Sh. GVINEPADZE

### DATA SEARCH OPTIMIZATION OF DIRECT ACCESS MEMORY

#### S u m m a r y

Design approach of two-level circuits of data search is suggested for files with indirect address, minimizing the number of references to external memory at minimum expenditure of operative memory.

#### ლიტერატურა — REFERENCES

1. Е. Г. Гендель, И. А. Левин. Оптимизация технологии обработки информации в АСУ. М., 1977.
2. Дж. Донован. Системное программирование. М., 1975.
3. Г. Ш. Гвинепадзе. Труды ГПИ, № 8, (190), 1976.
4. Система математического обеспечения ЕС ЭВМ, под общей редакцией А. М. Ларионова. М., 1974.
5. Ю. В. Трифонов. УСиМ, № 4, 1977.

## АВТОМАТИЧЕСКОЕ УПРАВЛЕНИЕ И ВЫЧИСЛIT. ТЕХНИКА

И. А. ВЕРЕНИНОВ, Г. И. МУСХЕЛИШВИЛИ, М. И. НЕЧИПОРЕНКО,  
Д. К. ПУРАДАШВИЛИ, Г. Н. ЧЕРКЕСОВ

### ОБ ИСПОЛЬЗОВАНИИ РЕЗУЛЬТАТОВ РАННЕЙ ДИАГНОСТИКИ ПРОЦЕССА МАССООБМЕНА ПРИ ОПЕРАТИВНОМ УПРАВЛЕНИИ РАЗДЕЛИТЕЛЬНЫМИ НАСАДОЧНЫМИ УСТАНОВКАМИ

(Представлено членом-корреспондентом Академии В. К. Чичинадзе 25.10.1979)

Управление технологическим процессом разделения изотопных смесей в насадочных колоннах по замкнутой схеме (по отклонению основного параметра — концентрации целевого изотопа) должно содержать следующие этапы: измерение профиля изотопной концентрации в определенном количестве точек вдоль установки; диагностику состояния процесса по профилю изотопной концентрации и по значениям гидро- и термодинамических параметров; идентификацию математической модели массообмена; прогнозирование поведения процесса массообмена на заданный отрезок времени в ускоренном масштабе времени; выбор управляющего воздействия, направленного на изменение технологического режима работы установки, в том числе изменение потока отбора, прогнозирование результатов введения управляющего воздействия в установку; коррекцию управляющего воздействия по результатам сравнения прогнозированного профиля с фактическим.

В работах [1, 2] показано, что величина и скорость изменения изотопной концентрации существенно меняются по высоте насадочной колонны. Дальнейшие исследования, касающиеся динамики изменения профиля изотопной концентрации в зависимости от величины потока отбора, проведены также для разделительного двухколонного каскада, концентрирующего изотоп  $^{15}\text{N}$  методом химического обмена в системе  $\text{NO} - \text{HNO}_3$ . Эти исследования проводились при помощи нестационарной модели процесса массообмена, позволяющей на ЭВМ в ускоренном масштабе времени осуществлять расчеты изменения значений изотопной концентрации в различных точках насадочных колонн в зависимости от времени. Модель дает возможность исследовать вопросы ранней диагностики состояния и оперативного управления разделительным процессом. Исследования показали высокую чувствительность изотопной концентрации в промежуточных точках установки к изменениям величины потока отбора  $P$ . Так, при увеличении  $P$  на 9,2% изотопная концентрация  $x_p$  в точке отбора остается еще в течение 63 суток не менее 0,99, тогда как в точках  $\zeta_2=0,2$  и 0,4 нижней колонны каскада уже в первые пять суток меняется соответственно на 3,3 и 4,8%. Следует отметить, что устойчивость работы колонны и ее способность выдерживать кратковременные перегрузки существенно зависят от того, в какой момент начат отбор конечного продукта. Чем позднее начинается отбор после достижения заданной концентрации в точке отбора, тем при больших перегрузках в течение заданного времени или большее

время при заданной перегрузке  $x_p$  остается на требуемом уровне. На рис. 1 можно видеть, что  $x_p=0,99$  достигается при  $t_0=17$  суткам, где  $t_0$  — время выхода установки на стационарный режим (разбег). При включении повышенного отбора  $P=1,4$  после 25 суток разбега  $x_p$  остается более 0,99 еще в течение 23 суток, тогда как в точках  $\zeta_2=0,25$  и  $\zeta_2=0,5$  заметные изменения концентрации ( $\sim 8\%$ ) происходят уже в первые сутки. В тот момент, когда  $x_p$  падает ниже требуемого значения, установка оказывается обедненной по целевому изотопу, а профиль изотопной концентрации значительно деформированным (кон-

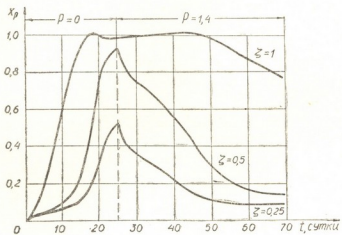


Рис. 1

центрация в промежуточных точках изменяется в 2 раза и более). Если же повышенный отбор  $P=1,4$  включить сразу после 17 суток разбега, то падение  $x_p$  ниже 0,99 произойдет через 1,5 суток (рис. 2). Из рис. 1 следует также, что доступ к промежуточным точкам даже в отсутствии

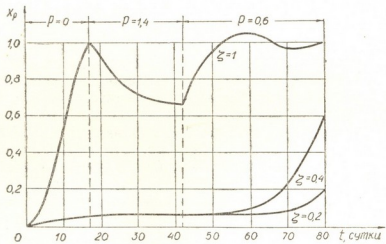


Рис. 2

автоматических измерителей изотопной концентрации (при измерениях с периодичностью 1—2 раза в сутки) позволяет проводить раннюю диагностику нарушения разделительного процесса, используя высокую чувствительность изотопной концентрации в этих точках к действию дестабилизирующих факторов.

В работе [1] на основе расчетов по стационарной модели массообмена было показано, что область, наиболее чувствительная к изме-

нению потока отбора, находится на уровне  $\zeta_2=0,4$ , причем эта область остается достаточно стабильной при различных  $P$ . Картину динамики изменения изотопной концентрации вдоль разделительного каскада, полученная в [2], существенно дополняет результаты по анализу наибольшей чувствительности  $x_\xi$  к изменениям  $P$ . Согласно нестационарной модели, область наибольшей чувствительности перемещается со временем вдоль каскада и для точного определения ее местоположения необходима информация о конструктивных и технологических параметрах разделительной аппаратуры. Знание этой области позволяет осуществлять раннюю диагностику состояния процесса массообмена в установке.

Результаты ранней диагностики и прогноза с помощью модели нестационарного процесса массообмена могут использоваться в целях оперативного управления разделительной аппаратурой с тем, чтобы в определенных пределах маневрировать ее производительностью. Можно, например, кратковременно перегружать установку с последующим временным уменьшением или полным прекращением отбора конечного продукта до момента достижения квазистационарного режима (режима, когда изотопная концентрация в промежуточных точках вдоль нижней колонны каскада практически постоянна [2]). Оперативное управление может использоваться и для устранения неблагоприятных изменений профиля изотопной концентрации, вызванных уменьшением разделительной способности колонны, например от увеличения высоты ступени разделения. В качестве примера на рис. 3 рассмотрен режим,

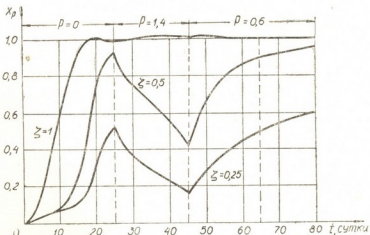


Рис. 3

когда после 25-суточного разбега установка в течение 20 суток работает с нагрузкой, на 40% превышающей нормальную, а последующие 20 суток — в облегченном режиме (отбор на 40% ниже нормы). При этом изотопная концентрация в течение всех 40 суток остается в пределах нормы, хотя в промежуточных точках  $\zeta_2=0,25$  и 0,5 второй колонны концентрация меняется более чем вдвое, восстанавливаясь к исходу 65 суток до уровня, близкого к достигнутому в момент включения отбора после разбега ( $t_0=25$  суткам).

Для диагностики и прогнозирования результатов управления достаточно иметь доступ к 7—8 промежуточным точкам, чтобы измерять изотопную концентрацию, а также 30—90 мин машинного времени

ЭВМ типа ЕС-1022 для прогнозирования работы установки в течение 20—60 суток.

Абастуманская астрофизическая  
обсерватория

Ленинградский политехнический  
институт

Научно-исследовательский институт  
стабильных изотопов

(Поступило 26.10.1979)

ავტომათური გარემა და გამოთვლითი ტექნიკა

ი. ვერენინოვი, გ. მუხელიშვილი, მ. ნეჩიპორენკო, ჯ. პურაძე ული, გ. ჩერკესოვი

გამოყოფი ფურგურა დანაღებარებით ოპერატორი გარემოსას მასის  
გადაცემის პროცესის აღრიცხვის დიაგნოსტიკის უზრუნველყოფა

მასის გადაცემის არასტაციონარული მოდელის დახმარებით შესწავლის  
ლია გამყოფი დანაღებარის გასწვრივ იზოტოპური კონცენტრაციის პროცესის  
ცვლილების დამკიდებულება დროსა და აღვების ნაკადის სიღილეზე. ნაჩვე-  
ნებია, რომ გამყოფი დანაღებარის გარკვეულ წერტილებში იზოტოპური კონ-  
ცენტრაციის მნიშვნელოვანი დამოკიდებულება მაცესტაბილიზებელ ფაქ-  
ტორებზე მიზანშეწონილია გამოყენებულ ექნეს მასის გადაცემის პროცესის  
აღრიცხვის დიაგნოსტიკისა და გამყოფი პარატურის მართვისათვის.

AUTOMATIC CONTROL AND COMPUTER ENGINEERING

I. A. VERENINOV, G. N. MUSKHELISHVILI, M. I. NECHIPORENKO,  
J. K. PURADASHVILI, G. N. CHERKESOV

**ON THE USE OF THE RESULTS OF EARLY DIAGNOSTICS OF  
THE MASS EXCHANGE PROCESS UNDER OPERATIVE CONTROL  
OF PACKED SEPARATION UNITS**

*Summary*

Using a non-stationary model of mass exchange, the authors have studied the change of the shape of isotopic concentration along a packed separation unit, depending on the time and withdrawal rate. It is shown that it is advisable to use the considerable dependence of isotopic concentration at certain points of the separation unit on destabilization factors for early diagnostics of the mass exchange process and control of the separation equipment.

ლიტერატურა — ЛИТЕРАТУРА — REFERENCES

1. О. А. Гогитидзе и др. Сообщения АН ГССР, 78, № 1, 1975.
2. И. А. Веренинов и др. Сообщения АН ГССР, 97, № 2, 1980.



УДК 621.774.3.08:681.3

## АВТОМАТИЧЕСКОЕ УПРАВЛЕНИЕ И ВЫЧИСЛИТ. ТЕХНИКА

К. Г. КАХЕЛАДЗЕ, Т. Б. ДЗАГАНИЯ, А. И. ЛАБАДЗЕ, Г. С. ЦИРАМУА

### К ВОПРОСУ КОСВЕННОГО ОПРЕДЕЛЕНИЯ ДИАМЕТРА И ОВАЛЬНОСТИ ДВИЖУЩЕГОСЯ ПРОКАТА С ПРИМЕНЕНИЕМ СРЕДСТВ ВТ

(Представлено членом-корреспондентом Академии В. К. Чичинадзе 18.10.1979)

При создании автоматических систем определения теоретической массы проката часто одним из основных факторов для их расчета является измерение диаметра и овальности проката в технологическом цикле его производства [1].

Для непосредственного измерения диаметра в настоящее время используются различные развертывающие устройства, основанные на принципе электромеханического или электронного измерения проекции диаметра измеряемого тела [2]. В этих устройствах происходит квантование проекции диаметра на элементарные участки с дискретностью заданной точности измерения.

До настоящего времени проведено большое количество теоретических и экспериментальных исследований, имеющих целью создание надежных и вместе с тем простых устройств развертки диаметра цилиндрических движущихся тел, основанных на контактных (роликовых), барабанных (дисковых) или электронных принципах измерения.

Все известные способы измерения имеют ряд существенных недостатков, заключающихся в трудности определения овальности, т. е. соотношения максимального и минимального диаметров измеряемого тела в различной плоскости наблюдения, а также в наличии влияния фактора движения измеряемого тела на точность измерения и т. д.

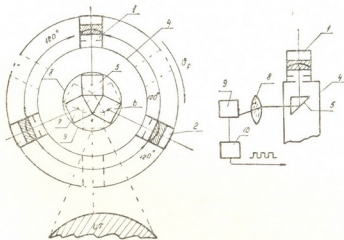


Рис. 1

Преобразователь диаметра и овальности движущихся цилиндрических тел с полуплоскостными устройствами развертки лишен этих недостатков.

Развертка диаметра при этом методе осуществляется тремя идентичными светооптическими устройствами 1, 2, 3 (рис. 1), которые за-

креплены на корпусе 4 и вращаются вместе с ним со скоростью  $V_p$  (скорость развертки). Световое излучение измеряемого тела через системы линз и диафрагм попадает на одну из призм 5, 6, 7 и далее через линзу 8 на фоточувствительный элемент 9, от которого при помощи импульсатора 10 происходит преобразование величин угла в соответствующее количество импульсов.

Очевидны преимущества данной системы развертки, которые заключаются в увеличении ее скорости. При этом пройденный элемент развертки каждый раз заменяет последующий.

После применения множества подобных устройств ( $YP_{1 \div n}$ ) и расположения их по окружности в одной плоскости стало возможным бесконтактное измерение диаметра горячих цилиндрических тел, которые проходят через эту плоскость (рис. 2).

Данный метод дает возможность измерять диаметр даже при смещении оси плоскости развертки и измеряемого тела путем измерения углов развертки  $\alpha_1 \div \alpha_l$  по всей площади развертки и определением их суммы.

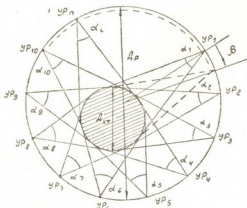


Рис. 2

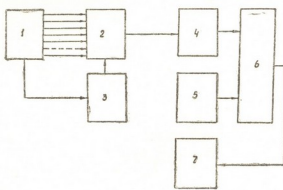


Рис. 3

При этом сумма углов  $\alpha (\alpha_1 + \alpha_2 + \dots + \alpha_{i-1} + \alpha_i)$  при определенном диаметре плоскости развертки ( $D_0$ ) всегда характеризует (соответствует) определенный диаметр измеряемого тела ( $D_{uT}$ ), что дает возможность, зная параметры устройств развертки и сумму углов, путем расчета и сравнения с заранее введенными значениями диаметров и углов определить диаметр ИТ:

$$D_{uT} = F \left( \sum_{n=1}^i \alpha_n \right). \quad (1)$$

Данным устройством можно определить и овальность цилиндрических тел путем сравнения суммы углов, полученных от поворота плоскости развертки на определенный угол  $\beta$ .

В каждом конкретном случае независимо от числа групп суммы углов, взятых с дискретностью  $\beta_i$ , должны быть одинаковыми:

$$\sum_{i=1}^{j1} \alpha_{j1} = \sum_{i=1}^{j2} \alpha_{j2} = \dots = \sum_{i=1}^{jn} \alpha_{jn}, \quad (2)$$

а при наличии овальности соотношение максимального и минимального значений суммы углов дает величину этого параметра:

$$\frac{\left[ \sum_{i=ni}^{jni} \alpha_{ini} \right]}{\left[ \sum_{i=nk}^{jni} \alpha_{ink} \right]} = O_b. \quad (3)$$

Как показало исследование, метод измерения диаметра и овальности характеризуется следующим:

1. Чем больше количество устройств развертки ( $N_p$ ), тем ниже погрешность измерения ( $n_u$ ) параметров проката:

$$n_u = S \left( \frac{1}{N_p} \right). \quad (4)$$

2. Чем меньше разница в диаметрах плоскости развертки ( $D_p$ ) и измеряемого тела ( $D_{uT}$ ), тем больше их несущность оказывает влияние на точность измерения ( $T_u$ ):

$$T_u = \frac{1}{n_u} = \Phi \left( \frac{D_p}{D_{uT}} \right). \quad (5)$$

3. Чем выше степень расхождения между центрами плоскости развертки измеряемого тела, тем больше устройств развертки требуется для получения заданий погрешности измерения:

$$Q = R \cdot N_p, \quad (6)$$

где  $Q$  — расстояние между центрами плоскости развертки и  $UT$ ;

$R$  — коэффициент пропорциональности.

Экспериментально полученные значения диаметра цилиндрических тел в зависимости от суммы углов устройств развертки при  $D_p=1000$  мм= $\text{const}$ ,  $N_p=24=\text{const}$

Значение суммы углов, измеренных устройствами развертки	Диаметр $UT$	$\frac{\Sigma\alpha}{D}$	Значение суммы углов, измеренных устройствами развертки	Диаметр $UT$	$\frac{\Sigma\alpha}{D}$
градусы	мм	градус/мм	градусы	мм	градус/мм
156	50	3,12	518	180	2,88
186	60	3,10	547	190	2,88
210	70	3,00	576	200	2,88
232	80	2,90	602	210	2,875
260	90	2,89	629	220	2,859
288	100	2,88	653	230	2,84
317	110	2,88	680	240	2,835
346	120	2,88	708	250	2,83
374	130	2,88	734	260	2,825
403	140	2,88	760	270	2,815
432	150	2,88	786	280	2,81
460	160	2,88	812	290	2,80
489	170	2,876	840	300	2,80

Данный коэффициент подбирается экспериментально в зависимости от разрушающей способности устройств развертки и других ее параметров и в случае вышеприведенной полуплоскостной развертки  $R=2,0 \div 5,0$  ( $0=30 \div 80$  мм,  $D_{uT}=50 \div 500$  мм,  $D_p \geqslant 100$  мм).

Различные значения зависимости

$$D_{uT} = F \left( \sum_{n=1}^i \alpha_i \right),$$

рассчитанные для диапазона  $D_{uT}$  50–300, приведены в таблице.

Как видно из таблицы, точность измерения зависит от факторов, приведенных выше, и поэтому соотношение  $\frac{\Sigma \alpha}{D}$  с изменением диаметра  $UT$  оказывает все большее влияние на овальность.

Расчет параметров проката осуществляется путем ввода в ЭВМ исходных данных  $D_{uT} = F(\Sigma \alpha_i)$ , хранящихся в блоке памяти 5, и сравнением последних в блоке сравнения 6 (рис. 3) с полученными результатами от преобразователя диаметра 1. Для этой цели в ЭВМ предусмотрены регистры значений  $a(2)$ , сумматор 4  $\Sigma(\alpha_i)$ , блок переключения регистров и сумматора при повороте плоскости развертки преобразователя диаметра на угол  $\beta$  (3) и устройства отображения и регистрации информации 7.

Всесоюзный научно-исследовательский  
и проектно-конструкторский институт  
автоматизации производственных  
процессов в промышленности  
г. Рустави

(Поступило 19.10.1979)

ავტომატური გარევა და გამოთვლითი ტექნიკა

გ. კახეთია, თ. ქახანია, ა. ლაგაძი, გ. ცირამაძე

მოძრავი ნაგლინის დიამეტრისა და სიმულის ირგზი განსაზღვრის  
საპირისოთვის გამოთვლითი ტექნიკის საუკალებით

რეზოუზე

ნაჩვენებია ახალი ხერხი ცხელი ცილინდრული ნაგლინის გარეთა დიამეტრისა და სიმულის გაზომვისა, რომელიც დამყარებულია გაშლის მოწყობილობების ბრუნებაზე გასაზმი სხეულის გარშემო. მიღებულ ანალიზთა აღრიცხვა და დამუშავება წარმოებს გამოთვლითი სისტემის მეშვეობით.

#### AUTOMATIC CONTROL AND COMPUTER ENGINEERING

K. G. KAKHELADZE T. B. DZAGANIA A. I. LABADZE, G. S. TSIRAMUA  
ON INDIRECT DETERMINATION OF THE DIAMETER AND OVALITY  
OF ROLLED STEEL USING COMPUTER TECHNOLOGY

#### Summary

A device and automatic system are proposed for measuring the ovality of hot-rolled steel. Multiple-unit semi-capacitor scanners, placed along the circumference of the body to be measured, serve as transducers; the angles in the scanner plane are determined by individual devices of the scanner, whereas the sum of the angles and each turn of the scanner plane along the circumference describes the diameter and ovality of the body under measurement, being calculated from digital computer input data.

#### ლიტერატურა — REFERENCES

1. К. Г. Кахеладзе. Автоматизированные системы получения информации о параметрах проката. Тбилиси, 1978.
2. К. Г. Кахеладзе, З. Е. Круашвили, Т. Б. Дзагания, П. А. Церетели, М. Ш. Миндели. Всесоюзная конференция «Вопросы проектирования и математического обеспечения ИВС» (тез. докл.). Генза, 1978.



БОТАНИКА

А. А. КОЛАКОВСКИЙ  
(член-корреспондент АН ГССР)

**ФЕДОРОВИЯ — НОВЫЙ МОНОТИПНЫЙ РОД С ИЗВЕСТНИКОВ  
ЮЖНОГО ЗАКАВКАЗЬЯ**

Флора Южного Закавказья, в частности юго-восточной Армении и Нахичеванской АССР, достаточно детально изучена [1], однако очень мало данных о ее кальцефильных растениях. Мы имеем [2] указания лишь для очень немногих, не более десятка, эндемов, свойственных только известнякам этого региона. Это, конечно, очень малые показатели для региональной флоры, которая только в Нахичеванской АССР представлена более чем 2000 видами [3]. В ее составе около 50 эндемичных видов. Но эндемизм здесь в известной мере условный, так как предполагается, что некоторые эндемы могут произрастать и в соседнем Иране, материалы о флоре которого только начали издаваться.

Вся эндемическая флора Нахичеванской АССР весьма оригинальна и характеризуется доминированием ксерофильных и гемиксерофильных растений, хотя имеются и более мезофильные реликты, сохранившиеся в локальных рефугиумах — в экосистемах более влажных тенистых ущелей, в трещинах скал, всегда более обеспеченных влагой.

Общий процесс ксерофитизации достаточно ярко отражается также на эндемичной флоре, в составе которой большое участие принимают: астрагалы — 16 видов, сложноцветные — 17, губоцветные — 11, крестоцветные — 7 и некоторые другие. Эти семейства, вообще весьма богатые ксероморфными видами и родами, характерны для аридных областей Кавказа, Малой и Средней Азии.

Для нас особый интерес представляют колокольчиковые — 6 видов, из которых 3 типично облигатные кальцефилы; один из них — *Campanula karakuschensis* Grossh. возводится нами в особый монотипный род *Fedorovia*, а другой — *C. minsteriana* Grossh. из подсекции *Scapiflorae* (Boiss.) Fed., еще мало изученный, интересен тем, что чашечка у него с 4 зубцами, тычинок также 4, что нехарактерно для рода *Campanula*. Это также типичный хазмофит, с каудексами, «образующими колонковидные разветвления, сомкнутые в юстые подушковидные дерновинки» [4].

На примерах этих двух узколокальных колокольчиков с известняков Южного Закавказья достаточно четко выявляется их морфологическая обособленность, а также вероятность их третично-реликтовой природы, сохранившейся в условиях автохтонного развития флоры при все возрастающей аридизации климата.

Обратимся теперь к рассмотрению морфологической оригинальности рода Федоровия.

Род FEDOROVIA<sup>1</sup> Kolak. Gen. nov.

Чашечка полушаровидная, ребристая (рис. 1, 2), с 3 толстыми скелетными жилками, с треугольными зубцами, легко опадающими при созревании коробочки, с мелкими зубчиковидными или коротко линейными придатками. Венчик колокольчато-трубчатый, опущенный. Тычинок 5, с расширенными при основании нитями, реснитчатыми по краю. Столбик не выставляющийся, с трехраздельным рыльцем, почти от основания густо покрытый сосочками. Цветоложе широко конусовидное, возвышенное, без диска. Коробочка полушаровидная, без аксиокорнов, твердокапсулальная, с 3 широко овальными створками, с подкововидно выпуклым краем и с внутренней стороны со средним килем, полностью срастающимися с покровами чашечками, легко раскрывается путем полного отделения створок от скелетных жилок и от осевой колонки завязи; створки при этом остаются сросшимися верхними концами с основаниями отстающих и расходящихся друг от друга

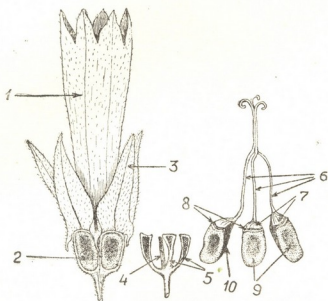


Рис. 1. *Fedonovia katakuschensis* (Grossh.) Kolak.:  
1 — венчик, 2 — трубка чашечки, 3 — зубцы чашечки, 4 — осевая колонка коробочки, 5 — скелетные жилки чашечки, 6 — расходящиеся внизу доли столбика, 7 — верхние стенки створки коробочки с остатками цветоложа, 8 — места прикрепления зубцов чашечки, основания венчика и тычиночных нитей, 9 — наружные стенки створки коробочки, срастающиеся с покровами чашечки, 10 — внутренний киль створки

трех долей столбика. В результате столбик, цельный в верхней части (до рылец), в нижней оказывается разделенным на три расходящиеся волосовидные доли (рис. 1, 6), с прикрепленными к их концам створками (рис. 1, 7—10), которые вместе со столбиком выпадают из чашечки, представленной в это время лишь тремя основными скелетными жилками (рис. 1, 5). Створки обычно изгибаются от середины наружу почти под прямым углом; верхняя стенка створки, прилегаю-

<sup>1</sup> Название дано по фамилии проф. А. А. Федорова, занимающегося систематикой колокольчиковых.



щая к цветоложу, также значительно утолщена. Растение с разветвленным каудексом, достигающим иногда до 2 см толщины. Прошлогодние листья при основании новой розетки сохраняются в виде белых немацерированных пластинок, а расширенные полустеблеобъемлющие их черешки сохраняются еще дольше (7—10 лет). Продолжительность жизни одного растения с учетом ежегодно развивающихся 10—15 листьев в розетке составляет до 50 и более лет.

FEDOROVIA Kolak. Gen. nov.

*Calyx ob nervos prominulos costatus, dentes calycini triangulari, post anthesin decidunt, appendicibus denticuliformis vel brevi linearis. Corolla tubuloso-campanulata, pilosa. Filamenta basi dilatata, pilosiuscula. Stylus longus, a basi usque ad apicem papillatus. Racemeatum lato-conicum. Capsula duriuscula, trilocularia, valvis a nervi calycis ascendentia, sed a basi laciniae stylis affixa. Folia caulinis rosulata, basi amplexicaulia. Caudex multiramosus, ramis ob petiolorum reliquias incrassati.*

Type: *Fedorovia karakuschensis* (Grossh.) Kolak. comb. nova-Campanula karakuschensis Grossheim in Camment. Azerb. Fil. Acad. Sci. URSS, 1-2, 1939: 118.

*Area geographica*-Nachitzevan (Holotypus) et S.-O. Armenia, in rupestribus calcareis. Planta endemica.

Как видно из диагноза, род Федоровия резко отличается не только от рода *Campanula*, но и от остальных родов колокольчиковых по двум основным признакам: по легко опадающим в период плодоношения зубцам чашечки и по совершенному оригинальному и неизвестному пока механизму раскрывания коробочки с участием столбика в этом процессе.

Очевидно при этом, что морфология основных органов цветка у всех новых кавказских монотипных родов колокольчиковых [5—7] также достаточно отлична для того, чтобы рассматривать их в этом надвидовом таксономическом ранге. Важным дополнением к этому является также их биология — облигатная кальцефильность, однотипность древней каудесковой жизненной формы типичных хазмофитов и, кроме того, их географическая разобщенность.

Все это говорит, несомненно, о древности их происхождения и автотонности развития, способствующих более резко выраженной дивергенции признаков.

Данные настоящего исследования представляют интерес также в том отношении, что они выявляют роль известняковых литофильных стаций, как рефугиумов реликтовых более мезофильных форм в районах Южного Закавказья. Поэтому необходимы дальнейшие исследования этих интереснейших южноказахских флор в отношении выявления как облигатных, так и факультативных кальцефилов.

*Fedorovia karakuschensis* является очень редким и, вероятно, исчезающим растением, которое необходимо не только включить в «Красную книгу», но и тщательно охранять как совершенно уникальный объект природы.

Академия наук Грузинской ССР

Сухумский ботанический сад

(Поступило 16.11.1979)



ა. პოლარიზაციი (საწ. სსრ მეცნ. აკადემიის წევრ-კორესპონდენტი)

ფედოროვია — ახალი მონოტიპური გენერაცია  
ამიღრებავასის კიონვისანებიან

Digitized by srujanika@gmail.com

ახალი გვარი Fedorovia მყარდება *Campanula karakuschensis* პოლო-  
ტიპის საცუქრელზე ნახიჩევანის ასრულებითად.

BOTANY

A. A. KOLAKOVSKI

FEDOROVIA—A NEW MONOTYPICAL GENUS FROM LIMESTONES  
OF SOUTH TRANSCAUCASIA

## Summary

A new monotypic genus, *Fedorovia* Kolak. is described on the specimen *Campanula karakuschensis* Grossh., which is distinguished from the genus *Campanula* by a hard valvate capsula and other morphological indices.

ଲୋକ୍ସାହିତୀ – ЛИТЕРАТУРА – REFERENCES

1. А. А. Гросгейм. Труды Бот. ин-та АН Азерб. филиала АН СССР, 1, 1936.
  2. А. А. Гросгейм. Определитель растений Кавказа. М., 1949.
  3. Р. А. Фаталиев. Изв. АН АзССР, сер. биол., I, 1978.
  4. А. А. Федоров. Флора СССР, т. XXIV, 1957.
  5. Т. В. Шулькина. Новости систематики высших растений, т. 16, 1979.
  6. А. А. Колаковский. Сообщения АН ГССР, 94, № 1, 1979.
  7. А. А. Колаковский. Сообщения АН ГССР, 95, № 1, 1979.

БОТАНИКА

Т. К. МАРДАЛЕШВИЛИ

НОВОСТИ ДЛЯ ФЛОРЫ СКАЛЬНО-ОСЫПНОГО КОМПЛЕКСА  
ГРУЗИИ

(Представлено академиком Н. Н. Кецховели 6.12.1979)

В предыдущей нашей статье [1] было отмечено, что скальные и щебнисто-осыпные склоны Кавказа в особенностях своих экотопов еще скрывают много интересного и являются надежным убежищем ряда средиземноморских и переднеазиатских элементов, обладающих дизъюнктивным ареалом.

Настоящее сообщение является фрагментом наших исследований по скально-осыпным комплексам Грузии, в нем изложены данные 1977—1978 гг. в основном из Верхней Сванети. Ниже с краткими комментариями перечислены эти флористические находки.

*Gypsophila glandulosa* (Boiss.) Walp.

Этот типичный скально-щебнистый вид, описанный в 1843 г. из турецкого Лазистана как *Heterochroa glandulosa* Boiss., впервые для флоры Грузии указывают S. Sommier et E. Levier [2]—«in Caucaso ad Uschuat in valle sup. fluminis Nakra fl. fr. detexit H. Lojka». Впоследствии вышеуказанный пункт приводится Б. К. Шишким [3], однако без указания литературы и сборщика. Не располагая документальным гербарным материалом и не обратив внимания на первое указание S. Sommier. et E. levier, кавказские авторы [4—8] *G. glandulosa* (Boiss.) Walp. из вышеуказанного пункта не приводят. А. А. Гроссгейм [4,5] указывает это расстояние для Аджарии, но вызывает удивление, что им же перечисленные пункты—Б. Карчхал, Карчхал х Савация находятся не в Аджарии, а в Турции. Также на точечной карте А. А. Гроссгеймом [4] (карта № 297) вид *G. glandulosa* (Boiss.) Walp. отмечен за пределами современной Аджарии. А. А. Дмитриева [9] это растение во флоре Аджарии не приводит.

А. Huber-Morat [10], имея в своем распоряжении лишь турецкие сборы и, по-видимому, на основании полного отсутствия у последующих авторов указания S. Sommier et E. Levier, считает *G. glandulosa* (Boiss.) Walp. эндемом Турции.

В 1977 г. на Южном склоне Главного Кавказского хребта мы обнаружили это интересное растение, хорошо отличающееся от всех кавказских представителей рода *Gypsophila* L. и относящиеся к особой среднеазиатско-дальневосточной секции —sect *Heterochroa* (Bunge) Schischk. Вид—пока единственный представитель этой секции, приуроченный к кавказско-анатолийской горной системе.

Приводим описание нового местонахождения: Западная Грузия, Верхняя Сванети, верховье р. Каслетис-цкали, 1800 м н. у. м., на бескарбонатной порfirитовой скале средней юры.  $Fl_4$ — $Fr_2$ . Локализовано, встречается единично (25.VIII.1977, Т. К. Мардалейшили).

По сегодняшним данным, растение *G. glandulosa* (Boiss.) Walp. с полным правом можно считать колхицким высокогорным (кавказско-анатолийским) видом, представленным разорванным расстоянием приблизительно 180—220 км участками ареала.

### *Cynoglossum holosericeum* Stev.

Вид был установлен Х. Х. Стевеном в 1812 г. из Дагестана. По литературным данным, это растение относится к кавказско-анатолийской группе и спорадически представлен в двух географически отдаленных друг от друга ботанических районах — Анатолии и Дагестане, а близкородственный вид *C. magellense* Tep. обитает в горах южной Италии. Оба вида почти сходного эколого-морфологического склада и являются коренными производными древнесредиземноморской флоры.

Летом 1977 г. в западной части Центрального Кавказа мы обнаружили это интересное растение.

Западная Грузия, Верхняя Сванети, северный макросклон Одишского хребта, выше с. Земо-Веди, около пастбища «Отипуре», 2100 м н. у. м., на слабоподвижном размельченном бескарбонатном порfirитовом щебне средней юры, у подошвы высокого ледникового цирка в субальпийском поясе.  $Fl_4$ — $Fr_2$ . Локализовано, встречается очень маленькими группировками (7.VIII. 1977, Т. К. Мардалейшили).

### *Polygala sibirica* L.

Широко распространенный евразиатский вид, приуроченный к сухим каменистым склонам предгорной полосы. Для флоры Кавказа, и в частности Грузии, из этого близкого родства приводится вид *P. sosnowskyi* Kem.—Nath., отнесенный автором [11] к особой географической расе, замещающей на Кавказе *P. sibirica* L. В данной работе мы не будем касаться вопроса о таксономической самостоятельности вида *P. sosnowskyi* Kem.—Nath. и отметим, что наш материал по всем параметрам сходится с видом *P. sibirica* L. и нет никакого сомнения в тождестве с ним.

Приводим детальное описание нового местонахождения: Восточная Грузия, Кахети, окрестности с. Цители-цкаро, «Арцивис-хеви», 800 м н. у. м. Массив юрских известняков, на щебнисто-луговом комплексе.  $Fl_{3-4}$ . Локализовано, встречается единично (14.VI.1978, Т. К. Мардалейшили).

Эта находка подтверждает правильность указания предыдущих авторов [12, 13 и др.], о существовании на Кавказе *P. sibirica* L. и находит на мысль о необходимости критического пересмотра кавказских представителей секции — sect. *Migratoria* Tamamsch.

Вышеуказанные находки в какой-то степени пополняют существующие белые пятна в кавказской флоре и накапливают добавочные материалы в пользу древнейших связей Кавказа с разными очагами флоры Северного полушария.

Среди других интересных вопросов в ботанике особое место занимает вопрос о флористической связи отдельных высокогорных вершин

или массивов, хранящих в глубине своей истории много тайн. Многие «южные» виды или викарные таксоны ядра флоры Древнего Средиземья — живые свидетели большой общности кавказской флоры с его смежными естественными географическими районами, совместно с которыми формировались его современный рельеф и флора. В последние годы, после получения флористических информации из южных предельных районов Кавказа (Турция, Иран), накопился достаточно большой ботанический материал, на основе которого несколько иначе выглядит Кавказ и особенно Большой Кавказ как самостоятельная ботанико-географическая единица. Многие виды, особенно колхидские высокогорные, частично кавказские, считавшиеся эндемиками Грузии и Кавказа, такие как *Aster caucasicus* Willd., *A. colchicus* Albov, *Brunnera macrophylla* (Adams) Johnst., *Cerastium kasbek* Parrot, *Rhamnus depressa* Grub., *Rhododendron x sochadzeae* Charadze et Davlianidze, *Silene caucasica* (Bunge) Boiss., *Tripleurospermum elengatum* (Fish. et Mey.) Bornm. и др., оказались в прибрежных районах Анатолии.

Надо отметить, что западная часть Центрального Кавказа, и в частности Верхняя Сванети, в силу своей орографии сохранила достаточно много интересных форм и на сегодня является своеобразным убежищем, с одной стороны, для многих переднеазиатских видов растений, растущих изолированно на расстояниях сотен километров друг от друга, а с другой — для узколокальных автохтонных таксонов, имеющих генетические связи с флорами Передней Азии и Балкан. Восстановить пути этих связей при современном рельефе, к сожалению, очень затруднительно. По А. И. Галушко [14], проникновение ксерофильных и гемиксерофильных растений на Кавказе в основном могло произойти в начале плейстоцена, когда Главный хребет имел незначительную высоту и были благоприятные климатические условия для широкого распространения этих растений по всему полуострову. Даже при беглом знакомстве со скально-осыпной флорой Верхней Сванети яствует, что здесь, помимо узкорегиональных и центральновосточно-кавказских эндемичных форм — *Campanula engurensis* Char., *C. svanetica* Rupr., *Minuartia imbricata* (Bieb.) G. Wor. var. *svanica* Char., *Cerasium undulatifolium* Somm. et Levier, *Charesia akinfievii* (Schmalh.) E. Busch, *Minuartia traутвегерiana* Sosn. et Char. и др., сливаются гемиксерофильные черты Дагестанской и Переднеазиатской высокогорной флоры, что было подчеркнуто еще исследователями прошлого века [15, 16]. До настоящего времени этот вопрос не потерял интереса и постепенно обогащается новыми находками (иногда даже эндемичными и характерными формами Дагестана), такими как *Calamagrostis caucasica* Trin., *Cleome daghestanica* (Rupr.) Zvel., *Lamutopsis sinuata* (Trautv.) Dittrich, *Oxytropis dasypoda* Rupr. ex Boiss., *Valeriana aff. daghestanica* Rupr. ex Boiss. и др.

Как отмечал М. Г. Попов [17], «скальная флора поражает разнообразием редко встречающихся видов и часто их узким эндемизмом. Для ботаника, не боящегося крутизны и узких карнизов над пропастями, скалы доставляют богатейшую жатву».

Академия наук Грузинской ССР

Институт ботаники

(Поступило 7.12.1979)

თ. მარდალეშვილი

სიახლეები საქართველოს კლიე-ნაულოროლიანია ფლორის  
კომპლექსისათვის

რეზიუმე

1977—1978 წწ. კლიე-ნაულოროლიანთა ფლორის კომპლექსის ავ-  
ტორმა გამოვლინა სამი ახალი მცენარე საქართველოს ფლორისათვის.

BOTANY

T. K. MARDALEISHVILI

NEW PLANTS FOR THE FLORA OF THE ROCK-TALUS  
COMPLEX OF GEORGIA

## Summary

In 1977—1978, during the study of the floristic complexes of the rock-talus ecosystems of Georgia, the author found three plants that proved new for the flora of Georgia: *Gypsophila glandulosa* (Boiss.) Walp., *Cynoglossum holosericeum* Stev., *Polygala sibirica* L. A detailed description of the new locations is given.

## ლიტერატურა — REFERENCES

1. Т. К. Мардалейшили. Сообщения АН ГССР, 85, № 1, 1977.
2. S. Sommier, E. Levier. Acta Horti Petropolitani, XVI, 1900.
3. Б. К. Шишкин. Флора СССР, VI. М.—Л., 1936.
4. А. А. Гросгейм. Флора Кавказа, III. Баку, 1945.
5. А. А. Гросгейм. Определитель растений Кавказа. М., 1949.
6. ა. ბარაძე. საქართველოს ფლორა, III, თბილისი, 1947.
7. ა. ბარაძე. საქართველოს მცენარეების სარკვევი, II. თბილისი, 1969.
8. ხ. დ ვ ი ბ ი ბ ა ძ ე. საქართველოს ფლორა, IV. თბილისი, 1978.
9. А. А. Дмитриева. Определитель растений Аджарии. Тбилиси, 1960.
10. A. Huber-Morat. Flora of Turkey, 2, Edinburgh, 1966.
11. Л. М. Кемулари-Натадзе. Зам. по сист. и геогр. раст. Тbil. бот. ин-та, 14, 1948.
12. C. F. Ledebour. Flora Rossica, I, Stuttgartiae, 1842.
- 13 Ed. Boissier. Flora orientalis, VI, Genovae et Basileae, 1888.
14. А. И. Галушко. Флора Северного Кавказа и вопросы ее истории. Ставрополь, 1976.
15. А. Н. Краснов. Труды О-ва испытателей природы при Харьковском ун-те, 1894.
16. И. Я. Акинифиев. Отд. оттиск из XIX кн. Записок Кавк. отд. Имп. русск. геогр. о-ва. Тифлис, 1896.
17. М. Г. Попов. Вопросы флорогенетики. М., 1963.

## ФИЗИОЛОГИЯ ЧЕЛОВЕКА И ЖИВОТНЫХ

Н. Я. ЧИХОРИЯ

### О ВЛИЯНИИ ПЕНТАГАСТРИНА И ЛАЗИКСА НА ЖЕЛУДОЧНУЮ СЕКРЕЦИЮ И ДИУРЕЗ

(Представлено членом-корреспондентом Академии А. Н. Бакурадзе 29.11.1979)

В науке за последние годы наметилась тенденция системного подхода к изучаемым проблемам, что значительно облегчает рассмотрение вопросов взаимозависимости и взаиморегуляции различных органов и систем организма. Имеются обстоятельные исследования функциональной взаимосвязи и взаимодействия отдельных органов пищеварительного тракта [2]. Такой подход является продолжением работ И. П. Павлова и его учеников о работе и взаимозависимости желез пищеварительного тракта. Работ по изучению функциональной взаимосвязи и взаимодействия пищеварительной системы с другими системами мало. Имеется ряд публикаций по функциональной взаимозависимости пищеварительной и выделительной систем [3—5].

Ранее нами [6] было доказано, что некоторые диуретики значительно угнетают количественные и качественные показатели желудочной секреции, с одновременным усилением диуреза и выделением хлоридов с мочой.

Основной задачей настоящей работы явилось изучение влияния гастронинестинального гормона синтетического пентагастрина на взаимодействие желудочной секреции и диуреза.

В естественных условиях физиологический эффект полипептидных гормонов желудочно-кишечного тракта достигается благодаря интеграции их общего воздействия на функции не только желудка, но и многих других органов, а также благодаря взаимному влиянию на эндокринные клетки, первые структуры, кровь. Показано [7], что прохождение гастринов через почки не изменяет в значительной степени базальных уровней плазменного гастринов.

В литературе немало данных о действии гастринов и его аналогов [8, 9], указаны дозы, вызывающие те или иные изменения со стороны желудочно-кишечного тракта [7—9]. Но данных о взаимосвязи желудочной секреции и диуреза, вызванных введением пентагастрина, в доступной нам литературе обнаружить не удалось.

Опыты ставились на трех собаках-самцах (весом 12—15 кг) с павловским желудочком и фистулой мочевого пузыря. У одной собаки дополнительно была удалена слизистая антравального отдела желудка [10]. Опыты проводились при нейтральной реакции в желудочке, спустя 16—18 часов после приема пищи. В контрольных исследованиях желудочная секреция возбуждалась 200,0 г хлеба и 500 мл молока. В первой серии опытов животным за 15 минут до дачи пищи в/м вводилось 0,5 мл (0,33 мг/кг) лазикса. Во II серии исследования производились при возбуждении желудочных желез в/м введением (6 мкг/кг веса животного) пентагастрина, синтезированного в лаборатории П. К. Климова. В третьей серии через 15 минут после введения пентагастри-

на животном вводился лазикс. Желудочный сок собрался с интервалом в 30 минут до прекращения кислого сокоотделения. Наблюдение над диурезом велось в течение 4 часов. В исследуемых порциях желудочного сока и мочи определялись количество сока и содержание хлоридов. После опытов животным давалось обильное питье и в пищу добавлялось 2,0 г соли.

После введения лазикса (см. рис. 1) происходило резкое (на 74,3%) ингибирование желудочной секреции и уменьшение количества хлоридов (на 81, 35%) в соке по сравнению с контролем. Однако со стороны почек отмечался усиленный диурез уже в первые 30 минут эксперимента; количество мочи, выделенной во время наблюдения, превышало в 3,6 раза контрольные данные. Значительно (в 8,9 раза), особенно в первые 2 часа, увеличивалось количество хлоридов, выделившихся с мочой. Если всего с мочой выделилось 2363,9 мг хлоридов, то за первые 30 минут — почти 50% из всего количества.

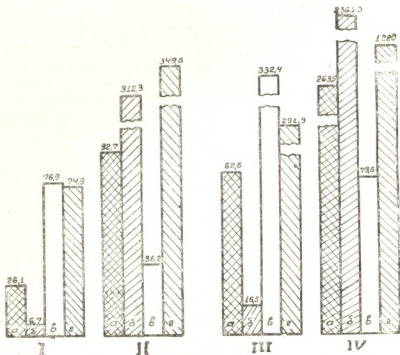


Рис. 1. Желудочная секреция (1) и диурез (2) (мл), хлориды (мг) в желудочном соке (3) и моче (4): а — контроль, б — после введения лазикса, в — после введения пентагастрин, г — введение лазикса после введения пентагастрин

В опытах последующей серии, когда в качестве возбудителя желудочных желез применялся пентагастрин, желудочное сокоотделение по сравнению с контролем увеличивалось в 2,8 раза, а количество хлоридов — в 4 раза, значительно (на 61%) снижались диурез и количество хлоридов (на 69%) в моче. Таким образом, наряду с увеличением желудочного сокоотделения, обусловленного гормональной стимуляцией, отмечалось значительное уменьшение количества мочи и хлоридов в ней, по-видимому за счет усиления реабсорбционной способности почек.

Если лазикс на фоне пищевого раздражителя резко угнетал желудочную секрецию, то введение его на фоне стимуляции желудочных желез не пищей, а пентагастрином вызывало незначительное (на 2,5%) статистически недостоверное уменьшение желудочного сокоотде-

ления. Так же мало было уменьшение и хлоридов по сравнению с опытами, в которых вводился один пентагастрин. Таким образом, после стимуляции желудочной секреции пентагастрином лазикс хорошо выраженного ингибирующего влияния на желудочную секрецию не оказывал. Однако диурез оставался высоким — количество выделенной мочи в этой серии экспериментов было наивысшим, хотя выделение хлоридов с мочой было значительно меньше (на 52,4%), чем при введении лазикса на фоне пищи. По-видимому, лазикс, введенный на фоне пентагастрина, значительно угнетает реабсорбцию воды в почечных канальцах и в меньшей степени способен угнетать реабсорбцию хлоридов. Или пентагастрин, вызывая увеличение выделения хлоридов в состав желудочного сока, компенсаторно увеличивает реабсорбцию ионов в канальцевом аппарате почек, способствуя этим предотвращению создания ионного дефицита организма и сохранению водно-солевого гомеостаза.

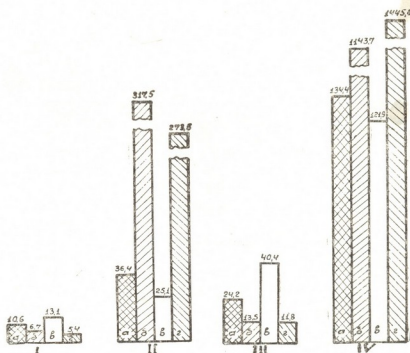


Рис. 2. Желудочная секреция (1) и диурез (2) (мл), хлориды (мг) в желудочном соке (3) и моче (4) у собаки с удаленной слизистой антравального отдела желудка: а — контроль, б — после введения лазикса, в — после введения пентагастрин, г — введение лазикса после введения пентагастрина

Изменения со стороны желудочной секреции и диуреза у собаки с удаленной слизистой антравального отдела (см. рис. 2) как при введении лазикса, так и пентагастрином протекали аналогично опытам на животных с интактной слизистой. Однако лазикс, введенный на фоне действия пентагастрин, по сравнению с опытами с введением лазикса на фоне пищевой стимуляции вызывал некоторое уменьшение диуреза (на 13,7%), но заметное (на 26,4%) повышение количества хлоридов в моче. Становится очевидным, что пентагастрин, введенный животному после оперативного удаления части эндокринной системы — гастроин-продуцирующей зоны, не является достаточным для предотвращения эффекта лазикса — угнетения реабсорбции воды и ионов в почечных канальцах.

Результаты опытов свидетельствуют о том, что гастрин является важным звеном механизма, способствующего функциональному взаимодействию и взаимозависимости желудочной секреции и диуреза.

Тбилисский государственный  
медицинский институт

(Поступило 30.11.1979)

ადამიანისა და ცხოვილთა ფიზიოლოგია

#### 6. ჩიხორია

პენტაგასტრინისა და ლასიქსის გავლენა პუპის სეპრეციასა  
და დიურეზზე

6 წ 10 უ 3 9

შესწავლილია კუჭის სეკრეციისა და დიურეზის ურთიერთდამოკიდებულებისა და ურთიერთმოქმედების საკითხი ძლიერი ჰარდმდენი საშუალების — ლაზიქსის შეყვანისას საჭმლით სტიმულირებულ და პენტაგასტრინით სტიმულირებულ სეკრეციისა და დიურეზზე.

HUMAN AND ANIMAL PHYSIOLOGY

N. I. CHIKHORIA

#### THE EFFECT OF PENTAGASTRIN AND LASIX ON GASTRIC SECRETION AND DIURESIS

##### Summary

The question of the interdependence and interaction of gastric secretion and diuresis was studied at the administration of Lasix, a powerful diuretic, against the background of food- and pentagastrin stimulation.

##### ლიტერატურა — ЛИТЕРАТУРА — REFERENCES

- П. К. Анохин. Общая теория функциональных систем организма. М., 1971.
- П. К. Клинов. Функциональные взаимосвязи в пищеварительной системе. Л., 1976.
- А. Н. Бакурадзе. Тез. докл. II научно-практической конференции врачей. Боржоми, 1964, 6—7.
- Н. А. Гзиришвили. Функциональные взаимоотношения между различными системами организма в норме и патологии. Иваново, 1962, 150—153.
- Я. Склияров. Желудочная секреция. М., 1961, 61—66.
- Н. Чихория. Сб. «Фундаментальные проблемы гастроэнтерологии». Львов, 1977, 208—209.
- L. Johnson. Amer. Rev. Physiol., 39, 1977, 135-138.
- А. Фокина, Н. Павлова. Физиол. ж. СССР, 62, № 2, 1976, 312—315.
- C. Hiatt, R. Wells. Amer. J. Gastroent. 62, № 1, 1974, 59-66.
- П. К. Клинов, Е. И. Розова, Г. М. Барашкова. Физиол. ж. СССР, 58, № 10, 1972, 1586—1595.



## ФИЗИОЛОГИЯ ЧЕЛОВЕКА И ЖИВОТНЫХ

Т. Б. ГЛОВЕЛИ

### ХАРАКТЕР РЕАКЦИИ ПИРАМИДНЫХ НЕИРОНОВ REGIO SUPERIOR ГИППОКАМПА В ОТВЕТ НА ЭЛЕКТРИЧЕСКУЮ СТИМУЛЯЦИЮ ВХОДОВ

(Представлено членом-корреспондентом Академии Т. Н. Оннани 7.12.1979)

Важная структура лимбической системы — гиппокамп давно является предметом интенсивного изучения. В разное время эта структура считалась обонятельным мозгом, регулятором мотиваций и эмоций, структурой, играющей важную роль в процессах памяти и обучения, и т. д. Однако единого мнения о роли гиппокампа в интегративной деятельности головного мозга нет и по сей день. Важным этапом в установлении функции гиппокампа является изучение его нейронной организации, т. е. нейронной активности разных полей гиппокампа в ответ наafferентную импульсацию, поступающую в гиппокамп по двум основным входам — энторинальному и септальному [1—3].

Настоящая работа посвящена исследованию нейронной активности regio superior (или поля CA-1) дорсального гиппокампа в условиях электрической стимуляции вышеуказанных входов.

Опыты проводились на бодрствующих, ограниченных в движениях кроликах в условиях острого эксперимента. Электрически раздражались энторинальная кора и латеральное ядро прозрачной перегородки. Нейронная активность регистрировалась при помощи стеклянных микрозлектродов, заполненных 3 М раствором хлористого натрия и погруженных в гиппокамп стереотаксически. После каждого опыта головной мозг животного фиксировался в 10% растворе формалина и на его фронтальных срезах проверялась локализация неизолированных кончиков раздражающих электродов.

В настоящих экспериментах на глубине, соответствующей слою пирамидных клеток, была зарегистрирована спонтанная и вызванная активность 146 гиппокампальных нейронов regio superior. Ответные реакции нейронов, возникающие при раздражении разных входов гиппокампа, почти не отличались друг от друга. Электрическая ритмическая стимуляция (8—12 гц) одного из входов гиппокампа — прозрачной перегородки (ПП) в подавляющем большинстве нейронов (в 39 нейронах из 46 отвечающих клеток) вызывала угнетение спайковых разрядов. После выключения раздражения ПП сразу же восстанавливался достигнувший уровень спонтанной активности (рис. 1, А). Раздражение ПП одиночными стимулами или же короткими сериями ритмических стимулов обычно не влияло на активность нейронов или же приводило (весьма редко) к начальному угнетению спонтанной активности с последующим повышением частоты спайковых разрядов (рис. 1, Б). Сходные результаты были получены при раздражении энторинальной коры (ЭК). Ответные реакции нейронов regio superior при ритмической стимуляции ЭК той же частотой, что и ПП, в большинстве случаев (в 41 нейроне из 52 реагирующих клеток) выражались в торможении

спонтанной активности, продолжавшемся лишь на фоне раздражения (рис. 1,В). В редких случаях, когда одиночные раздражения ЭК были эффективными для вызова реакции, как и при раздражении сентрального входа, наблюдалось преобладание начального торможения нейронной активности. Количество нейронов с первоначальным усилением спайковых разрядов в ответ на одиночную стимуляцию ЭК составляло приблизительно 1/5 часть (11 нейронов из 52) всех отвечающих нейронов (рис. 1,Г). Такие клетки удавалось зарегистрировать не во всех опытах.



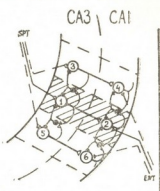
Рис. 1. Гистограммы активностей нейронов regio superior гиппокампа в ответ на стимуляцию септального (А, Б) и энторинального (В, Г) входов. На А и В периоды ритмических раздражений (9 гц) отмечаются линии под гистограммами. Б и Г — эффекты раздражения одиночными (Г) и короткими сериями ритмических стимулов (Б). Количество применяемых стимулов на всех гистограммах  $n=10$ . Калибровка: на А, В — горизонтальная линия — 800 мс, вертикальная линия — 10 спайков; на Б — 250 мс, 5 спайков, на Г — 60 мс, 3 спайка

Вышеуказанные эффекты раздражения входов гиппокампа, вероятно, можно объяснить с учетом морфологических данных. Перфорирующий путь, берущий начало в ЭК, заканчивается в основном на нейронах regio superior. Область окончаний перфорирующих волокон — дистальная часть апикальных дендритов находится далеко от триггерной зоны дендритов, генерирующей потенциалы действия [3, 4], и, видимо, поэтому одиночные раздражения ЭК неэффективны для вызова реакции. Для активации нейронов regio superior необходимо потенцирующее действие ритмической стимуляции ЭК. Септальные же афференты, начинающиеся в медиальной части ПП, проецируются в основном на нейронах regio inferior (или полей CA-3 и CA-4), а на нейроны regio superior могут влиять через коллатерали Шаффера [3, 5]. Вероятно, именно отсутствием прямых связей обусловлена малая эффективность одиночного раздражения ПП.

Превалирование тормозных эффектов, наблюдаемое в настоящей работе, можно объяснить сегментарной организацией гиппокампа, отмеченной многими авторами. Андерсон и сотрудники [6, 7], детально исследуя распределение аfferентных и efferentных, а также внут-

ригиппокампальных связей, рассматривают гиппокам как набор морфофункциональных сегментов, работающих относительно независимо друг от друга. Ширина «функционального сегмента», определяемая этими авторами, составляла приблизительно 0,7 мм. В ответ на электрическую стимуляцию любого входа возбуждаются пирамидные нейроны в ограниченном количестве сегментов. Нейроны же, находящиеся в соседних сегментах, должны испытывать первоначальное торможение. Это торможение осуществляется при помощи тормозных корзинчатых клеток, активированных через аксонные коллатерали пирамидных нейронов первично возбужденного сегмента (рис. 2). Исходя из того,

Рис. 2. Схематическое изображение трех сегментов гиппокампа. Сегменты выделены пунктирными линиями. 1—6 — пирамидные нейроны. Темные круги — корзинчатые клетки. Заштрихован первично возбужденный сегмент. SPT — септальный вход, ENT — энторинальный вход. Объяснения в тексте



что количество сегментов, испытывающих латеральное торможение, гораздо больше, чем первично возбужденных, можно объяснить значительное превалирование ответов с начальным угнетением спайковых разрядов. Следовательно, в тех редких случаях, когда регистрируется первоначальное усиление спайковых разрядов, отводящий микроЭлектрод находится в первично возбужденном сегменте (рис. 1, Г).

Академия наук Грузинской ССР

Институт физиологии  
им. И. С. Бериташвили

(Поступило 7.12.1979)

ადამიანისა და ცოცვილთა ფიზიოლოგია

### თ. გლოველი

ვიზონამაბის REGIO SUPERIOR-ის პირამიდულ ნიტონთა  
რეაციის ხასიათი შესასვლელების ელექტრული სტიმულაციის  
საპაუზეოდ

რეზიუმე

დაუნარკოზებელ, მოძრაობაში ნაწილობრივ შეზღუდულ შინაურ კურ-დლებზე ვიკვლევდით ჰიპოკამპის regio superior-ის ნეირონთა რეაქციებს შესასვლელების ელექტრული გაღიზიანების საპაუზეოდ. ჰიპოკამპის როგორც ენტორინალური, ისე სეპტალური შესასვლელის რიტმული გაღიზიანება მორეა-გირე ნეირონთა უმრავლესობის სპაიქირი აქტივობის დათრგუნვას იწვევდა. ამათთან ეფუქტი გრძელდებოდა მხოლოდ გაღიზიანების ფონზე და მის დამთავ-რებისთანავე აღდგებოდა ნეირონისათვის დამახასიათებელი სპონტანური აქტივობა. ჰიპოკამპის შესასვლელების ერთხელობრივი გაღიზიანება, როგორც

Ще сю, аж მოქმედებდა ნეირონთა აქტივობაზე, ანდა იშვევდა (იშვიათ შემთხვევაში) სპონტანური აქტივობის თავდაპირველ დათრგუნვას, რასაც ხშირად სპაიკური განმუხტვების განვირება მოსდევდა.

### HUMAN AND ANIMAL PHYSIOLOGY

T. B. GLOVELI

#### THE CHARACTER OF PYRAMIDAL UNIT ACTIVITY OF REGIO SUPERIOR HIPPOCAMPI IN RESPONSE TO ELECTRICAL STIMULATION OF INPUTS

##### Summary

The unit responses from regio superior hippocampi to electrical stimulation of inputs were studied in wakeful, restrained rabbits. Rhythmic stimulation of both the entorhinal and septal hippocampal inputs resulted—in a great majority of the recorded units—in inhibition of spike discharges. Moreover, the effect lasted only throughout the stimulation, and after its cessation the pre-stimulation level of spontaneous activity was restored. Single stimulation of hippocampal inputs as a rule did not influence the unit activity, or caused an initial inhibition of spontaneous activity, followed by an increase of the rate of spike discharges.

##### ЛІТЕРАТУРА — REFERENCES

1. R. S. Cajal. Studies on the Cerebral Cortex (Limbic Structures) London, Lloyd-Luke, 1955.
2. R. Lorente de Nò. J. Psychol. Neurol. (Leipz.) 46, 2 u 3, 1934, 113.
3. G. Raisman, W. M. Cowan, T. P. S. Powell. Brain, 88, 5, 1965, 963.
4. O. Steward, C. W. Cotman, O. S. Lynch. Exptl. Brain Res., 18, 4, 1973, 396.
5. G. Raisman. Brain, 89, 2, 1966, 317.
6. P. Andersen, T. V. P. Bliss, K. K. Skrede. Exptl. Brain Res., 13, 2, 1971, 222.
7. P. Andersen, B. H. Bland, Y. D. Duder. Exptl. Brain Res., 17, 2, 1973, 152.



## ФИЗИОЛОГИЯ ЧЕЛОВЕКА И ЖИВОТНЫХ

А. А. ДЖАВАХИШВИЛИ, Е. И. ДОЛИДЗЕ, Н. А. ЭСАДЗЕ

### ОБ ЭФФЕКТИВНОСТИ КРИОРЕФЛЕКСОГЕННОГО МЕТОДА ЛЕЧЕНИЯ БОЛЬНЫХ СО СПОНТАННЫМ ЭНУРЕЗОМ

(Представлено академиком О. Н. Гудушаури 6.12.1979)

Из литературы общеизвестна парабиотическая сущность метаболических заболеваний приобретенного и наследственного характера. Известно также, что парабиоз и дисфункциональные состояния развертываются в условиях анемизации, гипоксии и ацидоза, приводящих к гипорегенерации, атерогенезу и бласттрансформации [1—3].

В предыдущих работах нами было установлено, что при метаболической патологии и дисфункциональных состояниях парабиотического типа, наряду с известной синдроматикой гипоксии, анемии и ацидоза, возникает также галактоземия [4]. При этом в большинстве случаев (свыше 75%) у больных отмечается нарушение функционального состояния биомембран клеток с угнетением реакции трофического гемолизирующего фотоэффекта [5]. Учитывая роль функционального состояния биомембран клеток и содержащихся в них ненасыщенных жирных кислот в механизме индукции биомембранный активности и радиочувствительных процессов в аэробных условиях [6], мы предположили о наличии в организме радиозащитной системы и определенного механизма функциональной ингибиции радиочувствительности бисембран, повреждение которых приводит к развитию парабиоза и метаболической патологии.

В последнее время в литературе появились данные об успешном применении криогенной терапии при лечении запущенных форм злокачественных новообразований [7]. Криорефлексотерапия была успешно применена нами при лечении гипосексуализма и других форм дисфункциональных состояний парабиотического характера [8].

Целью настоящей работы является изучение молекулярного механизма радиозоляции биомембран клеток при парабиозе, а также эффективности применения криорефлексотерапии у больных со спонтанным энурезом.

Под наблюдением находились дети обоего пола в возрасте 3—16 лет (всего 31 больной) с жалобами на ночное недержание мочи. В пяти случаях отмечалось недержание и в дневные часы в состоянии бодрствования, в трех — непривычная дефекация. Родные часто жаловались на общую раздражительность, пугливость и невнимательность детей. По анамнестическим данным, пятеро при рождении были обвиты пуповиной, в семи случаях роды проводились с применением вспомогательных мероприятий. У пяти больных рентгенологически была обнаружена спина бифида. Свыше 40% детей находились на искусственном вскармливании. По словам матерей, дети часто болели в раннем детском возрасте простудными заболеваниями, воспалениями легких и других систем. У больных часто отмечались перенесенные оперативные вмешательства.

Клинико-генеалогическое изучение больных выявило в 35% случаев наличие патологических отклонений, наследуемых по аутосомно-рецессивному типу. Было установлено также наличие в родстве метаболических заболеваний (сахарный диабет, цирроз печени, рак, хронические заболевания гастро-энтеральной системы и др.).

По данным дерматографического анализа, у большинства больных детей наблюдались множественные отклонения от нормы (преобладание на пальцах ульнарных петель, наличие дополнительных узоров на ладони, смещение трирадиусов и полей окончания главных ладонных линий, отсутствие трирадиуса С и др.). Однако аналогичные изменения имели место и у некоторых из здоровых родителей. Из-за полиморфности дерматографических отклонений у больных специфические для данного заболевания нарушения не были обнаружены. Важно подчеркнуть, что в родстве у пробандов в 25% случаев было установлено наличие больных родственников (среди сибсов пробанда и родных).

Изучение степени оксигенации крови у детей с помощью фотооксиметра (модели-057) показало, что в 42% случаев она соответствовала норме, в 10% случаев отмечалась резко выраженная гипоксия со снижением степени оксигенизации на 20% и выше, в 26% — умеренная гипоксия в пределах 10—20% дефицита кислорода, а в 22% случаев дефицит оксигенации не превышал 10%.

Изучением показателей pH суточной мочи (pH-метр марки pH-121) было обнаружено, что лишь у трех больных они достигали 6 единиц. В остальных случаях выявлялась резко выраженная апидизация. Согласно биохимическому анализу мочи, галактозурия-лактозурия имела место почти у всех больных (слабо положительная реакция), однако резко выраженная галактозурия-лактозурия — лишь у шести из них (17%). У этих детей на основе более углубленных клинико-генеалогических и лабораторных исследований (больных и родных) было установлено наличие носительства патологического гена галактоземии в гетерозиготной форме. У 14 больных наблюдалась аминоацидурия. Наиболее часто отмечалась продукция мочой пролина, триптофана, фенилаланина и глутамина, редко — гистидина, цистина, лейцина.

С целью изучения патогенетической роли нарушения обмена галактозы-лактозы при метаболических заболеваниях мы провели специальные исследования на биомембранных эритроцитах (*in vitro*). Обработанные предварительно галактозой и лактозой эритроциты (20 мг% на физиологическом растворе) испытывались на радиочувствительность по показателям гемолитической активации в обычных условиях и при их облучении прямыми солнечными лучами и бактерицидной лампой. Экспозиция обработанных образцов крови на солнце и под УФ-лампой составляла 30 минут. Выясилось, что галактоза и лактоза задерживают гемолиз и, следовательно, характеризуются радиорезистентными качествами (дейтериальный эффект).

Таким образом, при парабиозе и дисфункциональных состояниях создаются условия для усиления радиорезистентности клеток. Радиоизоляцию клеток в условиях ацидизации и гипоксии следует рассматривать как компенсаторное проявление, направленное на снижение радиационных повреждений и уничтожение резервов липолеат в составе биомембран. Однако усиление радиорезистентности при парабиозе, наряду с компенсаторно-защитной, имеет и отрицательную сторону, поскольку вызывает ингибицию наиболее эффективных фотосинтетических механизмов адаптационно-трофического порядка. В условиях радиоизоляции клеток в них прежде всего нарушаются процессы, связанные с фотодеструктивной трансформацией холестерина в биомембра-

нах с образованием стереоактивных продуктов из группы витамина Д. Причем отмечается усиление процессов восстановления и гидроксилиации холестерина с образованием холатов и продуктов стероидного ряда. Кроме того, в этих условиях нарушаются также процессы новосинтеза простагландинов и эстрадиола из полиненасыщенных жирных кислот в результате усиленного образования перекисей из линолеатов и ингибиции гемопротеидного (пероксидазного) окисления.

Угнетение фотодеструктивного пути трансформации холестерина вызывает ингибицию процессов самообновления линолеатов, гемопротеидов, нуклеопротеидов и другого рода макромолекул и ионов, связанных с фотодеструктивной лабилизацией (канализация) биомембран и с усилением их проницаемости. Блокада самообновления гемопротеидов в условиях ацидизации приводит к усиленному образованию перекисей и гидроперекисей из ненасыщенных жирных кислот, для обезвреживания которых необходимо присутствие пероксидаз, каталаз, цитохромов и других веществ гемопротеидного ряда (как и гемоглобина), усиленно разлагающихся в условиях парабиоза и радионизоляции с образованием билирубина и другого рода токсических продуктов, обезвреживание которых обычно совершается в печени. В этих условиях особенно возрастает траты УТФ и УДФ трансфераз, необходимых для синтеза глукуроновых соединений и обезвреживания токсинов и билирубина, как и холиевых кислот и продуктов стероидогенеза. Следовательно, в условиях ингибиции радиочувствительности биомембран клеток возникают процессы конкурентного связывания некоторых ферментов, необходимых как для обезвреживания токсинов, так и для асимиляции молочного сахара (лактозы-галактозы). Поэтому в условиях парабиоза возникает блокада в процессе асимиляции галактозы по известному в литературе механизму развития наследственной ферментопатии (галактоземии).

Итак, по патогенезу развития наследственная и приобретенная (синдромная) галактоземия, по-видимому, не отличаются друг от друга, поскольку возникают в результате блокировки УТФ механизма функционирования и радиочувствительности биомембран. Снижение проницаемости макромолекул через биомембрану ингибирует процессы новосинтеза холестерина из сквалена путем блокады пероксидазного способа образования активного кислорода, а также ганглиозидов и цереброзидов из молочного сахара, т. е. происходит ингибиция новосинтеза биомембранных элементов (мукопротеидов).

Таким образом, при парабиозе страдают как молодые, так и уже созревшие и дифференцированные клетки (прежде всего центральной нервной системы), которые нуждаются в метаболической коррекции алиментарно-трофическим путем для осуществления процессов reparации-регенерации.

Учитывая патогенетические моменты, мы провели комплексное лечение больных с применением криорефлексогенного, а также антирадиационного и противогалактоземического мероприятий (медикаментознодиетического порядка). После прохождения курса криорефлексотерапии (4—9 процедур) проверялось клинико-лабораторное состояние больных. В большинстве случаев (свыше 70%) отмечались улучшение степени оксигенации крови, снижение ацидоза и лактозурии-галактозурии. По окончании полного курса лечения отмечалось полное клиническое выздоровление больных почти в 80—90% случаях.

На основе клинико-лабораторных наблюдений мы пришли к заключению о том, что криорефлексотерапия способствует восстановлению радиочувствительности биомембран и образованию каналов, проводящих

макромолекулы (гемопротеиды и другие вещества), необходимых для дыхательной и метаболической активации регенерации-репарации и функционального восстановления парабиотических очагов.

Тбилисский НИИ генеративной  
функции человека  
им. И. Ф. Жордания

(Поступило 14.12.1979)

აზავანისა და ცხოვრისა ფიზიოლოგია

ა. ჯავახიშვილი, ე. დოლიძე, ნ. ესაძე  
ცონტაციი ენერეჟით დაავადებულთა კრიორეფლექსოგენული  
პარნენალობის ეფექტიანობის შისახვა

წე ზოგადი

სპონტანული ენერეჟით დაავადებული 31 ბავშვის შესწავლით დადგენი-  
ლია აციდოზის, ჰიპოკსიის, გალაქტოზურიის და ამინოაციდურიის არსებობა.

HUMAN AND ANIMAL PHYSIOLOGY

A. A. JAVAKHISHVILI, E. I. DOLIDZE, N. A. ESADZE  
ON THE EFFECTIVENESS OF THE CRYOREFLEXOGENIC  
METHOD OF TREATMENT OF PATIENTS WITH  
SPONTANEOUS ENURESIS

*Summary*

A study of 31 children with spontaneous enuresis has revealed the presence of acidosis, hypoxia, galactosuria and aminoaciduria.

Milk sugar, as well as steroids, was found to facilitate radioisolation of cell biomembranes in parabiosis, thereby inhibiting the processes of photo-destructive transformation of cholesterol and canalization of biomembranes. In conditions of inhibited passage of macromolecules through the membranes, the processes of trophic correction of metabolism, necessary to effect regeneration-reparation and cell differentiation, are disturbed.

Cryoreflex therapy, within a complex of pathogenetic treatment, was found to facilitate the rehabilitation of radiosensitivity and respiratory activity, leading to a decrease of parabiotic phenomena and to recovery of children with spontaneous enuresis in more than 70 per cent of cases.

ლიტერატურა — REFERENCES

1. А. А. Ухтомский. Собр. соч., т. 2. Л., 1951.
2. В. А. Таболин. Сб. «Насл. и приобр. нац. обмена веществ у детей». М., 1973.
3. Е. Н. Graul, N. Rutherford. S. Afr. Med. J. 1977, 52, № 4, 146.
4. А. Д. Джавахишвили, А. Д. Чичинадзе и др. Сообщения АН ГССР, 91, № 2, 1978, 258.
5. Е. И. Долидзе и др. Материалы IV съезда детских врачей ГССР. Тбилиси, 1976, 313.
6. Г. В. Гургенидзе, Е. И. Долидзе и др. Сб. «Лабораторная диагностика аллергических заболеваний». Киев—Ужгород, 1974, 40.
7. А. И. Пачес и др. Криогенный метод лечения опухолей головы и шеи. М., 1978.
8. А. А. Джавахишвили. Хлорэтиловая блокада как метод лечения при некоторых сексуальных нарушениях и недержании мочи. Тбилиси, 1977.

## БИОХИМИЯ

Э. А. ЗААЛИШВИЛИ, Р. С. РИЖИНАШВИЛИ, Г. А. МАРСАГИШВИЛИ

### ИССЛЕДОВАНИЕ ВОДОРАСТВОРНЫХ БЕЛКОВ ГОЛОВНОГО МОЗГА ЦЫПЛЯТ В ПРОЦЕССЕ ИМПРИНТИНГА

(Представлено академиком П. А. Кометиани 23.12.1979)

Запечатлевание (импринтинг) является самой ранней формой обучения и долговременной образной памяти [1—5]. Несмотря на то что феномен запечатлевания впервые был открыт Д. Спaldингом [1] еще в 1872 г., нейрофизиологические и биохимические основы этого явления до сих пор недостаточно изучены [6, 7].

В настоящее время некоторые исследователи считают, что во время импринтинга происходит специфическая активация синтеза белков [8, 9].

Что же касается изучения активных фракций среди этих белков, то этот вопрос не исследован.

Целью данной работы был поиск специфических для импринтинга фракций среди водорастворимых белков головного мозга цыплят. Тема предложена академиком П. А. Кометиани и выполнена при его консультации.

Эксперименты проводились на цыплятах породы белый леггорн.

Яйца в процессе инкубации за несколько часов перед вылуплением закладывались в отдельные картонные коробки, с тем чтобы после вылупления у цыплят не происходило взаимного запечатлевания. После вылупления цыплята разделялись на три группы. Одна группа оставалась в темноте (Т-контроль), другая перемещалась на свет (С-контроль), а цыплят третьей группы импринтировали в ник сенситивного периода (14—17 часов после вылупления) в аппарате Гесса (И-группа). Импринт-раздражителем служил красный шар диаметром 18 см, который вращался на манеже аппарата по кругу с радиусом 60 см. Экспозиция импринт-раздражителя продолжалась 50—60 мин, и в течение этого времени цыплята осуществляли реакцию следования за шаром. После окончания импринтинга у всех трех групп цыплят проводилась билатеральная экстирпация зрительных покрышек и полосатого тела, которые затем гомогенизировались в физиологическом растворе при 4°C. Гомогенат центрифугировался при 16 000г 30 мин. Супернатант, содержащий водорастворимые белки мозга, фракционировался электрофорезом в диапазоне амфолинов pH 3,5—10 на 10% полиакриламидном геле [10]. Установлено, что в физиологический раствор переходило примерно 10% от общих белков мозга, которые в диапазоне амфолинов pH 3,5—10 при 700v фракционировались на 26 электрофоретических фракций.

При количественной оценке фореграмм Т-, С- и И-групп (таблица) выясняется, что из 26 фокусированных фракций количественно не менялись семь (№ 1, 6, 9, 10, 11, 19, 20), из них две кислые (№ 1, 6), три нейтральные (№ 9, 10, 11) и две основные (№ 19, 20).

В контрольных опытах у цыплят, находящихся на свету, по сравнению с темновым контролем, достоверно менялись 12 фракций. При этом интересно отметить закономерность изменения этих фракций: содержание основных белков в опытах на свету увеличивалось (фракции № 21, 22, 23, 24, 25, 26), а кислых (№ 3, 4) и нейтральных (№ 13, 15, 16, 18) уменьшилось.

В процессе импринтинга у цыплят, по сравнению со световым контролем, достоверные количественные изменения наступали в 14 фракциях. Четыре фракции из них (№ 3, 4, 13, 15) увеличивались (среди них две кислые и две нейтральные), а десять основных (№ 7, 8, 12, 14, 16, 17, 21, 22, 24, 26) уменьшались. Привлекает внимание тот факт, что все четыре фракции, увеличивающиеся при импринтинге, уменьшались в опытах со световым контролем, а из десяти уменьшающихся при импринтинге фракций пять увеличивались в опытах на свету, а две уменьшались. Изменение трех остальных фракций в условиях темноты и света было статистически недостоверно.

Изменение количественного распределения фракций водорастворимых белков головного мозга цыплят в процессе импринтинга, в % от общего количества, взятого для анализа белка

№	Темновой контроль	P <sub>C-T</sub>	Световой контроль	P <sub>C-I</sub>	Изпринтинг
1	3,2±0,6	P>0,05	2,4±0,3	P>0,05	3,0±0,1
2	10,6±0,5	P>0,1	12,2±0,9	P>0,1	13,1±0,3
3	7,6±0,5	P<0,02	4,7±0,5	P<0,05	5,8±0,1
4	7,8±1,0	P<0,01	3,7±0,2	P<0,01	4,9±0,1
5	4,3±0,4	P>0,05	5,1±0,2	P>0,1	6,3±0,7
6	3,9±0,5	P>0,2	4,2±0,1	P>0,2	4,0±0,4
7	3,8±0,3	P<0,01	5,4±0,2	P<0,01	4,1±0,3
8	6,0±0,2	P>0,1	7,1±0,6	P<0,05	5,7±0,4
9	1,6±0,1	P>0,1	1,6±0,1	P>0,01	2,2±0,4
10	1,8±0,1	P>0,05	1,8±0,2	P>0,05	1,0±0,05
11	3,8±0,5	P>0,05	2,9±0,2	P>0,1	2,7±0,2
12	4,3±0,2	P>0,1	4,2±0,1	P<0,01	2,3±0,3
13	4,9±0,3	P>0,01	3,9±0,2	P<0,01	4,7±0,2
14	2,1±0,3	P>0,2	2,4±0,1	P<0,001	1,8±0,1
15	3,8±0,5	P<0,02	2,1±0,01	P<0,01	2,4±0,1
16	3,9±0,1	P<0,001	2,9±0,1	P<0,05	2,5±0,1
17	5,1±0,6	P>0,2	4,5±0,1	P<0,01	4,0±0,1
18	2,9±0,1	P<0,01	2,2±0,1	P>0,2	2,4±0,1
19	3,6±0,3	P>0,2	3,5±0,1	P>0,2	3,7±0,1
20	2,5±0,3	P>0,2	2,9±0,1	P>0,2	3,2±0,2
21	3,8±0,1	P<0,001	5,3±0,1	P<0,001	4,1±0,2
22	2,3±0,1	P<0,01	3,4±0,2	P<0,001	2,0±0,1
23	1,9±0,1	P<0,01	2,6±0,1	P>0,2	2,8±0,1
24	1,7±0,1	P<0,01	2,2±0,1	P<0,05	1,8±0,1
25	0,6±0,1	P<0,05	1,0±0,1	P>0,2	0,8±0,1
26	2,4±0,3	P<0,05	3,4±0,1	P<0,05	2,7±0,2

Анализ приведенных выше данных указывает на то, что свет у цыплят вызывает значительные сдвиги в распределении водорастворимых белков головного мозга. Импринтинг же вызывает специфические изменения в тех фракциях (№ 12, 21, 22), которые были обнаружены у контрольных цыплят, находящихся на свету. Под влиянием света 12-я белковая фракция больших изменений не претерпевала, но в процессе импринтинга ее содержание снижалось на 45%. 21-я фракция увеличивалась на свету на 39%, а импринтинг снижал ее содержание на 22%. У цыплят, находящихся на свету, 22-я фракция увеличивалась на



47%, а импринтинг снижал эту величину на 40%. Таким образом, наиболее значительные сдвиги при импринтинге наступали в тех фракциях, где при раздражении светом имело место увеличение содержания белка. В дальнейшем предполагается изучение свойств вышеуказанных белков, синтез которых связан с импринтингом.

Академия наук Грузинской ССР

Институт физиологии

им. И. С. Бериташвили

(Поступило 27.12.1979)

#### ნიმუშისათვალი

ე. ზაალიშვილი, რ. რიჟინაშვილი, გ. მარსაგიშვილი

წილის თავის ტანის ტანის ზემოქმედების ცილების უმჯობეს უმჯობეს უმჯობეს პროცესში

რეზიუმე

შესწავლითი იმპრინტირებული და საკონტროლო (სიბნელისა და სინა-  
თლის) წილების მხედველობის ბორცვებისა და ზოლიანი სხეულის წყალში  
ხსნადი ცილების სპექტრი ელექტროფოროგრაფიით პოლიაკრილამიდის გელზე.

ნაჩენებია, რომ სინათლე მნიშვნელოვან ძერებს იწვევს ცილის ფრაქ-  
ციების განაწილებაში. დადგენილია ამ ძერების კანონზომიერება: ფუძე ცი-  
ლების შემცველობა სინათლის ზემოქმედებით იზრდება, ხოლო მედვე ცი-  
ლებისა მცირდება. იმპრინტინგი თავის მხრივ სპეციფიკურად ცვლის ცილის  
სპექტრს. მასი გვლენა ძირითადდ გამოიჩატება ამ ცილის ფრაქციების რაო-  
დენობრივი შემცირებით, რომლებიც სინათლის ზემოქმედებისას იზრდებოდ-  
ნენ.

#### BIOCHEMISTRY

E. A. ZAALISHVILI, R. S. RIZHINASHVILI, G. A. MARSAGISHVILI

#### INVESTIGATION OF WATER-SOLUBLE PROTEINS IN CHICKEN'S BRAIN IN IMPRINTING PROCESSES

##### Summary

The spectrum of water-soluble proteins of the tectum opticum and striatum was studied in imprinted and control chickens by the method of electrofocusing on polyacrylamide gel.

Light was found to cause significant changes in the distribution of protein fractions. The regularity of these changes is established: the content of basic proteins increases under the influence of light, while the content of acid proteins decreases. Imprinting specifically alters the protein spectrum. The effect of imprinting is expressed in a quantitative decrease of fractions of the proteins which increased under exposure to light.

ლიტერატურა — ЛИТЕРАТУРА — REFERENCES

1. А. Г. Понугаева. Импринтинг (запечатлевание). Л., 1973.
2. K. Lofens. J. Ornithol., 83 : 137-213, 1935. 289.
3. Р. Хайнд. Поведение животных. М., 1975.
4. А. Д. Слоним. Среда и поведение. Л., 1976.
5. Р. С. Рижинашвили, Г. А. Марсагишивили, Л. Д. Джохадзе. Сообщения АН ГССР, 93, 3, 1979, 697.
6. J. Haywood, J. Hambley, S. Rose. Brain Res., 92, 1975, 219.
7. G. Chapouthier. La Recherche. 83, 1977, 994.
8. Г. Норг. Гагрские беседы, т. VII. Тбилиси, 1979, 246.
9. Э. А. Заалишвили, Р. С. Рижинашвили, Г. А. Марсагишивили. Сообщения АН ГССР, 97, № 1, 1980, 181.
10. B. Miner. Anal. Biochem., 50, 1, 1974, 313.

## ФИТОПАТОЛОГИЯ

А. И. ЧУМАКОВА, Э. С. МЕГРЕЛИДЗЕ

### ПИТОМНИКИ-«ЛОВУШКИ» ДЛЯ ИЗУЧЕНИЯ РАСОВОГО СОСТАВА ВОЗБУДИТЕЛЯ ФИТОФТОРОЗА КАРТОФЕЛЯ В ГРУЗИИ

(Представлено академиком Л. А. Кацхавели 27.12.1979)

Наиболее распространенным и вредоносным заболеванием картофеля в Грузии является фитофтороз, вызываемый грибом *Phytophthora infestans* (Mont) de Bary.

Развитие фитофтороза на картофеле наблюдается как в западных, так и в восточных районах Грузии. Потери урожая картофеля от фитофтороза особенно ощущимы во влажные, эпифитотийные годы и составляют 40—60%. Борьба с фитофторозом картофеля в Грузии усложняется тем, что гриб *Ph. infestans* вызывает фитофтороз одновременно на картофеле и томатах (реже), широко культивируемых в республике.

Фитофтороз развивается на листьях и клубнях картофеля, листьях и плодах томатов.

Почвенно-климатические условия Грузии благоприятны для формообразовательных процессов гриба *Ph. infestans* и развития эпифитотий фитофтороза на картофеле и томатах.

Несмотря на высокую вредоносность и распространенность фитофтороза на картофеле и томатах, исследования в этом направлении практически не проводились и литературные сведения о развитии фитофтороза в Грузии на указанных культурах почти отсутствуют. Некоторые биологические особенности развития гриба *Ph. infestans* на томатах описаны А. И. Маглакелидзе [1].

Гриб *Ph. infestans* высокоизменчив и состоит из физиологических рас, различающихся по вирулентности и агрессивным свойствам.

Изменчивость гриба проявляется в образовании новых физиологических рас, ранее не обнаруживавшихся в популяции патогена.

Высокая изменчивость возбудителя фитофтороза картофеля, наблюдаемая в природных условиях и при культивировании гриба на агаризованных питательных средах, значительно усложняет селекцию фитофтороустойчивых сортов картофеля [2—12].

Для организации селекции картофеля, направленной на устойчивость к фитофторозу, необходимо знание расового состава гриба, его динамики. В связи с этим во многих странах проводится изучение расового состава гриба.

Учитывая это, в 1973 г. комиссия иммунитета ВАСХНИЛа утвердила план исследований по расовому составу возбудителя фитофтороза картофеля на территории СССР. В план исследований входит и организация в наиболее эпифитотийных зонах страны питомников-«ловушек», предназначенных для выявления и отбора из природных популяций гриба новых более вирулентных рас. В настоящее время питомни-

ки-«ловушки» функционируют в основных зонах возделывания картофеля [13].

Согласно общему плану исследований, в 1974 г. на территории Грузии мы начали планомерное изучение расового состава возбудителя фитофтороза картофеля.

В республике организовали сеть питомников-«ловушек» для выявления расового состава гриба *Ph. infestans*, его динамики и изучения формообразовательных процессов возбудителя. Питомники-«ловушки» расположены в районах наиболее частого и сильного развития фитофтороза картофеля: Онском, Цалкском, Хулойском, Боржомском и Кобулетском.

Распространение рас *Ph. infestans* по годам в питомниках-«ловушках»

Год	Расы												Число сортов в питомниках-«ловушках»									
	0	1	2	3	4	5	6	7	8	9	10	11										
1975	+	+	+	0	+	-	0	-	-	-	0	+	0	0	-	-	-	-	0	0	30	
1976	0	+	+	+	+	+	0	+	+	-	+	+	+	+	+	0	+	0	+	0	0	39
1977	0	+	+	+	+	+	+	+	-	+	+	+	+	+	+	0	+	+	+	0	0	49
1978	0	+	0	0	+	+	+	+	+	+	+	+	+	+	+	+	+	+	+	+	+	50

— Расы обнаружены.

0 — Расы не обнаружены.

— Штаммы не проверялись на соответствующих дифференциаторах.

В каждом районе высаживали единый набор устойчивых и относительно устойчивых сортов картофеля отечественной и зарубежной селекции, обладающих различными генами специфической устойчивости и разной степенью полевой устойчивости.

В питомнике высаживали районированный сорт Мажестик и различные пасленовые культуры с целью обнаружения дополнительных источников инфекции фитофтороза и выявления районов наиболее эпифитотийного развития болезни в Грузии.

Учеты и наблюдения за поражением сортов картофеля фитофторозом в питомниках проводили по единой методике.

В течение сезона в питомниках наблюдали за появлением и динамикой развития фитофтороза на опытных сортах, а также собирали инфекционный материал с различных сортов картофеля для идентификации рас патогена. Параллельно вели наблюдения за развитием фитофтороза на производственных посадках картофеля, томатов и на различных пасленовых культурах.

Расовый состав *Ph. infestans* изучали на двух наборах дифференциаторов Шика и Блэка [14] с растениями картофеля, включающими гены устойчивости  $R_1$ ,  $R_2$ ,  $R_3$ ,  $R_4$  как в отдельности, так и в различном сочетании, а также растения-дифференциаторы с генами  $R_x$ ,  $R_y$ ,  $R_z$  и  $R_5$ ,  $R_6$ ,  $R_{6+0}$ ,  $R_7$ ,  $R_8$ ,  $R_{10}$ ,  $R_{11}$ .

В 1975—1978 гг. популяция возбудителя фитофтороза картофеля в районах развития болезни характеризовалась довольно широким

спектром вирулентности. В популяции гриба выявлены как простые, так и сложные расы (см. таблицу). Всего в популяции гриба идентифицировано 25 физиологических рас. Среди них сложные расы 1.2, 1.3, 1.4, 2.3, 2.4, 3.4, 1.2.3, 1.2.4, 2.3.4, 1.2.3.4, а также расы xuz, 2 st, 6+0, т. е. идентифицированы почти все (кроме P<sub>9</sub>) гены вирулентности гриба. В последние годы повысилась частота встречаемости сложных рас и они сохраняются в популяции в течение всего периода вегетации картофеля.

Наибольшей распространенности в последние годы характеризуются гены вирулентности P<sub>4</sub> и P<sub>10</sub>, которые встречаются как в отдельности, так и в сочетании с другими генами устойчивости.

Ежегодное выращивание в питомниках-«ловушках» различных по происхождению устойчивых сортов картофеля и учет их урожайности позволили рекомендовать пять сортов картофеля для сортоиспытаний в Грузии.

Всесоюзный научно-исследовательский  
институт фитопатологии  
МСХ СССР

(Поступило 27.12.1979)

#### ფიტოპათოლოგია

ა. ჩუმაკოვა, ე. მეგრელიძე

სანარჩი-„დაშვერები“ საქართველოურ კარტოფილის  
ფიტოფათოლოგიის გამომავლის რასობრივი უმჯგნელობის  
უმსახავლად

რეზიუმე

1975—1978 წლებში ქარტოფილის ფიტოფათოლოგის გავრცელების ძირითად რაიონებში ორგანიზებულ იქნა სანერგე-„დაშვერები“, რომლებიც შედგებოდნენ Phytophthora infestans-ისადმი სხევადასხვა გამძლეობის მქონე 30—50 ჯიშისაგან. სანერგებში გამოვლენილ იქნა 25 ფიზიოლოგიური რასა. ჯიშების დავადებისადმი გამძლეობისა და მოსავლიანობის აღრიცხვის შედეგების მიხედვით 5 მაღალმოსავლიანი და გამძლე ჯიში გადაცემულ იქნა რესპუბლიკის ჯიშთა გამოცდის ქსელში.

#### PHYTOPATHOLOGY

A. I. CHUMAKOVA, E. S. MEGREL'DZE

“TRAP”-NURSERIES FOR STUDYING THE RACIAL COMPOSITION  
OF THE AGENT OF LATE BLIGHT OF POTATO IN GEORGIA

Summary

“Trap”-nurseries, consisting of a standard set of varieties with differing specific and field resistance, were organized in 1975-78 in the principal districts of development of late blight in Georgia. Over the indicated period

25 physiological races of *Phytophthora infestans* were indentified in the "trap"-nurseries. 5 highly prospective varieties have been submitted for cropping capacity tests to the network of the republic's variety-testing stations. These varieties were selected on the basis of records of yield and resistance to pathogen.

#### ЛІТЕРАТУРА — REFERENCES

1. А. И. Маглакелидзе. Автограферат канд. дисс. М., 1971.
2. Н. А. Дорожкин, З. И. Ремнева. Картофель. М., 1966.
3. Т. И. Федотова, З. С. Касперович, Т. В. Степанова. Труды ВИЗРа, вып. 26, 1966.
4. К. В. Попкова, С. А. Ерохина. Материалы IV съезда Укр. бот. о-ва. Киев, 1969.
5. А. И. Чумакова, В. И. Хромова. Труды V Всесоюз. совещ. по иммун. раст. Киев, 1969.
6. Е. Д. Коваленко. Там же.
7. А. И. Чумакова. Микол. и фитопат., т. 7, вып. 1, 1973.
8. Е. Д. Коваленко, А. И. Чумакова. С/х биол., т. IX, 2, 1974.
9. А. И. Чумакова, Е. Д. Коваленко, И. Н. Козловская. Тез. докл. VI Всесоюз. совещ. по иммун. с/х раст. к болезням и вред. Одесса, 1975.
10. C. E. Caten, I. Links. Canad. J. Bot. 46, 4, 1968.
11. J. F. Malcolmson. Nature, 225, № 5236, 1970.
12. F. Deuword. Hereditas, 66, 1, 1970.
13. А. И. Чумакова. Картофель и овощи, № 9, 1975.
14. P. Schick, E. Schick. Zuechter, B. 29, N. 5, 1959.



## ЭНТОМОЛОГИЯ

Э. Д. АБАШИДЗЕ, А. А. КИПИАНИ

### ИСПОЛЬЗОВАНИЕ ПОЛОВЫХ ФЕРОМОНОВ ЯБЛОННОЙ ПЛОДОЖОРКИ В ЦЕЛЯХ СИГНАЛИЗАЦИИ СРОКОВ БОРЬБЫ С НЕЙ И ИЗУЧЕНИЯ ДИНАМИКИ ЕЕ ПОПУЛЯЦИИ

(Представлено академиком Л. А. Кацавели 3.10.1979)

Современная практика защиты растений располагает эффективными химическими средствами борьбы с вредителями. Однако интенсивная химическая борьба имеет свои отрицательные стороны, так как способствует нарушению агробиоценотических отношений, загрязнению окружающей среды и развитию резистентности к пестицидам и многих вредных насекомых.

В настоящее время в практике широко используются биологически активные вещества для регулирования поведения насекомых, снижения численности вредных видов, сдерживания их популяций на безопасном уровне [1—4]. Из идентифицированных феромонов насекомых широкой известностью пользуются половые феромоны плодожорок (яблонной, восточной, слиновой), успешно применяемые для практической борьбы.

Использование половых аттрактантов и их синтетических аналогов открыло большие возможности для широкого применения половых ловушек с целью точного учета численности и фенологии природных популяций вредителя, обнаружения вредителей в новом ареале в случае малочисленных популяций. Кроме того, феромоны применяются как прямое средство истребления вредителей, а также для дезориентации (путем перенасыщения атмосферы запахами аттрактантов), сигнализации сроков борьбы [5, 6]. Экономическую целесообразность проведения химической борьбы можно определять на базе знания биологических и экологических особенностей развития вредителя. В силу специфических особенностей биологии яблонной плодожорки химические средства могут оказывать воздействие в течение ограниченного срока их активности, когда она находится в наиболее уязвимой для химической борьбы фазе.

В задачу наших исследований входили установление наиболее уязвимой фазы для химических обработок, определение специфиности синтетических половых аттрактантов яблонной плодожорки отечественного и американского производства и их сравнительной эффективности, сигнализации сроков борьбы, изучение сезонной динамики лета и численности по годам в условиях различной вертикальной зональности.

Для изучения указанных вопросов и постановки опытов использовались методика, разработанная фирмой «Зоекон», «Рекомендация по использованию сексловушек для разработки прогноза необходимости применения химических средств борьбы с яблонной плодожоркой». Половые феромоны яблонной плодожорки в 1975—1977 гг. испытывались в различных вертикальных зонах Грузии на семи опорных пунктах

(Вашладжвара, Багеби, Самгори, Варкетили, Гори, Скра, Гульрипши), на 12 опытных участках. Ареал исследований охватывал высоту над уровнем моря от 8—12 м (Гульрипши) до 888 м (Багеби, окрестности Тбилиси). В 1975 и 1976 гг. в плодовых садах Восточной и Западной Грузии были испытаны феромоны яблонной плодожорки американского производства, а в 1977 г. были проведены сравнительные испытания феромонов американского и отечественного производства. За биологией и экологией вредителя велись наблюдения в проволочных садках в полуполевых (Самогри) и лабораторных условиях.

В различных вертикальных зонах картонные сексловушки с феромоном яблонной плодожорки вывешивались в крону яблоневых деревьев на высоте 1,5—2 м за 2 недели до средних ориентировочных сроков вылета бабочек. Через 6—8 недель по истечении сроков эффективного действия феромоны заменялись свежими. Для установления динамики лета и численности, определения сроков вылета плодожорки сексловушки просматривались каждый день, а для определения сроков яйцекладки — каждый день после начала лета. Отловленные самцы подсчитывались и удалялись. Данные учета сексловушек сверялись с данными учетов ловчих поясов и поврежденности плодов. На основании анализа учетных данных сексловушек, ловчих поясов и поврежденности плодов уточнялись необходимость и сроки проведения истребительных мероприятий.

В результате проведенных исследований установлено, что для определения оптимальных сроков проведения обработок сада важно точно знать следующие фенологические моменты яблонной плодожорки: начало вылета бабочек, начало откладки яиц, начало отрождения гусениц (более 20%). Вновь отродившиеся личинки яблонной плодожорки являются наиболее уязвимой фазой для химических средств, поэтому сигнал для обработок дается, когда за 1 учетный день (пятидневку) в сексловушках в среднем учитывается более 1—2 экземпляров и уточняются сроки прямыми наблюдениями за фенологией вредителя в полевых и лабораторных условиях. Уточнение сроков обработок с помощью сексловушек повысило эффективность проводимых мероприятий на 25% (Самгорская экспериментальная база Грузинского НИИ защиты растений).

Феромоны как американского, так и отечественного производства оказались довольно эффективными, обладали хорошими аттрактивными свойствами и большой специфичностью. Отечественные образцы феромонов лишь незначительно уступали американским, а что касается специфичности, отечественный феромон проявил несколько большую специфичность. В ловушках с американским феромоном мы находили особей восточной плодожорки, тогда как в ловушках с отечественным феромоном другие виды плодожорок не были зарегистрированы.

В разных районах улов бабочек отечественными и американскими ловушками достигал разной величины, что свидетельствует о том, что, кроме качества самого феромона, большую роль в улове играют и другие факторы: температура воздуха, осадки, влажность, сила и направление ветра. Анализ полученных экспериментальных данных, обзор и сравнительная характеристика метеорологических данных за 1975, 1976, 1977 гг. выявили, что климатические факторы (неравномерное расселение по вертикальным зонам) и погодные условия (колебания численности по годам) оказывают большое влияние на распространение и развитие яблонной плодожорки, которая является довольно стабильным видом для всей Грузии.

Динамика лета и численности яблонной плодожорки довольно специфична. Лет бабочек с разной интенсивностью происходит с мая по сентябрь, что связано со спецификой развития плодожорки (растянутое развитие, наложение поколений) (рис. 1).

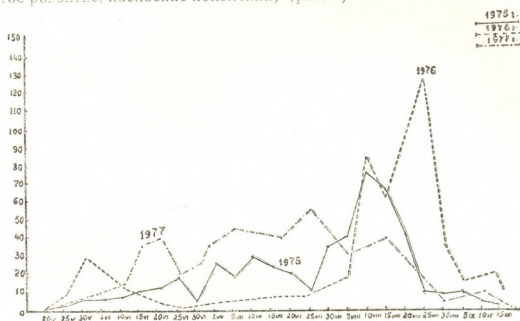


Рис. 1. Динамика лета самцов яблонной плодожорки на половые феромонные ловушки в 1975—1976—1977 гг. (Самгорская экспериментальная база ГрузНИИЗРа)

Анализируя динамику лета бабочек плодожорки в Самгори за 3 года, можно отметить, что наибольшей численностью отличался 1976 г., когда наблюдалось два пика численности, обусловленных высокими летними температурами и ясной безветренной погодой. Благоприятные метеорологические условия осени 1976 г. способствовали успешному развитию весеннего поколения яблонной плодожорки в 1977 г., но затем погодные условия внесли свои корректиры, значительно снизив ее численность (25%) (рис. 1).

Проведенные испытания секловушек показали высокую эффективность их при изучении динамики численности яблонной плодожорки и определении оптимальных сроков проведения истребительных мероприятий против нее.

Грузинский НИИ защиты растений

(Поступило 5.10.1979)

მნიშვნელობა

მ. პავლიძე, ა. უზვაძე

ვაკლის ნაყოფიანის უინაღებები ბოლოს ვადების ციხნალიზაციის  
 და მისი პოპულაციის დინამიკის შესაბლის მინიმის სასმელ  
 ფერომონის გამოყენება

რეზიუმე

სამწლიანი ექსპრიმენტის საფუძველზე ვაშლის ნაყოფიანის სასქესო ფერომონის გამოყენებით დაზუსტდა ნაყოფიანის ბიოლოგიის უმთავრესი მომენტები (ცეპლების ფრენის დინამიკა, კვერცხის დების დასაწყისი, მატლე-

ბის გამოჩევის დასაწყისი, მავნებლის თაობათა რიცხვი); დაფვინდა ბრძოლის ორნისძიებათა ვადები და მისი ზუსტი სიგნალიზაციის შესაძლებლობა. ბრძოლის ვადების სიგნალიზაციის მიზნით სასქესო ფერმონების გამოყენებამ მავნებლის მიმართ ჩატარებული ლონისძიების ეფექტურობა 25%-მდე გაზარდა.

## ENTOMOLOGY

E. D. ABASHIDZE, A. A. KIPIANI

## USE OF SEX PHEROMONES IN THE TIMING OF CODLING MOTH CONTROL AND STUDYING ITS POPULATION DYNAMICS

## Summary

In Georgia the codling moth does much damage to cultured and wild apple-trees.

As the result of tests carried out by the authors they consider that application of sex-traps is highly promising in the timing of codling moth control, taking protective measures, and studying its population dynamics.

## ლიტერატურა — REFERENCES

1. Ю. А. Кондратьев, К. В. Лебедев, Ю. Б. Пятнова, Ж. Всесоюз. хим. о-ва им. Д. И. Менделеева, т. XXIII, 2, 1978.
2. В. П. Васильев. Советско-американская конференция по интегрированной борьбе с вредителями с/х культур. Киев, 1973.
3. М. С. Квачаниадзе. Труды Грузинского НИИ защиты растений, т. XXV, 1973.
4. А. В. Ликвидов. Труды ВИЗРа, вып. 40. Л., 1974.
5. Т. П. Богданова, Н. И. Петрушова. Рекомендации по использованиюекс-ловушек для разработки прогноза необходимости применения химических средств борьбы с яблонной плодожоркой. М., 1973.
6. М. Джекобсон. Половые феромоны насекомых. М., 1976.



## ЭКСПЕРИМЕНТАЛЬНАЯ МОРФОЛОГИЯ

Л. Ш. КАРКАРАШВИЛИ

### ЭЛЕКТРОННОМИКРОСКОПИЧЕСКОЕ ИССЛЕДОВАНИЕ НАДПОЧЕЧНИКОВ ПРИ ЭКСПЕРИМЕНТАЛЬНОМ ИНФАРКТЕ МИОКАРДА, ОСЛОЖНЕННОМ КАРДИОГЕННЫМ ШОКОМ

(Представлено членом-корреспондентом Академии Н. А. Джавахишвили 16.11.1979)

Инфаркт миокарда сопровождается сложным нарушением функции эндокринных желез. Особенно большое внимание исследователей привлекает состояние симпатико-адреналовой системы у больных инфарктом миокарда, осложненным кардиогенным шоком [1, 2].

Центральным звеном в регуляции гомеостаза при кардиогенном шоке является надпочечная железа, гормоны которой участвуют в коррекции центральной и периферической гемодинамики, нарушенной при острой коронарной недостаточности [3].

Целью исследования является изучение структурных проявлений реакции коркового и мозгового вещества надпочечной железы на инфаркт миокарда, осложненный кардиогенным шоком.

Эксперимент выполнен на собаках с исходным весом тела 15—20 кг. На фоне новодриновой кардиомиодистрофии накладывали предварительную лигатуру на нисходящую ветвь левой венечной артерии. Спустя 5—7 дней после операции ненаркотизированному животному затягивали провизорную лигатуру специальным аппаратом, вследствие чего просвет венечной артерии сужался. Критериями шока служили: падение артериального давления на 30—35% по сравнению с исходным, а пульсового — до 25 мм рт. ст и ниже, данные ЭКГ, заторможенность животного, а также расширение зрачков, вялость корнеального рефлекса. Нарастающий метаболический ацидоз подтверждал развитие кардиогенного шока. Спустя 5—7 дней эксперимент повторяли, кардиогенный шок вызывали вторично, животное забивали и исследовали ультраструктуру надпочечной железы [4].

При электронномикроскопическом анализе в клубочковой зоне надпочечной железы выявлены сдвиги как в стенке капилляра, так и в железистых клетках. Ультраструктура эндотелия свидетельствует о повышении проницаемости стенки сосудов, отмечается набухание и просветление матрикса клетки, а также расширение межэндотелиальных промежутков. Пиноцитозная активность эндотелия как на базальной, так и на люминарной поверхности повышена.

Субэндотелиально наблюдается скопление отечной жидкости в виде полостей и пузырьков. Перикапиллярное пространство расширено и заполнено рыхлым мелкозернистым принципитатом умеренной электронной плотности.

Цитоплазма железистых клеток клубочковой зоны (адренокортикоциты) просветлена, свойственная этим клеткам удлиненная форма становится округло-овальной. Микроворсинки на апикальной поверхности плазмолеммы набухают, укорачиваются. Некоторые слущенные и

фрагментированные микроворсинки располагаются в перикапиллярном пространстве вместе с секреторными гранулами.

Межклеточные щели адренокортикоцитов клубочковой зоны расширены, апикальная плазмолемма и цитомембрана боковых поверхностей разрыхлены. Размер и количество свойственных этим клеткам липидных капель, так называемых липосом, уменьшены. Их обычное полярное распределение в клетке меняется, липидные капли сосредоточены вдоль апикальной поверхности. Содержимое липосом просветлено, местами с образованием миелиноподобных комплексов, которые прилегают к митохондриям и вакуолям гладкого эндоплазматического ретикулума (рис. 1). В глубоких слоях клубочковой зоны липосомы встречаются в меньшем количестве, чем в центральной и субкапсулярной областях. В глубоких слоях клубочковой зоны контур ядер неровный, имеет лепестчатый вид. В некоторых из них хроматин представлен в виде осмиофильных глыбок, ядрышко крупное. Липидные капли тесно прилегают к лизосомам и митохондриям. Элементы гладкого эндоплазматического ретикулума имеют вид мелких пузырьков и везикул (рис. 2).



Рис. 1. Адренокортикоциты из клубочковой зоны надпочечника собаки при кардиогенном шоке. Содержимое липосом (1) просветлено, местами видны миелиноподобные структуры (2).  $\times 9300$



Рис. 2. Адренокортикоциты из глубокого слоя клубочковой зоны надпочечника собаки при кардиогенном шоке. Контур ядра железнистой клетки неровный (1), ядрышко крупное (2), липидные капли (3) тесно прилегают к митохондриям (4).  $\times 9300$

Кроме вышеотмеченных, наиболее часто встречающиеся включения, в цитоплазме адренокортикоцитов клубочковой зоны иногда имеются единичные микротельца с гомогенным мелкозернистым содержимым, умеренной плотности. Эти элементы окружены однослойной мембранный. Митохондрии округлены, мембранный структура крист разрушена, матрикс большей частью вакуолизирован. Наружная оболочка органелла деформирована.

Изменения адренокортикоцитов из нучковой зоны надпочечника при кардиогенном шоке выражены в первую очередь в трансформации митохондрий. Эти органеллы набухшие, везикулярная структура крист не различается вследствие слияния отдельных везикул в пакеты. Матрикс митохондрий просветлен. В большинстве митохондрий в пространстве между кристами наблюдаются кристаллоиды. Внутренняя оболочка митохондрий деформирована, между наружной и внутренней оболочками появляются щели и полости.

Иногда в клетках нучковой зоны встречаются митохондрии с локальным нарушением наружной и внутренней митохондриальных мем-

бран в виде расслоений их на отдельные осмиофильтные слои. По данным некоторых исследователей [5, 6], это явление говорит о повышенной функциональной активности митохондрий.

Эндоплазматический ретикулум в клетках пучковой зоны состоит из коротких уплощенных канальцев и пузырьков. У экспериментальных животных отмечается дезагрегация мембранный цитоплазматической сети, расширение и вакуолизация полостей с истончением пограничной мембранны. В цитоплазме клеток пучковой зоны значительно увеличено количество свободных рибосом. Вдоль апикальной плазмолеммы железистой клетки сосредоточены многочисленные липосомы без какой-либо ориентации, небольшое их количество отмечается также и в периапикальном пространстве. Содержание нуклеопротеидных комплексов в цитоплазме увеличено. Пластинчатый аппарат сосредоточен в окологидерной зоне. В его элементах просматриваются осмиофильтные включения, иногда в виде плотных телец. По направлению к сетчатой зоне насыщенность цитоплазмы адренокортикоцитов элементами пластинчатого аппарата увеличена.

Адренокортикоциты сетчатой зоны более округлые. Чаще, чем в клубочковой и пучковой зоне, отмечается контакт железистых клеток с капиллярами. Цитоплазма их более набухшая, отечная, с единичными липосомами и липидными каплями. Ультраструктура органеля железистых клеток сетчатой зоны по сравнению с адренокортикоцитами клубочковой и пучковой зон менее изменена, лишь в более глубоких слоях отмечается вакуолизация крист митохондрий и некоторое расширение элементов пластинчатого аппарата. Содержимое вакуолей различной электронной плотности от гомогенно-умеренного до оптически прозрачного.

Мозговое вещество надпочечников представлено адреноситами, цитоплазма которых особенно богата секреторными гранулами. Ядро имеет центральное расположение и по плотности не отличается от осмиофильтной цитоплазмы. Характерны увеличение количества секреторных гранул, расширение канальцев зернистого цитоплазматического ретикулума и нарушение центральной структуры митохондриальных крист. На избирательную заинтересованность паренхимы мозгового вещества при кардиогенном шоке указывает наличие большого количества секреторных гранул в перикапиллярном пространстве. Многие капилляры мозгового вещества отличаются активностью цитомембран эндотелия, расширением фенестр в нем, большим количеством пиноцитозных везикул как вдоль люмениарной, так и базальной поверхности кластики [7].

При кардиогенном шоке увеличение количества секреторных гранул — предвестники гормонов надпочечной железы, активацию эндотелия капилляров и разрыхление апикальной поверхности железистых клеток, облегчающие выделение секрета в венозный отрезок капиллярного русла, можно считать ультраструктурным проявлением активности симпатико-адреналовой системы.

Академия наук Грузинской ССР  
Институт экспериментальной морфологии  
им. А. Н. Натишвили

(Поступило 23.11.1979)

ლ. შარქარაშვილი

თირქელზედა ჯირკვლის ელექტრონულმიკროსკოპული  
 გამოყვავება კარდიოგენული ჟოკით გართულებული  
 ექსპერიმენტული მოძალაულის ინფარქტის დროს

ჩ. ზიუმე

კარდიოგენული შოკით გართულებული მიოკარდიუმის ინფარქტის დროს  
 თირქელზედა ჭირკვლის ქერქოვანი და ტეინოვანი ნივთიერების უგრედებში  
 აღინიშნება სეკრეტორული გრანულების რაოდენობის მომატება, კაპილარების  
 ენდოთელის ქტივაცია, ჭირკვლოვანი უგრედების აპიკალური ზედაპირის გა-  
 ფარება, რაც ადვილებს სეკრეტის გამოყოფას კაპილარული ქსელის ვენურ  
 ნაშილში. ეს ცვლილებანი უნდა ჩაითვალოს სიმპათიურ-ადრენალური სის-  
 ტემის გაძტივების მორფოლოგიურ გამოვლინებად.

#### EXPERIMENTAL MORPHOLOGY

L. Sh. KARKARASHVILI

#### ELECTRON MICROSCOPIC INVESTIGATION OF THE ADRENAL GLANDS DURING INDUCED MYOCARDIAL INFARCTION AGGRAVATED BY CARDIOGENIC SHOCK

##### Summary

During myocardial infarction, aggravated by cardiogenic shock, an increase of the quantity of secretory granules, activation of the capillary endothelium and apical surface onycholysis can be noted in the cortical and medullary cells of the adrenals. This facilitates secretion discharge in the venous part of capillary network. These changes can be regarded as a morphological manifestation of the sympathoadrenal system activation.

##### ლიტერატურა — ЛИТЕРАТУРА — REFERENCES

1. С. В. Андреев, И. Д. Кабкова. Роль катехоламинов в здоровом и больном организме. М., 1970.
2. П. Е. Лукомский. Шок при инфаркте миокарда. М., 1969, 9—13.
3. И. Е. Ганелина, В. Н. Бриккер, В. Н. Вольперт, А. М. Могилев, В. А. Нагорнев. Кардиология, 12, 1970, 42.
4. Ю. С. Чечулин. Поврежденное сердце. М., 1975.
5. S. I delman. Int. Rev. Cytol. № 27, 1970, 181-281.
6. I. Rhodin. J. Ultrastruct. Res. № 34, 1971, 23-71.
7. В. М. Гордиенко, В. Г. Козырицкий. Ультраструктура желез эндокринных систем. Киев, 1978.

## ЭКСПЕРИМЕНТАЛЬНАЯ МЕДИЦИНА

Э. Н. МИКАДЗЕ, Н. И. ТАТИШВИЛИ, М. М. ЧИКОВАНИ, П. И. СОЛОВЬЕВ

### ИММУНОЛОГИЧЕСКИЕ СДВИГИ ПРИ АТЕРОСКЛЕРОЗЕ

(Представлено академиком Н. А. Джавахишвили 26.12.1979)

Предпосылкой для изучения иммунологических сдвигов при атеросклерозе послужило открытие антигенных свойств  $\beta$ -липопротеидов сыворотки крови [1—3]. Если антигенност  $\beta$ -липопротеидов не вызывает сомнений, то вопрос об их аутоантигенности еще не решен окончательно [4—6].

Задачей настоящего исследования является: 1) определение наличия антител против  $\beta +$  пре  $\beta$ -липопротеидов и к аортальному антигену в сыворотке крови больных атеросклерозом; 2) выявление сенсибилизации к аутологичным  $\beta +$  пре  $\beta$ -липопротеидам у больных атеросклерозом; 3) определение концентрации липопротеидов в сыворотке крови больных с помощью кроличьей антисыворотки и сопоставление полученных данных с результатами биохимического исследования.

Изучено 360 больных коронарным атеросклерозом. Холестерин в сыворотке крови определяли по методу Массоса и Товарека,  $\beta$ -липопротеиды — по Бурштейну и Самай, а также методом электрофореза на бумаге.  $\beta +$  пре  $\beta$ -липопротеидный антиген изготавливали по методу А. Н. Климова с соавт. [7]. Иммунизацию кроликов производили по Ю. И. Зубжицкому с соавт. [8]. Полученной кроличьей анти-сывороткой (титр 1:100.000) проводили определение концентрации  $\beta +$  пре  $\beta$ -липопротеидов в сыворотке крови больных методами кольцепреципитации и преципитации в агаре по методу Оухгерлони. Аортальный антиген изготавливали путем многократного замораживания и оттаивания в жидким азоте. В сыворотке крови больных антитела к  $\beta$ -липопротеидам и к антигену аорты определяли методами пассивной гемагглютинации (РНГА) и реакцией длительного связывания комплемента (РДСК). Для определения сенсибилизации организма к  $\beta$ -липопротеидам проводили кожные пробы с аутологичными  $\beta +$  пре  $\beta$ -липопротеидами.

В результате проведенных исследований выявлено, что в контрольной группе титр  $\beta +$  пре  $\beta$ -липопротеидов, определяемый реакцией кольцепреципитации, составляет 1:208,9 $\pm$ 31,8, тогда как у больных стенокардией данный показатель достигает 1:547,2 $\pm$ 50,8,  $p < 0,001$ . Более высокая концентрация  $\beta +$  пре  $\beta$ -липопротеидов наблюдается у больных кардиосклерозом 1:608,0 $\pm$ 78,8 и особенно у больных инфарктом миокарда 1:630,4 $\pm$ 74,9.

Достоверность результатов реакции кольцепреципитации проверяли реакцией преципитации в агаровом геле по Оухтерлони. Сыворотки с высоким титром  $\beta +$  пре  $\beta$ -липопротеидов и высоким содержанием  $\beta +$  пре  $\beta$ -липопротеидов (мг%) давали более четкие дуги преципитации и в более ранние сроки, по сравнению с сыворотками с низким титром, которые иногда выпадали отрицательными.

Нередко у больных атеросклерозом мы получали две преципитационные дуги с кроличьей антисывороткой в реакции преципитации в агаре. Вторая преципитационная дуга была обычно нечеткой и у здоровых лиц с низкими показателями  $\beta +$  пре  $\beta$ -липопротеидов выявлялась очень редко и менее отчетливо. Как указывалось выше, для получения анти-  $\beta +$  пре  $\beta$ -липопротеидовой сыворотки иммунизация кроликов производилась нами кровью больных атеросклерозом. Исходя из вышесказанного, можно предположить, что в сыворотке больных атеросклерозом содержаться антигенные вещества, которых нет в сыворотке здоровых людей, или же они содержатся в небольшом количестве и не выявляются постоянно методом преципитации в агаре. Это позволяет иммунологически отличить сыворотку больных атеросклерозом от сыворотки здоровых лиц, что можно использовать в клинике в диагностическом плане.

Сопоставлением титра  $\beta +$  пре  $\beta$ -липопротеидов в сыворотке крови с их количественным показателем ( $\beta +$  пре  $\beta$ -липопротеиды в мг%) по индивидуальным данным установлено определенное соответствие. Оно выражается в том, что высокие титры  $\beta +$  пре  $\beta$ -липопротеидов в сыворотке крови в основном совпадают с высокой концентрацией  $\beta +$  пре  $\beta$ -липопротеидов в крови данного больного и наоборот. Вышесказанное подтверждается результатами определения коэффициента корреляции, установленными существование статистически достоверной зависимости между титром  $\beta +$  пре  $\beta$ -липопротеидов и их содержанием в мг% в сыворотке крови. Коэффициент статистически достоверен во всех стадиях коронарного атеросклероза и  $<0,001$ . Аналогичная взаимосвязь отмечена при сопоставлении титра  $\beta +$  пре  $\beta$ -липопротеидов и содержанием холестерина в сыворотке крови.

Таким образом, проведенные исследования дают возможность резюмировать наличие гиперхолестеринемии и гипербеталипопротеинемии при коронарном атеросклерозе и их прямую статистически достоверную корреляцию с титром  $\beta +$  пре  $\beta$ -липопротеидов в сыворотке крови, определяемую с помощью кроличьей антисыворотки в реакции кольцепреципитации. Это позволяет рекомендовать иммунологический метод для установления степени  $\beta$ -липопротеидемии.

У больных коронарным атеросклерозом в сыворотке крови выявляются антитела, реагирующие положительно в серологических реакциях на  $\beta +$  пре  $\beta$ -липопротеиды, а также антиген, изготовленный из аорты. У больных стенокардией титр против  $\beta +$  при  $\beta$ -липопротеидных антител в РДСК равен  $1:127,3 \pm 37,3$  (норма  $1:21,0 \pm 2,0$ ,  $p < 0,05$ ), в РНГА —  $1:195,5 \pm 40,2$  (норма  $1:30 \pm 4,5$ ,  $p < 0,05$ ). У больных инфарктом миокарда титры антител против  $\beta +$  пре  $\beta$ -липопротеидов в РДСК равны  $1:164,8 \pm 37,6$  ( $p < 0,05$ ) и в РНГА —  $1:268,2 \pm 78,1$  ( $p < 0,05$ ). У больных кардиосклерозом эти показатели  $1:125,4 \pm 25,9$  и  $1:224,0 \pm 53,7$  соответственно. Разница с нормой статистически достоверна. Параллельно повышению титра антител против  $\beta +$  пре  $\beta$ -липопротеидов повышаются титры и противоаортальных антител. При стенокардии титры противоаортальных антител в РДСК равны  $1:73,5 \pm 13,33$  (норма  $1:17,5 \pm 2,04$ ,  $p < 0,05$ ), а в РНГА —  $1:329 \pm 130,93$  (норма  $1:26 \pm 4,67$ ,  $p < 0,05$ ). При инфаркте миокарда  $1:83 \pm 15,02$  ( $p < 0,05$ ) и  $1:324 \pm 45,04$  ( $p < 0,05$ ) и при кардиосклерозе  $1:58 \pm 9,1$  ( $p < 0,05$ ) и  $1:200 \pm 35,27$  ( $p < 0,05$ ).

Таким образом, как видно из приведенных данных, при всех стадиях коронарного атеросклероза отмечается статистически достовер-



иное повышение титра аутоантител против  $\beta +$  пре  $\beta$ -липопротеидов и аорты.

Интересные результаты получены нами при исследовании кожных проб на аутологичные  $\beta +$  пре  $\beta$ -липопротеиды. Из 56 контрольных лиц отрицательная кожная пробы наблюдалась у 32 (57,14%), слабо положительная — у 7 (30,35%), положительная — у 6 (10,71%) и резко положительная у 1 (1,78%). У больных атеросклерозом отмечалась совершенно иная картина. Из 211 больных отрицательная реакция имела место у 20 (9,47%), слабо положительная — у 144 (68,2%). Таким образом, если у здоровых выявлялись в основном отрицательные и слабо положительные реакции, то у больных атеросклерозом, как правило, —резко положительные и положительные кожные пробы на  $\beta +$  пре  $\beta$ -липопротеидный аутоантиген.

По различным нозологическим формам у больных стенокардией отрицательные реакции наблюдались в 20%, положительные и резко положительные — в 80%. При инфаркте миокарда положительными были 58 реакций (87,87%), при кардиосклерозе отрицательные реакции не наблюдались. Слабо положительная реакция была выявлена у 7 больных (12,96%), а положительная — у 47 (87,03%).

Таким образом, у больных атеросклерозом, как правило, отмечались положительные кожные пробы с аутологичным  $\beta +$  пре  $\beta$  липопротеидами, которые протекали по типу замедленной реакции. Положительные кожные пробы коррелировали с высотой титра антител и наблюдались чаще при обострении атеросклеротического процесса. Положительные кожные пробы с собственными  $\beta +$  пре  $\beta$ -липопротеидами говорят о наличии гиперчувствительности, что может быть использовано в клинике в диагностике атеросклероза.

Таким образом, в патогенезе атеросклероза и особенностей его клинического течения должны играть определенную роль аутоиммунные сдвиги. Эти сдвиги более выражены при обострении атеросклеротического процесса. Однако требует еще дальнейшего уточнения вопрос о том, в какой степени и на каком этапе иммунологические реакции приобретают патологическое значение.

Тбилисский государственный  
медицинский институт

(Поступило 28.12.1979)

მარათ გადიონი

0. გიააძე, ნ. ტატიანიშვილი, ა. ჩიქოვანი, პ. ხოლოვიაშვილი

იმუნოლოგიური ძვრები ათეროსკლეროზის დროს

რეზიუმე

კორონარული ათეროსკლეროზის დროს ავადმყოფების სისხლის შრატში გამოვლინებულია  $\beta +$  პრე  $\beta$ -ლიპოპროტეიდების საწინააღმდეგო ჰუმორული ანტისენსულები. ათეროსკლეროზის დროს ვითარდება სენსიბილიზაცია საკუთარი  $\beta +$  პრე  $\beta$ -ლიპოპროტეიდების მიმართ, რაც დემონსტრირდება დადგით კანის სინგებით. იმუნური შრატის გამოყენებით შესაძლებელია ავადმყოფების სისხლის შრატში  $\beta +$  პრე  $\beta$ -ლიპოპროტეიდების კონცენტრაციის დადგენა.  $\beta +$  პრე  $\beta$ -ლიპოპროტეიდების ტიტრის სიმაღლე კორელაციაშია სისხლის შრატში  $\beta +$  პრე  $\beta$ -ლიპოპროტეიდების და ქოლესტერინის რაოდენობასთან.

E. N. M'KADZE, N. I. TATISHVILI, M. M. CHIKOVANI, P. I. SOLOVYOV

## IMMUNOLOGICAL CHANGES IN ATHEROSCLEROSIS

## Summary

In the blood serum of patients with coronary atherosclerosis anti  $\beta+$ pre  $\beta$ -lipoprotein humoral antibodies were detected. In patients with coronary atherosclerosis sensitization to auto  $\beta+$ pre  $\beta$ -lipoprotein develops, being demonstrated by positive cutaneous tests. With the help of immune sera the concentration of  $\beta+$ pre  $\beta$ -lipoproteins can be determined in the patient's blood serum. A correlation was revealed between  $\beta+$ pre  $\beta$ -lipoprotein titer and with the quantity of blood serum of  $\beta+$ pre  $\beta$ -lipoproteins and cholesterol.

## ЛІТЕРАТУРА — REFERENCES

1. J. Gofman. Science, 111, 1950, 166-168.
2. S. Baker, A. Markowitz. Circulation, 20, 1959, 978-982.
3. Ю. Н. Зубжинский, В. А. Нагорнев. Бюлл. эксп. биол., 2, 1972, 27—89.
4. J. Beaumont. Immunochemistry, 7, 1970, 131-134.
5. H. Kodama, S. Nakagawa. Arch. Derm., 105, 1972, 722-724.
6. С. Геро, К. Фаркас. Вестн. АМН СССР, 3, 1961, 20—27.
7. А. Н. Климов, Т. Н. Ловягина, Э. Б. Баньковская. Лаб. дело, 5, 1966, 276—279.
8. Ю. Н. Зубжинский, В. А. Нагорнев, Т. Н. Ловягина, Э. Б. Баньковская. Лаб. дело, 5, 1971, 282—284.

## ЭКСПЕРИМЕНТАЛЬНАЯ МЕДИЦИНА

Б. Р. ХУДАИДАТОВ, Т. К. ЖОРЖОЛАДЗЕ, Н. Б. ЧЕРТИН

### КЛИНИКО-ФИЗИОЛОГИЧЕСКОЕ ОБСЛЕДОВАНИЕ И КОМПЛЕКСНОЕ ВОССТАНОВИТЕЛЬНОЕ ЛЕЧЕНИЕ БОЛЬНЫХ С ВЯЛЫМИ АКУШЕРСКИМИ ПАРАЛИЧАМИ РУКИ В ТБИЛИСИ

(Представлено членом-корреспондентом Академии А. Н. Бакурадзе 25.12.1979)

Перинатальные повреждения нервной системы у детей являются одной из ведущих проблем современной медицины [1]. В отечественных работах первая публикация о клинических особенностях натальных повреждений спинного мозга принадлежит А. Ю. Ратнеру и Т. Г. Молотиловой [2]. Других монографий на эту тему ни в отечественной, ни в зарубежной литературе мы не встречали.

Ранее считалось, что частота акушерских параличей у детей составляет 0,2—0,3%, по данным же А. А. Рассказовой [3]—2%.

Чаще всего акушерские параличи руки встречаются после родов в ягодичном предлежании, очень часто при рождении крупного плода с разрывом промежности и необходимости акушерских пособий.

В типичных случаях диагностика акушерского паралича руки достаточно проста. Она сводится к выявлению периферического пареза руки со всеми его признаками: гипотонией и гипотрофией мышц, снижением проприоцептивных рефлексов. У новорожденных диагностика осложнена тем, что гипотрофии мышц в первые дни жизни еще нет, а тонкости проприоцептивных рефлексов очень трудно оценить.

В классических случаях у новорожденных ручка лежит неподвижно рядом с туловищем, плечо приведено и ротировано внутрь, предплечье разогнуто. Кисть находится в ладонной флексии. Болевое раздражение кожи ручки обычно не вызывает в ответ никакой двигательной реакции. Пассивные движения ручки свободны.

Большинство авторов делит все случаи акушерских параличей на три типа: I — паралич Эрба—Дюшенна ( $C_5—C_6$ ) — преимущественно поражение проксимальных мышц руки, II — дистальный тип — паралич Дежерин—Клюмпке ( $C_7—C_8$ ), III — тотальный паралич руки.

Керер [4] еще в 1934 г. утверждал, что акушерские параличи возникают в результате либо отрыва соответствующих корешков от вещества спинного мозга, либо (более вероятно) частичного разрушения клеток передних рогов спинного мозга. А. Ю. Ратнер согласен с мнением Керера, в его наблюдениях в подавляющем большинстве случаев и при проксимальных, и при дистальных вариантах акушерского паралича выявляется в большей или меньшей степени распространение паралича на всю руку. Этот факт, по Ратнеру, является убедительным доводом в пользу спинальной локализации поражения, тем более что при столь грубых двигательных расстройствах чувствительные нарушения в большинстве случаев отсутствуют.

Наряду с типичными случаями паралича руки, встречаются атипичные формы, сопровождающиеся следующими симптомами: симптом кукольной ручки, пронаторная контрактура, отсутствие рефлекса Мо-

ро и ладонно-ротового рефлекса, изменение рефлекса Переза, симптом очень короткой шеи, появление поперечных складок на шее, симптом подмышечного островка, кожная перетяжка в проксимальных отделах плечевой кости, симптом щелкания в плечевом суставе при пассивных движениях паретичной руки (симптом подвывиха), симптом ишемической перчатки, синдром К. Бернара—Горнера, симптом падающей головы. Все перечисленные симптомы помогают своевременно установить диагноз у новорожденных детей и при легких формах вялых параличей руки.

За 8 лет нашей работы в Детском врачебно-физкультурном диспансере г. Тбилиси (1971—1979 гг.) на стационарном и амбулаторном лечении находилось 250 больных с акушерскими вялыми параличами руки (138 девочек, 112 мальчиков). С давностью заболевания до 3 лет был 61 больной, от 4 до 7 лет — 130, от 8 до 14 лет — 159.Правостороннее поражение отмечалось у 163, левостороннее — у 82 и двустороннее — у 5 больных. Легкая степень поражения была выявлена у 155, средняя — у 64, тяжелая — у 69 больных. Верхний тип Эрба—Дюшена имел место у 102, нижний тип Клюмпке—Дежерина — у 20, смешанный тип — у 128 больных. Паретичная конечность была тоньше на 1 см у 51% больных, до 2 см — у 17%, до 3 см — у 32%, конечности одинаковой длины — у 25,5% больных. Сила мышц была снижена у всех больных. Сухожильные рефлексы отсутствовали или были снижены у 225 (90%) больных, чувствительность нарушена у 57 (22,5%) больных. Вегетативно-сосудистые нарушения отмечались у 162 (65%) контрактура — у 137 (55%) больных.

120 больным были произведены рентгенологические исследования плечевого костно-суставного аппарата и кистей, при этом у 113 (94%) была выявлена различная степень трофических нарушений. Изменения в костно-суставном аппарате не были обнаружены только у 6% больных с легкой степенью заболевания. Степень трофических нарушений была больше выражена в костях, образующих плечевой сустав, и меньше в костях лучезапястного сустава и кости и соответствовала локализации процесса. При верхнем типе пареза и диффузивных поражениях с большей выраженностью в проксимальном отделе конечности изменения в костях плечевого сустава выражены больше, чем в кисти, и, наоборот, при поражениях мышц дистального отдела большие страдает трофики кистей и лучезапястного сустава. Эти изменения прямо пропорциональны степени клинического проявления пареза, но не соответствуют степени вегетативно-трофических расстройств на коже. Трофические изменения в костях обычно более выражены, чем на коже.

Курс лечения в стационаре и амбулаторного лечения — 3 месяца. Лечение проводится комплексно: 1) ортопедическое лечение: специальные укладки во время сна, полиэтиленовые шины; 2) лечебная физкультура и тонизирующий массаж мышц спины, плечевого пояса и рук; 3) физиотерапевтические процедуры: поперечный электрофорез с зумфиллином и никотиновой кислотой на шейные позвонки и рукоятку грудины (по Ратнеру) № 20 ежедневно; электростимуляция мышц по К. А. Семеновой № 20 ежедневно; парафин на шейные позвонки, плечевой пояс и руки № 20 через день; хвойные ванны, лечебное плавание в бассейне № 40 ежедневно; 4) медикаментозное лечение, прозерин внутрь и в инъекциях, галантамин, глутаминовая кислота, дигидроэпоксид никотината, ретаболил, иерабол, витамины группы В, церебролизин (в тяжелых случаях), рациональное питание, трудотерапия, занятия с педагогом.

Критериями эффективности лечения являлись повышение тонуса мышц и нарастание их силы, увеличение объема движений, появление или оживление сухожильных и надкостничных рефлексов, восстановление чувствительности, улучшение вегетативно-трофических функций, частичное или полное устранение контрактур.

В результате проведенного комплексного лечения сила пораженных мышц увеличилась у 69% больных, сухожильные и надкостничные рефлексы ожили у 16,6%, чувствительность восстановилась у 29%, вегетативные нарушения уменьшились у 54%, контрактуры уменьшились частично или полностью у 80%.

Суммарная оценка всех положительных сдвигов, наступивших в результате проведенного лечения, позволила констатировать значительное улучшение у 10 (4%) больных, улучшение у 138 (55,5%), незначительное улучшение у 81 (35,5%), без улучшения выписалось 13(5%) больных. Ухудшения не было ни в одном случае.

Эффективность лечения была связана с давностью заболевания: при давности поражения до 7 лет улучшение отмечено у 185 (70%), свыше 7 лет — у 65 (30%) больных, а также от тяжести поражения: у легких больных улучшение имело место в 75%, больных средней тяжести — у 50%, у тяжело больных — в 20% случаев.

Кроме тщательного клинического обследования, 21 больному в начале и конце лечения проводились ЭМГ, ЭКГ. На ЭМГ в большинстве случаев выявлялось поражение клеток передних рогов спинного мозга, т. е. II тип ЭМГ по Ю. С. Юсевич [5].

На фоне явно сниженных осцилляций регистрировались многочисленные всплески осцилляций фасцикуляций, число которых резко нарастало при ближних и дальних синергиях. По мнению Ю. С. Юсевич и др., такие изменения наиболее характерны для поражения клеток передних рогов спинного мозга или близлежащих к ним отделов корешка. Во всех наших наблюдениях эти грубые изменения на ЭМГ соответствовали стороне поражения. Кроме того, у 7 больных на «здоровой» стороне была выявлена «периферическая недостаточность», указывающая на ту или иную степень неполноценности двигательного периферического нейрона в руке, считавшейся совершено полноценной, т. е. наши данные подтверждают данные, полученные А. Ю. Ратнером совместно с С. А. Широковой. На ЭКГ, кроме незначительных изменений функции миокарда и синусовой аритмии у 7 больных, другой патологии не обнаружено.

Таким образом, комплексное лечение в условиях врачебно-физкультурного диспансера дает хорошие результаты. При рентгенологическом обследовании у большинства больных выявляются трофические изменения в костях плечевого сустава и в дистальном отделе конечности, соответствующие степени клинического проявления пареза; в шейном отделе позвоночника ни в одном случае не было обнаружено патологических изменений, что противоречит данным М. И. Михайлова. На ЭМГ в большинстве случаев получены данные, характерные для поражения клеток передних рогов спинного мозга, т. е. II тип ЭМГ по Ю. С. Юсевич. Эффективность лечения зависит от давности и тяжести заболевания: чем меньше давность и легче поражение, тем лучше эффект.

Детский врачебно-физкультурный диспансер

(Поступило 27.12.1979)

ପ. କୁଣ୍ଡାଳିଆତିଥିରେ, ଟ. ଶମଖଶିଳ୍ପୀପାଦ, ନେହରୁଟିଲିଙ୍କ

၄၀၈၀၅၂၁

## EXPERIMENTAL MEDICINE

B. R. KHUDAIDATOV, T. K. ZHORZEVADZE, N. B. CHERTIN

## CLINICO-PHYSIOLOGICAL INVESTIGATION AND COMPLEX TREATMENT OF PATIENTS WITH OBSTETRIC FLACCID PARALYSIS OF HAND IN TBILISI

## Summary

A clinicophysiological investigation and complex treatment of 250 patients with obstetric flaccid paralysis of child's hand were conducted at the children's physical culture medical dispensary. The treatment yielded good results.

The effectiveness of treatment was found to depend on the length of the disease and its gravity : the shorter and milder the disease the more effective is the treatment.

## ԱՐԵՐԱՄՆԱԿԱՆ ԼԻՏԵՐԱՏՈՒՐԱ — REFERENCES

1. А. Ю. Ратнер. Родовые поражения спинного мозга у детей. Казань, 1978.
  2. А. Ю. Ратнер. Вопр. охр. мат. и дет., № 8, 1972, 32.
  3. А. А. Рассказова. Тез. докл. I Респ. конф. по детской невропатологии. Казань, 1975.
  4. Е. Кеггер. Die Armlähmung bei Neugeborenen. Stuttgart, 1934.
  5. Ю. С. Юсевич. ЭМГ тонуса скелетной мускулатуры человека и норме и патологии. М., 1963.

ЭКСПЕРИМЕНТАЛЬНАЯ МЕДИЦИНА

К. П. НЕМСАДЗЕ

СОСТОЯНИЕ КЛЕТОЧНОГО ИММУНИТЕТА ПРИ СЕПСИСЕ  
У ДЕТЕЙ РАННЕГО ВОЗРАСТА И ЛЕЧЕНИЕ ИХ ЛЕВАМИЗОЛОМ

(Представлено членом-корреспондентом Академии И. К. Пагава 25.12.1979)

Настоящее исследование имело целью изучение участия клеточных факторов иммунитета при различных формах сепсиса у детей раннего возраста, а также определение показаний для применения противоаллергического средства, стимулирующего Т-лимфоциты,—левамизола.

Количество Т-лимфоцитов определялось методом спонтанного, а В-лимфоцитов — комплементарного розеткообразования [1].

Под наблюдением находились 105 детей, больных сепсисом, и 10 здоровых новорожденных. Весь клинический материал был разделен на три группы: I — новорожденные с острым течением сепсиса (35), II — с подострым течением болезни (42), III — с затяжным течением сепсиса (28).

Результаты исследования содержания Т- и В-лимфоцитов выявили характерные сдвиги в зависимости от фазы, течения, формы заболевания.

При остром течении сепсиса (см. таблицу) фаза разгара протекала на фоне дефицита клеточных факторов иммунитета, который касался преимущественно Т-лимфоцитов, — их количество было уменьшено более чем в 2,5 раза, по сравнению с нормой. Дальнейшее течение сепсиса характеризовалось увеличением количества Т-лимфоцитов и уменьшением О-клеток. К периоду выздоровления отмечалась нормализация показателей содержания Т-, В-, О-лимфоцитов.

При подостром течении сепсиса были выявлены такие же закономерности (таблица), с той лишь разницей, что дисбаланс в содержании Т- и В-лимфоцитов сохранялся в течение 3 месяцев. Длительное угнетение Т-лимфоцитарной системы при подостром течении сепсиса сопровождалось рецидивирующими течениями болезни.

При затяжном течении сепсиса (таблица) наблюдались дефицит Т-лимфоцитов и увеличение количества О-клеток. Период ремиссии характеризовался угнетением Т-системы иммунитета. Усиление дефицита Т-лимфоцитов при затяжном течении сепсиса в период стихания интоксикации, возможно, указывает на индукцию толерантности против стафилококкового антигена. Доказано, что иммунный ответ наступает при адекватности дозы антигенической детерминант пороговому значению антигенемии [2] и избыток или задержка антигена в организме приводит к индукции толерантности [3]. По отношению к конкретному антигену толерантность может рассматриваться как «имmunологический паралич». Описан случай селективной толерантности против стафилококкового антигена [3].

Вышеизложенные данные, хотя и не отвечают на вопрос — являются ли обнаруженные изменения инициальными или сопровождающими сепсис механизмами, несомненно свидетельствуют о том, что при сеп-

сисе создается иной, чем у здорового ребенка, иммунологический статус. Можно предположить, что изменение Т-системы иммунитета и прогрессирование сепсиса являются не только развивающимися параллельно процессами, но между ними имеется патогенетическая связь. Этот вывод в определенной степени имеет практическое значение, так как оправдывает использование при сепсисе иммуностимулирующих воздействий, в частности средств, стимулирующих клеточный иммунитет.

Содержание Т-, В-, О-лимфоцитов у детей раннего возраста при сепсисе в разные периоды болезни

Течение болезни	Фаза заболевания	Кол-во иссл.	Стат. обозн.	Т		В		О	
				%	абс.	%	абс.	%	абс.
Острое	Здоровые дети 1 мес. жизни	10	M	50,1	1735,7	26,1	897,8	23,8	799,1
			m	2,9	144,8	1,3	68,7	3,9	119,6
	Разгар	35	M	18,0	704,6	20,2	792,6	61,8	2361,6
			m	1,3	69,1	1,6	57,8	2,98	153,9
			P <sub>1</sub>	< 0,001	0,001	0,001	0,1	0,001	0,001
	Репарация	33	M	28,7	1202,0	17,1	724,5	54,2	2454,9
			m	1,2	42,6	0,9	50,5	1,08	88,8
			P <sub>2</sub>	< 0,001	0,001	0,1	0,5	0,01	0,5
	Выздоровление	21	M	43,1	1371,0	25,0	805,3	31,9	1004,7
			m	1,6	77,7	2,6	63,3	2,4	94,5
			P <sub>3</sub>	< 0,001	0,05	0,05	0,5	0,001	0,001
			P <sub>4</sub>	< 0,1	0,05	0,5	0,2	0,1	0,2
Подострое	Разгар	44	M	23,2	950,4	21,0	864,5	55,8	2468,5
			m	1,39	71,7	0,96	50,7	1,97	226,7
			M	28,9	1322,0	18,7	836,5	52,4	2348,6
	Репарация	42	m	1,4	79,1	0,6	49,4	1,2	146,9
			P <sub>1</sub>	< 0,02	0,01	0,2	0,5	0,05	0,5
			M	49,3	1644,1	26,6	4632,0	24,1	788,1
	Выздоровление	12	m	2,2	150,8	1,4	97,8	2,8	179,4
			P <sub>2</sub>	< 0,001	0,2	0,001	0,5	0,001	0,001
			P <sub>3</sub>	< 0,001	0,001	0,001	0,5	0,001	0,001
			M	28,0	1284,2	22,7	990,1	49,3	2060,2
Затяжное	Разгар	36	m	1,88	168,9	1,9	134,6	3,6	194,7
			M	49,3	1644,1	26,6	4632,0	24,1	788,1
			m	1,3	161,5	1,9	99,8	3,1	120,9
	Здоровые дети 3—4 мес.	5	P <sub>1</sub>	< 0,001	0,2	0,5	0,5	0,001	0,001
			M	21,6	951,0	17,7	780,2	60,7	2645,2
			m	1,6	48,2	1,5	47,2	2,8	120,5
			P <sub>2</sub>	< 0,001	0,05	0,005	0,1	0,01	0,01
	Репарация	25	M	21,6	951,0	17,7	780,2	60,7	2645,2
			m	1,6	48,2	1,5	47,2	2,8	120,5
			P <sub>2</sub>	< 0,001	0,05	0,005	0,1	0,01	0,01

Применение нами иммуностимулятора левамизола основывалось на сообщениях о положительном эффекте этого препарата при лечении инфекционной патологии [4—6].

Левамизол назначался в дозе 2,5 мг на 1 кг массы. Лечение проводилось курсами: 1 раз в день с 1-дневным интервалом в течение 10 дней. Перерыв между курсами — 5 дней.

Необходимость повторения курсов лечения левамизолом определялась индивидуально, по клиническим и иммунологическим данным.

Лечение левамизолом было проведено у 19 детей с затяжным те-

чением сепсиса в возрасте от 3 до 9 месяцев. Йевамизол назначался в фазе реабилитации, когда воздействие на макроорганизм выдвигается на передний план [7].

Препарат назначался в период стихания явлений интоксикации у детей с отрицательной динамикой Т-лимфоцитов при затягивании сепсиса. Количество Т-, В-, О-лимфоцитов определялось через каждые 15 дней от начала лечения левамизолом.

Полученные результаты указывают на то, что лечение левамизолом сопровождается повышением содержания Т-лимфоцитов. Параллельно нормализации дисбаланса Т-, В-, О-лимфоцитов улучшалось общее состояние ребенка — нормализовалась температурная кривая, исчезали кожные проявления септического процесса, дети не отставали в физическом развитии, рецидивы болезни не наблюдались.

Суммируя вышеизложенное, можно заключить, что при применении левамизола для лечения сепсиса с затяжным течением происходит стойкая клинико-иммунологическая ремиссия, улучшаются показатели красной крови. Это позволяет считать целесообразным подключение левамизола в арсенал терапевтических средств для лечения, а также предупреждения рецидивов сепсиса у детей раннего возраста.

Тбилисский государственный институт

#### усовершенствования врачей

МЗ ГССР

(Поступило 27.12.1979)

ଶ୍ରୀମଦ୍ଭଗବତ ପାତ୍ରଙ୍କଣ

፩. የዕለታዊ

ଶ୍ରୀମଦ୍ଭଗବତର ପଦାର୍ଥକାଣଙ୍କୁ ସହିତ ଏହାର ଅନ୍ତରେ ଯାଇଲେ କାହାରିବା  
କାହାକୁ କାହାର ପଦାର୍ଥକାଣଙ୍କୁ କାହାରିବା ଏହାର ଅନ୍ତରେ ଯାଇଲେ

Հ Յ Ց Ե Ր Ա Բ Ե

ნააღმდევი ასაკის ბავშვებში შესწავლილია სეფსისის დროს T და B ლიმ-ფუციტების შემცველობა პერიფერიულ სისხლში. დაღვენილია მათი რაო-დონობრივი გრადუაცია.

კლინიკურ-მძუნოლოგიური მონაცემების საფუძველზე სეფსისის გახან-გრძელივებული ფორმით დაავადებულ 19 ბავშვს მკურნალობა ჩაუტარდა ან-ტრანსფუზიული პრეპარატით — ლეგამიზოლით. მკურნალობის ფონზე მიღე-ბულ იქნა კლინიკური გაუმჯობესება და დარღვეული მძუნოლოგიური ჰომეო-სტატის ნორმალიზება.

K. P. NEMSADZE

## THE STATE OF CELLULAR IMMUNITY DURING SEPSIS AND ITS TREATMENT WITH LEVAMISOLE

### Summary

The state of infants' T and B lymphocytes during different forms of sepsis were studied by the author. Quantitative relations permitting prognosis of the process of relapse were elucidated.

The use of levamisole—a cellular immunity stimulator—for the treatment and prevention of relapse of septical processes was found to be indicated.

### СПОСОБЫ — ЛИТЕРАТУРА — REFERENCES

1. M. Jondal. Gen. Exp. Med., 1972, 136, 2, 207-215.
2. P. B. Петров. Иммунология и иммуногенетика, М., 1976.
3. H. Fudenberg, R. A. Good, H. C. Gooduran *et al.* Pediatrics, 1971, 47, 5, 927.
4. S. De Gree, H. Verhaegen, W. De Cock *et al.* Lancet, 1974, 2, 294.
5. H. Ippen, S. A. Qadripur. Dtsch.med. Wschr., 1975, 100, 1710.
6. M. Van Eygen, P. Y. Znamensky, E. Heck *et al.* Lancet, 1976, 1, 7956, 382.
7. Е. Ч. Новикова, Н. А. Тагиев. Сепсис у недоношенных детей. М., 1976.



პ. პრაბული

-ით დაგოლოების საკითხი პირველ თურმეობითი

(წარმოადგინა აკადემიურმა ს. ჯიქაშ 23.11.1979)

—ავ და —ამ თემისნიშნით ზმნათა გარდა, ძველ ქართულში ყველა ორგანული წარმოების I თურმეობითი ბოლოვდება —ით ხმოვნებზე, რომლებსაც ძირითად პარადიგმაში მოსდევს S<sub>3</sub>-ს. ას სუფიქსთან მონაცვლე —ა და S<sub>3</sub> მჩ. —ან —ით დაბოლოების —ე ხმოვანს კვეცავენ (→-ია, -იან).

—ით დაბოლოება ორ სხვადასხვა ფორმანტადაა დაშლილი. მათი სეგმენტირებისათვის ფორმობრივი, ოპოზიციური საფუძველი არ არსებობს —მათი წარმოდგენ-წარმოუდგენლობა ყოველთვის ფონეტიკურ ფაქტორებზეა დამკიდებული. ერთადერთი დასაყრდენი ამ ნაბიჯისათვის არის „შეცყრის“ ტიპის ერთეული ფორმები, რომლებიც ამოსავლად გამოყენებული ჩანს ხოლმეობითის —ი სუფიქსიანი ფუძე, მაგრამ აქაც არ შევვიძლია დარწმუნებული ვიყოთ. რომ —ით დაბოლოების —ი ხმოვანი არ დაიკარგა ფუძისეულ —ი-სთან შეხვედრისას; ორი —ი —ს შეხვედრას კი გვავარაუდებინებს აწმყოს ფუძეთა უძრავლესობა, სადაც —ით უშუალოდ თემის ნიშანს ერთვის, რომ აღარაფერი ვოქვათ აწმყოს უთემისნიშნო ფუძეებზე (შეუძლერეკეცის).

—ი ფორმანტი I თურმეობითში, იგივე ოდენობა სტატიკურ ზმნათა აწმყოში და ხოლმეობითის —ი ისტორიულად ერთმანეთს უკავშირდება ([1], გვ. 93—98), ხოლო —ე აორისტის სუფიქსის წარმომადგენლოდა მიჩნეული, რომელიც პირდაპირ პერმანენციის ფუძეს ერთვოდა: გვენდა უპყრ-ი-ს (ნ. ხოლმეობითი), მივიღეთ უპყრ-ი-ე-ს, რომელიც რეზულტატური სემანტიკის გამო აწმყოდ ქცეულა, —ე კი შენარჩუნებულა ([2], გ. 12). ეს —ე სხვა ნამყოდროის სუფიქსთა დონეზე დგება ([3], გვ. 457).

6. ნათაე განიხილავ I თურმეობითში —ი სუფიქსის წარმომავლობის საკითხს და მას მიიჩნევს სტატიკური ვნებითის აწმყოდან მომდინარედ, ვიდრე უშუალოდ ხოლმეობითის ფუძიდან: ხოლმეობითს კი იმდენად დაუკავშირდება, რამდენადაც აწმყოს ი—იგივე ხოლმეობითის —ი არის ([4], გვ. 88).

ეს დებულება არ აიოლებს მდგომარეობას, კითხვა არ ისსნება: თუ —ი აწმყოს თემის ნიშნის დონეზე დგება, რალა უნდა მას აწმყოს თემის ნიშნების მომდევნოდ (გაუკეთ-ებ-ი-ე-ს, დაუც-ემ-ი-ე-ს...)? ამას ხედავს 6. ნათაეც და ძილებულია გამოიტანოს ასეთი დასკვნა: „—ი—ე დაბოლოება ქართული წერილობითი ძეგლებით დადასტურებული ისტორიის მანძილზე უკვე თურმეობითის საკუთარი მაწარმოებელია. მისი ხმარება მორფოლოგიურ ნორმად არის ქცეული“ ([4], გვ. 88).

ერთი მხრივ —ამ და —ავ თემისნიშნით ზმნათა ჩვენება, მეორე მხრივ შედარებით მცირე რაოდენობის ზმნათა ჩვენება, რომ I თურმეობითი ოდესლაც

ხოლმეობითის ფუძეს ეყრდნობოდა, აგრეთვე სტატიკურ ზმნათა აწმყოსთან კავშირი გვავალებს შემდეგ დასკვნის:

როგორც ცნობილია, უძველესი ფორმაციისად მიიჩნევს I თურმეობითის ფორმები, რომლებიც ხოლმეობითის ფუძეს ეყრდნობა ([1], გვ. 93—98; [5], გვ. 127—141). აქ უნდა იყოს I თურმეობითის წარმოების გასაღები: როცა ამ ნაკეთმა აწმყოს ფუძით სარგებლობა დაიწყო (რაც შესაძლებელი იყო აწმყოსა და ხოლმეობითის სემანტიკური სიახლოების გამო), ხოლმეობითიდან წარმოების მყარი მოდელი უნდა არსებულიყო ენაში, საიდანაც ენობრივი ინტუიციით — იე (ს) უკვე დაუშლელ ერთეულად იქნა მიღებული და ახალ ფუძეთა საწარმოებლად გადმოვიდა როგორც მყარი ფორმანტი — ერთი ფუნქციის შესაბამისი ოდენობა, რომელიც რაღაც მიზეზით (შეიძლება მათი სიძველის გამო) არ დაერთო — ივ და — ამ თემისნიშნიან ფორმებს, დანარჩენ შემთხვევაში კი აწმყოს ფუძე უცვლელად გამოიყენა. ამ მხრივ უძველესი მდგომარეობაა შემონახული სტატიკურ ზმნათა აწმყოში, რომელთა პირვანდელი ფუძე ხშირად ჩვენს თვალშინაა შეცვლილი აწმყოს ფუძით: შედრ: უფლიეს (წარტყ. იერუს. მდ. 23) — მიფლობიერ (იქვე, მდ. 10). ისტორიულად Ss შრ. — ან სუფიქსის გვერდით მხოლოდი მიზნებითში — ა სუფიქსისა და მეშვეოლ ზმნათა განმტკიცება: საბოლოოდ დაშალა — ივ მაწარმოებელი. ის, რომ ენაში — ე სუფიქსის უქონლობა არ იგრძნობა, კიდევ ერთი საბუთია — იე—ს ისტორიული გაერთმნიშვნელოვნებისა. მეორე მხრივ, აქ კიდევ ერთხელ ჩანს მეშვეოლზმნიანი წარმოების წონის ზრდა.

და კალავ დგება კოთხვა: როგორ შეათვასა ენაშ ორი სხვადასხვა პოლარული ფუნქციის (დიურატიულობისა და შეცვერილობის) ფორმანტი — ი და — ე? ეს ისევე უნდა აიხსნას, როგორც სტატიკურ ზმნათა აწმყოში ([2], გ. 12): რეზულტატიურობას, შედევობითობას სჭირდება, რომ მოქმედება დასრულდეს. მოქმედებას, რომელიც ამოხავალში უწევეტია, მიმდინარეა (ხოლმეობით-შიც და აწმყოშიც), დასრულებული, შედევობრივი სახით წარმოვიდგენს — ე აორისტის სუფიქსი. ფუძეში შესული სუფიქსები (ი და თემისნიშნები) — ე სუფიქსის სემანტიკითა გადაფარული და ზმნური ფორმა პერფექტული შინაარსისაა.

საქართველოს სსრ შეცნიერებათა აკადემია

ენომეცნიერების ინსტიტუტი

(შემოვიდა 23.11.1979)

## ЯЗЫКОЗНАНИЕ

А. И. АРАБУЛИ

### К ВОПРОСУ ОБ ОКОНЧАНИИ И РЕЗУЛЬТАТИВНОГО -ie

Резюме

Окончание I результативного -ie в древнегрузинском языке состоит из двух аффиксов: -i—суффикс дюративного, продолжительного действия и -e — суффикс моментального, совершенного действия. Сочетанием этих двух аффиксов передается семантика перфекта.

A. L. ARABULI

CONCERNING THE *ie* ENDING OF RESULTATIVE I.

## Summary

In Old Georgian the *ie* ending of Resultative I is comprised of two affixes: 1) the suffix *i*, of durative, continuous action, and 2) the suffix *e*, of momentary, completed action. A combination of these suffixes conveys the semantics of the Perfect.

ଅଭ୍ୟାସଗୀତିରୁ — ЛИТЕРАТУРЫ — REFERENCES

1. არნ. ჩიქობავა. ერგატული კომსტრუქციის პრობლემა იძურიულ-კავკასიურ ენცხში, I. თბილისი, 1948.
  2. ივ. ქავთარაძე. ზმნის ძირითადი კატეგორიების ისტორიისათვის ძველ ქართულში. თბილისი, 1954.
  3. ვ. თოფურია. იქ, VII, თბილისი, 1955,
  4. ნ. ნათაძე. იქ, VII, თბილისი, 1955.
  5. არნ. ჩიქობავა. ლიტერატურული ძიებანი, II. თბილისი, 1944.

ბ. ცხადაძე

## -ეფ და -იპ სუფიქსები ძველი ქართულის ზონებში

(წარმოადგინა აკადემიის მიერ შ. ძიძეგურმა 4.12.1979)

### 1. -ეფ სუფიქსი

ზონაში -ეფ თემის ნიშნის გამოყოფის თვალსაზრისით საყურადღებოა ჩქუ-ე ფ-ა // ჩქუ-ე ფ-ე ბ-ა პარალელური ფორმები, მათ ბველ ქართულში ერთნაირი მნიშვნელობა აქვთ: „ჩქუეფა — ლელვა, ხეოქება, წყლომა; ჩქუეფე-ბა — ხეოქება“ [1]. შდრ. ახალი ქართული შხეფ-ი, ჩქეფ-ი, მჩქეფარ-ი, ჩქერ-ი, ჩქრიალ-ი...

აწ მ ყ თ: „ორითავე კელითა ჩქუ ე ფ ს წყალსა მას ზეალმართ“... (კიბ. I 258, 31); შდრ. „ბნელსა შინა არიან და ე ჩქუ ე ბ ი ა ნ (ასურ. ც 9, 21—23).

როგორც მაგალითებიდან ჩანს, -ეფ სუფიქსის არსებობა ბველ ქართულში ფაქტია. იგი მიღებულია -ებ თემის ნიშნის გაფშვინვიერებით: ე ბ — ე ფ ე ს მოვლენა დღეს გავრცელებულია და დამახასიათებელია ქართული ენის დია-ლექტოა დიდი ნაწილისათვის. იხმარება „ერქუეფებოდა“ ფორმაც. ერყობა, აქ -ეფ სუფიქსი შეეზარდა ზმინის ძირს და ფუძისეულად იქნა გაგებული:

„დღეს ესმა ქმა ძირა თვისისა, უნდა მივებებად მისი და ე ჩქუ ე ფ ე ბ ო-დ ა აქა და იქი“ (ტობი ც 168, 10); „დღისი შეემთხვოს მათ ბნელი და შუა სამხრის ე ჩქუ ე ფ ე ბ ი ა ნ ვითარცა შუა ღამეს“ (იობ. 5, 14).

-ეფ სუფიქსის შეიცავს თანამედროვე ქართულის ისეთი ხმოვანმონაცვლე ზნერი ფუქტები, რომლებიც ხმაბაძეოთები არიან. თქვეფ // თქვიფ — თქაფუ-ნი [2] (სიოთხის დალვრის, დათხევის ხმა; სიოთხში რისამე ჩავარდნის, დაცემის ხმა, თქაფანი [3]. ამრიგად, თქვეფა // თქვეფა „შ. -ეფ სუფიქსია.

-ეფ ბოლოსართი გამოიყოფა კრეფ ა შიც: კრ-ეფ-ა (← კრ-ებ-ა): „რო-მელმან ვენავი მოისხლნეს, რამეთუ არა აქუნდეს მოკრე ფ ა დ მისი“ (სურ ც 412, 44);

ქართულში \*ვ-ერბ-ი — \*ვ-ერაბ-ე ტოლფარვი ორმორფემიანი ფუძის შემ-ცველი ტიპი საცხებით გამქრალია. მისი კვალი მხოლოდ შეგრულ-ჭანურმა შე-მოგვინახა კორობ- (ს.-ქართ. კრაბ-) ტიპის ფუქტეთა სახით“ [4], თუმცა მ. ანდრონიკაშვილს ქართ. კრებ-, კრებ, კრეფ ძირი ასურ-ირანული წარმო-შობისად მიაჩნია [5].

-ეფ სუფიქსის შესახე ვ. თოლურია წერს: „-ეფ ჭერჭერობით ნაპოვნი არ არის. -ეფ ცნობილ ყეფ, ჩქეფ-ში ბოლოსართად ვერ გამოიყოფა, კრეფ-ში კი -ეფ ახალი წარმოშობისაა: კრე ფ მიღებულია მნიშვნელობის დიფერენცია-ციის წყალიბით კრე ბ შმინისაგნ“ აფ, აბ, ავ, ამ... სუფიქსებთან ერთად ეფ-იც იქნებოდა ქართულში. ამათგან ბევრი ცოცხალია დღესაც და აწარმოებს ზმებს, ზოგი კი გადაშენდა“ [6]. -ეფ სუფიქსის ხმარება და მისი მონაცვლეობა -ებ თემის ნი-47. „მოამბე“, ტ. 97, № 3, 1980

შანთან (ჩქუებიან), აგრეთვე მისი შეხორცება ზმნურ ძირთან (ეჩქუეფებოდა...) ძველი ქართულისათვის რეალურ ფაქტად უნდა მივიჩინოთ.

## 2. -ებ სუფიქსი

მსგავსად -ებ სუფიქსისა, ძველ ქართულში -ებ ფორმანტიც უნდა გვქონდა. იგი -ებ თემის ნიშნის ფონეტიკური (და მორფოლოგიური) ვარიანტი ჩანს: ე ბ → ე პ შეღერი ბ'ანის დაყრუებით (resp. გამკვეთრებით). სათანადო მაგალითებია:

ტ ყ-ე ბ-ა-მ; „გოდება“, „ტირილი“, „მოთქმა თავში ცემით“, „გლოვა“, „დატყება“ [1]; „გიგოდებლით და არა ე ტ ყ ე ბ დ ი თ (მათგ DE 11, 17); „და დედა განშორებასა შეილთასა ე ტ ყ ე ბ დ ა“ (წარტყ. იხ. 17—18).

მას დარი: „გოდებად და ტ ყ ე ბ ა ხ დიდი იყო“ (კიმ. I. 279,1; იხ. ასე-ვე; კიმ. I. 51,22—23; მამ. ცხ. 207, 32—33 გ. მთ. 187, 5—6; „მოუწოდა უფალმან საბაოთ მას დღესა შინა ტირილსა და ტ ყ ე ბ ა ს ა“ (ესაია, 22, 12); „შეიქმნეს კმანი... ტ ყ ე ბ ი ს ა და სივლტოლისანი“, მოქც. ც 139, 7—9); „ე ტ ყ ე ბ დ ე ს მას ტ ყ ე ბ ი თ ა დიდითა“ (დაბ. 50, 10); „მოვიდა აბრაჟმ ტ ყ ე-ბ ა დ სარასა და გლოვად“ (დაბ. 23,2; იხ. ასევე; სას. პ. გალ. აბ. 18—19); შდრ. „მშობელნი მათნი კრჩხიალებით და გოდებით ე ტ ყ ე პ ე დ შეილთა თუსთა“ (წარტყ. იხ. 2—3);

ირკვევა, რომ ეტყებედ→ეტყეპედ. მაშასადამე, ე ბ→ე პ ფონეტიკური პროცესი ძველ ქართულში გვქონია.

ტყ-ებ-ა ფუძის ტყ ძირს კავშირი აქვს არტყ, სარტყელ, დარტყ მა სიტყვების რტყ ძირთან. „ფუძედ დღეს რტყ მიგვაჩნია, თუმცა ის-ტორიულად იგი შედგენილი ჩანს და გამოიყოფა რ—რ ა თავსართი, რომელიც იგივე იდენტიურია არის, რაც რთხ—რათხ (გან-ი-რათხ ქელი: მრკ. 2,5) ფუძეში გვაქვს. საგულისხმოა ძველი ქართულის შემდეგი ფაქტი: წარმოვედ, სარტყელი შე-ე-რა ტ ყ და მსახურე: C ლკ. 17,8. სარწმუნოა, რომ მარტივ ძირს ჭარმოადგენს ტ ყ, რ—რ ა თავსართა... [7].

-ებ სუფიქსი ძველი ქართულის ტექსტებში სხვა მაგალითებშიც გვაქვს. ასეთია ჭ ყ-ე პ-ა-მ: შდრ. ჭყაბ-უნ-ი, ჭყაბ-ა-ჭყ-უპ-ი, თოვლ-ჭყაბ-ი. ჭერეჭერობით დადასტურებული გვაქვს ზმნური ფორმის ხმარება ნამყო უსრულში: „იხილა ყრმად იგი მჯდომარე წყალსა ზა და იმღერდა ჭელითა თვისითა, ჭ ყ ე პ დ ა წყალსა მას“ (საბა ასური, 176, 16—18);

ჩ ხ უ-ე პ-ა-მ — „ჩხვლეტა“ [1]: „რომელნიმე პოროლითა და ისრითა შეს ჩხ უ ე პ დ ე ს და დასკრიფტს კორცო მათთა“ (კობრ. 180, 32—34); „რა-მთა არა და შ ჩ ხ უ ე პ დ ე ს კელთ-სამრისა უამსა“ (ნოვ. II. 87,21—22).

ჩ ხ უ ე პ ზმნური ფუძე „სახისმეტყველის“ ნ. მარისეულ გამოცემაში „განტყეპოს“ ფორმითაა წარმოდგენილი. ი. აბულაძეს ეს სიტყვა ნ. მარის გამოცემიდან აქვს დამოწმებულ თავის ლექსიკონში. როგორც ბ. გიგინეიშვილმა გაარკვია, აქ უნდა იკითხებოდეს „დაგჩხუებოს: „ნ'სა და ჩ'ს, ერთი მხრივ, ხოლო ხ'სა და ტ'ს, მეორე მხრივ, გრაფიკული მსგავსების ნიადაგზე მცდარად ამოკითხული ფორმა საფუძლად დაედო ახალი ლექსიკური ერთეულის განტყ ე პ ა-ს შექმნასა და დამკვიდრებას [8].

და-პ-ე-პ-ა-მ: დახევა, დაპობა [1]. შდრ. და-პ-ობ-ა: „ურთიერთას ტკნსა და იპ ე პ დ ე ს“ (კიმ. I. 138,17).

ახალ ქართულში „ზოგ შემთხვევაში ვლინდება ისეთი ტიპის ფუნქციების ვარიანტები, რომელიც ეს მეზობლობაში სონანტს შეიცვენ (გა-სხებ-ს — გა-სხია-ა, შდრ. სხვება — თავთავთა და ფოთელთ წაგლება, საბა, ჩუბ. [2].

განხილული მაგალითები ზნის პირიელი ფორმებია და არა მასდარული, მაგრამ, ვფიქრობთ, მასდარულ ფორმათა არსებობა ძველ ქართულში შეუძლებელი არ უნდა იყოს. როგორც გაიჩვა, ერთ შემთხვევაში, -ებ სუფიქსის დაყრუება-გაფშვინვირებით მიეღოვთ -ეფ მაწარმოებელი: ჩქუეფს-ჩქუებ-ს, მეორე შემთხვევაში -ებ სუფიქსის დაყრუება-გამკვეთრებამ მოგვცა-ებ ბოლოსართი: ტყ-ებ-ა—ტყ-ეპ-ა.

საქართველოს სსრ შეცნიერებათა აკადემია

ენათმეცნიერების ინსტიტუტი

(შემოვიდა 6.12.1979)

## ЯЗЫКОЗНАНИЕ

Б. А. ЦХАДАДЗЕ

-ეფ -ер И -ეპ -ер В ДРЕВНЕГРУЗИНСКИХ ГЛАГОЛАХ

### Резюме

Суффиксы -ეფ -ер и -ეპ -ер редко встречаются в древнегрузинских глаголах и получены с оглушением -ებ -ებ тематического форманта. В одних случаях -ებ -ებ → -ეფ -ер: չku-ep-s ← չku-eb-s „колотиться”, в других случаях -ებ -ებ → -ეპ -ер: տq-eb-a → տq-ep-a „драка”.

## LINGUISTICS

Б. А. TSKHADADZE

-ეფ -er and -ეპ -er SUFFIXES IN OLD GEORGIAN VERBS

### Summary

In Old Georgian verbs -ეფ -er and -ეპ -er suffixes occur rarely, being a secondary phenomenon. In some cases devoicing of the suffix -ებ -ებ resulted in -ეფ -er չku-ep-a ← չku-eb-a ('to splash' 'plop', 'spatter'). In other cases voiced ձ b is transformed into glottalized ձ p: տq-eb-a → տq-ep-a ('to bleat').

### ЛიტერატУРА — ЛИТЕРАТУРА — REFERENCES

1. ი. აბულაძე. ქართული ენის ლექსიკი (მისალები). თბილის, 1973.
2. ფ. ერთეული შვერი. ფუნქციების ფონემატური სტრუქტურისა და ისტორიის საექსები ქართულში. თბილისი, 1970, 104—105, 100.
3. ქართული ენის განვითარებითი ლექსიკონი. ტ. I—VIII, თბილისი, 1950—1964.

4. თ. გამყრელიძე, გ. მაჭავარიანი, სონანტთა სისტემა და აბლაუტი ქართველურ ენებში, თბილისი, 1965, 356.
5. გ. ანდრიაშვილი. ნარკოვევები ირანულ-ქართული ენობრივი ურთიერთობიდან, I, თბილისი, 1966, 73, 91.
6. კ. თოფურია. თსუ შრომები, III, 1936, 228—229.
7. ი. ქავთარაძე. ზმის ძირითადი კატეგორიების ისტორიისათვის ძველ ქართულში, თბილისი, 1954, 198.
8. შატრერდის კრებული X საუკუნისა, გამოსაცემად მოამზადეს ბ. გიგინეიშვილმა და ელ. გიუნაშვილმა, თბილისი, 1979, 50.



ფილოლოგია

მ. პარალაშვილი

ხალხური ვეფხისტუაოსნის სტრუქტურა და ტიპოლოგია

(წარმოადგინა აკადემიკოსი ა. ბარამიძემ 19.12.1979)

შოთა რუსთველის ვეფხისტყაოსნის და ხალხური ვეფხისტყაოსნის მსგავ-  
სება უდავო ფაქტია. ვეფხისტყაოსნის სიუკეტის გენეზისის კვლევა პირდაპირ  
კავშირშია ხალხური ვეფხისტყაოსნის დამოუკიდებელ შესწავლასთან. ძალაში  
რჩება აյდ. კორნელი კეკელიძის მიერ გამოთქმული ფეხულება, რომ „ხალ-  
ხური ვეფხისტყაოსნი აღმოცენდა ლიტერატურულ ნადაგზე“ [1].

მიუხედავად იმისა, რომ ხალხური ვეფხისტყაოსნი აშკარად მეორადი  
მოვლენაა, მისი არსებობა მხოლოდ და მხოლოდ შოთა რუსთველის პოემის  
პაპულარობით ვერ აისწერა. საჭიროა გარკვევა, რა წარმოადგენს ხალხური  
ვერსიის სიცოცხლისუნარიანობის საფუძველს.

წინამდებარე ნაშრომში საკითხი ეხება არა ვეფხისტყაოსნის მსგავსებას  
ხალხურ ვეფხისტყაოსნან, არამედ პრინციპულად ახალი მეთოდოლოგიის  
საფუძველზე ხალხური ვეფხისტყაოსნის დამოუკიდებლად შესწავლას. მძრი-  
გად, ალ. ხახანაშვილის მიერ წამოყენებული და შემდგომ სხვათაგან გაღრმა-  
ცებული საკითხი ისმის არა როგორც ძირითადი საკითხი, არამედ როგორც  
შემავალი და მეორადი იმ მთავარი პრობლემის გადაწყვეტაში, თუ რა ას წარ-  
მოადგენს თავად ხალხური ვეფხისტყაოსნი, რო-  
გორც ფოლკლორული დეგლი. ამ საკითხის მართებული გადაჭრა  
შოთა რუსთველის პოემის სიუკეტთან დაკავშირებულ მრავალ კითხვის თავის-  
თავად გასცემს ჰქონებს.

ვეფხისტყაოსნის სიუკეტის რაობის დასადგენად განმარტებას პირველ  
რიგში საჭიროებს არა ცალკეულ ფოლკლორულ თუ ლიტერატურულ სიუკე-  
ტებთან მისი მსგავსება, არამედ თავად ის კომპოზიციური სისტემა, რომელ-  
საც იგი განეკუთვნება. მძრიგად, ჩვენს წინაშე დგება საკითხი ვეფხისტყაო-  
სნის სიუკეტის გენეზისისა, რომელიც მოთავსდება არა ტრადიციულ თეზით  
თუ პიპოტეზითა სფეროში, არამედ დაემყარება სიუკეტის კვლევის ახალ მე-  
თოდოლოგიას — სტრუქტურულ-ტიპოლოგიურ კვლევას.

ისტორიული პოეტების ერთ-ერთმა ფუძემდებელმა ა. ვესელოვსკიმ  
თავის ნაშრომებში ლიტერატურულ შემოქმედებაში „დელთაგან ნაანდერძე-  
ვი“ მარადიული საშენი მასალის — „გარევეული ფორმულების“, „მყარი მო-  
ტივების“ [2] საკითხი წმიდაყენა. „სიუკეტთა პოეტიკაში“ მეცნიერი უკვე  
„ტიპურ სქემებზე“ („სქემები, რომლებიც თაობიდან თაობას გადაეცემა, რო-  
გორც მზა ფორმულა“) ლაბარაკობდა [2]. მძრიგად, მასალის განზოგადების  
დედე ა. ვესელოვსკის ნაშრომებში უკვე არსებობდა, მაგრამ არსებობდა რო-  
გორც მხოლოდ და მხოლოდ მინიშნება, პიპოტეზა, რომლის კვლევა და დასა-  
ბუთება მას არც უცდია და არც მოუცია.

თანამედროვე ლიტერატურათმცოდნეობაში სტრუქტურულ-ტიპოლოგიური ანალიზი სულ უფრო ფართო პოზიციებს იკავებს. ამ საკითხთა კვლევაში პრიორიტეტი საბჭოთა ლიტერატურათმცოდნეობას ეკუთვნის. 20-იანი წლების საქართველოს ფოლკლორისტიკში არსებითი გარდატეხა მოხდა მეთოდოლოგიის თვალსაზრისით — ამ დროს ჩაეყარა საფუძველი ფოლკლორულ ეანრთა მორფოლოგიურ ანუ სტრუქტურულ კვლევას, რაც ცალკეულ ეანრთა ზოგადი აღნავობის — პოეტიკის კვლევას ისახავდა მიზნად. უფართოესი ემპირიული მასალის ღრმა ანალიზმა შექმნა მყარი ბაზისი სიმრავლიდან — ერთის, კრძოდან — ზოგადის, კონკრეტულიდან — აბსტრაქტულის დასაღენად.

ცნობილი ფოლკლორისტის — ვ. პროპი ს გამოკვლევა „ზღაპრის მორფოლოგია“ [3], რომელსაც ჩვენ ვკიდნობით, გადოსნური ზღაპრის კომპოზიციის გამოკვლევას წარმოადგენს. წიგნის მიზანს „მოცელი დედამიწის ზურგზე ზღაპრთა მსგავსების“ მიზეზთა მიკვლევა შეადგენდა. მასში გამოვლენილია ჯადოსნური ზღაპრის სიუჟეტური წყობის ობიექტური კანონზომიერებანი. ნაშრომში ზღაპრის ხელოვნება გავებულია, როგორც ერთგვარი „ნიშანთა სისტემა“.

ვ. პროპის გამოკვლევის თეორიულ საფუძველს გოთეს მორფოლოგიურ-ტრანსფორმაციული მოძღვრების ძირითადი დეტულებები შეადგენენ. ვ. პროპის გამოკვლევით ზღაპრის წყობის „მუდმივ“ ანუ „სტაბილურ“ ელემენტს მოქმედ პირთა ფუნქციები წარმოადგენენ. ფუნქცია არის პერსონალის ქვერსონაციის ქვერა, მოქმედ დება. „პროპის პოსტულატთა“ სახელით ფილოლოგიურ მეცნიერებაში დამკვიდრდა სამი ძირითადი დებულება, რომელთა თანახმად ჯადოსნური ზღაპრისთვის ცნობილ ფუნქციათა რიცხვი განსაზღვრულია (სულ ოცდაერთმეტი), ფუნქციათა თანმიმდევრობა ყოველთვის ერთ ნაირია, ყველა ჯადოსნური ზღაპრი თავისი წყობით ერთი ტიპისაა [3]. ამ კომპოზიციური სქემის, როგორც ისტორიული კატეგორიის, დასაბუთება ეთნოგრაფიული მასალის საფუძველზე მოცემულია ვ. პროპის გამოკვლევიში „ჯადოსნური ზღაპრის ისტორიული ფენომენი“.

ვ. ი. პროპმა ჯადოსნური ზღაპრის სინქრონის კვლევაში ფაქტობრივი მასალის ანალიზით დამტკიცა, რომ ამ ეანრის ყველა სიუჟეტის ერთი, მტკიცებული შეკრული კომპოზიციი ცალკონი ცალკონი უდევს საფუძვლად, რომელიც ფორმალურ დონეზე გამოიხატება ფორმულით

$$\text{ABC} \uparrow \text{DFZR} \left\{ \begin{matrix} \text{B} & \text{P} \\ \text{C} & \text{R} \end{matrix} \right\} \text{L} \downarrow \text{Пр-СпХФУОТНС*}$$

ხალხური ვეფხისტყაოსნის ყველა პროზაული ძეგლი — „ტარიელიანი“, „ტარიელის ზღაპარი“, „ტარიელის მბავი“, „ვეფხისტყაოსნის ზღაპარი“, „ტარიელი და ნესტან-დარეგანი“, „ქაიხოსრო ხელმწიფე“, „ტარიელი და ლერწამ-დარეგანი“, „ხალხური ვეფხისტყაოსნი“, „ხელმწიფე და მისი ნაშვილები“ [4] — სტრუქტურულად ჯადოსნურ ზღაპრის წარმოადგენს. ისინი ჯადოსნური ზღაპრის აღნიშნულ ფორმულას იმეორებენ სხვადასხვა ვარიაციით.

ნიმუში ხალხური ვეფხისტყაოსნის ერთ-ერთი პროზაული ტექსტის სტრუქტურული ანალიზისა. „ტარიელის მბავი“ [4]: რთული ხუთსვლიანი ზღაპრი: I. სამი ქმა — ტარიელი, ეფთანდილი, ფრიდონი (i), დაობლუნენ (e<sup>2</sup>).

მიღიან სახლიდან (↑): ტარიელი „ვეზირად დაუდგა“ ომოსავლეთის მეფეს, ავთანდილი — „იმპერიულ მეფეს“, ფრიდონი „ჩადგა ცხენის ჯოში“. ტარიელს შეუყვარდა მეფის ასული (ა1). მეფე ლერწამ-დარევანს „ხორასანთ მეფის შევლზე“ ათხოვებს, ტარიელი ჰკლავს სასიძისს, მეფე ლერწამ-დარევანს ზღვაში გადაგდებს (A<sup>10</sup>), გამდელი ამბავს ამცნობს ტარიელს (B<sup>1</sup>), ტარიელი ფარებში შერევავს მთელ ნადირს, რომ ლერწამ-დარევანს არაფერი ავნონ (C<sub>neg</sub>). II. იმპერიულ მეფეს ირმის ხორცი მოესურვა (ა5). ტარიელი ირმეს გაატანს მონადირებს. იმპერიულ მეფე მოითხოვს მოუყვანონ ტარიელი: „ვინც მომიყვანს, ჩემს ქალს მივუემ“ (B<sup>1</sup> და 3). ავთანდილი მიღის ტარიელთან (Z<sup>6</sup>); მიღიან ლერწამ-დარევანის საძებრად. ავთანდილს ცხენი არ ჰყავს, მივლენ ფრიდონთან (Д) იგი აძლევს ცხენს (Z<sub>neg</sub>), ავთანდილის ცხენი დავარდება, ჯდება ტარიელის ცხენზე (Z), ცხენი ავთანდილს ქაჭთა ქვეყანაში გადაფრენს (R); ლერწამ-დარევანი ქაჭებს ჰყავთ დამშუვდეული, ტარტაროზეს უნდა შერთონ (A<sup>16</sup>), ავთანდილი ლერწამ-დარევანის ბეჭედს ტარიელს მიუტანს (K<sup>2</sup>), შეატყობინებს ლერწამ-დარევანის ამბავს (B<sup>1</sup>) და ბრუნდება „იმპერიელთა მეფესთან“ (P↓). III. ტარიელი მიღის ქაჭეთში (C↓), გაწყვეტს ქაჭებს (Б — П), წამოიყავს ლერწამ-დარევანს (J), დაედენება ქაჭთა ლაშვარი (Пр), ტარიელი ცველას დახოცავს (Cп), მივა იმპერიელთა სამეფოში. IV. ავთანდილი „იმპერიულ მეფემ“ ძალად ძეცია (A<sup>11</sup>) და თავის ასულს სხვაზე ათხოვებს. ტარიელი ავთანდილს კვლავ კაცად გადაქცევინებს (J<sup>8</sup>) და მეფეს ჰკლავს (H), ავთანდილი იმპერიულ მეფის ასულს ირთავს და მეფედება (C<sup>\*</sup>). V. ტარიელი ბრუნდება აღმოსავლეთის მეფესთან, ირთავს ლერწამ-დარევანს და მეფედება (C<sup>\*</sup><sub>6</sub>).

რუსთველისეული ნესტან-დარეჭანის სახე სემანტიკურად მითოლოგიურ-ზღაპრულ „მზეთუნახავს“ უკავშირდება. ხალხურ ვეფხისტყაოსანში იგი გა-იგივებულია „მზეთუნახავთან“. ხალხურ გარდამთქმელთა ზუსტმა ალლომ გაუცნობიერებდა მიაგნო ვეფხისტყაოსნის ამ პერსონაჟის ჰეშმარიტ მო-დელს. საგულისხმოა ფოლვლორულ ძეგლებში ნესტან-დარეჭანის — „მზეთუნახავის“ ატრიბუტი — გველთაგან დევნა [5].

ხალხმა ვეფხისტყაოსანი ინტერიციით გადოსნურ ჰაბართან დააკავშირა და ქართულ ფოლკლორში მოხდა რუსთველის ვეფხისტყაოსნის შეჩრწყმა, სიმბიოზი ფოლკლორის ამ უანრთან.

ხალცური ვეფხისტყაოსანი, როგორც დამოუკიდებელი ფოლი ფოლკლორული ძეგლი, ჭადონისურ ზღაპართა ენანს განედუთ ვნება.

სავარაუდოა, რომ ჩუსთველის ვეფხისტყაოსნის  
სიუკეტს ფოლკლორული ჭადოსნური ზღაპრის ინვა-  
რიანტი უქმებს საფუძვლად.

საქართველოს სსრ მუნიციპალიტეტის აკადემია

შოთა რუსთაველის სახ. ქართული

ଲୋକରୂପାତ୍ମକାରୀ ଏବଂ ଜୀବନକାରୀ ଲୋକରୂପାତ୍ମକାରୀ

М. Ю. КАРБЕЛАШВИЛИ

## СТРУКТУРА И ТИПОЛОГИЯ НАРОДНОГО СКАЗА «ВИТЯЗЬ В БАРСОВОЙ ШКУРЕ»

### Резюме

С целью уяснения сюжетной основы поэмы Шота Руставели «Витязь в барсовой шкуре» прежде всего следует определить ту композиционную систему, к которой она принадлежит. В этом аспекте весьма ценную информацию содержат народные сказы о «Витязе в барсовой шкуре», являющиеся народным переложением поэмы Руставели. По своим структурным признакам и четкой композиции они принадлежат жанру волшебных сказок. Примечательно, что в сказах образ героянин поэмы Нестан-Дареджан слился с фольклорно-мифологическим образом «Мзетунахави». Следовательно, в народном восприятии произошло отождествление сюжета поэмы с фольклорной волшебной сказкой. Исходя из этого, можно предположить, что основой поэмы Руставели является инвариант волшебной сказки.

### PHILOLOGY

M. I. KARBELASHVILI

## STRUCTURAL STUDY OF THE FOLK VERSION OF "THE KNIGHT IN THE PANTHER'S SKIN"

### Summary

Proceeding from a structural analysis of the folklore versions of Rustaveli's poem "The Knight in the Panther's Skin" the author comes to the conclusion that these versions exploit the structure of the folklore plot, thus belonging to the genre of the fairy folktale. It is assumed that the plot of Rustaveli's poem is based on an invariant of the folktale.

### ლიტერატურა — ЛИТЕРАТУРА — REFERENCES

1. ქ. კაკალიძე. ქართული ლიტერატურის ისტორია, ტ. II. ტფილისი, 1924.
2. А. Н. Веселовский. Историческая поэтика, Л., 1940.
3. В. Я. Пропп. Морфология сказки. М., 1969.
4. გ. ჩიქოვანი. ხალხური ეფენდისტურისანი. ტფილისი, 1936.
5. В. В. Бардавелидзе. Древнейшие религиозные верования и обрядовое графическое искусство грузинских племен. Тбилиси, 1957.



АРХЕОЛОГИЯ

К. Н. МЕЛИТАУРИ, Р. В. ДАВЛИАНИДЗЕ, В. Г. САДРАДЗЕ

ПЕЧЬ VII—VI ВВ. ДО Н. Э. СЕЛИЩА КАЛАНДАДЗИСГОРА I

(Представлено членом-корреспондентом Академии А. М. Апакидзе 10.12.1979)

Во время археологических разведок северного склона Схалтбискеди, спускающегося к террасам правого берега р. Нареквави на продольных холмах, еще в 1960—1961 гг. А. Н. Каландадзе были обнаружены обломки серо- и чернолощенных сосудов и фрагменты сырцовых стен, указывающие на нахождение на этих холмах поселений позднебронзовой эпохи [1]<sup>1</sup>.

Раскопки холма Каландадзисгора I вскрыли несколько домов с печами для выпекания хлеба. Печь второго дома сохранилась сравнительно лучше [2]. Печь эта (глубиной 0,90, шириной 1,10 и высотой 0,70 м) возведена в углу помещения. Левая сторона ее примыкает к южной стене здания, тыльная — к западной, правая — свободная; к ней примыкает зольник, имеющий дном пол жилого помещения, который обнесен бортиком из мяты глины. Свободная сторона печи декорирована миниатюрным, неглубоким порталом, внизу которого имеется маленькая ниша, связанная с топкой отверстием для перемещения золы из топки в зольник. Печь строилась из камня на глине, места обдаваемые пламенем, возводились из песчаника, не трескающегося от жара.

Печь состояла из узкой, растянутой по всей ее глубине топки и квадратной площадки — пекарни, раскрытой по всей длине к топке и высыпающейся от пода топки на 12 см. Пекарня и топка были перекрыты общим пологим сводом толщиной 10—15 см, опирающимся на три стенки, а с передней части — на стойку, отделяющую пекарню от топки. Под пекарней находилась неглубокая нишка, а перед топкой — алтарь, слепленный из мяты глины, в виде полой призмы. При пропарции полости алтаря не было обнаружено ничего, кроме плоских камешков; не было следов даже копоти. Печь топилась, нужно полагать, хворостом, обрезками лоз, бурьяном. Сухое топливо быстро воспламенялось, пламя сильной тягой вырывалось в пекарню, а оттуда через зев выходило в жилое помещение, т. е. служило источником и отопления. В начале загорания дым выходил через люк, устроенный в углу кровли, над печью. После нагревания в пекарню закладывали тесто, а переднюю часть печи завешивали смоченной шкурой, до выпекания хлеба.

Привлекает внимание особенность алтаря. При закладывании топлива в топку концы хвороста оставались снаружи и после сгорания в виде огарков оказывались на алтаре; при закладывании очередной охапки хвороста огарки с алтаря заталкивались в топку, а у печей, не имеющих алтаря, огарки топлива падали на пол. У Самтаврской печи

(<sup>1</sup> После кончины их открывателя эти холмы были названы Каландадзисгора, в честь открывателя, неутомимого археолога, отдавшего всю свою жизнь археологическому исследованию Грузии — проф. Александра Несторовича Каландадзе. В порядке изучения этим холмам были даны номера — Каландадзисгора I, II, III.

под топкой, на полу помещения, оказался второй зольник, куда падали огарки, которые потом, по всей вероятности, забрасывали в топку.

Описываемая печь по своему технологическому характеру отличается от печей-пекарен, где горение дров происходило в пекарне же и до закладывания теста угли и жар отодвигались в стороны.

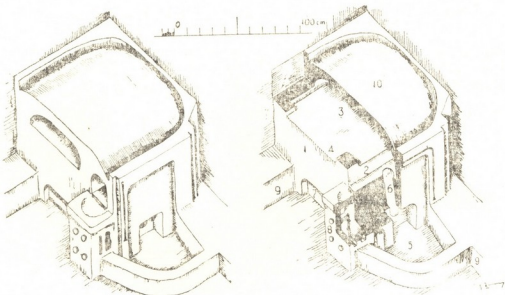


Рис. 1. Печь типа Каландадзисгора. Восстановление и аксонометрический разрез двучастной печи: 1 — печь, 2 — толочная камера, виден разрезанный под, 3 — пекарная камера и под пекарни, 4 — дверца, 5 — зольник, 6 — отверстие для перемещения золы, 7 — нишка, 8 — алтарь — предтопочная площадка с оставом, 9 — скамья, 10 — перекрытие печи

Известны еще чугунные круги — «саче», приставляемые к огню костра; после нагревания на них пеклись лепешки. Были распространены вкопанные в землю керамические полые цилиндры «торне», в которых выпекали хлеб, но они датируются не ранее VI в. н. э. [3]. Таким образом, в обычных пекарнях горение дров и выпекание хлеба происходило в одной и той же камере, хлеб загрязнялся золой и углами, а наполовину испеченная лепешка на «саче» оставляла желать лучшего; «торне» же, употребляемое поныне, нуждалось в устройстве вне дома и требовало навыков пекаря погружаться в жар «торне». Публикуемая нами печь не имела указанных недостатков и, кроме того, обогревала жилище, а стало быть, была более совершенной.

Двучастные печи, кроме Мцхетского района, зафиксированы в Начаргора Цхинвальского района [4], Ховлегора в районе Каспи [5], Катналихеви возле Гори [6], возле с. Мчадиджвари Душетского района [7], Трелеби в Тбилиси [8]; следовательно, были широко распространены в Шида Картли. Второй дом селища Каландадзисгора I и обнаруженная в нем печка, по добытым археологическим материалам, датируются рубежом VII—VI вв. до н. э.

Описываемая печь с алтарем своей технологией выпечки хлеба выгодно отличается от аналогичных, не имевших алтаря, печей. На Каландадзисгора I вскрыта не одна аналогичная печь с алтарем. Следовательно, печи с алтарями перед топкой, впервые вскрытые при рас-

копках холмообразного поселения Каландадзисгора I, следует считать новым видом и именовать печками типа Каландадзисгора.

Академия наук Грузинской ССР

Институт истории,  
археологии и этнографии  
им. И. А. Джавахишвили

(Поступило 13.12.1979)

### არქეოლოგია

ა. მილიტარები, რ. დავლიანიძე, ვ. სადრაძე

დ. VII—VI სს. ღუგული ნასოფლარ კალანდაზისგორაზე

რეზიუმე

განხილულია მცხეთის მახლობლად კალანდაზისგორაზე გათხრილი ორნაწილედი საცეცხლე და საცხობი კამერებიანი ღუმელები. სხვა ამ სახის ღუმელებისგან განსხვავებით, აქ მოპოვებულ ღუმელებს აქვთ ცეცხლისპირა საკურთხეველი. ლნიშნულია მათი უკეთესი ტექნოლოგიური მახსიათებლები. პირველად აღმოჩენის მიხედვით მათ კალანდაზის გორული ღუმელები უნდა ეწოდოთ.

### ARCHAEOLOGY

K. N. MELITAVRI, R. V. DAVLIANIDZE, V. G. SADRADZE

AN OVEN OF THE 7TH-6TH CENTURY B.C. FROM  
KALANDADZISGORA

#### Summary

A two-part oven consisting of a fire-chamber and bakery from an ancient hillside settlement site near Mtskheta is considered in the paper. Unlike ovens of this type, the present ones have altar-like areas in front of the fire-chamber, are characterized by improved technological elements, constituting a new type of oven for baking bread. It is proposed to name these Kalandadzisgora type ovens after the place of their discovery.

#### ლიტერატურა — ЛИТЕРАТУРА — REFERENCES

1. А. М. Апакидзе, А. Н. Каландадзе, В. В. Николайшили. Мцхета, II Тбилиси, 1978, 79.
2. А. М. Апакидзе, А. Н. Каландадзе, В. В. Николайшили, Г. Н. Манджгаладзе, А. Н. Сихарулидзе, Л. Г. Хецуриани, В. Г. Садрадзе, М. В. Джгаркава, М. С. Дзиеладзе, Р. В. Давлианиძე, Г. Д. Гиунашвили. Там же, 154—155.

3. П. Ф. Закарая. Архитектура городища Урбниси. Тбилиси, 1965, 24, 47.
4. Г. Ф. Гобеджишвили. Археологические раскопки в Советской Грузии. Тбилиси, 1952, 93.
5. ქ. გვ. დოფას ხ. მ. დევლის მემორანუ, № 50, 1979.
6. დ. А. Хахутайшвили. Уплисцихе I. Тбилиси, 1964, 94—98.
7. Л. Цитланадзе, Г. И. Мицхулава, М. Н. Гочишвили. Полевые археологические исследования в 1974 г. Ин-та истории, археологии и этнографии им. И. А. Джавахишвили. Тбилиси, 1976, 49—50.
8. Р. М. Абрамишвили, В. В. Николайшвили, Н. И. Окропиридзе, А. Т. Рамишвили. Полевые археологические исследования в 1973 г. Ин-та истории, археологии и этнографии им. И. А. Джавахишвили. Тбилиси, 1974, 21—23.

ეთნოგრაფია

რ. თოშჩივალი

აღმოსავლეთ საქართველოს მთის მოსახლეობის ბარში  
 ჩამოსახლების ისტორიულ-ეთნოგრაფიული ჟესტავლის ზოგიერთი  
 უძღვი

(წარმოადგინა აკადემიკოსმა გ. ჩიტიამ 11.6.1979)

ეთნოგრაფიული მასალებითა და მოსახლეობის აღწერის მონაცემებით აღ-  
 მოსავლეთ საქართველოს მთიელთა (ფშავ-ხევსურთა) მთისწინეთსა და ბარში  
 გადასახლების სურათის ღლებენა ხერხდება XVII ს.-უან, თუმცა წევა მასალები  
 (ტრანსიმები და ადგილშეცვლილი სალოცავები) ასეთ პროცესს უფრო აღტეც  
 გვავარულებოდება. აღმოსავლეთ საქართველოს მთიდან მოსახლეობის მთის-  
 წინეთსა და ბარში მიგრაციი ისტორიულად კანონმდებრი ხასიათს ატარებდა  
 და აღნიშნული პროცესის ძირითადი მიზეზი ეკონომიკური ფაქტორი იყო. თა-  
 ვისი სამეურნეო-საწარმოო შესაძლებლობებით მთა მხოლოდ მოსახლეობის  
 ვანსაზღურულ რაოდენობას იტევდა და მისი ნამატი, ჭარბი ნაწილი, იძულებუ-  
 ლი იყო სხვაგან გადასახლებულიყო [1]. ასეთი საცხოვრისი კი თავისი სამეურ-  
 ნეო-ეკონომიკური შესაძლებლობებით ქვეყნის მთისწინეთი და ბარი იყო.

ეთნოგრაფიული მონაცემებით გამართლებას პოულობს სამეცნიერო  
 ლიტერატურაში აღრე გამოთქმული მოსაზრება, რომ მთიელთა ბარში გა-  
 დასახლება საფეხურებრივ ხასიათს ატარებდა [1]. გადმოსახლებული მთი-  
 ელების უმეტესობა გაივლიდა შუალედურ რგოლს. ასეთი შუალედური რგო-  
 ლი კი კლიმატურად მათთვის ადგილად შესაგუებელი მთისწინეთი იყო.

ისტორიულად ფშავ-ხევსურთა მთისწინეთსა და ბარში გადასახლებები  
 ძირითადად მიმართული იყო ივრის ხეობის ზემო წელის, ერთო-თანაერთის,  
 შიგა და გარე კახეთის, არავეს ხეობის მთისწინეთისა და ბარისაკენ. მთიდან  
 მოსული მოსახლეობა დღეს აქ უმთავრესად შეცვლილი გვარებით გვევლინე-  
 ბა. ეთნოგრაფიულმა მასალამ ძირი-გვარების აღდგენის შესაძლებლობა  
 მოგვცა.

მოსახლეობის გადასახლების შემდეგ ეთნოგრაფია იკვლევს ახალ გეოგ-  
 რატიულ გარემოში სამეურნეო, სოციალური, რელიგიური ადაპტაციის  
 შედეგებს. ქვემოთ ვეხებით აღმოსავლეთ საქართველოს მთიდან მთისწინეთსა  
 და ბარში ჩამოსახლებულთა ცხოვრების რამდენიმე ეთნოგრაფიულ მხარეს.  
 სამეურნეო ყოფისადმი გადმოსახლებული მთიელების დამკაიდებულების  
 შესახებ მოკლე დაღვინშნავთ, რომ ეთნიკური ერთობლიობა ხელს უწყობდა  
 ახალი ტერიტორიის მეურნეობრივ აოვისებასთან დაკავშირებული სიძნელე-  
 ების დაძლევას. ამასთანავე, ქართველი მთიელებისათვის მეტ-ნაკლე-  
 ბად ცნობილი იყო მთისწინეთისა და ბარისათვის დამახსიათებე-  
 ლი ხალხური წეს-ჩვეულებები [2]. გამონაკლის შემთხვევაში კი  
 ადგილი ჰქონდა კულტურულ-სამეურნეო ადაპტაციის სიძნელეებსაც. სამე-  
 ურნეო ყოფის ზოგიერთი დარგის (მაგალითად, მევენახეობის) ტრადიციის

სრული აღდგენა ვეღარ ხერხდებოდა მთისწინეთის ისეთ რეგიონებში, სადაც მოსულს ადგილობრივი მოსახლეობა საერთოდ აღარ ხვდებოდა და მეურნეობის აქ არსებული ტრადიციაც გაშუცეტილი იყო. ბარში გადმოსახლებული მთიელები კი შედარებით ადვილად ეზიარებოდნენ ბარის სამეურნეო ყოფის ყველა მხარეს, რასაც ხელს უშუბლა კონტაქტები აჯგილობრივ მოსახლეობასთან. ისიც უნდა ითქვას, რომ მთისწინეთში ჩამოსახლებული ქართველი მთიელი უშუალო დაკვირვებითა და ბარის მოსახლეობასთან ურთიერთობის შედეგად აღადგენდა ზოგიერთ სამეურნეო-კულტურულ დარგს. მაგალითად, ასე აღადგინეს ჩამოსახლებულმა მთიელებმა ერწო-თიანეთში მეზილეობა, ხოლო უფრო ზემოთ, ივრის ხეობის ზემო წელში, ფშავიდან გადმოსახლებულებს უშუალოდ ტყის მცენარეებიდან გაუკულტურებიათ რამდენიმე ხის ჭიში.

რელიგიური რწმენა-წარმოდგენების შესახებ უნდა აღინიშნოს, რომ გადმოსახლებულები კარგა ხნის განმავლობაში ერთგული რჩებოდნენ აღმოსავლეთ საქართველოს მთისათვის დამახასიათებელი სინკრეტული რელიგიისა. პირველ რიგში ამან ასახვა პოვა იმაში, რომ გადმოსახლებულები მთაში დადიონენ სალოცავად, შემდეგ კი სალოცავების ნიშები გადმომჰქონდათ ახალ საცხოვრისში და აქ აგრძელებდნენ ხატ-სალოცავებისადმი მსახურებას, მიუხედავად იმისა, რომ ისინი სრულიად ქრისტიანულ გარემოში სახლდებოდნენ.

მთიდან გადმოსახლებულთა რელიგიური რწმენა-წარმოდგენების ეთნოგრაფიულ საეციფის კარგად ასახვს XVII ს. რამდენიმე წერილობითი საბუთი. 1669 წლის „წილენის ღვთისმშობლის სამწყსოს სიგელში“ ვკითხულობთ: „ქაისხეველებს იმიტომ არა ედვათ რა, რომ იმათი გული კიდევ მოუკერესარი იყო: ეფისკოპოზის შესვლის წყინობდნენ, არც ასახებისა იცოდნენ...“ [3]. აშკარაა, რომ არაგვის ხეობის მთისწინეთის ისეთ რეგიონში, როგორიცაა ქაისხევი (რომელიც წილკელი ეპისკოპოზის სამწყსოში შედიოდა) XVII ს. მეორე ნახევრაში ძლიერი იყო წარმართული ელემენტები, რის გამოც ისინი ყოველგვარ საეკლესიო გადასახადს ერიდებოდნენ. ეთნოგრაფიული დაკვირვებით კი ჩანს, რომ სიგელის შედეგნის ღრისათვის ქაისხევის მოსახლეობა მთიდან იყო მოსული, ძირითადად ხევსურეთიდან, სადაც რელიგიურ რწმენა-წარმოდგენებში წარმართობის ელემენტები დიდხანს შემორჩა. XVI—XVII სს. მთიდან მოსული მოსახლეობა ინარჩუნებდა წარმართულ კულტმსახურებას, არ იხილდნენ წილკელი ეპისკოპოზის გადასახადს და არც ქრისტიან მღვდელმსახურებს უშვებდნენ ქაისხევში. საბუთიდან აშკარად ჩანს, თუ როგორ ცდილობდა მთიდან მოსული მოსახლეობა შეენარჩუნებინა თავდაპირველი საცხოვრებლისათვის განხსნით რელიგიური წესები. ამგვარი მოვლენა ხანგრძლივი დროის პროცესი იყო, თუმცა საბოლოოდ ჩამოსახლებულთა „მოქცევა“ გარდუვალი ხდებოდა, რასაც აჩქარებდა მთიელთა სწრაფვა საეკლესიო მიწებზე დასახლებლად.

თითქმის ივიე ვითარება არის ასახული 1685 წლის საბუთში „აღთქმის წიგნი მარილელთა ნიკოლოზ ალავერდელისადმი“ [3], საიდანაც ირკვევა, რომ კახეთის სოფლის—მარელისის—მცხოვრებნი აღუთევამენ ალავერდელ ეპისკოპოზის, რომ დღეს ამის იქით თავიანთ სოფელში აღარ დაუშვებენ წარმარკონის, აღმდეგ მოსახლეობის დიდი ნაწილი ფშავიდანაა გადმოსახლებული და, მათ ლის მოსახლეობის დიდი ნაწილი ფშავიდანაა გადმოსახლებული და, მათ შორის, აღნიშნული წიგნის მიმრთმევებიც — ასათშვილები და ჭუგაშვილები.

XVII ს. კიდევ ერთ დოკუმენტში [4] საუბარია იმაზე, რომ მთიულებმა (მთიული იყო სოფელი ახმეტის სამხრეთით, სადაც მთიულეთიდან გადმოსახლებულები მოსახლეობის მიერთდნენ) პირობა მისცეს ალავერდელ ეპისკოპოსს, რომ ალავერდნენ მარხეის ჭამას, ცდუნების შემთხვევაში კი გაუმხედვდნენ.

მთიდან ბარში ჩამოსახლებულთა ეთნოგრაფიული ყოფის, კერძოდ, რელიგიურ რწმენა-წარმოდგენებთან დამოკიდებულების შესახებ საგულისხმო მეცე ერეკლე I მეტ თორმლის ციხისათვავიშვილი ითანხმდი ბორჯებული სიგელი [5], რომელშიც საუბარია კახეთის, დღევანდელი თელავის რაიონის სოფელ ფშაველზე და რომელიც ფშაველთა გადმოსახლების შედეგადაა წარმოქმნილი. სიგელში ნახსენებია ხატ-სალოცავი წყაროს თავი, რომელიც უკანაფშვილიდან გადმოტანილი ხატის ნიშია. აშერაა, რომ ფშავიდან ჩამოსახლებულებს ხატ-მსახურება გარკვეული სახით მთიდან ჰქონდათ მოყოლილი, რაზედაც უცილობლად მიუთითებს „წმინდის გორგის წყაროსათვას“ დეკანოზის ინსტიტუტი. დეკანოზი კი, როგორც ცნობილია, აღმოსავლეთ საქართველოს მთაში ჯვარ-ხატების მესვეურთა ხევისტერის, ხუცესის პარალელური ტერმინი იყო და ისინი რელიგიური ხასიათის მოღვაწეობასთან ერთად სოციალური (საერო) ხასიათის საქმიანობასაც ეწეოდნენ [6]. ისიც საგულისხმოა, რომ ფშაველის წყაროს თავი აღმოსავლეთ საქართველოს მთაში არსებული ტერმინით „ხატი“ მოიხსენიება, რაც სალოცავის გაგებით უცხო იყო ბარის ქრისტიანობისათვის.

ამრიგად, როგორც ეთნოგრაფიული მონაცემები, ისე აღრინდელი წერილობითი საბუთები საშუალებას გვაძლევს ვიმსჯელოთ მთისწინეთსა და ბარში გადმოსახლებული მთიელების ყოფის სხვადასხვა საკითხებს, მათ შორის, რელიგიურ რწმენა-წარმოდგენებზე. მთიდან მოსულებს თან მოპქონდათ მთური სინკრეტული რწმენა-წარმოდგენები, ხატმსახურები, დღეობათა რიტუალები და სხვა, რომელიც დროთა განმავლობაში ცვლილებებს განიცდიდნენ და უხლოვდებოდნენ ბარისათვის დამახასიათებელ ქრისტიანულ რელიგიურ რიტუალებს და რწმენა-წარმოდგენებს.

საქართველოს სსრ მეცნიერებათა აკადემია  
ივ. ჯვარიშვილის სახ. ისტორიის, არქეოლოგიისა  
და ეთნოგრაფიის ინსტიტუტი

(შემოვიდა 21.6.1979)

## ЭТНОГРАФИЯ

Р. А. ТОПЧИШВИЛИ

### НЕКОТОРЫЕ ИТОГИ ИСТОРИКО-ЭТНОГРАФИЧЕСКОГО ИЗУЧЕНИЯ ВОПРОСА ПЕРЕСЕЛЕНИЯ ГОРЦЕВ ВОСТОЧНОЙ ГРУЗИИ НА РАВНИНУ

#### Резюме

Этнографические данные и письменные документы XVII в. представляют возможность выявить некоторые стороны быта горцев, ныне обитающих в предгорье и равнине.

Не сталкиваясь при переселении с трудностями освоения нового для них хозяйственного быта и приобщаясь к нему, горцы привнесли

сложную систему синкретичных представлений и ритуалов, претерпевших значительную трансформацию и со временем слившихся с христианскими верованиями населения равнины.

## ETHNOGRAPHY

R. A. TOPCHISHVILI

### SOME FINDINGS OF A HISTORICAL-ETHNOGRAPHIC STUDY OF MIGRATION TO THE PLAIN OF HIGHLANDERS OF EASTERN GEORGIA

#### Summary

According to the ethnographic data and 17th century manuscripts, some changes are studied in the mode of life and culture of the population of the foothills and the plain, their original home having been in the highlands.

#### ლიტერატურა — ЛИТЕРАТУРА — REFERENCES

1. გ. ჩიტაია. ენდექის მოამბე, ტ. IV, 1939.
2. მ. გეგეშიძე. მაცნე (ისტორიის სერია), № 2, 1973.
3. ქართული სამართლის ძეგლები, ტ. III. თბილისი, 1970.
4. მასალები საქართველოს ისტორიული გეოგრაფიისა და ტოპონიმიკისათვეს, I წიგნი (X—XVII ს. ისტორიული დოკუმენტების მხედვით). თბილისი, 1964.
5. საქართველოს სიძველენი, ტ. I. ტფილისი, 1920.
6. მ. კანდელაძე. მსე, XVIII, 1975.



აღმოსავლეთა ცოდნები

მ. ივანეგვილი

ლ. საედის ზოგი მხატვრული ხერხის შესახებ

(წარმოადგინა აკადემიკოსმა ს. ჯერმიანი 6.12.1979)

თანამედროვე ირანელი მწერლის ლოლამისეინ საედის მხატვრულ პრაქტიკაში მრავალ შეუსწავლელ პრობლემათა შორის ერთ-ერთ საყურადღებო საკითხად გვესახება პერსონაჟთა ძერჩევს მის მიერ შემუშავებული პრინციპი. ამ მიმართებით მწერლის პროზის შეპირისპირება წინამორბედ ავტორთა ლიტერატურულ ტრადიციებთან საინტერესო ასპექტებს წარმოაჩენს.

თუ გადავხედვთ ს. ჰედაიათის (1903—1951) შემოქმედებას, დაურწმუნდებით, რომ სახის სტრუქტურაში ავტორი პროპორციულად დიდ ადგილს უთმობს პერსონაჟის გარეგნული ფორმის ჩივნებას. მწერალი დეტალიზაციას მიმართავს ჰავი-მორადის („ჰავი-მორადი“), აქოლის („დაშ აქოლი“) და სხვა გმირების პორტრეტისა და ჩატულობის აღწერისას.

ბ. ალავის (1908) მხატვრული სამყარო პერსონაჟთა გარეგნული ძერწევის თვალსაზრისით ტიპოლოგიურად ახლოს დგას ჰედაიათის შემოქმედებასთან. მის მოთხოვნებშიც სათანადო ადგილი ეთმობა „პორტრეტის რამდეს-ლმე დაწერილებით აღწერას (ტილონელი“). ხშირად დასახულისშივე მოხაზულ ნიშანდობლივ დეტალებს ამა თუ იმ სცენაში კვლავ ემატება სპეციფიური ნიშანი („მსხვერპლი“).

ს. ჩუბაქის შემოქმედება პიროვნების გარეგნული დახასიათების თვალსაზრისით რამე არსებოთ განსხვავებას არ იძლევა ჰედაიათისა და ალავის ქმნილებითან შედარებით.

ღ. საედის პროზაში („ძაძით მოსილი ბაიალი“, „შიში“, „ორი ძმა“, „მათხოვარი“, „ციებ-ცხელება“, „ბედისაგან დაჩაგრულები“) პორტრეტის ძერწევისას რამდენადმე განსხვავებულ ვითარებასთან გვაქცება საჭმე. მეტწილად მთავარ მოქმედ პირთა გარეგნობის ამსახველი მასალა ან საერთოდ უგულებელყოფილია, ან არ სცილდება უმნიშვნელო აღწერის ჩარჩოებს. თითონიროლა გმონაელისის გარდა (მდრ. მოლა „შიში“) პორტრეტი სახის შექმნაში არ ასრულებს არსებით როლს.

ფართოდ გამოიყენება ზიარი, ერთობლივი დახასიათების შემთხვევები.

განზოგადებული სახით წარმოგვიდგება მაშდი-ბაბას ასულის (ჩასუქებული და ლოკებლაციები), მაშდი-პასანის ცოლის (ჩამომცენარი სახე, წაწვეტებული ცხვირი) გარეგნული მონაცემები. ასეთივე მნიშვნელობის ქვემე ავადმყოფთა დახასიათება (ჰავი-შეიხი) მრავალგზის გამეორებული სპეციფიური დეტალით (რუმბივით ფეხები). ზოგადი ნიშანი გამოიყოფა მძღოლის პორტრეტში (შეშტაცებული თვალები).

ნეწარმოებში წარმოდგენილი ორმოცდათამდე პერსონაჟიდან („ძაძით მოსილი ბაიალი“) შედარებით მეტი ყურადღება ექცევა წითურის პორტრეტის 48. „მოამბე“, ტ. 97, № 3, 1980

აღწერას. დროთა ვითარებაში ტრანსფორმაციას ვანიცდის წითურის გარეგნობა. ძალზე ფრთხილია, ზომიერად ემატება მის პორტრეტს ახალი დეტალი (ვირთხსავით წაგრძელებული დრუნხი), შენარჩუნებულია აღრე ხსენებული ზოგადი ნიშნები (თავ-პირზე მოთელილი ბალინი). იცვლება ერთ-ერთი მნიშვნელოვანი დეტალი — ფეხზე შებმული თკა. წითურის საბოლოოდ მოხაზული პორტრეტი ემსგავსება ბაიალში შემოხვევით მოვლენილი უცხო ცხოველის აღწერას.

საედი „უნივერსალურად გულგრილია“ პერსონაჟთა ფიზიკური დახსიათებისადმი მოთხოვთაში „ორი ძმა“ (კომპოზიციური ფორმულა — ძმები და ახალგაზრდა ქალი). ნაწარმოების ფინალში („მათხოვარი“) წარმოდგენილია ძმები ვადლებოდის განკუნძულებული დახსიათება. მწერალი თავს იკავებს გარე-კონბასთან ან ჩიკმულობასთან დაკავშირებული ალტერნაციას.

დეტალების სიმცირით გამოიჩინევა უცნობი მახაფაცის პორტრეტი („ბედისავან და ჩაგრულები“). ავტორი მიზართავს ორიგინალურ ხერხს, რაც უცხოადამიანების წაკლა-წყვილად დახასიათებაში გამოიხატება.

როგორც გხედავთ, მწერლის ინტერესი ეფუძნული გარეგნული ფორმების ძერწვისადმი შესუსტებულია. საედი გაცილებით კონკრეტულია ფიზიკური ნაკლის მქონე პირების (ცალფეხა ზანგი, მოკლეფეხებიანი მოლა, მახინჯი ახალ-შობილი) გარეგნული მონაცემების აღწერაში.

მოთხერობაში „შიში“ უცნობი მაქავის პროტეტიდან თავდაპირველად ერთი ნიშანია წარმოდგენილი (არაბულებრივიდ პატარა თავი). საერთო კვლევა უბრუნდება ზანგის პირისახის აღწერას და ახლა რამდენადმე სრულ მონახაზს ქვის (მრტყელი სახე, გლუვი ტუჩები, დაღვეული ცეკვირი). შევრჩლის მხატვრულ პრაქტიკაში პერსონაჟის ასე მკაფიოდ გამოხატული ნიშნებით დახასიათება იშვიათი მოვლენა.

ავტორის გარკვეული ინტერესი შეიმჩნევა მოლას გარეგნობის მიზანთაც (ტანდაბალი, მსუქა-მსუქანი და კვალრატული). შემდეგ ქცევანტი გადატანილია უშეელებელ ხელებსა და ბავშვიერთ მოყლე ფეხებზე. გზადაგზა საედი დაუინებით მიუთითებს მოლას გარეგნობის არასიმეტრიულობაზე, თანდათან სწინი მის შინაგან ბუნებას და მკითხველი რწმუნდება, რომ მოლას სახით საჭმევე ვეძეს „ზეობრივ ქვაზიმოდოსთან“.

საედის პორტეტი ფხვიერია, ელემენტები გაფარტულია. ანონიმური პერსონაჟები მოისხენიება ინდივიდუალური პორტრეტული ან გარეკანული ნიშნით (ნიკაზე ტყავგადაკრული მამაკაცი). გამარტივებულია პირისახის ღიურა.

საედის პროგრამის მიზანი თავისებურებების გამო ვერ ჰგუობს კარგ ელექტრობს.

საედის შემოქმედების გაცნობა საფუძველს გვაძლევს ვიმსჯელოთ მისი პროზის კონკრეტულ კავშირზე ამა თუ იმ ცნობილი მწერლის ნაწარმოებთა (უდრ. ოთახების აღწერა „ორ ძმასა“ და ჰედაიათის „ბრძა ბუში“).

„ძალით მოსილი გაიაღის“ მეცნუთე ნორელაში ასახული ძალის წამება ით მოკვლის პროცესი შექმნის წერტილებს პოულობს თ. დოსტოევსკის რო-

ამავე ძეგლში (ცირკელი ნოველა) გამოყენებული მხატვრული ხერხით (ლაპარაკია ჰომანისებულ ფანტასტიკურ მოტივებზე) ეპიზოდი სერტოს პოლობს ა. პუშკინის („პივის ქალი“) და თ. დოსტოევსკის („დანშაული და სასჯილი“) სათანაօდ სცენიზმად.

ჩევნოვის საინტერესო მონაცემი ერთი შეხედვით ირეალური ელფერის მატარებელია (ქარიშხლიან ღამეს რამაზანს „ესტუმრება“ გარდაცვლილ დედა და ბიძუნას თავისთან წაიყვანს).

მნიშვნელოვანი მაინც ის არის, რომ საედის მიერ ასახული მონაკვეთი მიღმიტებული სამყაროდან მოვლენილი პირის ჩატვლობაზე აქცენტირების თვალ-საზრისით იდენტურია პუშკინისა და ლოსტოვესკის შესაბამის სცენებთან. კარის გამოლების შემდეგ რამაზან დაინახავს დედას, რომელსაც „ხალთახალი კაბა აცია“ (შდრ. „პიესის ქალი“ — კარის გაღების მერე შემოვიდა ქალი თეთრ ტანსაცმელში [2]. შდრ. „დანაშაული და სახელი“ — უცბად მართა პეტროვნა შემოიდის ახალ მწვანე ფარისის კაბაში გამოწყობილი [3]).

„პიგის ქალშით“, სადაც პუშკინს რომანტიკული გმირის რვალისტური ეკვივალენტი შემოაქვს [4], ფანტასტიკური ელემენტი თანდათან უფრო ღრმად იჭრება ამბის ჩერალურ მსვლელობაში და გამარტვებას აღწევს ფინალში [5].

არარეალურობის შთაბეჭდილება უცილება უკემნას პასაკმა, რომლის მიხედვით რამზანი დედას ხელს ჩავლებს და ისინი იქაურობას გაცელებიან.

ମାଗ୍ରହା ଅ ପ୍ରତିକାଳ ଶାଲୁଙ୍ଗିନ୍ଦ୍ରାବା ଟାପିସ୍ତର୍ ଏକଣାତ୍ମକ ଉଦ୍‌ଦେଶ୍ୟରେ — ଯାରି  
ମତୀରୋ କାଳୀପ ଜ୍ଞାନରାଖି ରା ଚିନ୍ ମନୀରୁକ୍ତିବା ମାତ୍ର ।

ნაციონალი მატრიკული ხერხის გამოყენების მიუხედავად საედი ახალი დე-  
ტალიზით აქტორებს სცენას.

საქართველოს სსრ მეცნიერებათა აკადემია

### **3. წერეთლის სახელობის**

၁၂၁၃ အကြောင်းအရာများ၊ အနေအထား အကြောင်းအရာများ

(ມີວັນທີ 6.12.1979)

М. Н. ИВАНИШВИЛИ

## О НЕКОТОРЫХ ХУДОЖЕСТВЕННЫХ ПРИЕМАХ Г. САЭДИ

### Резюме

В статье дана попытка характеристики некоторых художественных приемов видного современного иранского писателя Г. Саэди. Для выявления их особенностей проведены параллели с литературными памятниками персидской и мировой литературы.

### ORIENTAL STUDIES

М. Н. IVANISHVILI

## ON SOME ARTISTIC DEVICES EMPLOYED BY Gh. SAEDI

### Summary

An attempt is made to describe some artistic devices used by the prominent modern Iranian writer Gh. Saedi. In order to shed light on the specificities of the artistic devices in question parallels are drawn with representatives of Persian as well as world literature (A. Pushkin and F. Dostoevski).

### ЛІТЕРАТУРА — REFERENCES

1. L. P. Elwell-Sutton. The Influence of Folk-tale and Legend on Modern Persian Literature. C. E. Bosworth, Iran and Islam. Edinburgh, 1971, 247-254.
2. А. С. Пушкин. Пиковая дама. М., 1967, 82—85.
3. Ф. М. Достоевский. Преступление и наказание. М., 1957, 296—298.
4. А. Б. Ботникова. Э. Т. А. Гофман и русская литература. Воронеж, 1977, 103.
5. А. Слонимский. Мастерство Пушкина. М., 1963, 520.

## 97-ი ტომის ავტორთა საკითხები

- აბაშიძე გ. 715  
 აბაშიძე ქ. 96  
 ავლაძე გ. 104  
 ავლაძე რ. 104  
 ალექსეილი თ. 328  
 ავალიანი ა. 112  
 ავალიშვილი ქ. 58  
 ალადშვილი ლ. 477  
 ანანაშვილი ფ. 224  
 ანდრიაძე გ. 424  
 ანდრიაზევილი თ. 367  
 არაული ა. 733  
 არეშიძე გ. 644  
 ასთაძე გ. 144  
 ასლანიძე ნ. 296  
 ასლანიკაშვილი ნ. 651  
  
 ბავრინი ი. 23, 287  
 ბარაბაშვილი დ. 364  
 ბარიშვილი გ. 367  
 ბერიძენიშვილი კ. 492  
 ბერაშვილი კ. 644  
 ბერიძეშვილი თ. 439  
 ბერძნიშვილი თ. 607  
 ბიჩუვა ლ. 604  
 ბიწაძე გ. 42  
 ბიჭაძეშვილი გ. 659  
 ბუკია ი. 399  
 ბულგარი გ. 584  
 ბურჩაკ-აბრამოვიჩი ნ. 487  
 ბუსოვი ს. 632  
  
 გაბისინია ც. 348  
 გაბრიელიძე ო. 107  
 გაგუა ა. 208, 472  
 გაგურიძე გ. 68  
 გარიშვილი თ. 176, 428  
 გარეჩილაძე თ. 323  
 გახოვაძე რ. 100  
 გაზიერი დ. 487  
 გავიძე გ. 604  
 გალაძე კ. 115, 648  
 გარედავა გ. 376  
 გვარაძე ნ. 96  
 გვირიშვილი თ. 339  
 გვეატრი რ. 352  
 გვლობილი თ. 428, 699  
 გვგილაშვილი კ. 392, 396
- გოგიშვილი ვ. 135, 384  
 გოგოლაძე ო. 591  
 გოგუა ლ. 599  
 გოდერძიშვილი ლ. 352  
 გოლდშტეინი ი. 144  
 გონგაძე ლ. 203  
 გორგანიშვილი კ. 208  
 გორგაძე ა. 419  
 გოცირიძე გ. 505  
 გოცირიძე ი. 215  
 გოგოშვილი ლ. 208  
 გურგანიძე ზ. 639  
 გურგანიძე ნ. 352
- დავარშვილი ო. 604  
 დავითაშვილი ნ. 388  
 დავლანიძე რ. 747  
 დემიხოვი ვ. 208  
 დეალი ნ. 112, 372  
 დიასამიძე ზ. 79  
 დილმანიძე ი. 456  
 დომოვა ბ. 632  
 დოლინი ვ. 192  
 დოლინი ვ. 704  
 დომხოვესე ვ. 135, 384  
 დონხერი რ. 72  
 დურმიშიძე ს. 429
- ებრაილიძე ა. 46  
 ედილაშვილი ი. 636  
 ედილაშვილი ლ. 176, 448  
 ერისთავი ვ. 616  
 ესაძე ნ. 704
- ფაშაყმაძე თ. 477  
 ფაქერიშვილი ნ. 372  
 ვაეუა ა. 487  
 ვაეუა ლ. 84  
 ვერენინვა ი. 412, 680  
 ვეჯევაძე ა. 591  
 ვინტაიინი კ. 599  
 ვორნიჩვი ა. 319
- ზალიშვილი კ. 183, 707  
 ზალიშვილი თ. 444  
 ზამბახიძე ლ. 572  
 ზევადაძე გ. 632
- ზილერშტეინი ა. 152  
 ზელმანვი ვ. 604  
  
 თადუმაძე თ. 36  
 თავაძე ლ. 144  
 თაველიძე დ. 388  
 თამაზიანი ა. 444  
 თაქთაქიშვილი ს. 468  
 თოდაძე თ. 132  
 თოლრი გ. 344  
 თოდუა დ. 591  
 თოთიბაძე ნ. 459  
 თოფნიშვილი ზ. 749
- ივანიშვილი მ. 753  
 ილაშვილი ი. 335  
 ინგია რ. 335  
 ინგია გ. 352  
 იორამაშვილი დ. 360  
 იოსელევიჩი კ. 308  
 იოსელიანი თ. 428  
 იოსელანი კ. 636  
 იოსელიანი გ. 79  
 იუფინი ს. 607  
 იშჩეკო კ. 532
- კაცულია კ. 84  
 კანდელა რ. 459  
 კარბელაშვილი გ. 741  
 კაშინი ბ. 32  
 კაჭარავა გ. 380  
 კაჭარავა ნ. 203  
 კაჭაზიძე ნ. 612  
 კახელაძე კ. 684  
 კახნიაშვილი ა. 355  
 კერესელიძე ა. 639  
 კვარცალიანი ი. 124  
 კვაჭაძე ნ. 167  
 კოკვაძე ა. 431  
 კოქაძე თ. 120  
 კორთაძე გ. 323  
 კოგანი ი. 408  
 კოლაოვესე ა. 415, 688  
 კოლეგი ა. 28  
 კორშუნოვი ა. 408  
 კოსინცი ა. 56  
 კრიალაშვილი ი. 604

- ପୁସ୍ତକ ୧. 584  
 ପ୍ରକାଶକ ୨. 656  
  
 ଲାଭଦୀର୍ଘ ୧. 684  
 ଲାକ୍ଷଣ୍ୟ ୨. 555  
 ଲାକ୍ଷଣ୍ୟ ୩. 661  
 ଲୋକ ୨. 424  
 ଲୋକନ୍ଦ୍ର ୩. 328  
 ଲୋକଶାସନଶ୍ଵରାଳୀ ୩. 152  
 ଲୋକଶାସନଶ୍ଵରାଳୀ ୩. 612  
  
 ମାନୋରାଜ୍ୟ ୧. 328  
 ମାନୁଶରୀର୍ଥ ୧. 497  
 ମାନୁଶରୀର୍ଥ ୨. 439  
 ମନ୍ଦିରାଶ୍ରୀ ୧. 328  
 ମନ୍ଦିରାଶ୍ରୀ ୨. 588  
 ମନ୍ଦିରାଶ୍ରୀ ୩. 159  
 ମନ୍ଦିରାଶ୍ରୀ ୪. 144  
 ମାନ୍ଦଗୀରାନ୍ତ ୪. 444  
 ମାନ୍ଦଗୀରାନ୍ତ ୬. 68  
 ମାନ୍ଦଗୀରାନ୍ତଶ୍ଵରାଳୀ ୨. 692  
 ମାନ୍ଦଗୀରାନ୍ତଶ୍ଵରାଳୀ ୩. 183, 707  
 ମାନ୍ଦଗୀରାନ୍ତଶ୍ଵରାଳୀ ୪. 328  
 ମାନ୍ଦଗୀରାନ୍ତଶ୍ଵରାଳୀ ୫. 344  
 ମାନ୍ଦଗୀରାନ୍ତଶ୍ଵରାଳୀ ୬. 195  
 ମାନ୍ଦଗୀରାନ୍ତଶ୍ଵରାଳୀ ୭. 140  
 ମାନ୍ଦଗୀରାନ୍ତଶ୍ଵରାଳୀ ୯. 127  
 ମେଘରୀତଶ୍ଵରାଳୀ ୧. 404  
 ମେଘରୀତଶ୍ଵରାଳୀ ୨. 711  
 ମେଲାଶ୍ରୀ ୧. 355  
 ମେଲାଶ୍ରୀ ୨. 747  
 ମେଲାଶ୍ରୀ ୩. 636  
 ମେନ୍ଦରଶ୍ଵରାଳୀ ୬. 171  
 ମିନ୍ଦନୀ ୩. 104  
 ମିନ୍ଦନୀ ୫. 723  
 ମିନ୍ଦନୀ ୬. 667  
 ମିନ୍ଦନୀଶ୍ଵରାଳୀ ୧. 568  
 ମିନ୍ଦନୀଶ୍ଵରାଳୀ ୨. 159  
 ମିନ୍ଦନୀଶ୍ଵରାଳୀ ୩. 68  
 ମିନ୍ଦନୀଶ୍ଵରାଳୀ ୪. 620  
 ମିନ୍ଦନୀଶ୍ଵରାଳୀ ୫. 412, 680  
  
 ମାନ୍ଦାରାଜା ୧. 579  
 ମାନ୍ଦାରାଜାଶ୍ଵରାଳୀ ୨. 64, 595  
 ମାନ୍ଦାରାଜାଶ୍ଵରାଳୀ ୩. 468  
 ମାନ୍ଦାରାଜାଶ୍ଵରାଳୀ ୪. 303  
 ମାନ୍ଦାରାଜାଶ୍ଵରାଳୀ ୫. 167  
 ମିନ୍ଦାଶ୍ରୀ ୧. 152  
 ମିନ୍ଦାଶ୍ରୀ ୨. 624  
 ମାନ୍ଦାରାଜାଶ୍ଵରାଳୀ ୩. 348, 628  
 ମାନ୍ଦାରାଜାଶ୍ଵରାଳୀ ୪. 419  
 ମାନ୍ଦାରାଜାଶ୍ଵରାଳୀ ୫. 156  
 ମାନ୍ଦାରାଜାଶ୍ଵରାଳୀ ୬. 396  
 ମେମୁନାଶ୍ରୀ ୨. 211  
 ମେମୁନାଶ୍ରୀ ୩. 731
- ମେନ୍ଦନୀଶ୍ଵରାଳୀ ୧. 412, 680  
 ମେନ୍ଦନୀଶ୍ଵରାଳୀ ୨. 544  
 ମେନ୍ଦନୀଶ୍ଵରାଳୀ ୩. 180  
  
 ମରାଗ୍ରେଲିଂଡ୍ ୨. 404  
 ମର୍କିନ୍ହେଲିଂଡ୍ ୩. 364  
  
 ମାନ୍ଦନୀଶ୍ଵରାଳୀ ୧. 551  
 ମାନ୍ଦନୀଶ୍ଵରାଳୀ ୨. 396  
 ମାନ୍ଦନୀଶ୍ଵରାଳୀ ୩. 412, 680  
  
 ମର୍କିନ୍ହେଲିଂଡ୍ ୧. 278,  
 ୫୩୪  
 ମର୍କିନ୍ହେଲିଂଡ୍ ୭୨୮  
  
 ମାନ୍ଦନୀଶ୍ଵରାଳୀ ୨. 564  
 ମାନ୍ଦନୀଶ୍ଵରାଳୀ ୩. 316  
 ମାନ୍ଦନୀଶ୍ଵରାଳୀ ୪. 79  
 ମାନ୍ଦନୀଶ୍ଵରାଳୀ ୫. 163  
 ମାନ୍ଦନୀଶ୍ଵରାଳୀ ୬. 147  
 ମାନ୍ଦନୀଶ୍ଵରାଳୀ ୭. 183, 707  
 ମାନ୍ଦନୀଶ୍ଵରାଳୀ ୮. 548  
 ମାନ୍ଦନୀଶ୍ଵରାଳୀ ୯. 672  
  
 ମାନ୍ଦନୀଶ୍ଵରାଳୀ ୧. 747  
 ମାନ୍ଦନୀଶ୍ଵରାଳୀ ୨. 180  
 ମାନ୍ଦନୀଶ୍ଵରାଳୀ ୩. 584  
 ମାନ୍ଦନୀଶ୍ଵରାଳୀ ୪. 599  
 ମାନ୍ଦନୀଶ୍ଵରାଳୀ ୫. 144  
 ମାନ୍ଦନୀଶ୍ଵରାଳୀ ୬. 628  
 ମାନ୍ଦନୀଶ୍ଵରାଳୀ ୭. 91  
 ମାନ୍ଦନୀଶ୍ଵରାଳୀ ୮. 100  
 ମାନ୍ଦନୀଶ୍ଵରାଳୀ ୯. 344  
 ମାନ୍ଦନୀଶ୍ଵରାଳୀ ୧୦. 75  
 ମାନ୍ଦନୀଶ୍ଵରାଳୀ ୧୧. 75  
 ମାନ୍ଦନୀଶ୍ଵରାଳୀ ୧୨. 632  
 ମାନ୍ଦନୀଶ୍ଵରାଳୀ ୧୩. 723  
 ମାନ୍ଦନୀଶ୍ଵରାଳୀ ୧୪. 159  
  
 ମାନ୍ଦନୀଶ୍ଵରାଳୀ ୧୫. 723  
 ମାନ୍ଦନୀଶ୍ଵରାଳୀ ୧୬. 203  
 ମାନ୍ଦନୀଶ୍ଵରାଳୀ ୧୭. 140  
  
 ମାନ୍ଦନୀଶ୍ଵରାଳୀ ୧୮. 477  
 ମାନ୍ଦନୀଶ୍ଵରାଳୀ ୧୯. 599  
 ମାନ୍ଦନୀଶ୍ଵରାଳୀ ୨୦. 436  
 ମାନ୍ଦନୀଶ୍ଵରାଳୀ ୨୧. 364  
  
 ମାନ୍ଦନୀଶ୍ଵରାଳୀ ୨୨. 200  
 ମାନ୍ଦନୀଶ୍ଵରାଳୀ ୨୩. 628  
 ମାନ୍ଦନୀଶ୍ଵରାଳୀ ୨୪. 219  
 ମାନ୍ଦନୀଶ୍ଵରାଳୀ ୨୫. 355  
 ମାନ୍ଦନୀଶ୍ଵରାଳୀ ୨୬. 291  
 ମାନ୍ଦନୀଶ୍ଵରାଳୀ ୨୭. 284
- ମାନ୍ଦନୀଶ୍ଵରାଳୀ ୨୮. 312  
 ମାନ୍ଦନୀଶ୍ଵରାଳୀ ୨୯. 147  
 ମାନ୍ଦନୀଶ୍ଵରାଳୀ ୩୦. 616  
 ମାନ୍ଦନୀଶ୍ଵରାଳୀ ୩୧. 620  
 ମାନ୍ଦନୀଶ୍ଵରାଳୀ ୩୨. 620  
 ମାନ୍ଦନୀଶ୍ଵରାଳୀ ୩୩. 107  
  
 ମାନ୍ଦନୀଶ୍ଵରାଳୀ ୩୪. 676  
 ମାନ୍ଦନୀଶ୍ଵରାଳୀ ୩୫. 404  
 ମାନ୍ଦନୀଶ୍ଵରାଳୀ ୩୬. 203  
  
 ମାନ୍ଦନୀଶ୍ଵରାଳୀ ୩୭. 319  
 ମାନ୍ଦନୀଶ୍ଵରାଳୀ ୩୮. 720  
 ମାନ୍ଦନୀଶ୍ଵରାଳୀ ୩୯. 715  
 ମାନ୍ଦନୀଶ୍ଵରାଳୀ ୪୦. 187  
  
 ମାନ୍ଦନୀଶ୍ଵରାଳୀ ୪୧. 107  
 ମାନ୍ଦନୀଶ୍ଵରାଳୀ ୪୨. 323  
 ମାନ୍ଦନୀଶ୍ଵରାଳୀ ୪୩. 112, 372  
 ମାନ୍ଦନୀଶ୍ଵରାଳୀ ୪୪. 87  
 ମାନ୍ଦନୀଶ୍ଵରାଳୀ ୪୫. 91  
 ମାନ୍ଦନୀଶ୍ଵରାଳୀ ୪୬. 331  
 ମାନ୍ଦନୀଶ୍ଵରାଳୀ ୪୭. 604  
  
 ମାନ୍ଦନୀଶ୍ଵରାଳୀ ୪୮. 367  
 ମାନ୍ଦନୀଶ୍ଵରାଳୀ ୪୯. 192  
 ମାନ୍ଦନୀଶ୍ଵରାଳୀ ୫୦. 624  
 ମାନ୍ଦନୀଶ୍ଵରାଳୀ ୫୧. 308  
 ମାନ୍ଦନୀଶ୍ଵରାଳୀ ୫୨. 412, 680  
  
 ମାନ୍ଦନୀଶ୍ଵରାଳୀ ୫୩. 352  
  
 ମାନ୍ଦନୀଶ୍ଵରାଳୀ ୫୪. 728  
 ମାନ୍ଦନୀଶ୍ଵରାଳୀ ୫୫. 555  
 ମାନ୍ଦନୀଶ୍ଵରାଳୀ ୫୬. 477, 723  
 ମାନ୍ଦନୀଶ୍ଵରାଳୀ ୫୭. 604  
 ମାନ୍ଦନୀଶ୍ଵରାଳୀ ୫୮. 451  
 ମାନ୍ଦନୀଶ୍ଵରାଳୀ ୫୯. 696  
 ମାନ୍ଦନୀଶ୍ଵରାଳୀ ୬୦. 501  
 ମାନ୍ଦନୀଶ୍ଵରାଳୀ ୬୧. 676  
 ମାନ୍ଦନୀଶ୍ଵରାଳୀ ୬୨. 144  
 ମାନ୍ଦନୀଶ୍ଵରାଳୀ ୬୩. 711  
 ମାନ୍ଦନୀଶ୍ଵରାଳୀ ୬୪. 476  
 ମାନ୍ଦନୀଶ୍ଵରାଳୀ ୬୫. 135, 384  
 ମାନ୍ଦନୀଶ୍ଵରାଳୀ ୬୬. 493  
 ମାନ୍ଦନୀଶ୍ଵରାଳୀ ୬୭. 484  
  
 ମାନ୍ଦନୀଶ୍ଵରାଳୀ ୬୮. 203  
 ମାନ୍ଦନୀଶ୍ଵରାଳୀ ୬୯. 215  
 ମାନ୍ଦନୀଶ୍ଵରାଳୀ ୭୦. 684  
 ମାନ୍ଦନୀଶ୍ଵରାଳୀ ୭୧. 367,  
 624  
 ମାନ୍ଦନୀଶ୍ଵରାଳୀ ୭୨. 91  
 ମାନ୍ଦନୀଶ୍ଵରାଳୀ ୭୩. 39

- ციხელშეკლი გ. 152  
ცხადადებ. 737  
ძაღნია თ. 684  
ძევიცებ. 632  
ჭაქებ. გ. 64, 595  
ჭიკლური თ. 112, 372  
ჭიწუაშვილი გ. 215  
ჭუწუნავა თ. 91
- ჭიათურებ. ა. 163  
ჭიბაშვილი დ. 364  
ჭოლოშვილი გ. 276
- ხამურანია ა. 331  
ხანანაშვილი ლ. 620  
ხარზიშვილი ა. 540  
ხარტიშვილი თ. 75  
ხელაია ლ. 300  
ხეცურიანი კ. 477
- ხევდელიძე ბ. 532  
ხოჭოლავა ვ. 576  
ხუდოიდატოვი ბ. 728
- ჯავახიშვილი ა. 704  
ჯავახიშვილი გ. 52  
ჯიხოლია შ. 463  
ჯოხაძე გ. 344  
ჯლარეკა დ. 559

## УКАЗАТЕЛЬ АВТОРОВ 97-го ТОМА

- Абашидзе Ж. Н. 93  
Абашидзе Э. Д. 713  
Авалиани А. Ш. 109  
Авалишвили К. В. 57  
Агладзе Г. Р. 101  
Агладзе Р. И. 101  
Адейшвили Т. Г. 325  
Аладашвили Л. О. 479  
Ананиашвили П. А. 221  
Андриадзе М. И. 421  
Андроникашвили Т. Г.  
365  
Арабули А. И. 734  
Арешидзе М. Л. 641  
Асатиани Г. Н. 141  
Асланидзе Н. П. 293  
Асланиашвили Н. А.  
649  
Баврин И. И. 21, 285  
Багишвили М. Г. 365  
Барнабишвили Д. Н. 361  
Бедианашвили Г. В. 489  
Бенашвили Е. М. 641  
Бердзенишвили Т. Л.  
605  
Бернашвили Т. В. 437  
Бицадзе М. Г. 41  
Бичиашвили Д. В. 657  
Бугнанишвили Д. Я. 353  
Букия Г. В. 397  
Бумаков М. В. 581  
Бурчак-Абрамович Н. И.  
485  
Бусов С. Н. 629  
Бычкова Л. П. 601  
  
Ваченишвили Н. С. 369  
Вашакмадзе Т. И. 479  
Векуა А. К. 485
- Векуა Л. В. 81  
Венхладзе А. Н. 589  
Веренинов И. А. 409, 677  
Винтайкин Е. З. 597  
Ворнычев А. А. 317
- Габисония Ц. Д. 343  
Габричидзе О. А. 105  
Гагидзе Г. В. 65  
Гагуა А. М. 205, 469  
Гаджиев Д. В. 485  
Гариашвили Т. Г. 173, 445  
Гахокидзе Р. А. 97  
Гачечиладзе Т. Г. 321  
Гварамадзе Н. Д. 93  
Гвинепадзе Г. Ш. 673  
Гегиадзе Г. Г. 601  
Геладзе В. Ш. 113, 645  
Гергедава Б. А. 373  
Гзиришвили Т. Г. 337  
Гигаури Р. Д. 349  
Гловели Т. Б. 425, 697  
Гогилашвили В. Н. 389,  
393  
Гогишвили В. Г. 133, 381  
Гоголадзе О. В. 581  
Гогуა Л. Д. 597  
Годердзишвили Л. И.  
349  
Гольдштейн Я. Е. 141  
Гонгадзе Л. Р. 201  
Горгидзе А. Д. 417  
Горяйнов В. М. 205  
Готовадзе Г. О. 401  
Гоциридзе Г. Ш. 508  
Гоциридзе И. А. 213  
Гугушвили Л. Л. 205  
Гудушаури О. Н. 201  
Гургенидзе З. И. 637  
Гургенидзе Н. И. 349
- Даварашвили О. И. 601  
Давиташвили Н. С. 385  
Давланидзе Р. В. 745  
Двали Н. В. 109, 369  
Демиков В. П. 205  
Джаркава Д. Т. 557  
Джавахишвили А. А. 701  
Джавахишвили Г. И. 49  
Джинджолия Ш. П. 461  
Джохадзе Г. М. 341  
Дзагахия Т. Б. 681  
Дзевицкий Б. Э. 629  
Диасамиძე Ш. П. 77  
Дидманиძე Э. А. 453  
Долидзе Е. И. 701  
Долин В. Г. 189  
Домуховский В. П. 133,  
381  
Дохнер Р. В. 69  
Дурмишидзе С. В. 437  
Дылов Б. П. 629  
Жижишвили Л. В. 17,  
277, 533  
Жоржладзе Т. К. 725  
Заалишвили Т. М. 441  
Заалишвили Э. А. 181,  
705  
Замбахидзе Л. Г. 569  
Звиададзе Г. Н. 629  
Зильберштейн А. М. 149  
Зломанов В. П. 601  
Иванишвили М. Н. 756  
Илашвили Т. А. 333  
Индгия Р. Г. 333  
Индгия М. А. 349  
Иорамашвили Д. Ш. 357  
Носелевич В. А. 305  
Носелиани К. Б. 633

- Иоселиани М. С. 77  
 Иоселиани Т. К. 425  
 Ищенко Е. В. 529
- Какулия В. К. 81  
 Калабегишвили Т. Л. 317  
 Канделаки Р. А. 457  
 Карбелашвили М. Ю. 744  
 Каркарашвили Л. Ш.  
     717  
 Каркашадзе З. И. 145  
 Катамадзе Р. Г. 309  
 Кахеладзе К. Б. 681  
 Кахниашвили А. И. 353  
 Кацарава М. В. 377  
 Кацарава Н. Н. 201  
 Кацахидзе Н. К. 609  
 Кащакашвили Л. Л. 613  
 Кашиш Б. С. 29  
 Кванталиани И. В. 121  
 Квачадзе Н. С. 165  
 Кереселидзе Р. В. 637  
 Киквидзе И. Н. 429  
 Кикнадзе Т. З. 117  
 Кипиани А. А. 713  
 Киртадзе Г. Ш. 321  
 Коган Я. А. 405  
 Колаковский А. А. 413,  
     685  
 Копаев А. В. 25  
 Коршунов А. А. 405  
 Косинский А. В. 53  
 Коява Н. А. 617  
 Криалашвили И. В. 601  
 Курашвили А. Ш. 185  
 Кусов И. Ф. 581  
 Кутателадзе Г. Ш. 105,  
     617  
 Кучухидзе З. А. 653
- Лабадзе А. И. 681  
 Лазриева Н. А. 553  
 Ланчава О. А. 663  
 Лежава Т. А. 421  
 Леонов Н. А. 325  
 Лурсманашвили О. В.  
     609  
 Лурсманашвили Т. З.  
     149
- Майоров А. Д. 325  
 Майсурадзе М. Д. 498  
 Майсурадзе Ц. М. 437  
 Манагадзе Г. Г. 325
- Манджапарашвили Т. В.  
     585  
 Манджгаладзе П. В. 157  
 Манджгаладзе С. Н. 141  
 Маргиани Д. О. 441  
 Маргиани Н. Г. 65  
 Мардалейшвили Т. К.  
     689  
 Марсагишивили Г. А. 181,  
     705
- Мартинсон А. А. 325  
 Махарадзе Л. И. 137  
 Мачаладзе Т. Е. 341  
 Мачарашивили Д. Н. 193  
 Мгалоблишвили И. З.  
     125  
 Мегрелидзе Э. С. 709  
 Мегрелишвили К. Я. 401  
 Меладзе С. М. 353  
 Меликадзе Л. Д. 633  
 Мелитаури К. Н. 745  
 Ментешашвили Н. П.  
     169  
 Микадзе Э. Н. 721  
 Микеладзе А. С. 665  
 Минкашвили М. В. 565  
 Миндин В. Ю. 101  
 Морозов А. М. 157  
 Мосулишвили Л. М. 65  
 Мукбаниани О. В. 617  
 Мусхелишвили Г. Н. 409,  
     678
- Надарая Э. А. 577  
 Надирадзе Р. Г. 301  
 Надирашвили З. Ш. 61,  
     593  
 Надирашвили Ц. А. 465  
 Наникашвили П. М. 621  
 Нанобашвили Е. М. 345,  
     625  
 Намгладзе П. Б. 149  
 Напетваридзе Т. Ш. 153  
 Наскидашвили П. П. 417  
 Натишивили Т. А. 165  
 Нацвалишвили З. С. 393  
 Немсадзе К. П. 729  
 Немсадзе Т. Ш. 209  
 Нечипоренко М. И. 409,  
     677  
 Нечитайлова Л. С. 541  
 Нуцубидзе Н. Н. 177
- Окропиридзе Ц. М. 361  
 Орагвелидзе Т. И. 405
- Павленишвили И. В. 197  
 Панков А. А. 549  
 Панчвидзе М. В. 625  
 Папалашвили И. Ш. 393  
 Парджикия Д. С. 353  
 Парцхаладзе Н. Н. 217  
 Пирашвили Т. И. 289  
 Пурадашвили Д. К. 409,  
     677
- Раджибов М. М. 77  
 Размадзе С. А. 561  
 Ратишвили И. Г. 313  
 Реберг Г. 161  
 Рижинашвили Р. С. 181,  
     705
- Руруа Г. Б. 669  
 Рыжков В. В. 545  
 Рябов Г. К. 145
- Садрадзе В. Г. 745  
 Садунишвили Т. А. 177  
 Самойлова Н. И. 581  
 Санадзе В. В. 597  
 Сванидзе Е. О. 625  
 Сванидзе О. П. 89  
 Сергеева Л. В. 141  
 Сидамонидзе Н. Н. 97  
 Сирадзе Р. В. 341  
 Сихарулидзе Г. А. 73  
 Сихарулидзе Е. И. 73  
 Скоробогатова Г. А.  
     629  
 Соловьев П. И. 721  
 Судаков Д. М. 157
- Тавадзе Л. Ф. 141  
 Тавхелидзе Д. С. 385  
 Тадумадзе Т. А. 33  
 Тактакишвили С. Д. 465  
 Тамазян А. С. 414  
 Татишивили Н. И. 721  
 Тогояндзе Б. М. 201  
 Тодадзе Т. П. 129  
 Тодрия М. К. 341  
 Тодуа Д. А. 589  
 Топчишивили Р. А. 751  
 Тотибадзе Н. К. 457  
 Турабелидзе В. Г. 137
- Убери Н. П. 479  
 Удовенко В. А. 597  
 უნგადзе ა. ა. 433  
 ურუშაძე მ. ვ. 361

- Фришинг В. А. 281  
 Хабурзания И. А. 329  
 Хананашвили Л. М. 617  
 Харазишвили А. Б. 537  
 Харatiшвили О. А. 73  
 Хведелидзе Б. В. 529  
 Хелая Л. Г. 297  
 Хецуриани К. Г. 479  
 Хочолава В. В. 573  
 Худайдатов Б. Р. 725  
 Цагарели З. Г. 201  
 Цакадзе Дж. С. 61, 593  
 Цалугелашвили А. Р. 213  
 Циклаури О. Г. 109, 369  
 Циромуа Г. С. 681  
 Цихелашвили Э. И. 149  
 Цицишвили А. Р. 37  
 Цицишвили Г. В. 361,  
                         365, 621  
 Цицишвили Л. Д. 89  
 Цицуашвили Э. М. 213  
 Цуцунава Т. И. 89  
 Чхададзе Б. А. 739  
 Чайка И. К. 365  
 Чантладзе Т. И. 189  
 Чарквани М. К. 621  
 Чахтаuri Г. А. 305  
 Черкесов Г. Н. 409, 677  
 Чернокальский Б. Д. 349  
 Чертин Н. Б. 725  
 Чигвинадзе Т. Д. 449  
 Чиджавадзе Ш. Я. 503  
 Чикадзе А. В. 161  
 Чиковани М. М. 479, 721  
 Чиковани Р. И. 601  
 Чипашвили Д. С. 361  
 Читашвили Р. Я. 553  
 Чихория Н. Я. 693  
 Чоговадзе Г. Г. 673  
 Чогошвили Г. С. 273  
 Чуватина С. Н. 141  
 Чумакова А. И. 709  
 Чхандзе З. К. 473  
 Чхенидзе Р. Г. 133, 381  
 Чхенкели Л. М. 496  
 Чхенкели С. А. 481  
 Шавгулидзе В. В. 105  
 Шалин Р. Е. 321  
 Шаповал В. И. 109, 369  
 Швелашивили А. Е. 89  
 Шенгелия Г. Ш. 85  
 Шолло Л. Е. 329  
 Шотов А. П. 601  
 Эбралидзе А. Д. 45  
 Эдилашвили И. Л. 634  
 Эдилашвили Л. А. 173,  
                         445  
 Эристави В. Д. 613  
 Эсадзе Н. А. 701  
 Юфин С. А. 605

### AUTHOR INDEX TO VOLUME 97

- Abashidze E. D. 716  
 Abashidze Z. H. 96  
 Adeishvili T. G. 328  
 Agladze G. R. 104  
 Agladze R. I. 104  
 Aladashvili L. O. 480  
 Ananashvili P. A. 224  
 Andriadze M. I. 424  
 Andronikashvili T. G. 368  
 Arabuli A. I. 735  
 Areshidze M. L. 644  
 Asatiani G. N. 144  
 Aslanidi N. P. 296  
 Aslanikashvili N. A. 651  
 Avaliani A. Sh. 112  
 Avalishvili K. V. 59  
 Bagishvili M. G. 368  
 Barnabishvili D. N. 364  
 Bavrin I. I. 23, 287  
 Bedriashvili G. V. 492  
 Benashvili E. M. 644  
 Berzenishvili T. L. 608  
 Beriashvili T. V. 439  
 Bichiashvili D. V. 659  
 Bitsadze M. G. 43  
 Brgianishvili D. I. 356  
 Bukia G. B. 399  
 Bulgakov M. V. 584  
 Burchak-Abramovich N. I.  
                         488  
 Busov S. N. 632  
 Bychkova L. P. 604  
 Chakhtauri G. A. 308  
 Charitladze T. I. 192  
 Chaika I. K. 368  
 Charkviani M. K. 624  
 Cherkesov G. N. 412, 680  
 Chernokalsky B. D. 352  
 Chertin N. B. 728  
 Chigvinadze T. D. 452  
 Chijavadze Sh. I. 503  
 Chikadze A. V. 164  
 Chikhoria N. I. 696  
 Chikovani R. I. 604  
 Chikovani M. M. 48, 724  
 Chipashvili D. S. 364  
 Chitashvili R. Ya. 556  
 Chkhaidze Z. K. 476  
 Chkheidze R. G. 136, 384  
 Chkhenkeli L. M. 496  
 Chkhenkeli S. A. 484  
 Chogoshvili G. S. 276  
 Chogovadze G. G. 676  
 Chumakov A. I. 711  
 Chuvalina S. N. 144  
 Davarashvili O. I. 604  
 Davitashvili N. S. 388  
 Davlianidze R. V. 747  
 Demikhov V. P. 208  
 Diasamidze Sh. P. 79  
 Didmanidze E. A. 456  
 Dokhner R. D. 72  
 Dolidze E. I. 704  
 Dolin V. G. 192  
 Domukhovski V. P. 136,  
                         384  
 Durmishidze S. V. 439  
 Dvali N. V. 112, 372  
 Dymov B. P. 632  
 Dzagania T. E. 684  
 Dzevitski B. E. 632  
 Ebralidze A. D. 47  
 Edilashvili I. L. 636

- Edilashvili L. A. 176 448  
 Eristavi V. D. 616  
 Frishling V. A. 284  
 Gabisonia Ts. D. 348  
 Gabrichidze O. A. 108  
 Gachechiladze T. G. 324  
 Gadzhev D. V. 488  
 Gagnidze G. V. 68  
 Gagua A. M. 208, 472  
 Gakhokidze R. A. 100  
 Garishvili T. G. 176, 448  
 Gegiadze G. G. 604  
 Geladze V. Sh. 116, 648  
 Gergedava B. A. 376  
 Gigauri R. D. 352  
 Gloveli T. B. 428, 700  
 Goderdzishvili L. I. 352  
 Gogilashvili V. N. 392,  
     396  
 Gogishvili V. G. 136, 384  
 Gogoladze O. V. 592  
 Gogua L. D. 600  
 Goldshtein I. E. 144  
 Gongadze L. R. 204  
 Gorgidze A. D. 420  
 Goryainov V. M. 208  
 Gotsiridze G. Sh. 508  
 Gotsiridze I. A. 208  
 Gotvadze G. O. 404  
 Gugushvili L. L. 208  
 Gudushauri O. N. 204  
 Gurgenidze N. I. 352  
 Gurgenidze Z. I. 639  
 Gvaramadze N. D. 96  
 Gvinepadze G. Sh. 676  
 Gzirishvili T. G. 360  
 Ilashvili T. A. 336  
 Injgia R. G. 336  
 Injia M. A. 352  
 Ioramashvili D. Sh. 360  
 Ioselevich V. A. 308  
 Ioseliani K. B. 636  
 Ioseliani M. S. 79  
 Ioseliani T. K. 428  
 Ishchenko E. V. 532  
 Ivanishvili M. N. 756  
 Javakhishvili A. A. 704  
 Javakhishvili G. I. 52  
 Jgarkava D. T. 560  
 Jinjolia Sh. R. 464  
 Jokhadze G. M. 344  
 Kachakhidze N. K. 612  
 Kacharava M. V. 380  
 Kacharava N. N. 204  
 Kakhetadze K. G. 684  
 Kakhiashvili A. I. 356  
 Kakulia V. K. 84  
 Kalabegishvili T. L. 319  
 Kandelaki R. A. 460  
 Karbelashvili M. I. 744  
 Karkarashvili L. Sh. 720  
 Karkashadze Z. I. 147  
 Kashakashvili L. L. 616  
 Kashin B. S. 32  
 Katamadze R. G. 312  
 Kereselidze R. V. 639  
 Khaburzania I. A. 332  
 Khananashvili L. M. 620  
 Kharatishvili O. A. 76  
 Kharazishvili A. B. 540  
 Khelaia L. G. 300  
 Khetsuriani K. G. 480  
 Khocholava V. V. 576  
 Khudaidatov B. R. 728  
 Khvedelidze B. V. 582  
 Kiknadze T. Z. 120  
 Kiknadze I. N. 432  
 Kipiani A. A. 716  
 Kirtadze G. Sh. 324  
 Kogan Ya. A. 408  
 Koiava N. A. 620  
 Kolakovskiy A. A. 415,  
     688  
 Kopaev A. V. 28  
 Korshunov A. A. 408  
 Kosinsky A. V. 56  
 Krialashvili I. V. 604  
 Kuchukhidze Z. A. 656  
 Kurashvili A. Sh. 187  
 Kusov I. F. 584  
 Kutatladze G. Sh. 108,  
     620  
 Kvachadze N. S. 168  
 Kvartialiani I. V. 124  
 Labadze A. I. 684  
 Lanchava O. A. 663  
 Lazrieva N. L. 556  
 Leonov N. A. 328  
 Lezhava T. A. 424  
 Lursmanashvili O. V. 612  
 Lursmanashvili T. Z. 152  
 Machaladze T. E. 344  
 Macharashvili D. N. 196  
 Maiorov A. D. 328  
 Maisuradze M. D. 499  
 Maisuradze Ts. M. 439  
 Makharadze L. I. 140  
 Managadze G. G. 328  
 Manjaparashvili T. V. 588  
 Manjgaladze P. V. 159  
 Manjgaladze S. N. 144  
 Mardaleishvili T. K. 692  
 Margiani D. O. 444  
 Margiani N. G. 68  
 Marsagishvili G. A. 184,  
     707  
 Martinson A. A. 328  
 Megrelidze E. S. 711  
 Megrelishvili K. I. 404  
 Meladze S. M. 356  
 Melikadze L. D. 636  
 Melitauri K. N. 747  
 Menteshashvili N. P. 171  
 Mgaloblishvili I. Z. 127  
 Mikadze E. N. 724  
 Mikeladze A. S. 668  
 Mikiaishvili M. V. 568  
 Mindin V. Yu. 104  
 Morozov A. M. 159  
 Mosulishvili L. M. 68  
 Mukbaniani O. V. 620  
 Muskhelishvili G. N. 412,  
     680  
 Nadaraia F. A. 579  
 Nadiradze R. G. 303  
 Nadirashvili Ts. A. 468  
 Nadirashvili Z. Sh. 64, 596  
 Namgaladze P. B. 152  
 Nanikashvili P. M. 624  
 Nanobashvili E. M. 348,  
     628  
 Napetvaridze T. Sh. 156  
 Naskidashvili P. P. 420  
 Natishvili T. A. 168  
 Natsvlishvili Z. S. 396  
 Nechiporenko M. I. 412,  
     680  
 Nechitailova L. S. 544  
 Nemsadze K. P. 732  
 Nemsadze T. Sh. 212  
 Nutsubidze N. N. 180  
 Okropiridze Ts. M. 364  
 Oragvelidze T. I. 408  
 Panchvidze M. V. 628  
 Pankov A. A. 551

- 
- |                                 |                                      |                                   |
|---------------------------------|--------------------------------------|-----------------------------------|
| Papalashvili I. Sh. 396         | Sikharulidze G. A. 76                | Tskhadadze B. A. 739              |
| Parjikia D. S. 356              | Siradze R. V. 344                    | Tsutsunava T. I. 92               |
| Partskhaladze N. N. 219         | Skorobogatov G. A. 632               | Turabelidze V. G. 140             |
| Pavlenishvili J. V. 200         | Solovyov P. I. 724                   |                                   |
| Pirashvili T. I. 292            | Svanidze E. O. 628                   | Uberi N. P. 480                   |
| Puradashvili J. K. 412,<br>680  | Svanidze O. P. 92                    | Udovenko V. A. 600                |
| Rajabov M. M. 79                | Sudakov D. M. 159                    | Ungiadze A. A. 436                |
| Ratishvili I. G. 316            | Tadumadze T. A. 36                   | Urushadze M. V. 364               |
| Razmadze S. A. 564              | Taktakishvili S. D. 468              |                                   |
| Rehberg G. 164                  | Tamazjan A. S. 444                   | Vacheishvili N. S. 372            |
| Rizhinashvili R. S. 184,<br>707 | Tatishvili N. I. 724                 | Vashakmadze T. I. 480             |
| Rurua G. B. 672                 | Tavadze L. F. 144                    | Vekua A. K. 488                   |
| Ruzhkov V. V. 548               | Tavkhelidze D. S. 388                | Vekua L. V. 84                    |
| Ryabov G. K. 148                | Todadze T. P. 132                    | Vepkhvadze A. N. 592              |
| Sadradshe V. G. 747             | Todria M. K. 344                     | Vereninov I. A. 412, 680          |
| Sadunishvili T. A. 180          | Todua D. A. 592                      | Vintaikin Ye. Z. 600              |
| Samoilova N. I. 584             | Togonidze B. M. 204                  | Vornichev A. A. 319               |
| Sanadze V. V. 600               | Topchishvili R. A. 752               | Yobin T. L. 608                   |
| Sergeeva I. V. 144              | Totibadze N. K. 460                  | Zaalishvili E. A. 184, 707        |
| Shalin R. E. 324                | Tsagareli Z. G. 204                  | Zaalishvili T. M. 444             |
| Shapoval V. I. 112, 372         | Tsakadze J. S. 64, 596               | Zambakhidze I. G. 572             |
| Shavgulidze V. V. 108           | Tsalugelashvili A. R. 216            | Zhorzholidze T. K. 728            |
| Shengelaia G. Sh. 88            | Tsikhelashvili Z. I. 152             | Zilbershtein A. M. 152            |
| Sholpo L. E. 332                | Tsiklauri O. G. 112, 372             | Ziziashvili L. V. 19,<br>279, 535 |
| Shotov A. P. 604                | Tsiramua G. S. 684                   | Zlomanov V. P. 604                |
| Shivelashvili A. E. 92          | Tsitsishvili G. V. 364,<br>368, 624. | Zviadadze G. N. 632               |
| Sidamonidze N. N. 100           | Tsitsishvili L. D. 92                |                                   |
| Sikharulidze E. I. 76           | Tsitskishvili A. R. 40               |                                   |
|                                 | Tsitsuashvili E. M. 216              |                                   |

## К СВЕДЕНИЮ АВТОРОВ

1. В журнале «Сообщения АН ГССР» публикуются статьи академиков, членов-корреспондентов, научных работников системы Академии и других ученых, содержащие еще не опубликованные новые значительные результаты исследований. Печатаются статьи лишь из тех областей науки, номенклатурный список которых утвержден Президиумом АН ГССР.

2. В «Сообщениях» не могут публиковаться полемические статьи, а также статьи обзорного или описательного характера по систематике животных, растений и т. п., если в них не представлены особенно интересные научные результаты.

3. Статьи академиков и членов-корреспондентов АН ГССР принимаются непосредственно в редакции «Сообщений», статьи же других авторов представляются академиком или членом-корреспондентом АН ГССР. Как правило, академик или член-корреспондент может представить для опубликования в «Сообщениях» не более 12 статей разных авторов (только по своей специальности) в течение года, т. е. по одной статье в каждый номер, собственные статьи—без ограничения, а с соавторами—не более трех. В исключительных случаях, когда академик или член-корреспондент требует представления более 12 статей, вопрос решает главный редактор. Статьи, поступившие без представления передаются редакцией академику или члену-корреспонденту для представления. Один и тот же автор (за исключением академиков и членов-корреспондентов) может опубликовать в «Сообщениях» не более трех статей (независимо от того, с соавторами она или нет) в течение года.

4. Статья должна быть представлена автором в двух экземплярах, в готовом для печати виде, на грузинском или на русском языке, по желанию автора. К ней должны быть приложены резюме — к грузинскому тексту на русском языке, а к русскому на грузинском, а также краткое резюме на английском языке. Объем статьи, включая иллюстрации, резюме и список цитированной литературы, приводимой в конце статьи, не должен превышать четырех страниц журнала (8000 типографских знаков), или шести стандартных страниц машинописного текста, отпечатанного через два интервала (статьи же с формулами — пяти страниц). Представление статьи по частям (для опубликования в разных номерах) не допускается. Редакция принимает от автора в месяц только одну статью.

5. Представление академика или члена-корреспондента на имя редакции должно быть написано на отдельном листе с указанием даты представления. В нем необходимо указать: новое, что содержится в статье, научную ценность результатов, насколько статья отвечает требованиям пункта I настоящего положения.

6. Статья не должна быть перегружена введением, обзором, таблицами, иллюстрациями и цитированной литературой. Основное место в ней должно быть отведено результатам собственных исследований. Если по ходу изложения в статье сформулированы выводы, не следует повторять их в конце статьи.

7. Статья оформляется следующим образом: вверху страницы в середине пишутся инициалы и фамилия автора, затем — название статьи; справа вверху представляющий статью указывает, к какой области науки относится она. В конце основного текста статьи с левой стороны автор указывает полное название и местонахождение учреждения, где выполнена данная работа.

8. Иллюстрации и чертежи должны быть представлены по одному экземпляру в конверте; чертежи должны быть выполнены черной тушью на кальке. Надписи на чертежах должны быть выполнены каллиграфически в таких размерах, чтобы даже в случае уменьшения они оставались отчетливыми. Подрисуночные подписи, сделанные на языке основного текста, должны быть представлены на отдельном



листе. Не следует приклеивать фото и чертежи к листам оригинала. На ~~заголовок~~<sup>обложку</sup> оригинала автор отмечает карандашом, в каком месте должна быть помещена ~~таблица~~<sup>таблицы</sup> или иная иллюстрация. Не должны представляться таблицы, которые не могут уместиться на одной странице журнала. Формулы должны быть четко вписаны чернилами в оба экземпляра текста; под греческими буквами проводится одна черта красным карандашом, под прописными — две черты черным карандашом сизу, над строчными — также две черты черным карандашом сверху. Карандашом должны быть обведены полукругом индексы и показатели степени. Резюме представляются на отдельных листах. В статье не должно быть исправлений и дополнений карандашом или чернилами.

9. Список цитированной литературы должен быть отпечатан на отдельном листе в следующем порядке. Вначале пишутся инициалы, а затем — фамилия автора. Если цитирована журнальная работа, указываются сокращенное название журнала, том номер, год издания, а если цитирована книга, — полное название книги, место и год издания. Если автор считает необходимым, он может в конце указать и соответствующие страницы. Список цитированной литературы приводится не по алфавиту, а в порядке цитирования в статье. При ссылке на литературу в тексте или в сносках номер цитируемой работы помещается в квадратные скобки. Не допускается вносить в список цитированной литературы работы, не упомянутые в тексте. Не допускается также цитирование неопубликованных работ. В конце статьи, после списка цитированной литературы, автор должен подписаться и указать место работы, занимаемую должность, точный домашний адрес и номер телефона.

10. Краткое содержание всех опубликованных в «Сообщениях» статей печатается в реферативных журналах. Поэтому автор обязан представить вместе со статьей ее реферат на русском языке (в двух экземплярах).

11. Автору направляется корректура статьи в сверстном виде на строго ограниченный срок (не более двух дней). В случае невозвращения корректуры к сроку редакция вправе приостановить печатание статьи или печатать ее без визы автора.

12. Автору выдается бесплатно 25 оттисков статьи.

(Утверждено Президиумом Академии наук Грузинской ССР 10.10.1968; внесены изменения 6.2.1969)

Адрес редакции: Тбилиси 60, ул. Кутузова, 19, телефоны 37-22-16, 37-93-42.

Почтовый индекс 380060

Условия подписки: на год — 12 руб.

ପ୍ରତିବନ୍ଦିତ କାମକାଳୀଙ୍କ ଜୀବନ

2. „მოადგინი“ ას შეიძლება გამოქვეყნდეს მოლებისური წერილი, აგრეთვე მითხილვით ან აღწერით ხასიათი წერილი ცოცხლით. მცუკაურა ან სხვათ სისტემაზეა, თუ მის-პი მოაკერძოს არა მცუკრერებისაოვის განსაკუთრებით საინტერესო შედეგები.

3. საქართველოს სსიპ შეცნებულების აკადემიის იყდებოსთა და წევრ-კორესპონდენტთა წერილები უშუალოდ გადაეცემს გამოსქვეცვის სადაც „მომზის“ ჩერაქციას, ხოლო სხვა აკადემიურთა წერილები ქვეყნებს აკადემიისთა ან წევრ-კორესპონდენტთა წარდგინებით. როგორც წესი, აკადემიის ან წევრ-კორესპონდენტს „მომზები“ დასაბუძდად წერილი შეცნელა წარმოიადგინს სხვა აკადემიერებს 12 წერილისა (შეცნელი თავისი საცეკვალიბოს შეცნელი), ე. ი. თოთოველ ნოტაში თოთოველ წერილის საკუთარი წერილი — რამდენიც სურს, ხოლო განვითარებული ერთად — არაუგრძელი სამი წერილისა, გამონაკვლეული შემთხვევაში, როცა ყალბიშვილი ან წევრ-კორესპონდენტი მოითხოვს 12-ზე მეტი წერილის წარდგენს, საკითხის წყვეტის მთავრი არ აღდგენტორი. წარდგონების გარეშე შეცნელ წერილს „მომზის“ რეცეპტისა და წარმოსადგენილ გადაცემს აკადემიკოსს ან წევრ-კორესპონდენტს. ერთს და იმავე აკადემის (გარდა აკადემიკოსისა და წევრ-კორესპონდენტის) წერილი შეცნელი „მომზები“ გამოვლენის არა უმეტეს სამი წერილისა (სულ ერთია, თანააკრონიკებთან იქნება იგი, თუ ცალკე).

4. წერილი წარმოდგნილი უნდა იყოს ორ ცალია, დასაბეჭდად საესპოზიტ მხა სახით, ავტორის სურვილისამებრ ქართულ ან რუსულ ენაში. ქართულ ტექსტს თან უნდა ახლდეს რუსული და, მოკლე ინგლისური ტენიამე, ხოლო რუსულ ტექსტს – ქართული და მარგალი ინგლისური ტენიამე. წერილის მოცულობა ლეისტრალეფიზით, რეზიუმებით და დამოკიდებული ტექსტით. წერილის მოცულობა ლეისტრალეფიზით, რეზიუმებით და დამოკიდებული ტექსტით.

6. ଶ୍ରେଣିଲୋ ଏହି ଉନ୍ନତ ଯୁଗରେ କାମ କରିବାକୁ ପାଇଁ ଏହା ପରିବାରରେ ଦେଖାଯାଇଛି।



11. ეკორძის შასაყიათად გმელვა დაკინა შეერთის გვერდებად შეკრული კორტესურა შეცანად განასხვერული ვადით (აზრებების არა დღისის). თუ დადგრძნილი ვადისათვის კორტესურა არ იქნა დაბრუნებულა, რეცდივის ჩაღლება აქვს შეაჩეროს შეერთის დაბეჭდვა ან დაბეჭდოს იგი ეკორძის ვიზის გარეშე.

(დაწერულია საქართველოს სსრ მეცნიერებათა აკადემიის 3-ე გენერაციის მიერ 10.10.1968; შეტანილია ცვლილებები 6.2.1969)

ନୂଆର୍କୀର୍ଦ୍ଦୁରେ ମିଶନାରୀଙ୍କଟିକି: ଅପିଲିସି 60, ପ୍ରାତିଷ୍ଠିତିର୍ଦ୍ଦୁରେ ଫ. ନେ 19; ଟ୍ରେଲ. 37-22-16, 37-93-42.

სატოლისტო ინდექსი 380060

କ୍ରମିତ ପରିବାସ ପରିବାର ପଦ୍ଧତି: ପରିବାର ପଦ୍ଧତି 12 ମାତ୍ର।



ვაი 1 85.

ЦЕНА 1 РУБ.

6. 83

57